



## การศึกษาแบบจำลองสำหรับคำนวณดิฟฟิวช์อิฐมิเนนบันพื้นเรียง

โดย  
นายเจษฎา ประทุมสิกขิ

วิทยานิพนธ์นี้เป็นส่วนหนึ่งของการศึกษาตามหลักสูตรปริญญาวิทยาศาสตรมหาบัณฑิต  
สาขาวิชาฟิสิกส์  
ภาควิชาฟิสิกส์  
บัณฑิตวิทยาลัย มหาวิทยาลัยศิลปากร  
ปีการศึกษา 2551  
ลิขสิทธิ์ของบัณฑิตวิทยาลัย มหาวิทยาลัยศิลปากร

การศึกษาแบบจำลองสำหรับคำนวณดิฟฟิวช์อิฐมิเนนบนพื้นเรียง

โดย  
นายเจษฎา ประทุมสิงห์

วิทยานิพนธ์นี้เป็นส่วนหนึ่งของการศึกษาตามหลักสูตรปริญญาวิทยาศาสตรมหาบัณฑิต  
สาขาวิชาฟิสิกส์  
ภาควิชาฟิสิกส์  
บัณฑิตวิทยาลัย มหาวิทยาลัยศิลปากร  
ปีการศึกษา 2551  
ลิขสิทธิ์ของบัณฑิตวิทยาลัย มหาวิทยาลัยศิลปากร

**A STUDY OF MODELS FOR CALCULATING DIFFUSE ILLUMINANCE ON  
INCLINED SURFACES**

**By**

**Jedsada Prathumsit**

**A Thesis Submitted in Partial Fulfillment of the Requirements for the Degree  
MASTER OF SCIENCE  
Department of Physics  
Graduate School  
SILPAKORN UNIVERSITY  
2008**

บัณฑิตวิทยาลัย มหาวิทยาลัยศิลปากร อนุมัติให้วิทยานิพนธ์เรื่อง “การศึกษาแบบจำลองสำหรับคำนวณดิฟฟิวชันคลูมิແນນบนพื้นເອີ້ງ” เสนอโดย นายເຈຍຄູາ ປະກຸມສົກຫຼື ເປັນສ່ວນໜຶ່ງຂອງ การศึกษาตามหลักสูตรปริญญาวิทยาศาสตรมหาบัณฑิต สาขาวิชาฟิสิกส์

.....  
(รองศาสตราจารย์ ดร.ศิริชัย ชินะตังกูร)

คณบดีบัณฑิตวิทยาลัย  
วันที่ .....เดือน ..... พ.ศ .....

อาจารย์ที่ปรึกษาวิทยานิพนธ์  
รองศาสตราจารย์ ดร.เสริม จันทร์ฉาย

คณะกรรมการตรวจสอบวิทยานิพนธ์

..... ประธานกรรมการ  
(รองศาสตราจารย์จำนวนคน ห้าร่วมมา)  
...../...../.....

..... กรรมการ  
(รองศาสตราจารย์ ดร. พิชัย นามประกาย)  
...../...../.....

..... กรรมการ  
(รองศาสตราจารย์ ดร. เสริม จันทร์ฉาย)  
...../...../.....

49306201 : สาขาวิชาฟิสิกส์

คำสำคัญ : แสงสว่างธรรมชาติ / ดิฟฟิวชันอัลูมิแนน / แสงสว่างจากส่วนต่างๆ ของห้องฟ้า

เจยฎา ประทุมสิทธิ์ : การศึกษาแบบจำลองสำหรับคำนวณดิฟฟิวชันอัลูมิแนนบนพื้นเมือง.

อาจารย์ที่ปรึกษาวิทยานิพนธ์ : รศ.ดร.เสริม จันทร์ฉาย. 148 หน้า.

ในงานวิจัยนี้ ผู้วิจัยได้ทำการทดสอบสมรรถนะของแบบจำลองสำหรับคำนวณ diffuse illuminance บนพื้นเมือง จำนวน 17 แบบจำลอง โดยเปรียบเทียบกับค่าที่ได้จากการวัดที่สถานี เชียงใหม่ ( $18.78^{\circ}\text{N}, 98.98^{\circ}\text{E}$ ), อุบลราชธานี ( $15.25^{\circ}\text{N}, 104.87^{\circ}\text{E}$ ), นครปฐม ( $13.82^{\circ}\text{N}, 100.04^{\circ}\text{E}$ ) และสงขลา ( $7.2^{\circ}\text{N}, 100.60^{\circ}\text{E}$ ) ผลการเปรียบเทียบพบว่า แบบจำลองของ Muneer และแบบจำลองของ Perez ซึ่งใช้สัมประสิทธิ์ชุดใหม่ของสถาบัน AIT มีสมรรถนะที่ดีกว่าแบบจำลองอื่นๆ โดยมีค่าความแตกต่างในรูป root mean square error (RMSE) ในช่วง 15-28% โดยเป็นกับทิศทางและมุม เอียงของระนาบ จากนั้นผู้วิจัยได้พัฒนาวิธีการคำนวณ diffuse illuminance บนพื้นเมือง โดยใช้แบบจำลอง sky luminance ซึ่งใช้ข้อมูลดาวเทียมในการจำแนกสภาพห้องฟ้า หลังจากนั้นผู้วิจัยได้นำวิธีการดังกล่าวไปใช้คำนวณ diffuse illuminance บนพื้นเมือง โดยเปรียบเทียบกับค่าที่ได้จากการวัดที่สถานีเชียงใหม่ อุบลราชธานี และสงขลา ผลที่ได้พบว่า ค่า RMSE ของความแตกต่างระหว่างค่าจากการวัดและการคำนวณ มีค่าอยู่ในช่วง 10-19% ซึ่งได้เปรียบของวิธีการดังกล่าวคือ ผู้ใช้สามารถคำนวณ diffuse illuminance บนพื้นเมืองโดยอาศัยข้อมูลดาวเทียมและพารามิเตอร์ทางเรขาคณิตเป็นข้อมูลอินพุตเท่านั้น สุดท้ายผู้วิจัยได้ทำการวิเคราะห์ลักษณะทางสถิติของ global และ diffuse illuminance ที่วัดได้จาก 4 สถานี ผลการวิเคราะห์แสดงให้เห็นว่าประเทศไทยมีศักยภาพ แสงสว่างธรรมชาติที่ค่อนข้างสูง

---

ภาควิชาฟิสิกส์

ลายมือชื่อนักศึกษา.....

ลายมือชื่ออาจารย์ที่ปรึกษาวิทยานิพนธ์ .....

บัณฑิตวิทยาลัย มหาวิทยาลัยศิลปากร

ปีการศึกษา 2551

49306201 : MAJOR : PHYSICS

KEY WORD : DAYLIGHT / DIFFUSE ILLUMINANCE / SKY LUMINANCE

JEDSADA PRATHUMSIT : A STUDY OF MODELS FOR CALCULATING DIFFUSE ILLUMINANCE ON INCLINED SURFACES. THESIS ADVISOR : ASSOC. PROF. SERM JANJAI, Ph.D. 148 pp.

In this work, the performance of seventeen inclined diffuse illuminance models was tested against measured data at four solar radiation monitoring stations in Thailand namely, Chiang Mai ( $18.78^{\circ}\text{N}$ ,  $98.98^{\circ}\text{E}$ ), Ubon Ratchathani ( $15.25^{\circ}\text{N}$ ,  $104.87^{\circ}\text{E}$ ), Nakhon Pathom ( $13.82^{\circ}\text{N}$ ,  $100.04^{\circ}\text{E}$ ) and Songkhla ( $7.2^{\circ}\text{N}$ ,  $100.60^{\circ}\text{E}$ ). It was found that the Muneer model and Perez model with local coefficient at AIT performed better than the other models, with the discrepancy in terms of root mean square error (RMSE) in the range of 15-28%, depending on the orientation and inclined angle of surfaces. Afterward, a method for estimating diffuse illuminance on inclined surfaces by using a satellite-based sky luminance model was developed. The method was used to predict inclined diffuse illuminance measured Chiang Mai, Ubon Ratchathani and Songkhla. The RMSE between the measurement and prediction was in range of 10-19%. The advantage of this method is that it can be used to calculate inclined diffuse illuminance using only satellite data and geometrical parameters of the sun and inclined surfaces as input data. Finally, statistical characteristics of global and diffuse illuminances measured at the four stations were investigated. The results indicated that Thailand has relatively high daylight potentials.

## กิตติกรรมประกาศ

ในการศึกษาระดับปริญญามหาบัณฑิตนี<sup>๑</sup> ผู้วิจัยได้รับทุนผู้ช่วยวิจัยจากห้องปฏิบัติการวิจัย พลังงานแสงอาทิตย์ ภาควิชาฟิสิกส์ คณะวิทยาศาสตร์ มหาวิทยาลัยศิลปากร ซึ่งผู้วิจัยขอขอบพระคุณ ไว้ ณ ที่นี่เป็นอย่างสูง และขอขอบคุณศูนย์อุดมวิทยาภาคเหนือ ศูนย์อุดมวิทยาภาคตะวันออกเฉียงเหนือ และศูนย์อุดมวิทยาภาคใต้ ผู้ช่วยวิจัย ให้ความอนุเคราะห์ด้านสถานที่ ติดตั้งและดูแลอุปกรณ์การวัดแสงสว่างธรรมชาติ

ผู้วิจัยขอขอบพระคุณรองศาสตราจารย์ ดร. เสริม จันทร์ฉาย ซึ่งเป็นอาจารย์ที่ปรึกษาผู้ให้คำแนะนำด้านวิชาการ พร้อมทั้งจัดหาทุนวิจัย เครื่องมือ อุปกรณ์ และข้อมูลสำหรับใช้ในการดำเนินงานวิจัย

ผู้วิจัยขอขอบพระคุณรองศาสตราจารย์ จำรงค์ ธรรมมาศ หัวหน้าภาควิชาฟิสิกส์ คณะวิทยาศาสตร์ มหาวิทยาลัยศิลปากร ที่ให้การสนับสนุนด้านงานบริหารต่างๆ และขอขอบพระคุณ รองศาสตราจารย์ ดร. พิชัย นามประกาย อาจารย์ประจำภาควิชาเทคโนโลยีพลังงาน คณะพลังงาน และวัสดุ มหาวิทยาลัยเทคโนโลยีพระจอมเกล้าธนบุรี ที่กรุณามอบเวลาในการเขียนเรื่องนี้เป็นกระบวนการสอน วิทยานิพนธ์

นอกจากนี้ผู้วิจัยขอขอบพระคุณ อาจารย์ประสาน ปานแก้ว ดร. อิสระ มะศิริ คุณรุ่งรัตน์ วัสดา คุณยุทธศักดิ์ นุญรอด และนักวิจัยของห้องปฏิบัติการวิจัยพลังงานแสงอาทิตย์ ภาควิชาฟิสิกส์ คณะวิทยาศาสตร์ มหาวิทยาลัยศิลปากร ที่ช่วยสนับสนุนงานวิจัย และขอขอบคุณเจ้าหน้าที่ในภาควิชา ฟิสิกส์ทุกท่านที่ช่วยนำความสะดวกในการทำวิทยานิพนธ์ครั้งนี้จนสำเร็จลุล่วงไปด้วยดี

สุดท้ายนี้ คุณประ โยชน์ที่ได้จากวิทยานิพนธ์ฉบับนี้ ผู้วิจัยขอขอบให้กับบิดาและมารดา รวมทั้งคณาจารย์ทุกท่าน เพื่อตอบแทนพระคุณที่ได้ช่วยให้ผู้วิจัยประสบความสำเร็จในการศึกษา

## สารบัญ

	หน้า
บทคัดย่อภาษาไทย.....	๑
บทคัดย่อภาษาอังกฤษ.....	๒
กิตติกรรมประกาศ.....	๓
สารบัญตาราง.....	๔
สารบัญภาพ.....	๕
สัญลักษณ์.....	๖
บทที่	
1    บทนำ.....	1
1.1    ความสำคัญและความเป็นมาของปัญหา.....	1
1.2    วัตถุประสงค์ของงานวิจัย.....	2
2    หลักทางวิชาการและงานวิจัยที่เกี่ยวข้อง.....	3
2.1    คลื่นแม่เหล็กไฟฟ้า.....	3
2.2    แสงสว่าง (visible light).....	4
2.2.1    การตอบสนองของสายตามนูญ์.....	4
2.2.2    ปริมาณแสงสว่าง.....	5
2.3    แสงสว่างธรรมชาติ (daylight).....	8
2.3.1    แหล่งกำเนิดของแสงสว่างธรรมชาติ.....	8
2.3.2    ปริมาณแสงสว่างธรรมชาติ.....	13
2.3.3    การทำค่าปริมาณแสงสว่างธรรมชาติ.....	14
2.3.4    การวัดปริมาณแสงสว่างธรรมชาติ.....	16
2.4    ความเข้มรังสีดวงอาทิตย์บนพื้นอิฐ.....	20
2.5    งานวิจัยที่เกี่ยวข้อง.....	24
2.5.1    แบบจำลองรังสีกระจายบนพื้นอิฐแบบ Isotropic.....	24
2.5.2    แบบจำลองรังสีกระจายบนพื้นอิฐแบบ Anisotropic.....	25
3    วิธีการวิจัยและผล.....	41
3.1    เครื่องมือวัด.....	41

บทที่	หน้า
3.2 การสอบเที่ยนเครื่องวัดแสงสว่างธรรมชาติ.....	53
3.3 การควบคุมคุณภาพข้อมูล.....	59
3.4 การทดสอบสมรรถนะแบบจำลองสำหรับคำนวณ diffuse illuminance บนพื้นอีียง.....	61
3.4.1 การเตรียมข้อมูล.....	64
3.4.2 ผลการทดสอบแบบจำลองสำหรับคำนวณ diffuse illuminance บนพื้นอีียง.....	66
3.4.2.1 ผลการทดสอบที่สถานีเชียงใหม่.....	67
3.4.2.2 ผลการทดสอบที่สถานีอุบลราชธานี.....	70
3.4.2.3 ผลการทดสอบที่สถานีสงขลา.....	73
3.4.2.4 ผลการทดสอบที่สถานีนนทบุรี.....	76
3.5 การคำนวณ Diffuse illuminance บนพื้นอีียง โดยวิธีการอินทิเกรต Sky luminance distribution.....	86
3.5.1 แบบจำลองแสงสว่างธรรมชาติจากส่วนต่างๆ ของท้องฟ้า (Sky luminance model).....	90
3.5.2 การหาสัมประสิทธิ์การสะท้อนของบรรยากาศและพื้นผิวโลกจากข้อมูล ภาพถ่ายดาวเทียม.....	94
3.5.3 Normalization Ratio (NR).....	97
3.5.4 การคำนวณค่า Normalization ratio (NR).....	98
3.5.5 ผลการคำนวณ diffuse illuminance บนพื้นอีียง โดยวิธีการอินทิเกรต sky luminance.....	102
3.6 ลักษณะทางสถิติของแสงสว่างธรรมชาติในภูมิภาคต่างๆ ในประเทศไทย.....	113
3.6.1 การเปลี่ยนแปลงความเข้มแสงสว่างธรรมชาติตามเวลาในรอบวัน....	113
3.6.1.1 การแปรค่าตามเวลาในรอบวันของ global illuminance.....	113
3.6.1.2 การแปรค่าตามเวลาในรอบวันของ diffuse illuminance.....	119
3.6.2 การเปลี่ยนแปลงความเข้มแสงสว่างธรรมชาติตามฤดูกาลในรอบปี...	124
3.6.2.1 การแปรค่าตามฤดูกาลของ global illuminance.....	124
3.6.2.2 การแปรค่าตามฤดูกาลของ diffuse illuminance.....	126

บทที่	หน้า
3.6.3 การแจกแจงค่าความเข้มแสงสว่างธรรมชาติในรอบวัน.....	129
3.6.3.1 การแจกแจงของ global illuminance.....	129
3.6.3.2 การแจกแจงของ diffuse illuminance.....	136
4 สรุป.....	143
บรรณานุกรม.....	145
ประวัติผู้วิจัย.....	148

## สารบัญตาราง

	หน้า
<b>ตารางที่</b>	
2.1 แสดงค่าสัมประสิทธิ์ในแบบจำลองของ Perez et al. (1990).....	37
2.2 แสดงค่าสัมประสิทธิ์ของ Perez et al. ที่พัฒนาใหม่จากข้อมูลวัดในประเทศไทย ตามแบบ AIT0a.....	38
2.3 แสดงค่าสัมประสิทธิ์ของ Perez et al. ที่พัฒนาใหม่จากข้อมูลวัดในประเทศไทย ตามแบบ AIT0b กรณีด้านที่เห็นดวงอาทิตย์.....	39
2.4 แสดงค่าสัมประสิทธิ์ของ Perez et al. ที่พัฒนาใหม่จากข้อมูลวัดในประเทศไทย ตามแบบ AIT0b กรณีด้านที่ไม่เห็นดวงอาทิตย์.....	39
2.4 แสดงค่าสัมประสิทธิ์ของ Perez et al. ที่พัฒนาใหม่จากข้อมูลวัดในประเทศไทย ตามแบบ AIT25.....	40
3.1 แสดงชนิดและช่วงเวลาของข้อมูลปริมาณแสงสว่างธรรมชาติรายชั่วโมงที่นำมาใช้ ในงานวิจัย.....	45
3.2 แสดงแบบจำลองแบบ Isotropic.....	62
3.3 แสดงแบบจำลองแบบ Anisotropic.....	62
3.4 แสดงแบบจำลองแบบ Anisotropic (ต่อ).....	63
3.5 แสดงค่า RMSE(%) และ MBE (%) ของแต่ละแบบจำลองในการทดสอบที่ สถานีเชียงใหม่.....	67
3.6 แสดงค่า RMSE(%) และ MBE (%) ของแต่ละแบบจำลองในการทดสอบที่ สถานีอุบลราชธานี.....	70
3.7 แสดงค่า RMSE(%) และ MBE (%) ของแต่ละแบบจำลองในการทดสอบที่ สถานีสงขลา.....	73
3.8 แสดงค่า RMSE (%) และ MBE (%) ของแต่ละแบบจำลองในการทดสอบที่ สถานีนนทบุรี.....	76
3.9 แสดงค่าจำนวน sky element ค่าอะซิมูตที่เพิ่มขึ้น และค่ามุมตันของ sky element ที่แต่ละมุมเงย.....	90
3.10 แสดงค่าสัมประสิทธิ์ $a_0, \dots, a_7$ .....	92
3.11 แสดงค่าสัมประสิทธิ์ $a_8, \dots, a_{15}$ .....	93
3.12 แสดงค่าสัมประสิทธิ์ $b_0, b_1, b_2, b_3$ .....	93

ตารางที่	หน้า
3.13 แสดงค่าสัมประสิทธิ์ $c_1, c_2, c_3$ ของสมการเทอม NR ตามกลุ่มของค่า $\rho'_{EA}$ .....	101
3.14 แสดงค่าความแตกต่างระหว่างค่า diffuse illuminance บนพื้นราบจากการคำนวณกับค่าจากการวัด ปี 2007 ของทั้ง 4 สถานี.....	102
3.15 แสดงค่าความแตกต่างระหว่างค่า diffuse illuminance บนพื้นเอียงจากการคำนวณกับค่าจากการวัดของสถานีเชียงใหม่ ปี 2007.....	104
3.16 แสดงค่าความแตกต่างระหว่างค่า diffuse illuminance บนพื้นเอียงจากการคำนวณกับค่าจากการวัดของสถานีอุบลราชธานี ปี 2007.....	106
3.17 แสดงค่าความแตกต่างระหว่างค่า diffuse illuminance บนพื้นเอียงจากการคำนวณกับค่าจากการวัดของสถานีสงขลา ปี 2007.....	108

## สารบัญภาพ

รูปที่	หน้า
2.1 แสดงการเคลื่อนที่ของคลื่นแม่เหล็กไฟฟ้าในสุญญากาศ.....	3
2.2 แสดงคลื่นแม่เหล็กไฟฟ้าที่ความยาวคลื่นช่วงต่างๆ.....	4
2.3 แสดงการตอบสนองของสายตามนุxyzตามมาตรฐานของ CIE (Murdoch, 1985).....	4
2.4 แสดงการให้คำจำกัดความของ luminance.....	5
2.5 แสดงการให้คำจำกัดความของ illuminance.....	6
2.6 แสดงการให้คำจำกัดความของ luminous exitance.....	7
2.7 แสดงการให้คำจำกัดความของ luminous intensity.....	8
2.8 แสดงสเปกตรัมของรังสีดวงอาทิตย์บนบรรยายกาศโลก (Iqbal, 1983).....	9
2.9 แสดงตัวอย่างของสเปกตรัมรังสีตรง (Iqbal, 1983).....	10
2.10 แสดงตัวอย่างของสเปกตรัมรังสีกระจาย (Iqbal, 1983).....	11
2.11 แสดงตัวอย่างของสเปกตรัมรังสีรวม (Iqbal, 1983).....	11
2.12 แสดงแสงตรงจากดวงอาทิตย์ (sunlight) และแสงกระจายจากห้องฟ้า (skylight).....	12
2.13 แสดงความเข้มของแสงสว่างธรรมชาติในรูปของ direct illuminance และ diffuse illuminance.....	13
2.14 แสดงความเข้มของแสงสว่างธรรมชาติในรูปของความเข้มของแสงสว่างจากส่วนต่างๆ ของห้องฟ้า หรือ sky luminance.....	14
2.15 แสดงเครื่อง sky scanner.....	16
2.16 แสดงลักษณะมิเตอร์.....	17
2.17 แสดงเครื่องวัดแสงสว่างธรรมชาติที่กระจายจากห้องฟ้า.....	18
2.18 แสดงเครื่องวัดแสงสว่างธรรมชาติบนระนาบในแนวคิ่ง 4 ทิศ (a) และบนระนาบ 45 องศา หันไปทิศใต้ (b).....	19
2.19 แสดงรังสีดวงอาทิตย์บนพื้นอุ่น.....	20
2.20 แสดงมุมตอกกระทบของรังสีดวงอาทิตย์บนพื้นอุ่น.....	22
2.21 แสดงการแบ่งห้องฟ้าเป็น 3 ส่วน โดยส่วนที่ 1 เป็นห้องฟ้าบริเวณรอบดวงอาทิตย์ ส่วนที่ 2 เป็นห้องฟ้าริเวณขอบฟ้า และส่วนที่ 3 เป็นห้องฟ้าส่วนที่เหลือ ตามแบบจำลองของ Temps-Coulson (1977) .....	27
2.22 แสดงการแบ่งห้องฟ้าเป็น 2 ส่วน โดยส่วนที่ 1 เป็นห้องฟ้าบริเวณรอบดวงอาทิตย์ และส่วนที่ 2 เป็นห้องฟ้าส่วนที่เหลือ ตามแบบจำลองของ Hay (1979).....	29

รูปที่	หน้า
2.23 แสดงการแบ่งห้องฟ้าเป็น 3 ส่วน โดยส่วนที่ 1 เป็นห้องฟ้าบริเวณรอบดวงอาทิตย์ ส่วนที่ 2 เป็นห้องฟ้าบริเวณขอบฟ้า และส่วนที่ 3 เป็นห้องฟ้าส่วนที่เหลือ ตามแบบจำลองของ Reindl (1990).....	34
2.24 แสดงการแบ่งห้องฟ้าออกเป็น 3 ส่วน โดยส่วนที่ 1 เป็นห้องฟ้าบริเวณขอบฟ้า ส่วนที่ 2 เป็นห้องฟ้าบริเวณรอบดวงอาทิตย์ และส่วนที่ 3 เป็นห้องฟ้าส่วนที่เหลือ ตามแบบจำลองของ Perez et al. (1990).....	36
3.1 แสดงอุปกรณ์วัด global illuminance บนระนาบแนวตั้ง (a) และบนระนาบเอียง 45 องศา (b).....	42
3.2 แสดงอุปกรณ์วัด diffuse illuminance บนพื้นราบ.....	43
3.3 แสดงลักษณะเตอร์.....	44
3.4 แสดงเครื่องบันทึกข้อมูล.....	44
3.5 แสดงตำแหน่งที่ตั้งของอุปกรณ์วัดแสงสว่างธรรมชาติ.....	46
3.6 แสดงอุปกรณ์วัด global illuminance บนระนาบแนวตั้ง 4 ทิศ ที่ศูนย์อุตุนิยมวิทยา ภาคเหนือจังหวัดเชียงใหม่.....	47
3.7 แสดงอุปกรณ์วัดglobal illuminance บนระนาบเอียง 45 องศาทิศใต้ ที่ศูนย์อุตุนิยมวิทยา ภาคเหนือ จังหวัดเชียงใหม่.....	47
3.8 แสดงอุปกรณ์วัด diffuse illuminance บนพื้นราบ ที่ศูนย์อุตุนิยมวิทยา ภาคเหนือจังหวัดเชียงใหม่.....	48
3.9 แสดงอุปกรณ์วัด global illuminance บนระนาบแนวตั้ง 4 ทิศ ที่ศูนย์อุตุนิยมวิทยา ภาคตะวันออกเฉียงเหนือ จังหวัดอุบลราชธานี.....	48
3.10 แสดงอุปกรณ์วัด global illuminance บนระนาบเอียง 45 องศาทิศใต้ ที่ศูนย์อุตุนิยมวิทยา ภาคตะวันออกเฉียงเหนือ จังหวัดอุบลราชธานี.....	49
3.11 แสดงอุปกรณ์วัด diffuse illuminance บนพื้นราบ ที่ศูนย์อุตุนิยมวิทยา ภาคตะวันออกเฉียงเหนือ จังหวัดอุบลราชธานี.....	49
3.12 แสดงอุปกรณ์วัด global illuminance บนระนาบแนวตั้ง 4 ทิศ ที่มหาวิทยาลัยศิลปากร จังหวัดนครปฐม.....	50
3.13 แสดงอุปกรณ์วัด diffuse illuminance บนพื้นราบ ที่มหาวิทยาลัยศิลปากร จังหวัดนครปฐม.....	50

รูปที่	หน้า
3.14 แสดงอุปกรณ์วัด global illuminance บนระนาบเอียง 45 องศาทิศเหนือ (a) ทิศใต้ (b) ทิศตะวันออก (c) และทิศตะวันตก (d) ที่มหावิทยาลัยศิลปากร จังหวัดนครปฐม.....	51
3.15 แสดงอุปกรณ์วัด global illuminance บนระนาบแนวคิ่ง 4 ทิศ ที่ศูนย์อุตุนิยมวิทยา ภาคใต้ฝั่งตะวันออก จังหวัดสงขลา.....	52
3.16 แสดงอุปกรณ์วัด global illuminance บนระนาบเอียง 45 องศาทิศใต้ ที่ศูนย์อุตุนิยมวิทยา ภาคใต้ฝั่งตะวันออก จังหวัดสงขลา.....	52
3.17 แสดงอุปกรณ์วัด diffuse illuminance บนพื้นฐาน ที่ศูนย์อุตุนิยมวิทยา ภาคใต้ฝั่งตะวันออก จังหวัดสงขลา.....	53
3.18 แสดงกราฟระหว่างค่าความเข้มแสงสว่างของหัวคลักช์มิเตอร์มาตรฐาน กับค่าสักย์ไฟฟ้าของหัวคลักช์มิเตอร์ที่ทำการสอบเทียบ.....	54
3.19 แสดงภาพการสอบเทียบที่ศูนย์อุตุนิยมวิทยาภาคเหนือ จังหวัดเชียงใหม่.....	55
3.20 แสดงภาพการสอบเทียบที่ศูนย์อุตุนิยมวิทยาภาคตะวันออกเฉียงเหนือ จังหวัดอุบลราชธานี.....	55
3.21 แสดงภาพการสอบเทียบที่มหावิทยาลัยศิลปากร จังหวัดนครปฐม.....	56
3.22 แสดงภาพการสอบเทียบที่ศูนย์อุตุนิยมวิทยาภาคใต้ฝั่งตะวันออก จังหวัดสงขลา.....	56
3.23 กราฟแสดงความสัมพันธ์ระหว่างค่าสักย์ไฟฟ้ากับค่า illuminance ที่ศูนย์อุตุนิยมวิทยา ภาคเหนือจังหวัดเชียงใหม่.....	57
3.24 กราฟแสดงความสัมพันธ์ระหว่างค่าสักย์ไฟฟ้ากับค่า illuminance ที่ศูนย์อุตุนิยมวิทยา ภาคตะวันออกเฉียงเหนือ จังหวัดอุบลราชธานี.....	57
3.25 กราฟแสดงความสัมพันธ์ระหว่างค่าสักย์ไฟฟ้ากับค่า illuminance ที่มหা঵ิทยาลัยศิลปากร จังหวัดนครปฐม.....	58
3.26 กราฟแสดงความสัมพันธ์ระหว่างค่าสักย์ไฟฟ้ากับค่า illuminance ที่ศูนย์อุตุนิยมวิทยา ภาคใต้ฝั่งตะวันออก จังหวัดสงขลา.....	58
3.27 แสดงข้อมูลผิดปกติเนื่องจากวงแหวนไม่บังดวงอาทิตย์.....	60
3.28 กราฟแสดงค่า RMSE (%) ของแต่ละแบบจำลองในการคำนวณ diffuse illuminance บน ระนาบแนวคิ่ง ทิศเหนือ (a) ทิศใต้ (b) ทิศตะวันออก (c) ทิศตะวันตก (d) ระนาบเอียง 45 องศาทิศใต้ (e) และระนาบเอียงทั้งหมด (f) ที่ศูนย์อุตุนิยมวิทยา ภาคเหนือ จังหวัดเชียงใหม่.....	68

3.29 กราฟแสดงค่า MSE (%) ของแต่ละแบบจำลองในการคำนวณ diffuse illuminance บน ระนาบแนวตั้ง ทิศเหนือ (a) ทิศใต้ (b) ทิศตะวันออก (c) ทิศตะวันตก (d) ระนาบเอียง 45 องศาทิศใต้ (e) และระนาบเอียงทั้งหมด (f) ที่สูนย์อุตุนิยมวิทยา ภาคเหนือ จังหวัดเชียงใหม่.....	69
3.30 กราฟแสดงค่า RMSE (%) ของแต่ละแบบจำลองในการคำนวณ diffuse illuminance บน ระนาบแนวตั้ง ทิศเหนือ (a) ทิศใต้ (b) ทิศตะวันออก (c) ทิศตะวันตก (d) ระนาบเอียง 45 องศาทิศใต้ (e) และระนาบเอียงทั้งหมด (f) ที่สูนย์อุตุนิยมวิทยา ภาคตะวันออกเฉียงเหนือ จังหวัดอุบลราชธานี.....	71
3.31 กราฟแสดงค่า MSE (%) ของแต่ละแบบจำลองในการคำนวณ diffuse illuminance บน ระนาบแนวตั้ง ทิศเหนือ (a) ทิศใต้ (b) ทิศตะวันออก (c) ทิศตะวันตก (d) ระนาบเอียง 45 องศาทิศใต้ (e) และระนาบเอียงทั้งหมด (f) ที่สูนย์อุตุนิยมวิทยา ภาคตะวันออกเฉียงเหนือ จังหวัดอุบลราชธานี.....	72
3.32 กราฟแสดงค่า RMSE (%) ของแต่ละแบบจำลองในการคำนวณ diffuse illuminance บน ระนาบแนวตั้ง ทิศเหนือ (a) ทิศใต้ (b) ทิศตะวันออก (c) ทิศตะวันตก (d) ระนาบเอียง 45 องศาทิศใต้ (e) และระนาบเอียงทั้งหมด (f) ที่สูนย์อุตุนิยมวิทยา ภาคใต้ ฝั่งตะวันออก จังหวัดสงขลา.....	74
3.33 กราฟแสดงค่า MSE (%) ของแต่ละแบบจำลองในการคำนวณ diffuse illuminance บน ระนาบแนวตั้ง ทิศเหนือ (a) ทิศใต้ (b) ทิศตะวันออก (c) ทิศตะวันตก (d) ระนาบเอียง 45 องศาทิศใต้ (e) และระนาบเอียงทั้งหมด (f) ที่สูนย์อุตุนิยมวิทยา ภาคใต้ ฝั่งตะวันออก จังหวัดสงขลา.....	75
3.34 กราฟแสดงค่า RMSE (%) ของแต่ละแบบจำลองในการคำนวณ diffuse illuminance บน ระนาบแนวตั้ง ทิศเหนือ (a) ทิศใต้ (b) ทิศตะวันออก (c) ทิศตะวันตก (d) และ ระนาบเอียง 45 องศา ทิศเหนือ (e) ทิศใต้ (f) ที่สถานีนครปฐม.....	77
3.35 กราฟแสดงค่า RMSE (%) ของแต่ละแบบจำลองในการคำนวณ diffuse illuminance บน ระนาบเอียง 45 องศา ทิศตะวันออก (a) ทิศตะวันตก (b) และระนาบเอียงทั้งหมด (c) ที่สถานีนครปฐม.....	78
3.36 กราฟแสดงค่า MSE (%) ของแต่ละแบบจำลองในการคำนวณ diffuse illuminance บน ระนาบแนวตั้ง ทิศเหนือ (a) ทิศใต้ (b) ทิศตะวันออก (c) ทิศตะวันตก (d) และ ระนาบเอียง 45 องศา ทิศเหนือ (e) ทิศใต้ (f) ที่สถานีนครปฐม.....	79

รูปที่	หน้า
3.37 กราฟแสดงค่า MSE (%) ของแต่ละแบบจำลองในการคำนวณ diffuse illuminance บน ระนาบเอียง 45 องศา ทิศตะวันออก (a) ทิศตะวันตก (b) และระนาบเอียงทั้งหมด (c) ที่สถานีนครปฐม.....	80
3.38 แสดงแผนภาพวิธีการหา diffuse illuminance บนพื้นเอียง.....	86
3.39 แสดงตำแหน่งของ sky element เทียบกับตำแหน่งของพื้นเอียง.....	87
3.40 แสดงการแบ่งท้องฟ้าออก 145 เซลล์พื้นที่เท่าๆ กัน ตามรูปแบบการวัดของ เครื่อง Sky scanner.....	89
3.41 แสดงตำแหน่งดวงอาทิตย์ และตำแหน่งบนท้องฟ้า (P) ที่จะหาปริมาณแสงสว่าง โดย Z เป็นมุมเชนิชของจุดที่พิจารณา $Z_s$ เป็นมุมเชนิชของดวงอาทิตย์ $\chi$ เป็นมุม ระหว่างจุดบนท้องฟ้าที่พิจารณา กับตำแหน่งดวงอาทิตย์ $\phi$ เป็นมุมอาชิมุชของ จุดที่พิจารณา $\gamma_s$ เป็นมุมอาชิมุชของดวงอาทิตย์.....	91
3.42 ตัวอย่างภาพถ่ายดาวเทียมใน satellite projection.....	94
3.43 ตัวอย่างภาพถ่ายดาวเทียมใน cylindrical projection ซึ่งหาพิกัดแล้ว.....	95
3.44 แสดงความสัมพันธ์ระหว่างค่า grey level และ Pseudo-reflectivity ของข้อมูล ภาพถ่ายดาวเทียม.....	96
3.45 แสดงการฟิตกราฟเพื่อ NR เทียบกับมุมเชนิชของดวงอาทิตย์ ในกรณีพื้นราบและระนาบ แนวคิ่ง 90 องศา.....	99
3.46 แสดงการฟิตกราฟค่า NR กรณีระนาบแนวคิ่ง ทิศเหนือ ทิศใต้ ทิศตะวันออก และทิศ ตะวันตก เทียบกับมุมเชนิชดวงอาทิตย์.....	100
3.47 แสดงกราฟเปรียบเทียบค่า diffuse illuminance บนพื้นราบจากการคำนวณ โดยการ อินทิเกรตกับค่าวัดจริงของสถานี เชียงใหม่ (a) อุบลราชธานี (b) สงขลา (c).....	103
3.48 แสดงกราฟเปรียบเทียบค่า diffuse illuminance บนพื้นเอียงจากการคำนวณกับค่าจากการวัด ของสถานีเชียงใหม่.....	105
3.49 แสดงกราฟเปรียบเทียบค่า diffuse illuminance บนพื้นเอียงจากการคำนวณกับค่าจากการวัด ของสถานีอุบลราชธานี.....	107
3.50 แสดงกราฟเปรียบเทียบค่า diffuse illuminance บนพื้นเอียงจากการคำนวณกับค่าจากการวัด ของสถานีสงขลา.....	109
3.51 กราฟแสดงการเปรียบเทียบค่า diffuse illuminance บนพื้นเอียงทั้งหมด จากการคำนวณ กับค่าจากการวัดของพื้นเอียงทั้งหมด ที่สถานีเชียงใหม่.....	110

รูปที่	หน้า
3.52 กราฟแสดงการเปรียบเทียบค่า diffuse illuminance บนพื้นอุ่งทั้งหมด จากการคำนวณ กับค่าจากวัดของพื้นอุ่งทั้งหมด ที่สถานีอุบลราชธานี.....	110
3.53 กราฟแสดงการเปรียบเทียบค่า diffuse illuminance บนพื้นอุ่งทั้งหมด จากการคำนวณ กับค่าจากการวัดของพื้นอุ่งทั้งหมดที่สถานีสงขลา.....	111
3.54 กราฟแสดงการเปรียบเทียบค่า diffuse illuminance บนพื้นราบจากการคำนวณ กับค่าจากการวัดของทั้ง 3 สถานี.....	111
3.55 กราฟแสดงการเปรียบเทียบค่า diffuse illuminance บนระนาบแนวตั้ง จากการคำนวณกับค่าจากการวัดของทั้ง 3 สถานี.....	112
3.56 กราฟแสดงการเปรียบเทียบค่า diffuse illuminance บนระนาบเอียง 45 องศาทิศใต้ จากการคำนวณกับค่าจากการวัดของทั้ง 3 สถานี.....	112
3.57 กราฟแสดง global illuminance รายชั่วโมงเฉลี่ยต่อเดือนของสถานีเชียงใหม่.....	115
3.58 กราฟแสดง global illuminance รายชั่วโมงเฉลี่ยต่อเดือนของสถานีอุบลราชธานี.....	116
3.59 กราฟแสดง global illuminance รายชั่วโมงเฉลี่ยต่อเดือนของสถานีนครปฐม.....	117
3.60 กราฟแสดง global illuminance รายชั่วโมงเฉลี่ยต่อเดือนของสถานีสงขลา.....	118
3.61 กราฟแสดง diffuse illuminance รายชั่วโมงเฉลี่ยต่อเดือนของสถานีเชียงใหม่.....	120
3.62 กราฟแสดง diffuse illuminance รายชั่วโมงเฉลี่ยต่อเดือนของสถานีอุบลราชธานี.....	121
3.63 กราฟแสดง diffuse illuminance รายชั่วโมงเฉลี่ยต่อเดือนของสถานีนครปฐม.....	122
3.64 กราฟแสดง diffuse illuminance รายชั่วโมงเฉลี่ยต่อเดือนของสถานีสงขลา.....	123
3.65 แสดงการเปลี่ยนแปลงของค่า global illuminance ตามฤดูกาลในรอบปี ของสถานีเชียงใหม่.....	124
3.66 แสดงการเปลี่ยนแปลงของค่า global illuminance ตามฤดูกาลในรอบปี ของสถานีอุบลราชธานี.....	125
3.67 แสดงการเปลี่ยนแปลงของค่า global illuminance ตามฤดูกาลในรอบปี ของสถานีนครปฐม.....	125
3.68 แสดงการเปลี่ยนแปลงของค่า global illuminance ตามฤดูกาลในรอบปี ของสถานีสงขลา.....	126
3.69 แสดงการเปลี่ยนแปลงของค่า diffuse illuminance ตามฤดูกาลในรอบปี ของสถานีเชียงใหม่.....	127

รูปที่	หน้า
3.70 แสดงการเปลี่ยนแปลงของค่า diffuse illuminance ตามฤดูกาลในรอบปี ของสถานีอุบลราชธานี.....	127
3.71 แสดงการเปลี่ยนแปลงของค่า diffuse illuminance ตามฤดูกาลในรอบปี ของสถานีนครปฐม.....	128
3.72 แสดงการเปลี่ยนแปลงของค่า diffuse illuminance ตามฤดูกาลในรอบปี ของสถานีสงขลา.....	128
3.73 กราฟแสดงการแจกแจงของค่า global illuminance รายวันของเดือนต่างๆ ของสถานี เชียงใหม่.....	130
3.74 กราฟแสดงการแจกแจงของค่า global illuminance รายวันของเดือนต่างๆ ของสถานี อุบลราชธานี.....	131
3.75 กราฟแสดงการแจกแจงของค่า global illuminance รายวันของเดือนต่างๆ ของสถานี นครปฐม.....	132
3.76 กราฟแสดงการแจกแจงของค่า global illuminance รายวันของเดือนต่างๆ ของสถานี สงขลา.....	133
3.77 กราฟแสดงการแจกแจงของค่า global illuminance ตลอดทั้งปี จากข้อมูลสถานีเชียงใหม่ ในช่วงปี ค.ศ. 2001-2008.....	134
3.78 กราฟแสดงการแจกแจงของค่า global illuminance ตลอดทั้งปี จากข้อมูลสถานีอุบลราชธานี ในช่วงปี ค.ศ. 2001-2008.....	134
3.79 กราฟแสดงการแจกแจงของค่า global illuminance ตลอดทั้งปี จากข้อมูลสถานีนครปฐม ในช่วงปี ค.ศ. 2001-2008.....	135
3.80 กราฟแสดงการแจกแจงของค่า global illuminance ตลอดทั้งปี จากข้อมูลสถานีสงขลา <sup>1</sup> ในช่วงปี ค.ศ. 2001-2008.....	135
3.81 กราฟแสดงการแจกแจงของค่า diffuse illuminance รายวันของเดือนต่างๆ ของสถานี เชียงใหม่.....	137
3.82 กราฟแสดงการแจกแจงของค่า diffuse illuminance รายวันของเดือนต่างๆ ของสถานี อุบลราชธานี.....	138
3.83 กราฟแสดงการแจกแจงของค่า diffuse illuminance รายวันของเดือนต่างๆ ของสถานี นครปฐม.....	139

รูปที่		หน้า
3.84  กราฟแสดงการแจกแจงของค่า diffuse illuminance รายวันของเดือนต่างๆ ของสถานี ส่งข่าว.....	140	
3.85  กราฟแสดงการแจกแจงของค่า diffuse illuminance ตลอดทั้งปี จากข้อมูลสถานีเชียงใหม่ ในช่วงปี ค.ศ. 2001-2008.....	141	
3.86  กราฟแสดงการแจกแจงของค่า diffuse illuminance ตลอดทั้งปี จากข้อมูลสถานี อุบลราชธานีในช่วงปี ค.ศ. 2001-2008.....	141	
3.87  กราฟแสดงการแจกแจงของค่า diffuse illuminance ตลอดทั้งปี จากข้อมูลสถานีนครปฐม ในช่วงปี ค.ศ. 2001-2008.....	142	
3.88  กราฟแสดงการแจกแจงของค่า diffuse illuminance ตลอดทั้งปี จากข้อมูลสถานีส่งข่าว ในช่วงปี ค.ศ. 2001-2008.....	142	

## ສັງລັກມົນ

$A$	=	ພື້ນທີ່ ( $m^2$ )
$b$	=	radiance distribution index (-)
$E$	=	illuminance (lux)
$E_{bh}$	=	direct illuminance ບນພື້ນຮາບ (klux)
$E_{dh}$	=	diffuse illuminance ບນພື້ນຮາບ (klux)
$E_{gh}$	=	global illuminance ບນພື້ນຮາບ (klux)
$E_{b\beta}$	=	direct illuminance ບນພື້ນເອີຍງົບ (klux)
$E_{d\beta}$	=	diffuse illuminance ບນພື້ນເອີຍງົບ (klux)
$E_{g\beta}$	=	global illuminance ບນພື້ນເອີຍງົບ (klux)
$E_{on}$	=	ຄວາມເຂັ້ມແສງສ່ວ່າງນອກບຣຽກາສໂລກທີ່ຮະນາບຕັ້ງຈາກກັບທິສາທາງທີ່ແສງ ຕະກະຮະກູບ (lux)
$E_{sc}$	=	ຄວາມເຂັ້ມແສງສ່ວ່າງນອກບຣຽກາສໂລກທີ່ຮະນາບຕັ້ງຈາກກັບທິສາທາງທີ່ແສງຕະກ ກະຮະກູບທີ່ຮະຍາທາງເຄີຍຮະຫວ່າງໂລກກັບດວງອາທິຕິຍ (lux)
$E_{d,model,i}$	=	ຄ່າ diffuse illuminance ບນພື້ນເອີຍງົບທີ່ຄໍານວນຈາກແນບຈຳລອງ (klux)
$E_{d,meas,i}$	=	ຄ່າ diffuse illuminance ບນພື້ນເອີຍງົບທີ່ໄດ້ຈາກການວັດ (klux)
$\bar{E}_{d,meas}$	=	ຄ່າເນີຍຂອງ diffuse illuminance ບນພື້ນເອີຍງົບທີ່ໄດ້ຈາກການວັດ (klux)
$G_{s\lambda}$	=	ຄວາມເຂັ້ມຮັງສຶດວອາທິຕິຍທີ່ຄວາມຍາວຄືນຕໍ່ຕ່າງໆ ບນຮະນາບຕັ້ງຈາກກັບແສງທີ່ຮະຍ ເຄີຍຮະຫວ່າງໂລກກັບດວງອາທິຕິຍ ( $W/m^2 \cdot \mu m$ )
$I_{bh}$	=	ຮັງສີຕຽບບນພື້ນຮາບ ( $W/m^2$ )
$I_{dh}$	=	ຮັງສີກະຈາຍບນພື້ນຮາບ ( $W/m^2$ )
$I_{gh}$	=	ຮັງສີຮົມບນພື້ນຮາບ ( $W/m^2$ )
$I_{oh}$	=	ຮັງສີດວອາທິຕິຍນອກບຣຽກາສໂລກບນພື້ນຮາບ ( $W/m^2$ )
$I_{on}$	=	ຮັງສີດວອາທິຕິຍນອກບຣຽກາສໂລກບນຮະນາບຕັ້ງຈາກກັບລຳແສງ ( $W/m^2$ )
$I_{gT}$	=	ຮັງສີຮົມບນພື້ນເອີຍງົບ ( $W/m^2$ )
$I_{bT}$	=	ຮັງສີຕຽບບນພື້ນເອີຍງົບ ( $W/m^2$ )
$I_{dT,g}$	=	ຮັງສີກະຈາຍບນພື້ນເອີຍງົບຈາກພື້ນດິນ ( $W/m^2$ )
$I_{dT,sky}$	=	ຮັງສີກະຈາຍບນພື້ນເອີຍງົບທີ່ຈາກທ່ອງໝໍາ ( $W/m^2$ )

$I_{bh}$	=	รังสีตรงบันพื้นราบ ( $\text{W/m}^2$ )
$m_a$	=	air mass (-)
$M$	=	luminous exitance (lux)
$L$	=	ปริมาณแสงสว่างจากส่วนต่างๆ ของท้องฟ้า (sky element) ( $\text{KCd/m}^2$ )
$L_z$	=	ปริมาณแสงสว่างธรรมชาติที่ตำแหน่งกลางท้องฟ้า (zenith luminance) ( $\text{KCd/m}^2$ )
$NR$	=	normalization ratio
$R_b$	=	geometric factor
$R_\lambda$	=	ฟังก์ชันการตอบสนองของสายตามนุษย์ต่อความเข้มรังสีดวงอาทิตย์ที่ความยาวคลื่นต่างๆ (-)
$T_F$	=	Tilt factor (-)
$Z$	=	มุมเชนิชของตำแหน่งบนท้องฟ้า (sky element) (เรเดียน)
$Z_s$	=	มุมเชนิชของตำแหน่งดวงอาทิตย์ (เรเดียน)
$\beta$	=	มุมเอียงของพื้นเอียง (องศา)
$\alpha_s$	=	มุมเงยของดวงอาทิตย์ (องศา)
$\alpha$	=	มุมเงยของ sky element (องศา)
$\gamma$	=	มุมอาชิมุของพื้นเอียง (องศา)
$\gamma_s$	=	มุมอาชิมุของดวงอาทิตย์ (องศา)
$\varphi$	=	ละติจูด (องศา)
$\phi$	=	มุมอะซิมุของ sky element (องศา)
$\sigma$	=	มุมตกกระทบของ sky element บนพื้นเอียง (องศา)
$\chi$	=	ระยะทางมุมระหว่างตำแหน่งบนท้องฟ้ากับตำแหน่งดวงอาทิตย์ (เรเดียน)
$\omega$	=	มุมชั่วโมง (องศา)
$\delta$	=	เดคลิเนชัน (องศา)
$\Delta$	=	sky brightness (-)
$\epsilon$	=	sky clearness (-)
$\theta_i$	=	มุมตกกระทบของรังสีตรงบันพื้นเอียง (องศา)
$\phi_E$	=	พลังซึ่งแสงสว่าง (W)
$\Omega$	=	มุมตันที่รองรับพื้นที่ของ sky element (สเตอริเดียน)

$\rho'_{EA}$  = สัมประสิทธิ์การสะท้อนของบรรยากาศและพื้นผิวโลกในช่วงความยาวคลื่นของดาวเทียม ( $0.55\text{-}0.90 \mu\text{m}$ ) (-)

$\rho'_{pseu}$  = Pseudo-reflectivity (-)

## บทที่ 1

### บทนำ

#### 1. ความสำคัญและความเป็นมาของปัญหา

ในปัจจุบันการใช้ไฟฟ้าเพื่อให้แสงสว่างในประเทศไทยคิดเป็นสัดส่วนประมาณ 15% ของการใช้ไฟฟ้าทั้งหมด ทั้งนี้เป็นผลมาจากการเดินทางของสังคมเมืองและการพัฒนาทางอุตสาหกรรม โดยทั่วไปอาคารสำนักงานและโรงงานอุตสาหกรรมจะเปิดไฟให้แสงสว่างตลอดทั้งวัน นอกจากนี้การใช้ไฟฟ้าแสงสว่างยังมีแนวโน้มสูงขึ้นตามการขยายตัวทางเศรษฐกิจ ทำให้ต้องเพิ่มกำลังการผลิตไฟฟ้าซึ่งต้องใช้เชื้อเพลิงฟอสซิล (fossil fuel) มากขึ้นและยังส่งผลเสียต่อสิ่งแวดล้อมด้วย วิธีการแก้ปัญหาดังกล่าววิธีหนึ่งคือ นำแสงสว่างธรรมชาติจากดวงอาทิตย์มาใช้ในอาคาร เพื่อลดการใช้ไฟฟ้าแสงสว่างในเวลากลางวัน

โดยทั่วไปรังสีดวงอาทิตย์ที่ตกกระทบพื้นผิวโลกจะมีスペกตรัมอยู่ในช่วง 0.25-4.0  $\mu\text{m}$  แต่สายตามนุษย์สามารถใช้ประโยชน์ในรูปแสงสว่างได้เฉพาะในช่วงความยาวคลื่น 0.38-0.77  $\mu\text{m}$  โดยเรียกว่าความเข้มรังสีดวงอาทิตย์ที่สายตามนุษย์สามารถตอบสนองได้ว่าแสงสว่างธรรมชาติ (daylight) ซึ่งประกอบไปด้วย 2 ส่วน คือ แสงที่พุ่งตรงมาจากดวงอาทิตย์ (sunlight) และแสงที่ถูกกระเจิงโดยองค์ประกอบของบรรยายกาศ ซึ่งมาจากส่วนต่างๆ ของห้องฟ้า (skylight) ในการนำแสงสว่างธรรมชาตามาใช้ในอาคาร ผู้ออกแบบอาคารจะต้องทราบข้อมูล sunlight และ skylight โดยในปัจจุบันได้มีการพัฒนาโปรแกรมคอมพิวเตอร์สำหรับคำนวณแสงสว่างที่เข้าไปภายในอาคาร โดยอาศัยข้อมูล sunlight และ skylight นอกจากนี้ข้อมูลความเข้มแสงสว่างธรรมชาติกายในอาคารที่คำนวณได้จะช่วยให้ผู้ออกแบบอาคารสามารถคำนวณและกำหนดมาตรฐานการของแสงสว่างประดิษฐ์ (artificial light) ร่วมกับการใช้แสงสว่างธรรมชาติที่เหมาะสม เพื่อลดการใช้แสงสว่างจากไฟฟ้า

โดยทั่วไปข้อมูลปริมาณแสงสว่างธรรมชาติจะมีการวัดอยู่ 2 รูปแบบ คือ ปริมาณแสงสว่างที่ตกกระทบนระนาบใดๆ (illuminance) และปริมาณแสงสว่างจากส่วนต่างๆ ของห้องฟ้า (sky luminance) โดยปริมาณแสงสว่างในรูป sky luminance นี้จะมีข้อมูลการวัดที่น้อยมาก เนื่องจากเครื่องมือวัดมีราคาแพง ส่วนปริมาณแสงสว่างธรรมชาติในรูป illuminance นี้จะมีข้อมูลการวัดมากกว่า ซึ่งส่วนใหญ่จะเป็นข้อมูลการวัดบนพื้นราบ แต่ในการใช้งานจริง มักมีความต้องการข้อมูลแสงสว่างธรรมชาติบนระนาบเอียงต่างๆ เช่น ที่ระนาบเอียง 90 องศา ซึ่งเป็นระนาบของช่องหน้าต่างตามอาคาร โดยทั่วไปปริมาณแสงสว่างธรรมชาติบนพื้นเอียงในรูป illuminance จะประกอบด้วย 3 ส่วน คือ แสงตรง (direct

illuminance) และกระจายจากห้องฟ้า (diffuse illuminance) และแสงที่สะท้อนจากพื้นดิน (ground reflected) โดยปริมาณ direct illuminance บนพื้นอุ่น สามารถคำนวณได้โดยง่ายเมื่อมีการแตกแרגส่วนปริมาณแสงที่สะท้อนจากพื้นก็สามารถคำนวณได้เมื่อทราบค่าสัมประสิทธิ์การสะท้อนของพื้นดิน ความยุ่งยากของการคำนวณปริมาณแสงสว่างธรรมชาติบนพื้นอุ่นจะอยู่ในส่วนของการคำนวณปริมาณ diffuse illuminance ในช่วง 20 ปี ที่ผ่านมา มีนักวิจัยในประเทศไทยต่างๆ ได้เสนอแบบจำลองสำหรับคำนวณ diffuse illuminance บนพื้นอุ่นจากข้อมูลการวัดบนพื้นราบขึ้นหลายแบบ โดยแบบจำลองดังกล่าวส่วนใหญ่พัฒนาจากข้อมูลการวัดในແຄນທີປູໂຮປະແມ່ເມຣິກາແນ້ວໜີ່ສະກຸນອາກາສແລະທາງເດີນຂອງຄວງອາທິຍົກທີ່ແຕກຕ່າງຈາກປະເທດໄທ ແລະແບບจำลองແຕ່ລະແບບກື່ອງໃຊ້ສົມນິຕູ້ານເກີ່ວກັນແສງกระຈາຍຈາກห้องฟ้า (skylight) ທີ່ຕ່າງກັນ ດັ່ງນັ້ນ ການນຳແບບจำลองນາໃຊ່ຈາກຈຶ່ງຄວາມນີ້ການທົດສອນສມຽດຄະນະຂອງແຕ່ລະແບບจำลองດ້ວຍຂໍ້ມູນການວັດ ເພື່ອພິຈາລາຍາແບບจำลองທີ່ເໝາະກັນການໃຊ່ຈາກໃນສະກຸນອາກາສແບບປະເທດໄທ

นอกเหนือไปจากการคำนวณปริมาณแสงสว่างธรรมชาติในรูป diffuse illuminance บนพื้นอุ่น สามารถทำได้โดยการอินทิเกรตปริมาณแสงสว่างจากส่วนต่างๆ ของห้องฟ้า (sky luminance) ตลอดทั้งทรงกลมห้องฟ้าที่อยู่เหนือพื้นอุ่นอุ่นที่พิจารณา ผลที่ได้จะทำให้ทราบปริมาณแสงสว่างในรูป diffuse illuminance ທີ່ຕົກຮະຫບນພື້ນເອີ້ນນັ້ນ

ในงานวิจัยนี้ ผู้วิจัยຈຶ່ງເສັນອົງທີ່ຈະສຶກຍາແລະທົດສອນສມຽດຄະນະຂອງແບບจำลองสำหรับคำนวณ diffuse illuminance บนพื้ນເອີ້ນແບບຕ່າງໆ ເພື່ອພິຈາລາຍາແບບจำลองທີ່ເໝາະກັນການໃຊ່ຈາກໃນສະກຸນອາກາສແບບປະເທດໄທ ນອກຈາກນັ້ນຈະทำการคำนวณปริมาณแสงสว่างธรรมชาติໃນรูป diffuse illuminance บนพื้ນເອີ້ນ ດ້ວຍວິທີການອິນທິເກຣຕົ່ວ່າ sky luminance ຈາກແບບจำลองແສງສ່ວງຈາກສ່ວນຕ່າງໆ ຂອງห้องฟ้า (sky luminance model) ທີ່ໃຊ້ກາພຄ່າຍດາເຖິ່ງໃນການຈຳແນກສະກຸນທີ່ກັບການໃຊ່ຈາກໃນດ້ານການໃຊ້ແສງສ່ວງธรรมชาตີເພື່ອປະຫຼິດພັດງານຕ່ອງໄປປະຢຸກຕົ່ວ່າການໃຊ່ຈາກໃນດ້ານການໃຊ້ແສງສ່ວງธรรมชาตີເພື່ອປະຫຼິດພັດງານຕ່ອງໄປ

## 2. ວັດຄູປະສົງຂອງຈາກວິຊາ

- 1) ເພື່ອທົດສອນສມຽດຄະນະຂອງແບບจำลองสำหรับคำนวณ diffuse illuminance บนพื้ນເອີ້ນທີ່ນັກວິຊາຕ່າງໆ ພັດນາຂຶ້ນ
- 2) ເພື່ອພັດນາວິທີການคำนวณ diffuse illuminance บนพื้ນເອີ້ນ ໂດຍໃຊ້ແບບจำลอง sky luminance ທີ່ໃຊ້ກາພຄ່າຍດາເຖິ່ງໃນການຈຳແນກສະກຸນທີ່ກັບການໃຊ່ຈາກໃນດ້ານການໃຊ້ແສງສ່ວງธรรมชาตີເພື່ອປະຫຼິດພັດງານຕ່ອງໄປ

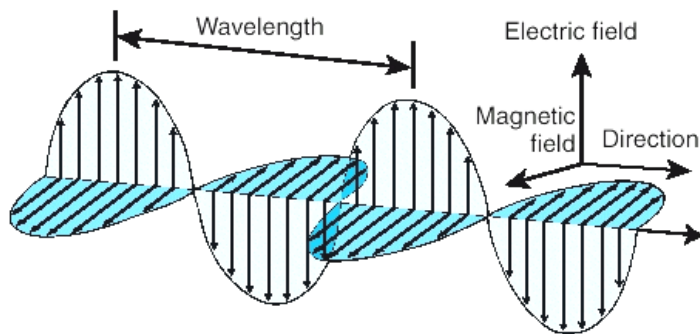
## บทที่ 2

### หลักทางวิชาการและงานวิจัยที่เกี่ยวข้อง

ในการดำเนินการวิจัยเกี่ยวกับแสงสว่างธรรมชาติ จำเป็นต้องมีพื้นความรู้เกี่ยวกับแสงสว่างทั่วไปซึ่งเป็นคลื่นแม่เหล็กไฟฟ้า โดยจะกล่าวในรายละเอียดดังนี้

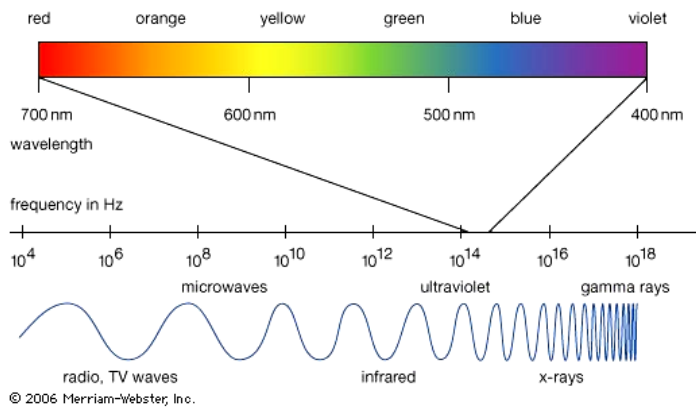
#### 2.1 คลื่นแม่เหล็กไฟฟ้า

คลื่นแม่เหล็กไฟฟ้า เป็นคลื่นตามขวางที่ประกอบด้วยสนามแม่เหล็กและสนามไฟฟ้าตั้งจากกัน และเคลื่อนที่ไปในทิศทางที่ตั้งฉากกับทั้งสนามแม่เหล็กและสนามไฟฟ้า โดยมีความเร็วในสูญญากาศเท่ากับ  $3 \times 10^8 \text{ m/s}$



รูปที่ 2.1 แสดงการเคลื่อนที่ของคลื่นแม่เหล็กไฟฟ้าในสูญญากาศ

ในกรณีที่ว่าไป คลื่นแม่เหล็กไฟฟ้ามีคุณสมบัติซึ่งสามารถทำนายหรืออธิบายได้ด้วยสมการของแมกซ์เวลล์ (Maxwell's equation) โดยคุณสมบัติที่สำคัญได้แก่ การหักเห การสะท้อน การเลี้ยวเบน และการแทรกสอด สำหรับกรณีของปรากฏการณ์ของคลื่นแม่เหล็กไฟฟ้าในระดับอะตอมจะต้องพิจารณาว่า คลื่นแม่เหล็กไฟฟ้าเป็นอนุภาค แล้วต้องใช้ทฤษฎีความตันในการอธิบายปรากฏการณ์ต่างๆ ที่เกี่ยวข้อง คลื่นแม่เหล็กไฟฟ้ามีความยาวคลื่นไม่จำกัด โดยสามารถพบคลื่นแม่เหล็กไฟฟ้าได้ตั้งแต่รังสีแกรมมา รังสีเอกซ์ รังสีอุตตราไวโอเลต แสงสว่าง และคลื่นวิทยุ (ดังรูปที่ 2.2)

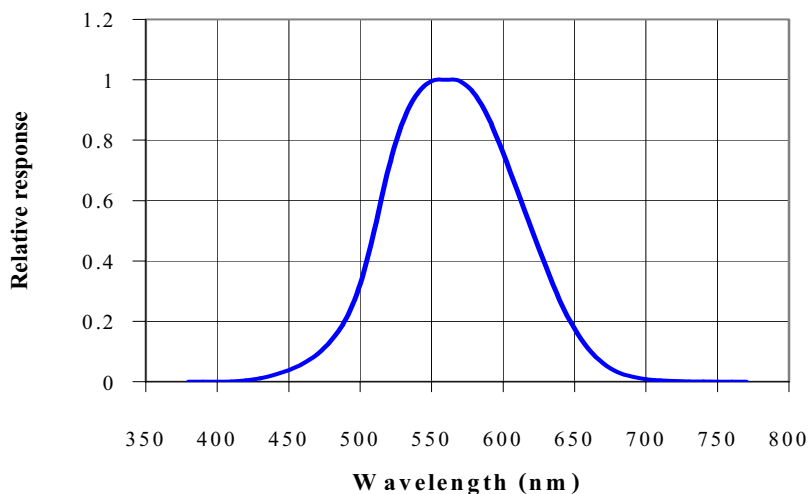


รูปที่ 2.2 แสดงคลื่นแม่เหล็กไฟฟ้าที่ความยาวคลื่นช่วงต่างๆ

## 2.2 แสงสว่าง (visible light)

### 2.2.1 การตอบสนองของสายตามนุษย์

แสงสว่างเป็นคลื่นแม่เหล็กไฟฟ้าในช่วงความยาวคลื่น  $0.38\text{--}0.77 \mu\text{m}$  ซึ่งสามารถรับรู้ได้ด้วยสายตาของมนุษย์ โดยทั่วไป ตาของมนุษย์จะตอบสนองต่อแสงสว่างที่ความยาวคลื่นต่างๆ ไม่เท่ากัน โดยจะตอบสนองแสงสีเขียวได้ดีกว่าสีแดงหรือสีม่วง โดย International Commission of Illumination (Centre International d' Eclairage, CIE) ได้กำหนดมาตรฐานการตอบสนองของสายตามนุษย์ในสภาพแสงปกติ ดังแสดงในรูปที่ 2.3



รูปที่ 2.3 แสดงการตอบสนองของสายตามนุษย์ตามมาตรฐานของ CIE (Murdoch, 1985)

### 2.2.2 ปริมาณแสงสว่าง

แสงสว่างโดยทั่วไปซึ่งรวมถึงแสงสว่างธรรมชาติจะมีการกำหนดศัพท์ทางเทคนิค ซึ่งใช้ในการนับปริมาณต่าง ๆ ดังนี้

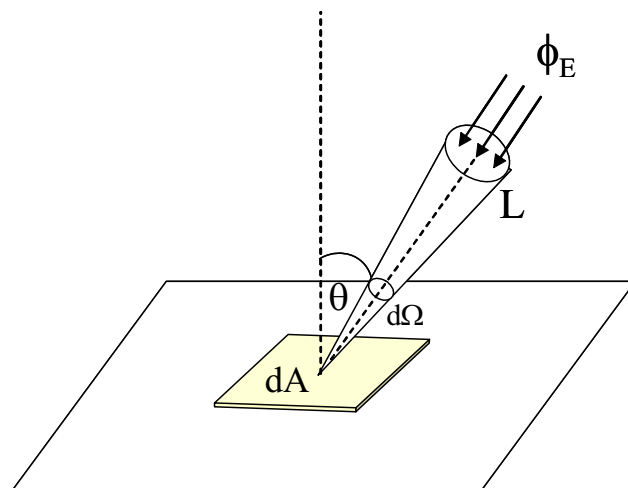
ก) พลักซ์ (flux) โดยทั่วไปพลักซ์ของคลื่นแม่เหล็กไฟฟ้าจะเป็นอัตราการไหลของพลังงาน ซึ่งมีหน่วยเป็นพลังงานต่อหนึ่งหน่วยเวลา ( $J/s$  หรือ  $Watt$ ) เมื่อพลักซ์ของแสงสว่างตกกระทบประสาทตาของมุขย์ ประสาทตาของมุขย์จะรับรู้ในรูปของพลักซ์ของแสงสว่างในหน่วยลูเมน (lumen) ซึ่งจะมีความสัมพันธ์กับพลักซ์ของคลื่นแม่เหล็กไฟฟ้าที่เข้ามา ดังนี้

$$683 \text{ lumen} = 1 \text{ W}$$

ที่ความยาวคลื่น 555 นาโนเมตร

พลักซ์ของแสงสว่างอาจเป็นพลักซ์ที่ออกมาจากแหล่งกำเนิดแสงหรือที่ตัวกรอบพื้นที่ต่างๆ หรือเป็นพลักซ์ของแสงสว่างที่เคลื่อนที่ผ่านตัวกลางต่าง ๆ

ข) Luminance เป็นพลักซ์ของแสงสว่างที่ผุ่งเข้าหรือผุ่งออกจากจุดบนพื้นที่ตั้งฉากกับทางเดินแสงหนึ่งหน่วย ในกรวยแคบ ๆ ซึ่งมีมุมตัน 1 สเตอเรเดียน (steradian) หรือแสดงดังรูปที่ 2.4 และเขียนในรูปสมการได้ดังสมการที่ 2.1



รูปที่ 2.4 แสดงการให้คำจำกัดความของ luminance

$$L = \frac{d^2\phi_E}{dA \cos \theta d\Omega} \quad (2.1)$$

เมื่อ

$L$  = ลูมิแนนซ์ ( $\text{cd}/\text{m}^2$ )

$\phi_E$  = พลักซ์ของแสงสว่าง ( $\text{W}$ )

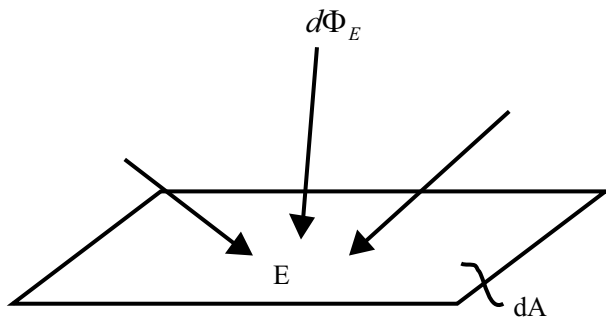
$\Omega$  = มุมตัน (steradian)

$A$  = พื้นที่ ( $\text{m}^2$ )

$\theta$  = มุมระหว่างเส้นตั้งฉากของพื้นราบกับทิศที่แสงเดินทาง (องศา)

luminance มีหน่วยเป็น  $\text{lumen}/\text{sr}\cdot\text{m}^2$  หรือมีหน่วยอีกอย่างหนึ่งว่า Candela  $/\text{m}^2$  โดยแสงจากท้องฟ้าในกรณีที่ท้องฟ้าปราศจากเมฆจะมีค่าอยู่ในช่วงประมาณ  $10-12 \text{ kCd}/\text{m}^2$  สำหรับแสงตรงจากดวงอาทิตย์จะมีค่าลูมิแนนซ์ได้สูงถึง  $20-50 \text{ kCd}/\text{m}^2$

ก) Illuminance เป็นปริมาณของพลักซ์แสงสว่างที่ตกกระทบต่อพื้นที่หนึ่งหน่วยมีหน่วยเป็น  $\text{lumen}/\text{m}^2$  ซึ่งมีชื่อเรียกอีกอย่างหนึ่งว่า ลักซ์ (lux) และคงดังรูปที่ 2.5 หรือเขียนได้ดังสมการที่ 2.2



รูปที่ 2.5 และแสดงการให้คำจำกัดความของ illuminance

$$E = \frac{d\phi_E}{dA} \quad (2.2)$$

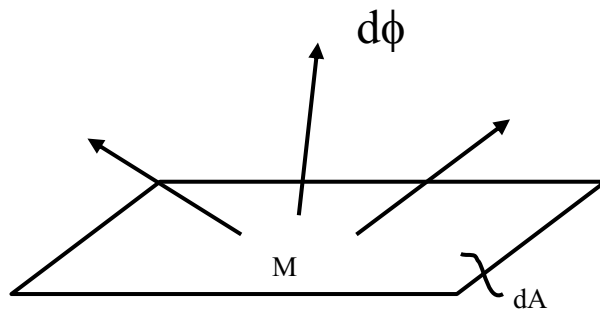
เมื่อ

$E$  = illuminance (lux)

$\Phi_E$  = พลังซ์ของแสงสว่าง (W)

$A$  = พื้นที่ ( $m^2$ )

ง) Luminous exitance เป็นปริมาณแสงสว่างที่คล้ายกับ illuminance แต่จะคิดในกรณีที่แสงพุ่งออกจากพื้นที่ จากการสะท้อนหรือจากการแผ่ออกมากของแสงสว่างจากพื้นที่นั้น ดังแสดงในรูปที่ 2.6 หรือเขียนได้ดังสมการที่ 2.3



รูปที่ 2.6 แสดงการให้คำจำกัดความของ luminous exitance

$$M = \frac{d\Phi_E}{dA} \quad (2.3)$$

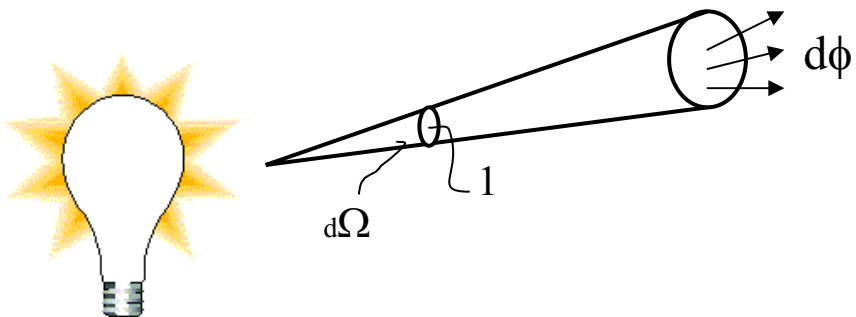
เมื่อ

$M$  = luminous exitance (lux)

$\Phi_E$  = พลังซ์ของแสงสว่าง (W)

$A$  = พื้นที่ ( $m^2$ )

๑) Luminous intensity เป็นปริมาณแสงสว่างที่ออกมาจากแหล่งกำเนิดแสง ซึ่งบอกในรูปของฟลักซ์ของแสงสว่างที่เปล่งออกมาจากแหล่งกำเนิดในรายแคบๆ หนึ่งหน่วยมุมตัน ดังแสดงในรูปที่ 2.7 หรือเขียนได้ดังสมการที่ 2.4



รูปที่ 2.7 แสดงการให้คำจำกัดความของ luminous intensity

$$I_E = \frac{d\phi_E}{d\Omega} \quad (2.4)$$

เมื่อ

$I_E$  = luminous intensity (lumen/steradian)

$\phi_E$  = ฟลักซ์ของแสงสว่าง (W)

$\Omega$  = มุมตัน (steradian)

โดย luminous intensity มีหน่วยเป็น lumen/steradian

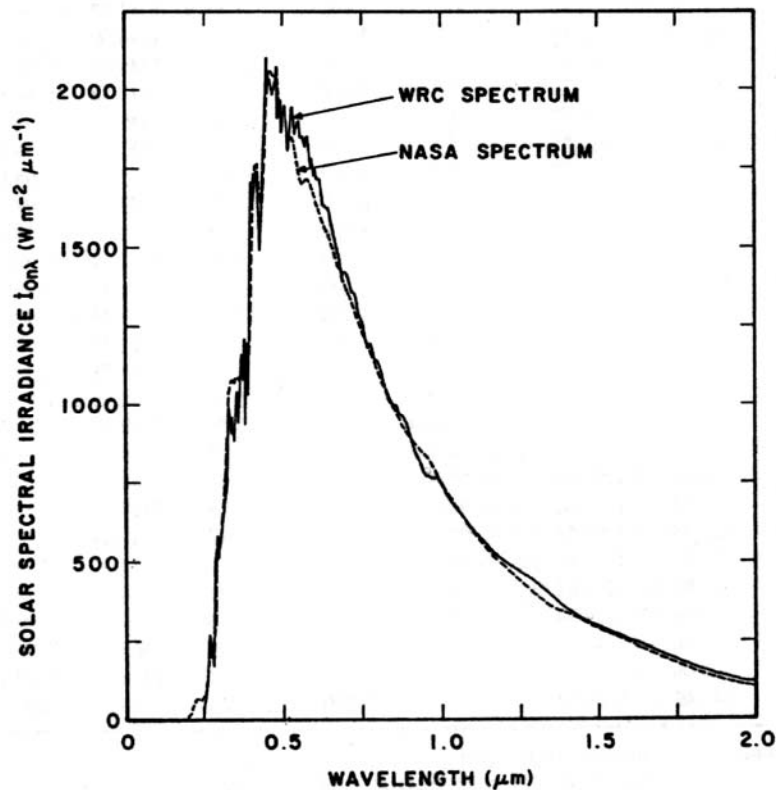
### 2.3 แสงสว่างธรรมชาติ (daylight)

#### 2.3.1 แหล่งกำเนิดของแสงสว่างธรรมชาติ

ดวงอาทิตย์ส่งพลังงานออกมามากๆ օว拉斯โดยรอบในรูปของคลื่นแม่เหล็กไฟฟ้าซึ่งมีความยาวคลื่นตั้งแต่รังสีแกมมาจนถึงคลื่นวิทยุ เมื่อผ่านบรรยากาศของโลกจะถูกโน้มเลกุลของอากาศ ผุ่นละอองและเมฆคุกคลื่น และกระเจิง โดยส่วนที่ตกกระทบพื้นผิวโลกจะเหลือเช่นพารังสีอุตตราไวโอล-

เลต แสงสว่าง และรังสีอินฟราเรด ซึ่งส่วนใหญ่อยู่ในช่วงความยาวคลื่น  $0.29\text{-}4.0 \mu\text{m}$  (Iqbal, 1983) ดังแสดงในรูปที่ 2.8

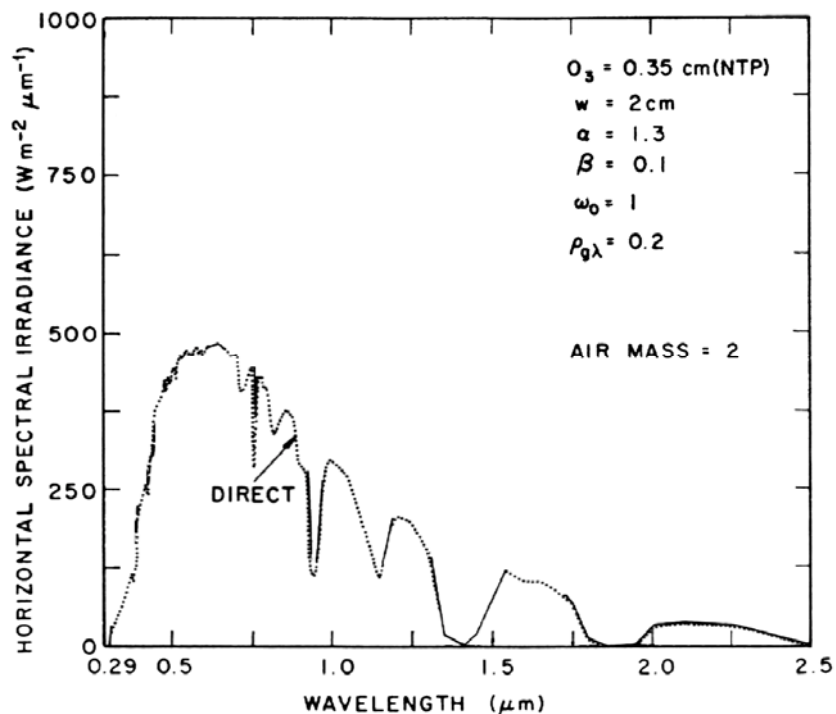
スペクトรัมรังสีดวงอาทิตย์ที่มาถึงพื้นผิวโลกนี้ มีเฉพาะบางส่วนเท่านั้นที่ส่ายตามนุษย์ สามารถรับรู้ได้ในรูปของแสงสว่าง คือ ในช่วงความยาวคลื่น  $0.38\text{-}0.77 \mu\text{m}$  โดยประมาณต่าจะตอบสนองต่อความยาวคลื่นต่างๆ ไม่เท่ากันกล่าวคือจะตอบสนองช่วงความยาวคลื่นของแสงสีเขียวได้ดีกว่าช่วงความยาวคลื่นของแสงสีแดงและสีนำเงิน



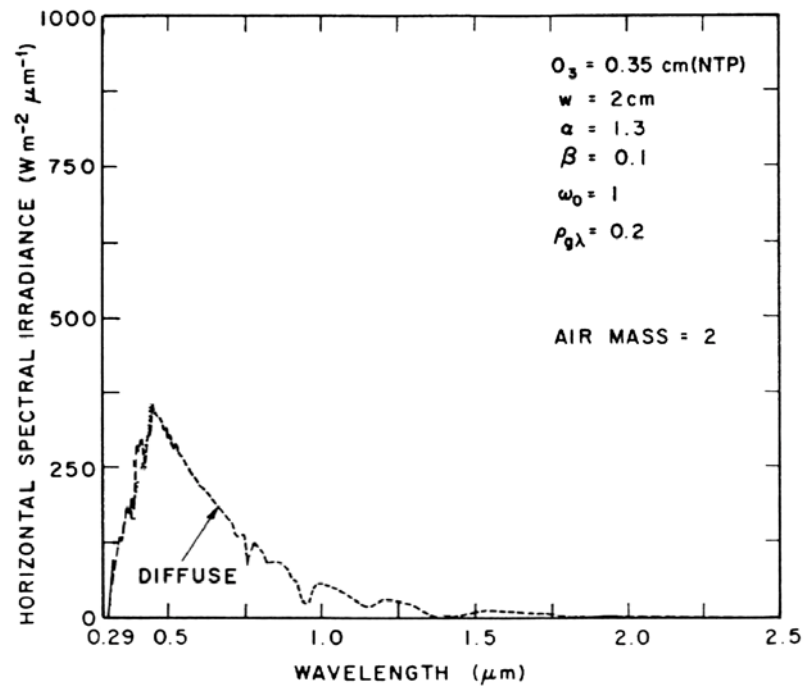
รูปที่ 2.8 แสดงスペกตรัมของรังสีดวงอาทิตย์ที่ผ่านบรรยากาศโลก (Iqbal, 1983)

เมื่อรังสีดวงอาทิตย์เคลื่อนที่ผ่านบรรยากาศสามารถยังพื้นผิวโลกจะถูก โนเลกูลากาศ ผุ่นละออง (aerosol) และเมฆดูดกลืน (absorb) และกระเจิง (scatter) ส่วนที่ถูกกระเจิงจะทำให้เกิดรังสีกระจาด (diffuse radiation) และส่วนที่เหลือผู้ทรงมายังผู้สัมภ์เกตจะเรียกว่า รังสีตรง (direct radiation)

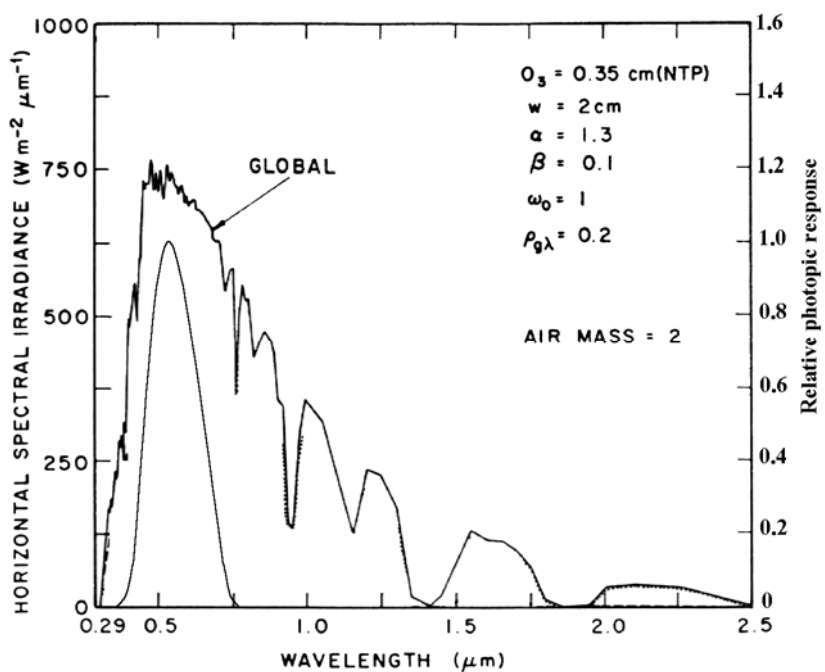
ผลกระทบของรังสีทั้งสองจะเรียกว่า รังสีรวม (global radiation) สเปกตรัมของรังสีตรง รังสีกระจาย และ รังสีรวม ในกรณีท้องฟ้าปราศจากเมฆจะขึ้นอยู่กับองค์ประกอบของบรรยากาศที่สำคัญ ได้แก่ โอโซน (ozone) ไอน้ำ ฝุ่นละออง และก๊าซต่าง ๆ นอกจากนี้ยังขึ้นอยู่กับมวลอากาศ (air mass) ที่รังสีดวงอาทิตย์เคลื่อนที่ผ่าน ตัวอย่างของสเปกตรัมรังสีตรง รังสีกระจายและรังสีรวม แสดงดังรูปที่ 2.9 – 2.11



รูปที่ 2.9 แสดงตัวอย่างของสเปกตรัมรังสีตรง (Iqbal, 1983)

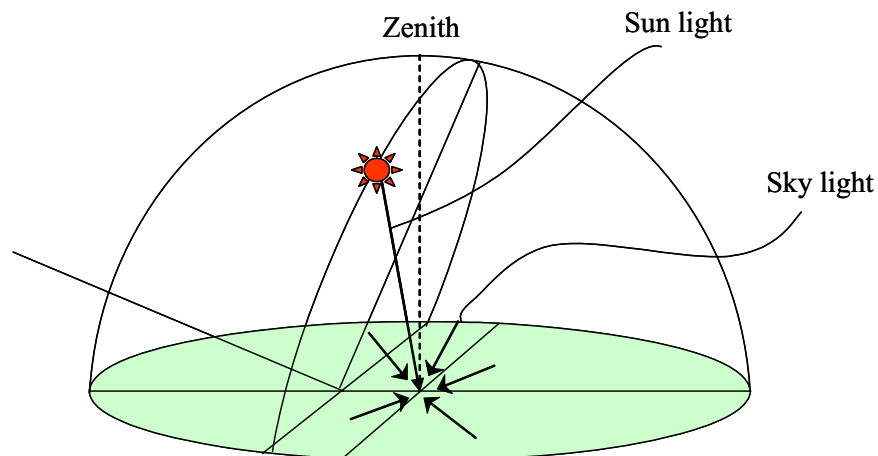


รูปที่ 2.10 แสดงตัวอย่างของสเปกตรัมรังสีกราะจาย (Iqbal, 1983)



รูปที่ 2.11 แสดงตัวอย่างของสเปกตรัมรังสีรวม (Iqbal, 1983)

ส่วนของスペกตรัมรังสีดวงอาทิตย์ที่สายตามนุษย์สามารถดูได้จะเรียกว่า แสงสว่างธรรมชาติ (daylight) ซึ่งประกอบด้วยสองส่วน ได้แก่ แสงตรงจากดวงอาทิตย์ (sunlight) และ แสงกระเจาจากห้องฟ้า (skylight) ซึ่งมีความยาวคลื่นในช่วง  $0.38\text{-}0.77 \mu\text{m}$  โดยแสงตรงจากดวงอาทิตย์จะเป็นส่วนของรังสีดวงอาทิตย์ที่พุ่งตรงจากดวงอาทิตย์ผ่านบรรยากาศของโลกมาถึงตำแหน่งที่พิจารณา ส่วนแสงกระเจาจากห้องฟ้าจะเป็นแสงที่เกิดจากการกระเจิง (scattering) ของแสงตรงจากดวงอาทิตย์โดยโมเลกุลของอากาศ ฝุ่นละออง และเมฆ ดังแสดงในรูปที่ 2.12



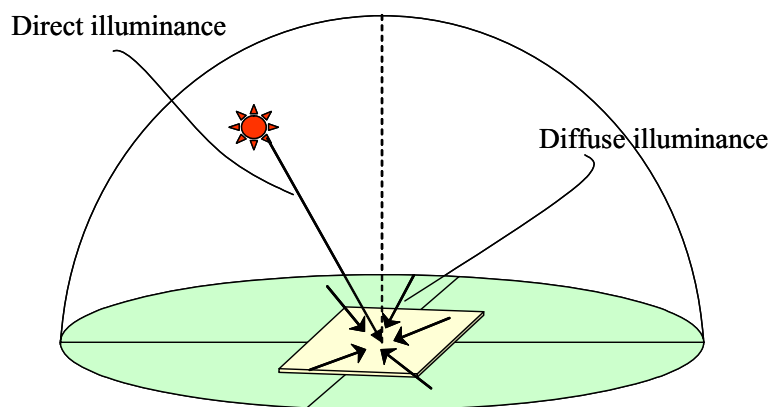
รูปที่ 2.12 แสดงแสงตรงจากดวงอาทิตย์ (sunlight) และแสงกระเจาจากห้องฟ้า (skylight)

เมื่อแสงตรงจากดวงอาทิตย์และแสงกระเจาจากห้องฟ้าตกกระทบพื้นดิน ต้นไม้ และสิ่งปลูกสร้างต่างๆ จะมีการสะท้อน ซึ่งแสงสว่างส่วนนี้ยังคงเป็นแสงสว่างธรรมชาติอีกส่วนหนึ่งซึ่งเรียกว่า แสงสว่างธรรมชาติ ซึ่งสะท้อนจากพื้นผิวโลก

### 2.3.2 ปริมาณแสงสว่างธรรมชาติ

#### ก) Direct Illuminance และ Diffuse Illuminance

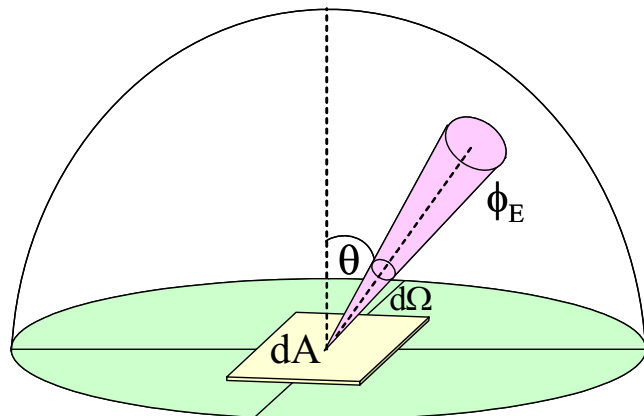
เป็นปริมาณของแสงสว่างธรรมชาติในรูปของฟลักซ์แสงสว่างจากดวงอาทิตย์ที่ตกกระทบพื้นที่หนึ่งหน่วย ถ้าเป็นฟลักซ์ของแสงตรงจากดวงอาทิตย์ จะเรียกว่า direct illuminance หรือ beam illuminance กรณีที่เป็นฟลักซ์ของแสงกระจายจากท้องฟ้า จะเรียกว่า diffuse illuminance และเรียกผลรวมว่า global illuminance ดังแสดงในแผนภูมิรูปที่ 2.13



รูปที่ 2.13 แสดงความเข้มของแสงสว่างธรรมชาติในรูปของ direct illuminance และ diffuse illuminance

#### ข) sky luminance

เมื่อรังสีดวงอาทิตย์เดินทางผ่านบรรยากาศของโลกจะถูกกระเจิงโดยโมเลกุลของอากาศ ฝุ่นละออง และเมฆ เกิดเป็นรังสีกระเจาย ซึ่งสามารถนุยยับรู้ได้ในรูปของความเข้มของแสงสว่างจากส่วนต่างๆ ของท้องฟ้า หรือ sky luminance ดังแสดงในรูปที่ 2.14



รูปที่ 2.14 แสดงความเข้มของแสงสว่างธรรมชาติในรูปของความเข้มของแสงสว่างจากส่วนต่างๆ ของท้องฟ้า หรือ sky luminance

โดยทั่วไปที่สภาพท้องฟ้าแบบหนึ่งและดวงอาทิตย์อยู่ ณ ตำแหน่งหนึ่ง ค่าความเข้มแสงสว่างจากส่วนต่างๆ ของท้องฟ้า จะมีค่าเข็มอยู่กับระยะห่างเชิงมุม (angular distance) จากจุดๆ นั้น กับดวงอาทิตย์ และมุมเชนิชของจุดๆ นั้น (Kittler, 1967)

### 2.3.3 การหาค่าปริมาณแสงสว่างธรรมชาติ

#### ก) แสงสว่างธรรมชาตินอกบรรยากาศโลก

โดยทั่วไปแสงสว่างธรรมชาตินอกบรรยากาศโลกสามารถหาได้โดยการคำนวณ ทั้งนี้ เพราะในปัจจุบันเราทราบค่าสเปกตรัมของรังสีดวงอาทิตย์นอกบรรยากาศโลกและค่า response ของสายตามนุxyz ที่ความยาวคลื่นต่างๆ ได้อย่างละเอียด จากปริมาณทั้งสองจะสามารถหาความเข้มแสงสว่างธรรมชาติในรูปของ illuminance บนระนาบตั้งฉากกับลำแสงจากดวงอาทิตย์ที่ระยะเฉลี่ยระหว่างโลกกับดวงอาทิตย์ โดยอาศัยสมการ

$$\bar{E}_{on} = k \int_{0.38}^{0.77} G_{s\lambda} R_\lambda d\lambda \quad (2.5)$$

เมื่อ  $\bar{E}_{on}$  = illuminance ของแสงอาทิตย์นอกบรรยากาศโลกที่ระนาบตั้งฉากกับแสงจากดวงอาทิตย์ (lux)

$G_{S\lambda}$  = ความเข้มรังสีดวงอาทิตย์ที่ความยาวคลื่นต่างๆ บนระบบตั้งจากกันแสงที่  
ระยะเฉลี่ยระหว่าง โลก กับ ดวงอาทิตย์ ( $\text{W/m}^2 \cdot \mu\text{m}$ )

$R_\lambda$  = พิจารณาการตอบสนองของสายตามนุญช์ต่อความเข้มรังสีดวงอาทิตย์ที่ความ  
ยาวคลื่นต่างๆ (-)

$k$  = maximum luminous efficacy (683 lm/W)

เมื่อแทนค่า  $G_{S\lambda}$  และ  $R_\lambda$  ลงในสมการที่ 2.5 จะได้  $\bar{E}_{on}$  ดังสมการ

$$\bar{E}_{on} = 127.5 \quad (\text{klux}) \quad (2.6)$$

ค่า  $\bar{E}_{on}$  ที่ได้นี้เทียบกับค่า solar constant ( $1367 \text{ W/m}^2$ ) ซึ่งใช้ในการคำนวณความเข้มรังสีดวงอาทิตย์

#### ๔) แสงสว่างธรรมชาติที่พื้นผิวโลก

ดังที่กล่าวไปแล้วว่าแสงสว่างธรรมชาติที่พื้นผิวโลกประกอบด้วย แสงสว่างธรรมชาติที่พุ่งตรงมาจากดวงอาทิตย์ที่เรียกว่า beam illuminance และแสงที่กระเจิง (scatter) มาจากส่วนต่างๆ ของห้องฟ้าเรียกว่า diffuse illuminance การหาปริมาณทั้งสองในสภาพห้องฟ้าปราศจากเมฆสามารถคำนวณได้ แต่ในการคำนวณปริมาณดังกล่าวจำเป็นต้องทราบองค์ประกอบต่างๆ ของบรรยากาศที่สำคัญได้แก่ ปริมาณไอน้ำในบรรยากาศ (precipitable water) และปริมาณฝุ่นละออง (aerosols)

สำหรับกรณีห้องฟ้ามีเมฆ การคำนวณค่า illuminance โดยอาศัยข้อมูลภาคพื้นดินทำได้ยากทั้งนี้ เพราะเมฆเป็นตัวแปรที่สำคัญซึ่งมีผลต่อปริมาณแสงสว่างธรรมชาติทั้ง beam illuminance และ diffuse illuminance โดยที่ปริมาณและตำแหน่งของเมฆเป็นข้อมูลที่ไม่มีการวัดในลักษณะของการวัดประจำที่สถานีอุตุนิยมวิทยาทั่วไป ดังนั้นการหาค่า illuminance จึงทำได้โดยการจัดตั้งสถานีวัดและการทำการวัดต่อเนื่องกันเป็นเวลานานหลายปี เพื่อให้ได้ค่าที่เป็นตัวแทนทางสถิติของบริเวณนั้น

### 2.3.4 การวัดปริมาณแสงสว่างธรรมชาติ

จากที่ทราบกันแล้วว่าปริมาณของแสงสว่างธรรมชาติจะขึ้นกับสภาพดินฟ้าอากาศ (weather) ซึ่งแปรตามฤดูกาลและสถานที่ ในการนำเสนอแสงสว่างธรรมชาติตามใช้งานในอาคาร ผู้ออกแบบอาคารจำเป็นต้องทราบข้อมูลของปริมาณแสงสว่างในบริเวณนั้นหรือบริเวณใกล้เคียง ซึ่งมีการวัดปริมาณแสงสว่างธรรมชาติ โดยการวัดที่สำคัญมีดังนี้

#### ก) การวัดปริมาณแสงสว่างธรรมชาติที่มาจากการส่วนต่าง ๆ ของห้องฟ้า

ข้อมูลดังกล่าวจะวัดในรูปของ luminance ซึ่งจะเป็นผลลัพธ์ของแสงสว่างที่เปล่งออกมาราจากห้องฟ้าเข้ามาในรายเดบต์ ต่อหนึ่งหน่วยพื้นที่ที่ตั้งฉากกับทิศที่แสงเข้ามา มีหน่วยเป็น candela/m<sup>2</sup> เครื่องมือที่ใช้วัดเรียกว่า sky scanner มีลักษณะดังรูปที่ 2.15



รูปที่ 2.15 แสดงเครื่อง sky scanner

เครื่องมือนี้จะมีหัววัดความเข้มแสงสว่างจากส่วนต่าง ๆ ของห้องฟ้า ซึ่ง瓜ดไปทั่วทุกส่วนของห้องฟ้า และจะวัดค่าความเข้มแสงสว่างจากส่วนต่าง ๆ ของห้องฟ้า ข้อมูลนี้ถือว่าเป็นข้อมูลที่ดีที่สุดสำหรับใช้ในการออกแบบอาคาร โดยใช้แสงสว่างธรรมชาติ ทั้งนี้เพื่อสามารถนำมาใช้

คำนวณปริมาณแสงสว่างธรรมชาติที่ผ่านช่องแสง หรือหน้าต่างอาคารเข้ามายังพื้นที่ที่ใช้งานในอาคาร ได้อย่างไรก็ตาม sky scanner มีราคาแพง จึงมีการวัดในประเทศต่างๆ น้อยมาก

#### ๖) การวัดปริมาณแสงสว่างธรรมชาติที่ตกกระทบบนราบต่างๆ

ผลลัพธ์ของแสงสว่างธรรมชาติที่ตกกระทบบนราบต่างๆ ต้องหนึ่งหน่วยพื้นที่จะเรียกว่า illuminance ประกอบด้วย direct หรือ beam illuminance และ diffuse illuminance และผลรวมของปริมาณทั้งสองจะเรียกว่า global illuminance ซึ่งมีหน่วยเป็น lumen/m<sup>2</sup> หรือ lux ซึ่งเครื่องมือที่ใช้วัดปริมาณดังกล่าว เรียกว่า ลักษณะมิเตอร์ (lux meter) มีลักษณะดังแสดงไว้ในรูปที่ 2.16



รูปที่ 2.16 แสดงลักษณะมิเตอร์

เครื่องมือดังกล่าวใช้วัด global illuminance บนราบต่างๆ ที่สำคัญ ได้แก่ การวัดบนพื้นราบ และการวัดบนราบในแนวตั้ง (vertical plane) ที่หันหน้าไปทางทิศเหนือ ได้ ตะวันออก และตะวันตก นอกจากนี้ยังสามารถใช้วัด diffuse illuminance บนพื้นราบ โดยการติดตั้งวงแหวนบังแสงตรง (ดังรูปที่ 2.17) จากค่า global illuminance และ diffuse illuminance บนพื้นราบ เราสามารถ

คำนวณ direct illuminance บนพื้นราบได้ จากนั้นจะสามารถนำไปใช้คำนวณ direct illuminance บนระนาบในแนวตั้งได้ ซึ่งค่าดังกล่าวเมื่อนำไปหักออกจากค่า global illuminace ในแนวตั้งก็จะได้ค่า diffuse illuminance บนระนาบในแนวตั้งได้ ค่า diffuse illuminance และค่า direct illuminance บนระนาบในแนวตั้ง โดยข้อมูลดังกล่าวเป็นข้อมูลที่สำคัญสำหรับใช้คำนวณปริมาณแสงสว่างธรรมชาติที่ผ่านช่องเปิดของกรอบอาคาร เช่น หน้าต่างเข้าไปภายในอาคาร



รูปที่ 2.17 แสดงเครื่องวัดแสงสว่างธรรมชาติที่กระจายจากห้องฟ้า



(a)

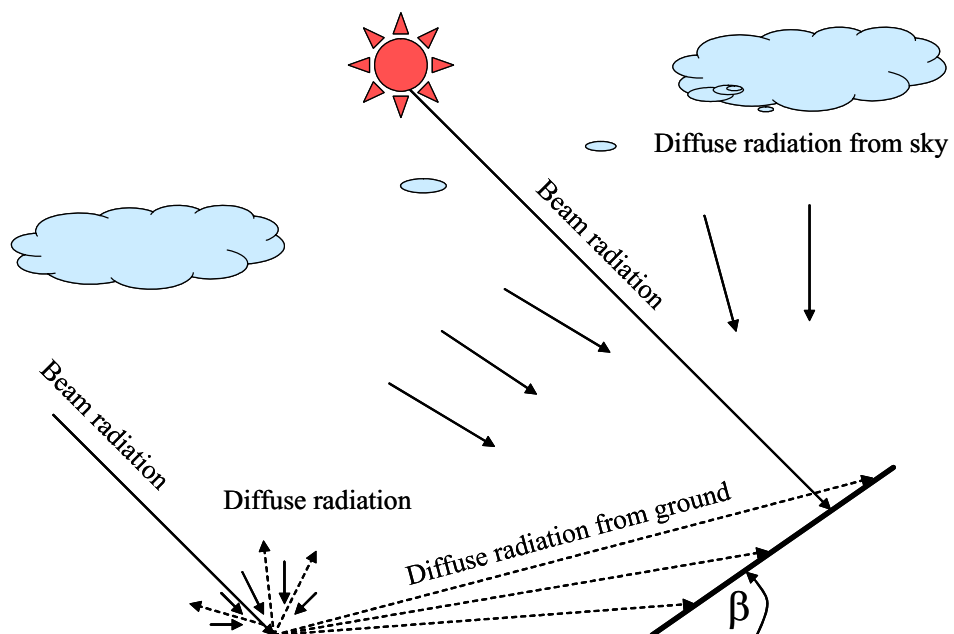


(b)

รูปที่ 2.18 แสดงเครื่องวัดแสงสว่างธรรมชาติบนระนาบในแนวดิ่ง 4 ทิศ (a)  
และบนระนาบ 45 องศา หันไปทิศใต้ (b)

## 2.4 ความเข้มรังสีดวงอาทิตย์บนพื้นอุ่น

รังสีดวงอาทิตย์บนพื้นอุ่นเป็นอุ่นที่มีความสำคัญต่องานด้านพลังงานแสงอาทิตย์และอนุรักษ์พลังงานทั้งนี้อุปกรณ์พลังงานแสงอาทิตย์มักมีตัวรับรังสีดวงอาทิตย์วางทำมุมกับพื้นราบ เพื่อให้รับรังสีดวงอาทิตย์ได้สูงสุด โดยทั่วไปความเข้มรังสีดวงอาทิตย์ที่ต่อกันระหว่างพื้นอุ่นจะประกอบด้วย 3 ส่วน ได้แก่ รังสีตรง รังสีกระจายจากห้องฟ้า และรังสีกระจายจากพื้นดินและถึงเวลาล้อม ดังรูปที่ 2.19



รูปที่ 2.19 แสดงรังสีดวงอาทิตย์บนพื้นอุ่น

โดยทั่วไป การคำนวณความเข้มรังสีดวงอาทิตย์บนพื้นอุ่นนั้นต้องแยกคำนวณแต่ละส่วน โดยในส่วนของความเข้มรังสีตรงบนพื้นอุ่นเป็นอุ่นสามารถหาได้โดยการแตกค่าของความเข้มรังสีตรงบนพื้นราบให้ไปอยู่บนพื้นอุ่นเป็นอุ่นเช่นเดียวกับการแตกแรง และส่วนของรังสีกระจายที่สะท้อนจากพื้นดินสามารถคำนวณได้โดยอาศัยค่าสัมประสิทธิ์การสะท้อนของพื้นดิน แต่สำหรับในส่วนของรังสีกระจายที่มาจากการท่องฟ้าการคำนวณจะค่อนข้างยุ่งยาก ทั้งนี้ เพราะแสงที่กระจายจากห้องฟ้าจะขึ้นกับสภาพของห้องฟ้าและตำแหน่งของดวงอาทิตย์ ซึ่งเปลี่ยนแปลงอยู่ตลอดเวลา

ในอดีตที่ผ่านมา มีนักวิจัยเสนอแบบจำลองสำหรับคำนวณปริมาณรังสีกระจายจากท้องฟ้านั้น เอียงขึ้นหลายแบบจำลอง เช่น แบบจำลองของ Lui and Jordan (1962), แบบจำลองของ Klucher (1979), แบบจำลองของ Perez (1990), แบบจำลองของ Muneer (1997) ฯลฯ โดยแบบจำลองรังสีกระจายจากท้องฟ้าเหล่านี้พัฒนาขึ้นสำหรับใช้คำนวณปริมาณรังสีความอาทิตย์ (irradiance) แต่ก็สามารถนำมาใช้กับการคำนวณปริมาณแสงสว่างธรรมชาติ (illuminance) ซึ่งเป็นส่วนหนึ่งของスペกตรัมรังสีความอาทิตย์ได้เช่นเดียวกัน

จากที่กล่าวไปแล้วว่าปริมาณรังสีรวมบนพื้นเอียงประกอบด้วย 3 ส่วน ได้แก่ รังสีตรงบนพื้นเอียง รังสีกระจายจากพื้นดิน และรังสีกระจายจากท้องฟ้า ซึ่งเปลี่ยนเป็นสมการได้ดังนี้

$$I_{gT} = I_{bT} + I_{dT,g} + I_{dT,sky} \quad (2.7)$$

โดยที่	$I_{gT}$	= รังสีรวมบนพื้นเอียง ( $\text{W/m}^2$ )
	$I_{bT}$	= รังสีตรงบนพื้นเอียง ( $\text{W/m}^2$ )
	$I_{dT,g}$	= รังสีกระจายบนพื้นเอียงจากพื้นดิน ( $\text{W/m}^2$ )
	$I_{dT,sky}$	= รังสีกระจายบนพื้นเอียงจากท้องฟ้า ( $\text{W/m}^2$ )

จากสมการที่ 2.8 ปริมาณรังสีในแต่ละส่วน สามารถคำนวณได้ตามรายละเอียดดังต่อไปนี้ ความเข้มรังสีตรงบนพื้นเอียง  $I_{bT}$  สามารถคำนวณได้เช่นเดียวกับการแตกแรง ซึ่งสามารถเขียนในรูปสมการได้ดังนี้

$$I_{bT} = I_{bh} \frac{\cos \theta_i}{\cos Z_s} = R_b I_{bh} \quad (2.8)$$

โดยที่	$I_{bh}$	= รังสีตรงบนพื้นราบ ( $\text{W/m}^2$ )
	$\theta_i$	= มุมตกกระทบของรังสีตรงบนพื้นเอียง (องศา)
	$Z_s$	= มุมตกกระทบของรังสีตรงบนพื้นราบที่เท่ากับมุม zenith (องศา)
	$R_b$	= geometric factor ซึ่งเท่ากับ $\frac{\cos \theta_i}{\cos Z_s}$

มุมตកกระทบของรังสีตรงบนพื้นเอียง ( $\theta_i$ ) และดังรูปที่ 2.20 และสามารถหาได้จากสมการ

$$\begin{aligned}\cos \theta_i &= (\sin \phi \cos \beta - \cos \phi \sin \beta \cos \gamma) \sin \delta \\ &\quad + (\cos \phi \cos \beta + \sin \phi \sin \beta \cos \gamma) \cos \delta \cos \omega \\ &\quad + \cos \delta \sin \beta \sin \gamma \sin \omega\end{aligned}\quad (2.9)$$

หรือ

$$\cos \theta_i = \cos \beta \cos Z_s + \sin \beta \sin Z_s \cos(\gamma_s - \gamma) \quad (2.10)$$

เมื่อ

$\theta_i$  = มุมตกกระทบของรังสีตรงบนพื้นเอียง (องศา)

$Z_s$  = มุมตกกระทบของรังสีตรงบนพื้นราบซึ่งเท่ากับมุมเชนิช (องศา)

$\beta$  = มุมเอียงของพื้นเอียง (องศา)

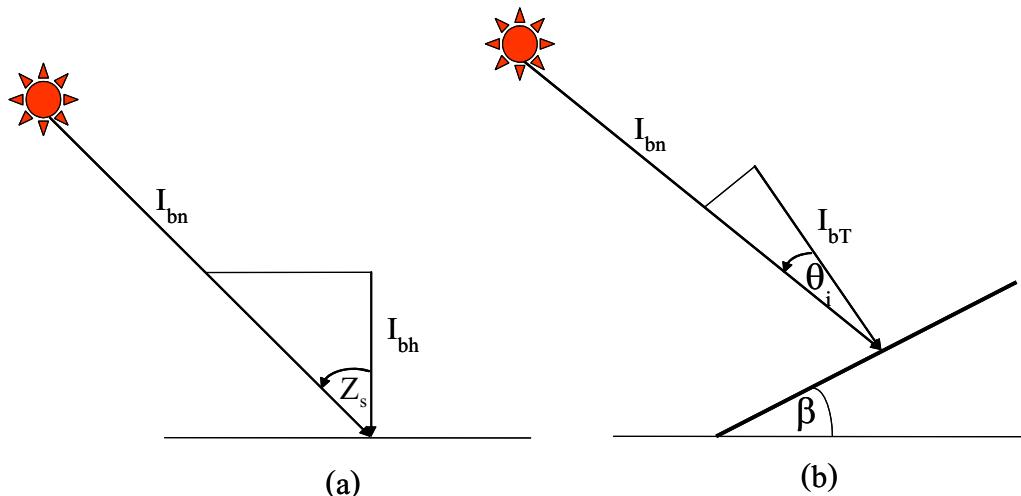
$\gamma$  = มุมอาชิมุขของพื้นเอียง (องศา)

$\gamma_s$  = มุมอาชิมุขของดวงอาทิตย์ (องศา)

$\phi$  = ละติจูด (องศา)

$\omega$  = มุมชั่วโมง (องศา)

$\delta$  = เดคลิเนชัน (องศา)



รูปที่ 2.20 และแสดงมุมตกกระทบของรังสีดวงอาทิตย์บนพื้นเอียง

มุมตកกระทบของรังสีตรงบนพื้นราบ ( $Z_s$ ) จะหาจากสมการ

$$\cos Z_s = \sin \delta \sin \phi + \cos \delta \cos \phi \cos \omega \quad (2.11)$$

เมื่อ

$Z_s$  = มุมตกกระทบของรังสีตรงบนพื้นราบที่ตั้งเท่ากับมุมเซนิช (องศา)

$\phi$  = ละติจูด (องศา)

$\omega$  = มุมชั่วโมง (องศา)

$\delta$  = เดคลิเนชัน (องศา)

ปริมาณรังสีกระจายในส่วนที่สะท้อนจากพื้นดิน ( $I_{dT,g}$ ) สามารถคำนวณได้โดยอาศัยค่าสัมประสิทธิ์การสะท้อนของพื้นดิน และ view factor ของพื้นอุปกรณ์ดังสมการ

$$I_{dT,g} = \frac{1}{2} I_{dh} \rho_g (1 - \cos \beta) \quad (2.12)$$

เมื่อ

$I_{dT,g}$  = รังสีกระจายบนพื้นอุปกรณ์จากพื้นดิน ( $\text{W/m}^2$ )

$\rho_g$  = สัมประสิทธิ์การสะท้อนของพื้นดิน (-)

ซึ่งโดยทั่วไปค่าสัมประสิทธิ์การสะท้อนของพื้นดินจะอยู่ที่ 0.2 หรือ 20%

การคำนวณปริมาณรังสีกระจายจากท้องฟ้านพื้นอุปกรณ์ มีขั้นตอนที่ค่อนข้างจะยุ่งยากเนื่องจากจำเป็นต้องทราบผลจากการคูดกลืนของเมฆและการกระจัดเจิงแสงของผุ่นละอองในบรรยากาศ ซึ่งมีส่วนทำให้ปริมาณรังสีกระจายจากท้องฟ้าในแต่ละทิศทางและแต่ละส่วนของท้องฟ้ามีลักษณะไม่เท่ากัน หรือเรียกว่ามีลักษณะเป็นแบบ Anisotropic โดยในอดีตที่ผ่านมาได้มีผู้เสนอแบบจำลองทางคณิตศาสตร์สำหรับใช้คำนวณปริมาณรังสีกระจายที่ตกลงกระทบบนระนาบอุปกรณ์ต่างๆ ขึ้นหลายแบบจำลอง โดยรายละเอียดของแต่ละแบบจำลองจะกล่าวในหัวข้อถัดไป

## 2.5 งานวิจัยที่เกี่ยวข้อง

ในอดีตที่ผ่านมา มีนักวิจัยในประเทศไทยต่างๆ ได้เสนอแบบจำลองสำหรับคำนวณแสงสว่างหรือรังสีดวงอาทิตย์บนพื้นอุ่นเพื่อปรับปรุงค่าคงที่ของรังสีที่ส่องบนพื้นดิน แต่ในขณะนี้การคำนวณในส่วนของรังสีตรง และส่วนของรังสีที่สะท้อนจากพื้นดินจะมีลักษณะเหมือนกัน แต่จะมีความแตกต่างของแต่ละแบบจำลองอยู่ในส่วนของการคำนวณปริมาณรังสีกระจายจากท้องฟ้า สำหรับงานวิจัยเกี่ยวกับแบบจำลองรังสีกระจายจากท้องฟ้าแบบต่างๆ มีรายละเอียดดังต่อไปนี้

### 2.5.1 แบบจำลองรังสีกระจายบนพื้นอุ่นแบบ Isotropic

แบบจำลองแบบ isotropic เป็นแบบจำลองที่ใช้สมมติฐานว่า ปริมาณรังสีกระจายจากท้องฟ้ามีลักษณะเท่ากันในทุกทิศทาง โดยงานวิจัยที่เกี่ยวกับแบบจำลองที่มีลักษณะแบบ isotropic มีดังต่อไปนี้

Liu และ Jordan (1962) เป็นคนแรกที่เสนอแบบจำลองรังสีกระจายบนพื้นอุ่น โดยพิจารณาว่ารังสีกระจายจากท้องฟ้าจะมีลักษณะเหมือนกันทุกทิศทาง (isotropic) โดยรังสีกระจายส่วนที่พื้นอุ่นได้รับจะขึ้นอยู่กับ view factor ของพื้นอุ่นเท่านั้น ซึ่งเป็นในรูปสมการได้ดังนี้

$$I_{dT,sky} = \frac{1}{2} I_{dh} (1 + \cos \beta) \quad (2.13)$$

เมื่อ  $\frac{1}{2} (1 + \cos \beta)$  เป็น view factor ของพื้นอุ่น และ  $\beta$  เป็นมุมเอียงของพื้นอุ่น (องศา) โดยแบบจำลอง Liu และ Jordan นี้ส่วนใหญ่ผู้ใช้งานจะเรียกชื่อว่า แบบจำลอง “isotropic”

Koronakis (1986) ใช้สมมติฐานของรังสีกระจายจากท้องเป็นแบบ isotropic แต่พิจารณาว่าที่มุมเอียง 90 องศา พื้นอุ่นควรได้รับรังสีกระจายประมาณ 67 % ของรังสีกระจายจากท้องฟ้าทั้งหมด ซึ่งแบบจำลองจะมีรูปสมการได้ดังนี้

$$I_{dT,sky} = \frac{1}{3} I_{dh} (2 + \cos \beta) \quad (2.14)$$

Tian (2001) ได้เสนอแบบจำลองรังสีกระจายบนพื้นอุ่น โดยพิจารณาว่าปริมาณรังสีกระจายบนพื้นอุ่นจากท้องฟ้า มีลักษณะเป็นฟังก์ชันเชิงเส้นของมุมอุ่นของพื้นอุ่น ดังนี้

$$\frac{I_{dT,sky}}{I_{dh}} = 1 - \frac{\beta}{180} \quad (2.15)$$

Badescu (2002) ได้เสนอแบบจำลองรังสีกระจายจากท้องฟ้าเป็นแบบ isotropic แต่คิด view factor ของพื้นอุ่นแบบ 3 มิติ ซึ่งต่างจากของ Liu และ Jordan ที่คิดแบบ 2 มิติ โดยแบบจำลองดังกล่าวเขียนได้ดังสมการ

$$I_{dT,sky} = I_{dh} \left( \frac{3 + \cos(2\beta)}{4} \right) \quad (2.16)$$

### 2.5.2 แบบจำลองรังสีกระจายบนพื้นอุ่นแบบ Anisotropic

แบบจำลองแบบ Anisotropic นั้นจะพิจารณาว่ารังสีที่กระจายจากส่วนต่างๆ ของท้องฟ้า มีลักษณะไม่เท่ากัน โดยในแบบจำลองจะมีการแบ่งรังสีกระจายจากท้องฟ้าออกเป็นส่วนต่างๆ คือ รังสีกระจายจากบริเวณรอบๆ ดวงอาทิตย์ (circumsolar) รังสีกระจายจากขอบฟ้า (horizontal brightening) และรังสีกระจายในส่วนที่เหลือแบบเป็น isotropic โดยงานวิจัยเกี่ยวกับแบบจำลองรังสีกระจายที่เป็นแบบ anisotropic มีรายละเอียดดังนี้

Iqbal (1983) เสนอแบบจำลอง circum-solar โดยแบบจำลองนี้จะพิจารณาว่ารังสีทั้งหมด ทุกทิศทางมาจากดวงอาทิตย์ ดังนั้นรังสีกระจายจึงเสมือนรังสีตรงจากดวงอาทิตย์ โดยเขียนในรูปสมการได้ดังนี้

$$I_{dT,sky} = I_{dh} R_b \quad (2.17)$$

$$\text{โดยที่ } R_b = \frac{\cos \theta_i}{\cos Z_s} \quad (2.18)$$

เมื่อ

$$I_{dT,sky} = \text{รังสีกระจายบนพื้นอุ่นจากท้องฟ้า (W/m^2)}$$

$$\begin{aligned}
 I_{dh} &= \text{รังสีกระจายบนพื้นราบ (W/m}^2\text{)} \\
 \theta_i &= \text{มุมต่อกลางของรังสีตรงบนพื้นเอียง (องศา)} \\
 Z_s &= \text{มุมเช่นนิชของดวงอาทิตย์ (องศา)}
 \end{aligned}$$

Bugler (1977) ได้เสนอแบบจำลองซึ่งสามารถเขียนได้ดังสมการ

$$I_{dT,sky} = [(I_{dh} - 0.05 \frac{I_{bT}}{\cos Z_s}) \frac{1 + \cos \beta}{2}] + 0.05 I_{bT} \cos \theta \quad (2.19)$$

เมื่อ	$I_{dT,sky}$ &= รังสีกระจายบนพื้นเอียง (W/m <sup>2</sup> ) $I_{dh}$ &= รังสีกระจายบนพื้นราบ (W/m <sup>2</sup> ) $\theta_i$ &= มุมต่อกลางของรังสีตรงบนพื้นเอียง (องศา) $Z_s$ &= มุมเช่นนิชของดวงอาทิตย์ (องศา) $\beta$ &= มุมเอียงของพื้นเอียง (องศา) $I_{bT}$ &= รังสีตรงบนพื้นเอียง (W/m <sup>2</sup> )
-------	---

Temps และ Coulson (1977) ได้เสนอแบบจำลองสำหรับสภาพห้องฟ้าปราศจากเมฆ โดยใช้ผลการศึกษาจากกรณีห้องฟ้าปราศจากเมฆ พบว่าความเข้มรังสีกระจายจากห้องฟ้าจะมีลักษณะเพิ่มขึ้นที่บริเวณขอบฟ้า และบริเวณรอบๆ ดวงอาทิตย์ และได้เสนอแฟกเตอร์ขึ้นใหม่ 2 เทอม ที่แสดงถึงอิทธิพลของรังสีกระจายบริเวณรอบๆ ดวงอาทิตย์ (circumsolar) และรังสีกระจายบริเวณขอบฟ้า (horizontal brightening) เพิ่มเข้าไปในแบบจำลอง isotropic ของ Liu และ Jordan โดยเทอมที่แสดงรังสีกระจายจากบริเวณรอบๆ ดวงอาทิตย์ คือ

$$P_1 = 1 + \cos^2 \theta_i \sin^3 Z_s \quad (2.20)$$

และเทอมที่แสดงรังสีกระจายจากบริเวณขอบฟ้า คือ

$$P_2 = 1 + \sin^3 \left( \frac{\beta}{2} \right) \quad (2.21)$$

ดังนั้น รังสีกระจายจากท้องฟ้าทั้งหมด จะเป็นได้ดังนี้

$$I_{dT,sky} = \frac{1}{2} I_{dh} (1 + \cos \beta) \left[ 1 + \sin^3 \left( \frac{\beta}{2} \right) \right] (1 + \cos^2 \theta_i \sin^3 Z_s) \quad (2.22)$$

เมื่อ

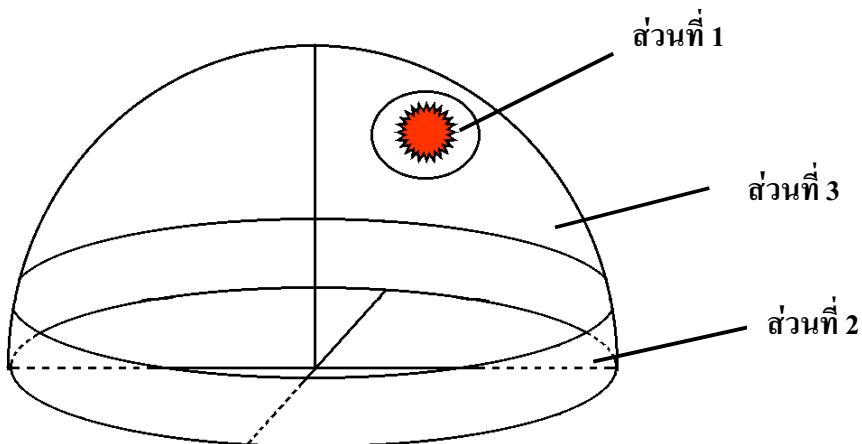
$I_{dT,sky}$  = รังสีกระจายบนพื้นอิ่ยจากท้องฟ้า ( $\text{W/m}^2$ )

$I_{dh}$  = รังสีกระจายบนพื้นราบ ( $\text{W/m}^2$ )

$\theta_i$  = มุมตัดกระแทบทองรังสีตรงบนพื้นอิ่ย (องศา)

$Z_s$  = มุมเชนิชของดวงอาทิตย์ (องศา)

$\beta$  = มุมอิ่ยของพื้นอิ่ย (องศา)



รูปที่ 2.21 แสดงการแบ่งท้องฟ้าเป็น 3 ส่วน โดยส่วนที่ 1 เป็นท้องฟ้าบริเวณรอบดวงอาทิตย์ ส่วนที่ 2 เป็นท้องฟ้าบริเวณขอบฟ้า และส่วนที่ 3 เป็นท้องฟ้าส่วนที่เหลือ ตามแบบจำลองของ Temp-Coulson (1977)

Klucher (1979) ได้พัฒนาแบบจำลองของ Temp-Coulson เพื่อให้ใช้ได้กับกรณีสภาพท้องฟ้าทั่วไป โดยเสนอ เทอม modulating function ( $F'$ ) ขึ้น เพื่อใช้เป็นแฟคเตอร์ถ่วงน้ำหนักกระหว่างกรณีสภาพท้องฟ้าปราศจากเมฆ กับสภาพท้องฟ้ามีเมฆปกคลุมทั้งหมด

โดยที่

$$F' = 1 - (I_{dh} / I_{gh})^2 \quad (2.23)$$

โดยกรณีสภาพห้องฟ้าปราศจากเมฆ ( $F' = 1$ ) และในกรณีสภาพห้องฟ้ามีเมฆปุกคุณทึ้งหมัด ( $F' = 0$ ) แบบจำลองของ Klucher จะเป็นไปดังสมการ

$$\begin{aligned} I_{dT,sky} = I_{dh} & \{ [(1 + \cos \beta) / 2][1 - F' \sin^3 \beta / 2] \\ & \times [1 + F'(\cos^2 \theta_i)(\sin^3 Z_s)] \} \end{aligned} \quad (2.24)$$

เมื่อ

$I_{dT,sky}$  = รังสีกระเจยบนพื้นเอียงจากห้องฟ้า ( $\text{W/m}^2$ )

$I_{dh}$  = รังสีกระเจยบนพื้นราบ ( $\text{W/m}^2$ )

$I_{gh}$  = รังสีรวมบนพื้นราบ ( $\text{W/m}^2$ )

$\theta_i$  = มุมตกกระทบของรังสีตรงบนพื้นเอียง (องศา)

$Z_s$  = มุมเชนิชของดวงอาทิตย์ (องศา)

$\beta$  = มุมเอียงของพื้นเอียง (องศา)

Hay (1979) ได้เสนอแบบจำลองโดยพิจารณาองค์ประกอบที่ต่างๆ ทั้งหมด 2 ส่วน กันๆ คือ ส่วนที่เกิดจากบริเวณรอบคำแห่งดวงอาทิตย์ (circumsolar) และส่วนที่ 2 เป็นส่วนห้องฟ้าที่เหลือทึ้งหมัด ซึ่งมีรังสีกระเจยเหมือนกันทุกทิศทาง (isotropic) ดังรูปที่ 2.22 โดยที่ปริมาณรังสีทั้งสองส่วนจะถูก weight ด้วยเทอม Anistropic index ( $F''$ ) ซึ่งสามารถเขียนในรูปสมการได้ดังนี้

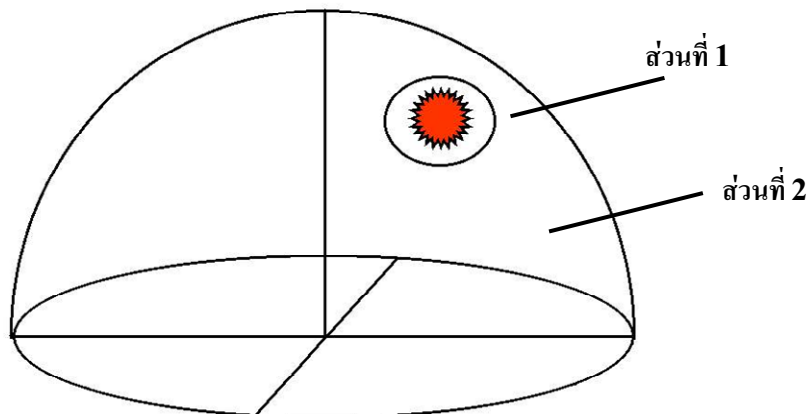
$$I_{dT,sky} = I_{dh} \{ F''(\cos(\theta_i) / \sin(\alpha_s)) + [(1 - F'')(1 + \cos(\beta)) / 2] \} \quad (2.25)$$

โดยที่

$$F'' = I_{bh} / I_{oh} \quad (2.26)$$

เมื่อ

- $I_{dT,sky}$  = รังสีกระบวนการพื้นเอียงจากท้องฟ้า ( $\text{W/m}^2$ )  
 $I_{dh}$  = รังสีกระบวนการพื้นราบ ( $\text{W/m}^2$ )  
 $I_{bh}$  = รังสีตรงบนพื้นราบ ( $\text{W/m}^2$ )  
 $I_{oh}$  = รังสีดวงอาทิตย์นอกบรรยายกาศโดยบนพื้นราบ ( $\text{W/m}^2$ )  
 $\theta_i$  = มุมตากกระทบของรังสีตรงบนพื้นเอียง (องศา)  
 $\alpha_s$  = มุมเอียงของดวงอาทิตย์ (องศา)  
 $\beta$  = มุมเอียงของพื้นเอียง (องศา)



รูปที่ 2.22 แสดงการแบ่งท้องฟ้าเป็น 2 ส่วน โดยส่วนที่ 1 เป็นท้องฟ้าบริเวณรอบดวงอาทิตย์ และส่วนที่ 2 เป็นท้องฟ้าส่วนที่เหลือ ตามแบบจำลองของ Hay (1979)

Wilmott (1982) ได้ใช้สมมติฐานเดียวกับ Hay แต่ได้นิยามเทอม anisotropic index ขึ้นมาใหม่ดังนี้คือ

$$K_i = \frac{I_{bn}}{I_{sc}} \cos \theta_i \quad (2.27)$$

เมื่อ

$$I_{sc} = \text{solar constant } (\text{W/m}^2)$$

$$I_{bn} = \text{รังสีตรงบนระนาบตั้งฉากกับลำแสง } (\text{W/m}^2)$$

โดยรังสีกระจายในส่วนที่เป็นแบบ anisotropic คือ

$$I_{d,ani} = I_{dh} \left( \frac{K_i}{\cos Z_s} \right) \quad (2.28)$$

และรังสีกระจายส่วนที่เป็น isotropic คือ

$$I_{d,iso} = I_{dh} C_\beta \left( 1 - \frac{K_0}{\cos Z_s} \right) \quad (2.29)$$

ดังนั้นรังสีกระจายจากท้องฟ้าบนพื้นอุบัติ สามารถเขียนได้ดังสมการ

$$I_{dT,sky} = I_{d,ani} + I_{d,iso} \quad (2.30)$$

เมื่อ  $K_0$  = anisotropic index กรณีพื้นราบ ( $K_i$  กรณี  $\beta=0$ )

$$\text{และ } C_\beta = 1.0115 - 0.20293\beta - 0.080823\beta^2 \quad (2.31)$$

$C_\beta$  คือ wilmott's isotropic reduction factor บนพื้นอุบัติ

Ma และ Iqbal (1983) ได้พัฒนาแบบจำลองซึ่งพิจารณาว่ารังสีกระจายจากท้องฟ้าแบ่งเป็น 2 ส่วน ก่อให้เกิดจากบริเวณรอบตำแหน่งดวงอาทิตย์ (circumsolar) และส่วนที่ 2 เป็นส่วนท้องฟ้าที่เหลือทั้งหมด สามารถเขียนได้ดังสมการ

$$I_{dT,sky} = I_{dh} \left[ M_T R_b + (1 - M_T) \cos^2 \left( \frac{\beta}{2} \right) \right] \quad (2.32)$$

โดยที่

$$M_T = \frac{I_{gh}}{I_{oh}} \quad (2.33)$$

เมื่อ

$$I_{dT,sky} = \text{รังสีกระจายบนพื้นอุบัติท้องฟ้า (W/m^2)}$$

$$I_{dh} = \text{รังสีกระจายบนพื้นราบ (W/m^2)}$$

$$\begin{aligned}
 I_{gh} &= \text{รังสีรวมบนพื้นราบ (W/m\textsup2)} \\
 I_{oh} &= \text{รังสีนอกบรรยายกาศ โอลกอบนพื้นราบ (W/m\textsup2)} \\
 \theta_i &= \text{มุมตัดกราบทบของรังสีตรงบนพื้นเอียง (องศา)} \\
 \beta &= \text{มุมเอียงของพื้นเอียง (องศา)} \\
 R_b &= \text{geometric factor ซึ่งเท่ากับ } \frac{\cos \theta_i}{\cos Z_s}
 \end{aligned}$$

Skartveit และ Olseth (1986) ได้เสนอแบบจำลองซึ่งพัฒนาขึ้นสำหรับใช้ในบริเวณที่ละตitudสูงๆ โดยแบบจำลองสามารถเขียนได้ตามสมการ

$$I_{dT,sky} = I_{dh} \left[ F'' R_b + C \cos \beta + (1 - F'' - C) \left( \frac{1 + \cos \beta}{2} \right) \right] \quad (2.34)$$

โดยที่

$$C = \max(0.3 - 2F'', 0) \quad (2.35)$$

เมื่อ

$$\begin{aligned}
 I_{dT,sky} &= \text{รังสีกระจายบนพื้นเอียงจากห้องฟ้า (W/m\textsup2)} \\
 I_{dh} &= \text{รังสีกระจายบนพื้นราบ (W/m\textsup2)} \\
 I_{bh} &= \text{รังสีตรงบนพื้นราบ (W/m\textsup2)} \\
 I_{oh} &= \text{รังสีนอกบรรยายกาศ โอลกอบนพื้นราบ (W/m\textsup2)} \\
 C &= \text{correction factor (-)} \\
 \theta_i &= \text{มุมตัดกราบทบของรังสีตรงบนพื้นเอียง (องศา)} \\
 \beta &= \text{มุมเอียงของพื้นเอียง (องศา)} \\
 R_b &= \text{geometric factor ซึ่งเท่ากับ } \frac{\cos \theta_i}{\cos Z_s}
 \end{aligned}$$

Gueymard (1984) ได้เสนอแบบจำลองสำหรับคำนวณค่ารังสีกระจายในสภาพห้องฟ้าที่มีเมฆปกคลุมบางส่วน โดยใช้ผลรวมเชิงเส้นระหว่างรังสีกระจายในสภาพห้องฟ้าที่ปราศจากเมฆ ( $I_{d0}$ ) กับรังสีกระจายในสภาพห้องฟ้าที่มีเมฆปกคลุมทั้งหมด ( $I_{dl}$ ) ซึ่งรังสีกระจายจากห้องฟ้าสามารถหาได้ดังสมการ

$$I_{dT,sky} = I_{dh} [(1 - N_G) I_{d0} + N_G I_{d1}] \quad (2.36)$$

โดยที่

$$N_G = \max[\min(Y, 1), 0] \quad (2.37)$$

เมื่อ

$$Y = 6.6667 \left( \frac{I_{dh}}{I_{gh}} \right) - 1.4167 \quad \frac{I_{dh}}{I_{gh}} \leq 0.227 \quad (2.38)$$

$$Y = 1.2121 \left( \frac{I_{dh}}{I_{gh}} \right) - 0.1758 \quad \frac{I_{dh}}{I_{gh}} > 0.227 \quad (2.39)$$

รังสีกระจายในสภาพท้องฟ้าที่ปราศจากเมฆ ( $I_{d0}$ ) จะเป็นผลรวมของรังสีกระจายบริเวณรอบดวงอาทิตย์และบริเวณขอบฟ้า ซึ่งแสดงดังสมการ

$$I_{d0} = \exp(a_0 + a_1 \cos \theta_i + a_2 \cos^2 \theta_i + a_3 \cos^3 \theta_i) + F(\beta)G(\alpha) \quad (2.40)$$

เมื่อ  $\alpha_s$  = มุมเงยของดวงอาทิตย์ (องศา) และ  $\alpha' = 0.01\alpha_s$

$$a_0 = -0.897 - 3.364\alpha' + 3.960\alpha'^2 - 1.909\alpha'^3 \quad (2.41)$$

$$a_1 = 4.448 - 12.962\alpha' + 34.601\alpha'^2 - 48.784\alpha'^3 + 27.511\alpha'^4 \quad (2.42)$$

$$a_2 = -2.770 + 9.164\alpha' - 18.876\alpha'^2 + 23.776\alpha'^3 - 13.014\alpha'^4 \quad (2.43)$$

$$a_3 = 0.312 - 0.217\alpha' - 0.805\alpha'^2 + 0.318\alpha'^3 \quad (2.44)$$

$$F(\beta) = \frac{(1 - 0.2249 \sin^2 \beta + 0.1231 \sin(2\beta) - 0.0342 \sin(4\beta))}{(1 - 0.2249)} \quad (2.45)$$

$$G(h) = 0.408 - 0.323\alpha' + 0.384\alpha'^2 - 0.170\alpha'^3 \quad (2.46)$$

ส่วนรังสีกระจายในสภาพท้องฟ้าที่เมฆปกคลุมทั้งหมด ( $I_{d1}$ ) จะขึ้นอยู่กับมุมเอียงของพื้น  
เอียงเพียงอย่างเดียว ซึ่งสามารถหาได้จากสมการ

$$I_{dl} = \frac{(1 + \cos\beta)}{2} - \frac{\left\{ \frac{(\beta \cos\beta - \sin\beta)}{\pi} + \frac{(1 - \cos\beta)}{2} \right\}}{\left( 1 + \frac{3}{2b} \right)} \quad (2.47)$$

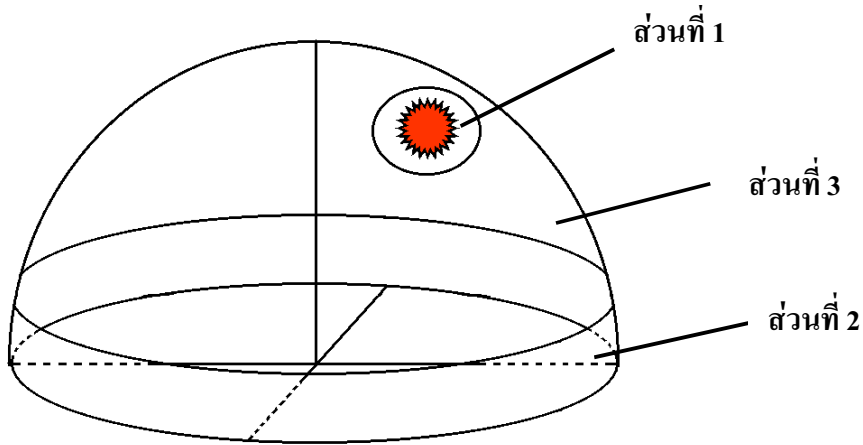
Reindl (1990) ได้เสนอแบบจำลอง โดยพิจารณาธีรกรรมจากห้องฟ้าเป็น 3 ส่วน โดยเพิ่มเติมจากแบบจำลองของ Hay กล่าวคือส่วนที่เกิดจากบริเวณรอบตำแหน่งดวงอาทิตย์ (circumsolar) ส่วนที่ 2 เป็นห้องฟ้าบริเวณขอบฟ้า และส่วนที่ 3 เป็นส่วนห้องฟ้าที่เหลือทั้งหมด ซึ่งมีรังสีกระจายเหมือนกันทุกทิศทาง (isotropic) ดังรูปที่ 2.23 แบบจำลองของ Reindl สามารถเขียนได้ดังสมการ

$$I_{dT,sky} = I_{dh} \left[ (1 - F'') \left( 1 + f \sin^3(\beta/2) \right) \left( 1 + \cos(\beta)/2 + F''(\cos(\theta)/\sin(\alpha_s)) \right) \right] \quad (2.48)$$

$$\text{โดย } f = I_{bh} / I_{gh} \quad (2.49)$$

$$F'' = I_{bh} / I_{oh} \quad (2.50)$$

เมื่อ	$I_{dT,sky}$	= รังสีกระจายบนพื้นอีียง ( $\text{W/m}^2$ )
	$I_{dh}$	= รังสีกระจายบนพื้นราบ ( $\text{W/m}^2$ )
	$\theta_i$	= มุมตกกระทบของรังสีตรงบนพื้นอีียง (องศา)
	$\alpha_s$	= มุมเบยของดวงอาทิตย์ (องศา)
	$\beta$	= มุมอีียงของพื้นอีียง (องศา)
	$I_{gh}$	= รังสีรวมบนพื้นราบ ( $\text{W/m}^2$ )
	$I_{bh}$	= รังสีตรงบนพื้นราบ ( $\text{W/m}^2$ )
	$I_{oh}$	= รังสีดวงอาทิตย์บนพื้นราบ ( $\text{W/m}^2$ )



รูปที่ 2.23 แสดงการแบ่งท้องฟ้าเป็น 3 ส่วน โดยส่วนที่ 1 เป็นท้องฟ้าบริเวณรอบดวงอาทิตย์ ส่วนที่ 2 เป็นท้องฟ้าบริเวณขอบฟ้า และส่วนที่ 3 เป็นท้องฟ้าส่วนที่เหลือ ตามแบบจำลองของ Reindl (1990)

Muneer (1997) เสนอแบบจำลอง ซึ่งแบ่งการพิจารณาเป็นด้านที่เห็นดวงอาทิตย์ (sunlit) และด้านที่ไม่เห็นดวงอาทิตย์ (shade) และแบ่งท้องฟ้าเป็นท้องฟ้าที่มีเมฆปุกคุณทั้งหมดและท้องฟ้าที่ไม่มีเมฆปุกคุณทั้งหมดในด้านที่เห็นดวงอาทิตย์

โดยรังสีกระจายจากท้องฟ้าในด้านที่ไม่เห็นดวงอาทิตย์ และด้านที่เห็นดวงอาทิตย์ในสภาพท้องฟ้าที่มีเมฆปุกคุณทั้งหมดสามารถหาได้จากสมการ

$$I_{dT,sky} = I_{dh} T_F \quad (2.51)$$

เมื่อ  $T_F$  คือ Tilt factor สามารถหาได้จากสมการ

$$T_F = \cos^2(\beta/2) + \frac{2b}{\pi(3+2b)} (\sin \beta - \beta \cos \beta - \pi \sin^2(\beta/2))$$

และสำหรับด้านที่เห็นดวงอาทิตย์ในสภาพท้องฟ้าแบบไม่มีเมฆปุกคุณทั้งหมดสามารถหาได้จากสมการ

$$I_{dT,sky} = I_{dh} \left[ T_F (1 - F'') + F'' \left( \frac{\cos \theta}{\cos Z_s} \right) \right] \quad (2.52)$$

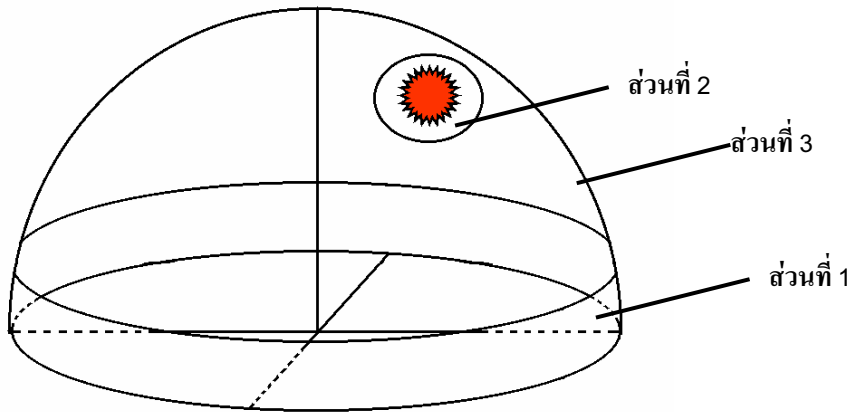
เมื่อ	$I_{dT,sky}$ = รังสีกระเจยบนพื้นเอียงจากห้องฟ้า ( $\text{W/m}^2$ )
	$I_{dh}$ = รังสีกระเจยบนพื้นราบ ( $\text{W/m}^2$ )
	$\theta_i$ = มุมตักกระทบของรังสีตรงบนพื้นเอียง (องศา)
	$Z_s$ = มุมเชนิชของดวงอาทิตย์ (องศา)
	$\beta$ = มุมเอียงของพื้นเอียง (องศา)
	$T_F$ = Tilt factor (-)
	$b$ = radiance distribution index (-)

โดยที่ในด้านที่ไม่เห็นดวงอาทิตย์และด้านที่เห็นดวงอาทิตย์ในสภาพห้องฟ้าที่มีเมฆปุกคุณทึ่งหมวด ค่า  $b$  มีค่าเท่ากับ 2.5 และสำหรับด้านที่เห็นดวงอาทิตย์ในสภาพห้องฟ้าที่ไม่มีเมฆปุกคุณทึ่งหมวดสามารถหาค่า  $b$  ได้จากสมการ

$$\frac{2b}{[\pi(3+2b)]} = 0.04 - 0.82F'' - 2.026F''^2 \quad (2.53)$$

สำหรับการคำนวณปริมาณรังสีดวงอาทิตย์ (irradiance) และสำหรับปริมาณแสงสว่าง (illuminance) ค่า  $b$  สามารถหาได้จากสมการ

$$\frac{2b}{[\pi(3+2b)]} = 0.111F'' - 4.317F''^2 \quad (2.54)$$



รูปที่ 2.24 แสดงการแบ่งท้องฟ้าออกเป็น 3 ส่วน โดยส่วนที่ 1 เป็นท้องฟ้าบริเวณขอบฟ้า ส่วนที่ 2 เป็นท้องฟ้าบริเวณรอบดวงอาทิตย์ และส่วนที่ 3 เป็นท้องฟ้าส่วนที่เหลือ ตามแบบจำลองของ Perez et al. (1990)

Perez et al. (1990) ได้พัฒนาแบบจำลองสำหรับคำนวณรังสีกระจายจากท้องฟ้านั้น เอียงโดยแบ่งท้องฟ้าออกเป็น 3 ส่วน ได้แก่ บริเวณขอบฟ้า บริเวณรอบดวงอาทิตย์ และบริเวณที่เหลือ ดังแสดงในรูปที่ 2.24 จากนั้นจะทำการคำนวณรังสีกระจายจากท้องฟ้าซึ่งเป็นผลรวมของส่วนต่าง ๆ ตามสมการ

$$I_{dT,sky} = I_{dh} [0.5(1 + \cos\beta)(1 - F_1) + F_1(a_1/a_2) + F_2 \sin\beta] \quad (2.55)$$

โดย

$$a_1 = \max[0, \cos\theta_i] \quad (2.56)$$

$$a_2 = \max[\cos 85, \cos Z_s] \quad (2.57)$$

$$F_1 = \max\{0, [f_{11} + f_{12}\Delta + f_{13} * Z_s (\pi/180)]\} \quad (2.58)$$

$$F_2 = [f_{21} + f_{22}\Delta + f_{23} * Z_s (\pi/180)] \quad (2.59)$$

เมื่อ

$I_{dT,sky}$  = รังสีกระจายบนพื้นเอียงจากท้องฟ้า ( $\text{W/m}^2$ )

$I_{dh}$  = รังสีกระจายบนพื้นราบ ( $\text{W/m}^2$ )

$\theta_i$  = มุมตกกระทบของรังสีตรงบนพื้นเอียง (องศา)

$Z_s$  = มุมเชนิชของดวงอาทิตย์ (องศา)

$\alpha_s$  = นุ่มเงยของดวงอาทิตย์ (องศา)

$\beta$  = นุ่มเอียงของพื้นเอียง (องศา)

$\Delta$  = sky brightness (-)

$\varepsilon$  = sky clearness (-)

โดยที่

$$\Delta = m_a \frac{I_{dh}}{I_{on}} \quad (2.60)$$

$$\varepsilon = \left[ \frac{I_{dh} + I_{bh}}{I_{dh}} + 5.535 \times 10^{-6} \times Z_s^3 \right] / \left( 1 + 5.535 \times 10^{-6} \times Z_s^3 \right) \quad (2.61)$$

เมื่อ

$m_a$  = air mass (-)

$I_{dh}$  = รังสีกระเจยบนพื้นราบ ( $W/m^2$ )

$I_{on}$  = รังสีดวงอาทิตย์บน空域ราศีโลกบนระนาบตั้งฉากกับลิ่มแสง ( $W/m^2$ )

$I_{bh}$  = รังสีตรงบนพื้นราบ ( $W/m^2$ )

สำหรับค่า  $f_{11}, f_{12}, f_{13}, f_{21}, f_{22}$  และ  $f_{23}$  จะขึ้นกับ sky clearness ( $\varepsilon$ ) ตามตารางที่ 2.1

ตารางที่ 2.1 แสดงค่าสัมประสิทธิ์ในแบบจำลองของ Perez et al. (1990)

bin ( $\varepsilon$ )	upper limit	f11	f12	f13	f21	f22	f23
1	1.065	0.0113	0.5707	-0.0820	-0.0947	0.1579	-0.0177
2	1.230	0.4296	0.3634	-0.3066	0.0499	0.0080	-0.0650
3	1.500	0.8093	-0.0535	-0.4422	0.1809	-0.1686	-0.0918
4	1.950	1.0141	-0.2522	-0.5311	0.2750	-0.3498	-0.0957
5	2.800	1.2818	-0.4205	-0.6888	0.3802	-0.5586	-0.1144
6	4.500	1.4257	-0.6533	-0.7789	0.4247	-0.7851	-0.0966
7	6.200	1.4848	-1.2139	-0.7837	0.4111	-0.6292	-0.0822
8	-	1.1695	-0.2998	-0.6149	0.5180	-1.8924	-0.0511

ค่าสัมประสิทธิ์ในตารางที่ 2.1 ตามแบบจำลอง Perez นั้นจะมีลักษณะขึ้นอยู่กับแต่ละสถานที่ โดยสัมประสิทธิ์ที่แสดงในตาราง Perez ได้ทำการพัฒนาจากข้อมูลการวัดในหลายๆ สถานที่ ทั้งบริเวณที่ละติจูดสูง และที่บริเวณละติจูดต่ำ เพื่อให้สามารถใช้ได้ทั่วไป แต่เพื่อการคำนวณที่ถูกต้องมากขึ้นควรมีการหาสัมประสิทธิ์ขึ้นใหม่จากข้อมูลการวัดในสถานที่ใช้งานนั้นๆ

Robledo และ Soler (1998) ได้ทำการพัฒนาสัมประสิทธิ์ของแบบจำลอง Perez โดยพิจารณาแยกกันระหว่างพื้นที่อุปกรณ์ด้านที่เห็นดวงอาทิตย์และด้านที่ไม่เห็นดวงอาทิตย์ และได้เสนอสัมประสิทธิ์ขึ้น 2 ชุด สำหรับใช้ในการคำนวณกรณีด้านที่เห็นและไม่เห็นดวงอาทิตย์ โดยกรณีด้านที่ไม่เห็นดวงอาทิตย์นั้น สัมประสิทธิ์  $F_l$  จะมีค่าเป็นศูนย์

สำหรับในประเทศไทยได้มีผู้พัฒนาค่าสัมประสิทธิ์ของ Perez ขึ้นเช่นกัน คือ Chirarattananon และคณะ (2006) โดยอาศัยข้อมูลการวัดความเข้มรังสีดวงอาทิตย์ (irradiance) และแสงสว่างธรรมชาติ (illuminance) บนนานาแนวเดิ่ง 4 ทิศทาง ที่สถาบัน Asian Institute of Technology (AIT) และได้เสนอสัมประสิทธิ์ขึ้นมา 3 แบบ คือ 1) แบบ AIT0a ซึ่งได้จากการวัดทั้งหมด 2) แบบ AIT0b เป็นสัมประสิทธิ์ที่ได้จากการแบ่งข้อมูลออกเป็นกรณีด้านที่เห็นดวงอาทิตย์และด้านที่ไม่เห็นดวงอาทิตย์ 3) แบบ AIT25 จะเหมือนกับแบบ AIT0a แต่จะพิจารณาบริเวณรอบๆ ดวงอาทิตย์ (circumsolar) เป็นพื้นที่ซึ่งรองรับด้วยมุมตัน 25 องศา โดยค่าสัมประสิทธิ์ทั้ง 3 แบบสำหรับใช้คำนวณปริมาณแสงสว่าง (illuminance) แสดงดังตารางที่ 2.2-2.5

ตารางที่ 2.2 แสดงค่าสัมประสิทธิ์ของ Perez et al. ที่พัฒนาใหม่จากข้อมูลวัดในประเทศไทย

ตามแบบ AIT0a

bin ( $\Sigma$ )	upper limit	f11	f12	f13	f21	f22	f23
1	1.065	0.1870	0.5780	-0.2120	0.1310	-0.0810	-0.1390
2	1.230	0.5830	0.1760	-0.3560	0.2720	-0.2060	-0.1920
3	1.500	0.6370	0.1620	-0.3660	0.3030	-0.2060	-0.2060
4	1.950	1.0860	-0.5100	-0.4710	0.4640	-0.4010	-0.2640
5	2.800	1.3790	-1.0510	-0.5850	0.6520	-0.6850	-0.3500
6	4.500	1.4030	-1.0180	-0.7270	0.8120	-0.9460	-0.4720
7	6.200	3.8840	-10.7870	-1.8250	2.3150	-7.0590	-1.0420
8	-	2.3500	-1.3650	-2.3770	1.9510	-4.9170	-1.4030

ตารางที่ 2.3 แสดงค่าสัมประสิทธิ์ของ Perez et al. ที่พัฒนาใหม่จากข้อมูลวัดในประเทศไทย  
ตามแบบ AIT0b กรณีค่าน้ำหนักที่เห็นด้วยอาทิตย์

bin ( $\Sigma$ )	upper limit	f11	f12	f13	f21	f22	f23
1	1.065	0.1560	0.4910	-0.1780	0.0710	-0.0280	-0.0740
2	1.230	0.4340	0.1300	-0.2570	0.1810	-0.1850	-0.0550
3	1.500	0.4150	0.1250	-0.2250	0.1930	-0.2020	-0.0250
4	1.950	0.6720	-0.3680	-0.2500	0.3620	-0.4970	-0.0260
5	2.800	0.6800	-0.5540	-0.2550	0.5020	-0.8320	-0.0050
6	4.500	0.2960	0.1760	-0.1960	0.5620	-1.1080	0.0310
7	6.200	-0.6250	4.5810	-0.1870	0.5940	-1.1880	0.0240
8	-	0.1070	3.1570	-0.9270	1.2710	-4.4610	-0.3360

ตารางที่ 2.4 แสดงค่าสัมประสิทธิ์ของ Perez et al. ที่พัฒนาใหม่จากข้อมูลวัดในประเทศไทย  
ตามแบบ AIT0b กรณีค่าน้ำหนักที่ไม่เห็นด้วยอาทิตย์

bin ( $\Sigma$ )	upper limit	f11	f12	f13	f21	f22	f23
1	1.065	-	-	-	0.0660	-0.4260	-0.0490
2	1.230	-	-	-	0.0000	-0.3280	-0.0390
3	1.500	-	-	-	-0.0040	-0.3140	-0.0490
4	1.950	-	-	-	-0.1120	-0.0980	-0.0440
5	2.800	-	-	-	-0.1120	-0.0320	-0.0610
6	4.500	-	-	-	-0.0240	-0.1620	-0.0840
7	6.200	-	-	-	0.0790	-0.3230	-0.1270
8	-	-	-	-	0.5130	-3.0140	-0.1810

ตารางที่ 2.5 แสดงค่าสัมประสิทธิ์ของ Perez et al. ที่พัฒนาใหม่จากข้อมูลวัดในประเทศไทย

ตามแบบ AIT25

bin ( $\Sigma$ )	upper limit	f11	f12	f13	f21	f22	f23
1	1.065	0.0680	0.7790	-0.1490	0.0820	-0.0480	-0.1000
2	1.230	0.5240	0.2490	-0.2950	0.2310	-0.2110	-0.1460
3	1.500	0.6300	0.1860	-0.3340	0.2740	-0.2180	-0.1700
4	1.950	1.1570	-0.5700	-0.4810	0.4420	-0.4120	-0.2350
5	2.800	1.5050	-1.0920	-0.6690	0.6320	-0.6630	-0.3340
6	4.500	1.6160	-1.0980	-0.9070	0.8130	-0.9290	-0.4770
7	6.200	1.7670	-0.1100	-1.4680	1.0710	-1.1380	-0.7880
8	-	3.1450	-2.9550	-3.1190	2.0690	-5.1800	-1.5040

แบบจำลองรังสีกระจายจากห้องฟ้านพื้นอุ่นเท่านั้น ที่ได้กล่าวมาข้างต้น ส่วนใหญ่พัฒนาโดยใช้ข้อมูลการวัดความเข้มรังสีดวงอาทิตย์ (irradiance) แต่ในความเป็นจริงแบบจำลองเหล่านี้สามารถนำมาใช้คำนวณปริมาณแสงสว่างธรรมชาติ (illuminance) ได้เช่นเดียวกัน

ในงานวิจัยนี้ ผู้วิจัยจะดำเนินการทดสอบสมรรถนะของแบบจำลองรังสีกระจายจากห้องฟ้านพื้นอุ่นแบบต่างๆ สำหรับคำนวณปริมาณแสงสว่างธรรมชาติในรูป diffuse illuminance บนระนาบแนวคิ่ง 90 องศา และบนระนาบอุ่น 45 องศา เพื่อพิจารณาหาแบบจำลองที่เหมาะสมสำหรับการใช้งานในประเทศไทย

## บทที่ ๓

### วิธีการวิจัยและผล

ในงานวิจัยนี้ ผู้วิจัยจะดำเนินการทดสอบและเปรียบเทียบสมรรถนะของแบบจำลองสำหรับคำนวณปริมาณ diffuse illuminance บนพื้นอิ่มแบบต่างๆ จากนั้นจะดำเนินการคำนวณปริมาณ diffuse illuminance บนพื้นอิ่ม ด้วยวิธีการอินทิเกรตปริมาณแสงสว่างจากส่วนต่างๆ ของท้องฟ้า (sky luminance) พร้อมทั้งทำการวิเคราะห์ลักษณะทางสถิติของปริมาณแสงสว่างธรรมชาติในประเทศไทย

#### 3.1 เครื่องมือวัด

ในงานวิจัยนี้จะใช้ข้อมูลปริมาณแสงสว่างธรรมชาติ ซึ่งประกอบด้วยข้อมูล global illuminance ที่ทำการวัดบนพื้นราบ บนระนาบแนวตั้ง และบนระนาบเอียง 45 องศา และข้อมูล diffuse illuminance บนพื้นราบ ข้อมูลดังกล่าวได้มาจากการวัดด้วยอุปกรณ์สำหรับวัดปริมาณแสงสว่างธรรมชาติ ซึ่งได้ติดตั้งไว้ตามภูมิภาคหลักของประเทศไทย 4 แห่งคือ

- 1) ภาคเหนือ ที่ศูนย์อุตุนิยมวิทยาภาคเหนือ อำเภอเมือง จังหวัดเชียงใหม่  
(18.78 °N, 98.98°E)
- 2) ภาคตะวันออกเฉียงเหนือ ที่ศูนย์อุตุนิยมวิทยาภาคตะวันออกเฉียงเหนือ อำเภอเมือง จังหวัดอุบลราชธานี (15.25 °N, 104.87 °E)
- 3) ภาคกลาง ที่คณะวิทยาศาสตร์ มหาวิทยาลัยศิลปากร อำเภอเมือง จังหวัดนครปฐม  
(13.82 °N, 100.04 °E)
- 4) ภาคใต้ ที่ศูนย์อุตุนิยมวิทยาภาคใต้ ฝั่งตะวันออก อำเภอเมือง จังหวัดสงขลา  
(7.2 °N, 100.6 °E)

อุปกรณ์สำหรับวัดแสงสว่างธรรมชาติที่ใช้ในงานวิจัยนี้ ประกอบด้วยอุปกรณ์ต่างๆ ดังนี้

- 1) อุปกรณ์วัด global illuminance บนพื้นราบและบนระนาบแนวตั้ง  
อุปกรณ์ดังกล่าวมีลักษณะเป็นกล่องสี่เหลี่ยม ขนาด  $30 \times 30 \times 30$  ซม. ซึ่งทำจากแผ่นอะลูมิเนียม กล่องดังกล่าวจะติดตั้งหัววัดลักษณะมิเตอร์ที่ด้านบนสำหรับวัด global illuminance บนแนวระดับ (horizontal plane) และที่ด้านข้างทั้ง 4 ด้านสำหรับวัด global illuminance บนระนาบแนวตั้ง (vertical plane) ด้านละ 1 ตัว โดยบริเวณขอบล่างของกล่องจะมีแผ่นกันแสงสะท้อนจากพื้นดินที่ทาด้วย

2) อุปกรณ์วัด global illuminance บนระนาบเอียง 45 องศา

อุปกรณ์ดังกล่าวทำจากแผ่นอะลูมิเนียมสี่เหลี่ยมผืนผ้าสีดำ ขนาด  $30 \times 45$  ซม. ลักษณะของแผ่นอะลูมิเนียมดังกล่าวจะซูกพับด้านหนึ่งให้มีมุมเอียง 45 องศาจากแนวระดับ โดยจะเหลือส่วนที่อยู่ในแนวระดับซึ่งทำหน้าที่บังรังสีสะท้อนจากพื้นดินไว้ 30 ซม. บนระนาบเอียงของแผ่นดังกล่าวจะทำการติดตั้งหัววัดลักษณะเดอร์ เพื่อใช้วัดแสงสว่างจากท้องฟ้าที่ตอกกระบบบนระนาบเอียง 45 องศา



(a)



(b)

รูปที่ 3.1 แสดงอุปกรณ์วัด global illuminance บนระนาบแนวดิ่ง (a)

และบนระนาบเอียง 45 องศา (b)

### 3) อุปกรณ์วัด diffuse illuminance บนพื้นราบ

สำหรับการวัด diffuse illuminance บนพื้นราบนี้ จะใช้หัววัดลักษณะมิเตอร์ซึ่งติดตั้งไว้ หวานสำหรับบังปริมาณแสงตรงจากดวงอาทิตย์ โดยในงานวิจัยนี้จะใช้วงแหวนบังรังสีดวงอาทิตย์ของ Kipp-Zonen รุ่น CM 121 อุปกรณ์ดังกล่าวมีลักษณะดังรูปที่ 3.2



รูปที่ 3.2 แสดงอุปกรณ์วัด diffuse illuminance บนพื้นราบ

หัววัดลักษณะมิเตอร์ที่ใช้ในงานวิจัยนี้ เป็นลักษณะมิเตอร์ชนิดใช้งานกลางแจ้งยี่ห้อ EKO รุ่น ML-020S-O สัญญาณที่ได้จากหัววัดจะอยู่ในรูปสัญญาณไฟฟ้าในช่วง 0-20 mV และทำการบันทึกสัญญาณด้วยเครื่อง Data collector ยี่ห้อ Yokogawa รุ่น DC 100 ลักษณะของลักษณะมิเตอร์และเครื่องบันทึกข้อมูลแสดงไว้ดังรูปที่ 3.3-3.4



รูปที่ 3.3 แสดงหัววัดลักษ์มิเตอร์



รูปที่ 3.4 แสดงเครื่องบันทึกข้อมูล

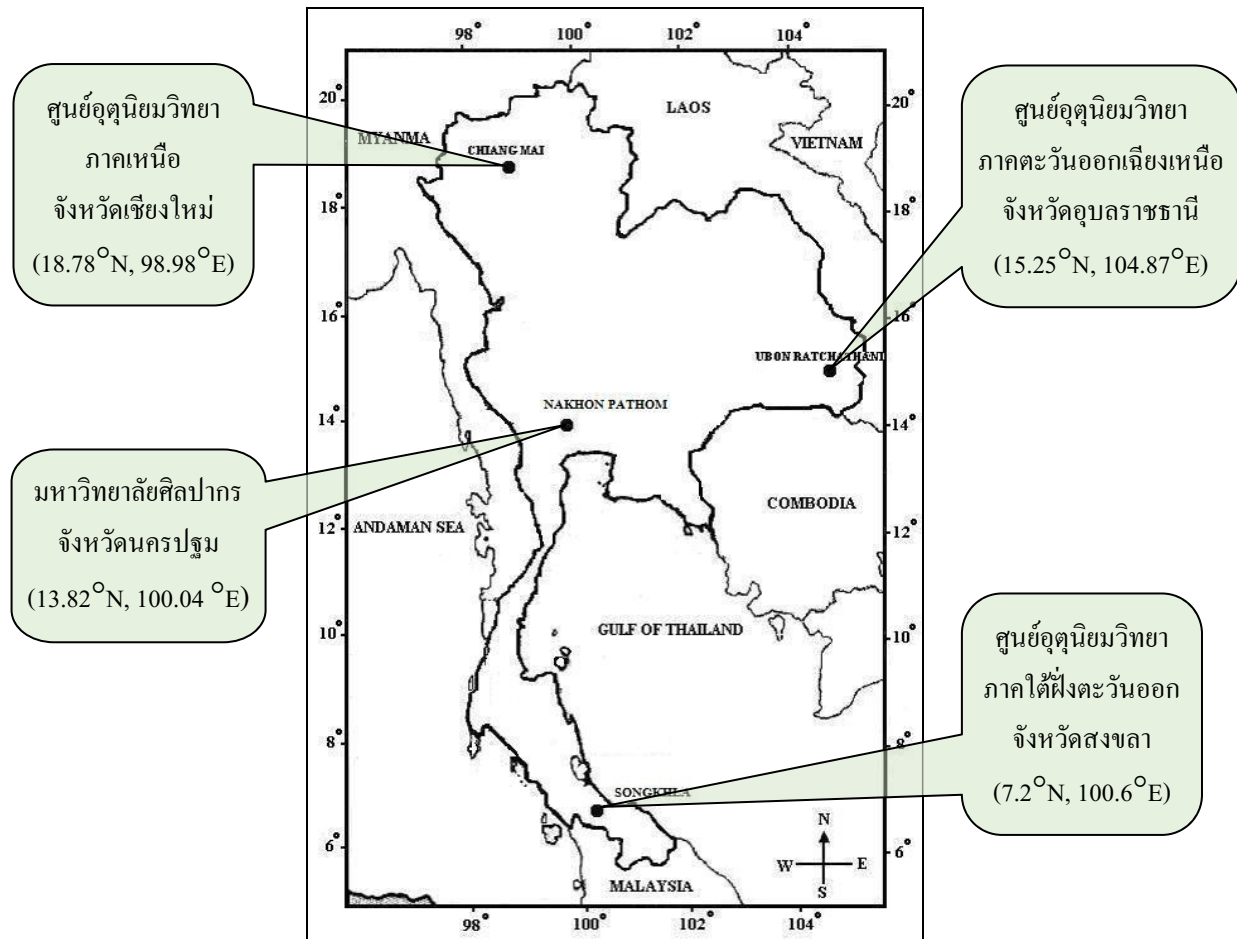
อุปกรณ์การวัด global illuminance บนพื้นราบและระนาบแนวตั้ง และอุปกรณ์การวัด diffuse illuminance บนพื้นราบดังกล่าว ได้ทำการติดตั้งในเดือนตุลาคม ค.ศ. 2002 และได้ดำเนินการวัด และบันทึกข้อมูลจนถึงปัจจุบัน (ค.ศ. 2008) สำหรับอุปกรณ์การวัด global illuminance บนระนาบเอียง 45 องศาในทิศใต้ ผู้วิจัยได้นำไปติดตั้งเพิ่มที่สถานีวัดทั้ง 4 แห่ง คือ เชียงใหม่ วันที่ 16 ก.ย. 2006, อุบลราชธานี วันที่ 8 พ.ย. 2006, นครปฐม วันที่ 9 ต.ค. 2006 และสงขลา วันที่ 9 ม.ค. 2007 ส่วน อุปกรณ์การวัด global illuminance บนระนาบเอียง 45 องศาในทิศเหนือ ทิศตะวันออก และทิศตะวันตก นั้น ผู้วิจัยได้ดำเนินการติดตั้งที่สถานีนครปฐม เมื่อวันที่ 10 พ.ย. 2007

ในงานวิจัยนี้ จะใช้ข้อมูลปริมาณแสงสว่างธรรมชาติซึ่งได้จากอุปกรณ์การวัดที่กล่าวมา ข้างต้นประกอบด้วย ข้อมูล global illuminance และ diffuse illuminance บนพื้นราบ ข้อมูล global illuminance บนระนาบแนวตั้งและระนาบเอียง 45 องศา โดยรายละเอียดและช่วงเวลาของข้อมูล ปริมาณแสงสว่างธรรมชาติที่นำมาใช้แสดงดังตารางที่ 3.1

ตารางที่ 3.1 แสดงชนิดและช่วงเวลาของข้อมูลปริมาณแสงสว่างธรรมชาติรายชั่วโมงที่นำมาใช้  
ในงานวิจัย

สถานี\ ข้อมูล	global illuminance horizontal	diffuse illuminance horizontal	global illuminance vertical (N-E-W-S)	global illuminance inclined-45 (S)	global illuminance inclined-45 (N-E-W)
เชียงใหม่	2003-2008	2003-2008	2003-2008	2007-2008	-
อุบลราชธานี	2003-2008	2003-2008	2003-2008	2007-2008	-
นครปฐม	2003-2008	2003-2008	2003-2008	2007-2008	2008
สงขลา	2003-2008	2003-2008	2003-2008	2007-2008	-

ตำแหน่งที่ตั้งของสถานีวัดความเข้มแสงสว่างธรรมชาติทั้ง 4 แห่ง ตามภูมิภาคหลักของประเทศไทย แสดงดังรูปที่ 3.5



รูปที่ 3.5 แสดงตำแหน่งที่ตั้งของอุปกรณ์วัดแสงสว่างธรรมชาติ 4 แห่ง  
ตามภูมิภาคหลักของประเทศไทย



รูปที่ 3.6 แสดงอุปกรณ์วัด global illuminance บนระนาบแนวดิ่ง 4 ทิศ ที่ศูนย์อุตุนิยมวิทยา  
ภาคเหนือจังหวัดเชียงใหม่



รูปที่ 3.7 แสดงอุปกรณ์วัดglobal illuminance บนระนาบเอียง 45 องศาทิศใต้  
ที่ศูนย์อุตุนิยมวิทยาภาคเหนือ จังหวัดเชียงใหม่



รูปที่ 3.8 แสดงอุปกรณ์วัด diffuse illuminance บนพื้นราบ ที่ศูนย์อุตุนิยมวิทยาภาคเหนือ จังหวัดเชียงใหม่



รูปที่ 3.9 แสดงอุปกรณ์วัด global illuminance บนระนาบแนวดิ่ง 4 กิโล ที่ศูนย์อุตุนิยมวิทยา ภาคตะวันออกเฉียงเหนือ จังหวัดอุบลราชธานี



รูปที่ 3.10 แสดงอุปกรณ์วัด global illuminance บนระนาบเอียง 45 องศาทิศใต้  
ที่ศูนย์อุตุนิยมวิทยาภาคตะวันออกเฉียงเหนือ จังหวัดอุบลราชธานี



รูปที่ 3.11 แสดงอุปกรณ์วัด diffuse illuminance บนพื้นราบ ที่ศูนย์อุตุนิยมวิทยาภาค  
ตะวันออกเฉียงเหนือ จังหวัดอุบลราชธานี



รูปที่ 3.12 แสดงอุปกรณ์วัดวัด global illuminance บนระนาบแนวคิ่ง 4 พิศ ทีมมหาวิทยาลัยศิลปากร จังหวัดนครปฐม



รูปที่ 3.13 แสดงอุปกรณ์วัดวัด diffuse illuminance บนพื้นราบ ทีมมหาวิทยาลัยศิลปากร จังหวัดนครปฐม



รูปที่ 3.14 แสดงอุปกรณ์วัด global illuminance บนระนาบเอียง 45 องศาทิศเหนือ (a) ทิศใต้ (b) ทิศตะวันออก (c) และทิศตะวันตก (d) ที่มหาวิทยาลัยศิลปากร จังหวัดนครปฐม



รูปที่ 3.15 แสดงอุปกรณ์วัด global illuminance บนระนาบแนวดิ่ง 4 ทิศ ที่ศูนย์อุตุนิยมวิทยา  
ภาคใต้ฝั่งตะวันออก จังหวัดสงขลา



รูปที่ 3.16 แสดงอุปกรณ์วัด global illuminance บนระนาบเอียง 45 องศาทิศใต้  
ที่ศูนย์อุตุนิยมวิทยาภาคใต้ฝั่งตะวันออก จังหวัดสงขลา



รูปที่ 3.17 แสดงอุปกรณ์วัด diffuse illuminance บนพื้นราบ ที่ศูนย์อุตุนิยมวิทยาภาคใต้ ฝั่งตะวันออก จังหวัดสงขลา

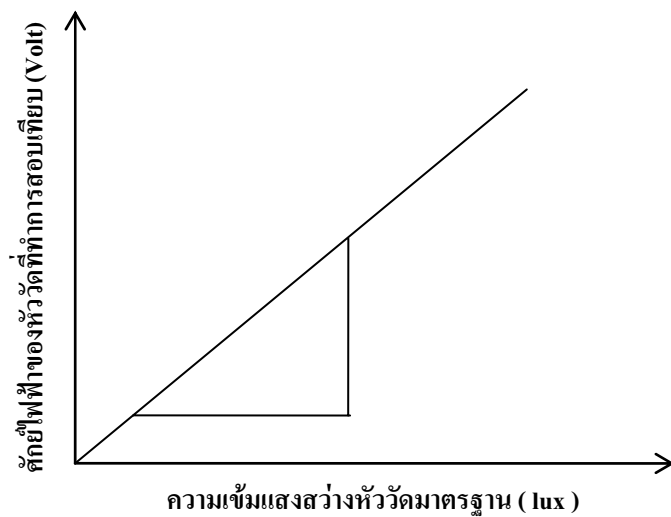
### 3.2 การสอบเทียบเครื่องวัดแสงสว่างธรรมชาติ

โดยทั่วไปลักษณะมิเตอร์ซึ่งใช้วัด illuminance ต้องทำงานต่อเนื่องอยู่กลางแจ้งตลอดระยะเวลา ยาวนาน ทำให้หัววัดมีการเสื่อมสภาพ โดยค่า sensitivity ของเครื่องวัดจะมีการเปลี่ยนแปลงไปตาม อายุการใช้งาน ดังนั้นจึงต้องทำการสอบเทียบอย่างสม่ำเสมอ ประมาณปีละ 1-2 ครั้ง

ในการการสอบเทียบ ผู้วิจัยจะนำลักษณะมิเตอร์ที่สอบเทียบจากบริษัทผู้ผลิตมาใช้เป็นหัววัด มาตรฐาน โดยจะนำหัววัดมาตรฐานไปตั้งคู่กับหัววัดที่ใช้งานจริงของสถานีวัดแต่ละแห่ง โดยจะถอด ลักษณะมิเตอร์ที่วัดในแนวตั้ง ไปวางไว้ในแนวราบที่ระดับเดียวกันกับหัววัดมาตรฐาน และต่อสายสัญญาณ จากหัววัดเข้ากับ data logger และบันทึกสัญญาณพร้อมกัน จากนั้นจะทำการเก็บข้อมูลทุก 1 วินาทีโดย เริ่มตั้งแต่เช้าถึงเย็น ในการสอบเทียบผู้วิจัยจะเลือกปฏิบัติในวันที่ห้องฟ้ามีเมฆน้อยหรือปราศจากเมฆ หลังจากนั้นจะทำการคำนวณหาค่า sensitivity ค่าใหม่ตามขั้นตอนดังนี้

1) นำข้อมูลที่ได้จากหัววัดลักษณะมิเตอร์มาตรฐานมาแปลงเป็นค่า illuminance ในหน่วย lux และนำค่าที่ได้มาเขียนกราฟกับค่าสักยีไฟฟ้าที่ได้จากหัววัดลักษณะมิเตอร์ที่ต้องการจะสอบเทียบดังตัวอย่าง กราฟในรูปที่ 3.18

2) อ่านค่าความชันของกราฟซึ่งจะเป็นค่า sensitivity ค่าใหม่ของหัววัดที่ทำการสอบเทียบนั้น



รูปที่ 3.18 แสดงกราףระหว่างค่าความเข้มแสงสว่างของหัววัดลักษณะมิเตอร์ที่ทำการสอบเทียบ กับค่าสักยีไฟฟ้าของหัววัดลักษณะมิเตอร์ที่ทำการสอบเทียบ

โดยทั่วไปค่า sensitivity ใหม่ที่ได้จะลดลงจากค่าเดิมประมาณ 2-5% ต่อปี หากการสอบเทียบ และกราฟที่ได้จากการสอบเทียบทองสถานีต่างๆ แสดงไว้ในรูปที่ 3.19-3.26 จากนั้นผู้วิจัยได้นำค่า sensitivity ใหม่ที่ได้มาคำนวณปรับแก้ค่าที่ได้จากการวัด



รูปที่ 3.19 แสดงภาพการสอบเทียบที่สูนย์อุตุนิยมวิทยาภาคเหนือ จังหวัดเชียงใหม่



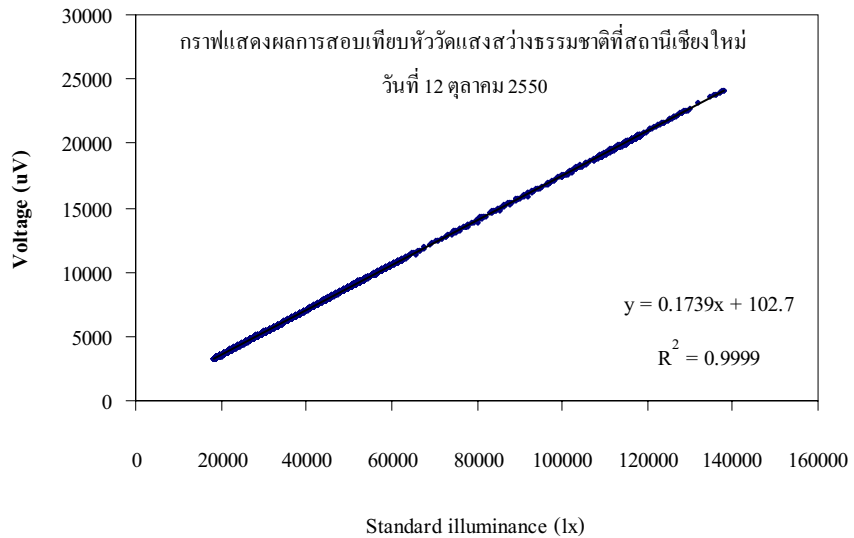
รูปที่ 3.20 แสดงภาพการสอบเทียบที่สูนย์อุตุนิยมวิทยาภาคตะวันออกเฉียงเหนือ จังหวัดอุบลราชธานี



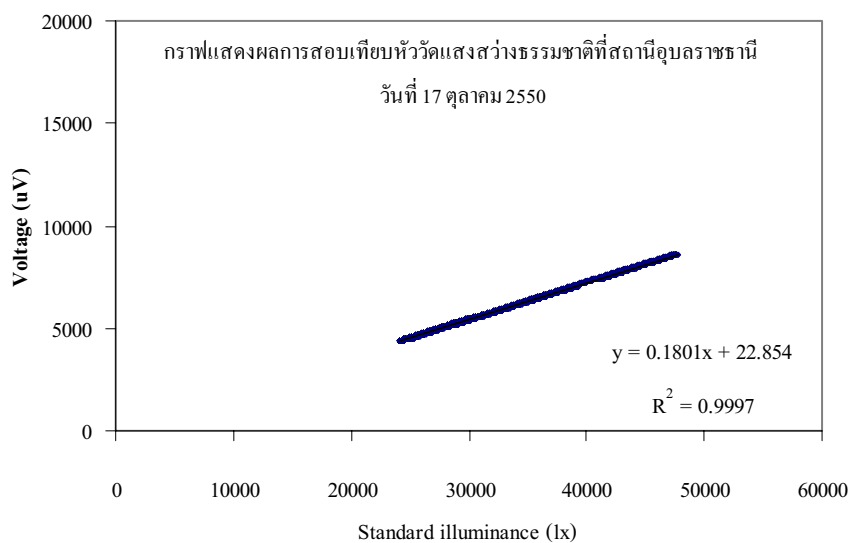
รูปที่ 3.21 แสดงภาพการสอบเทียบทีมมหาวิทยาลัยศิลปากร จังหวัดนครปฐม



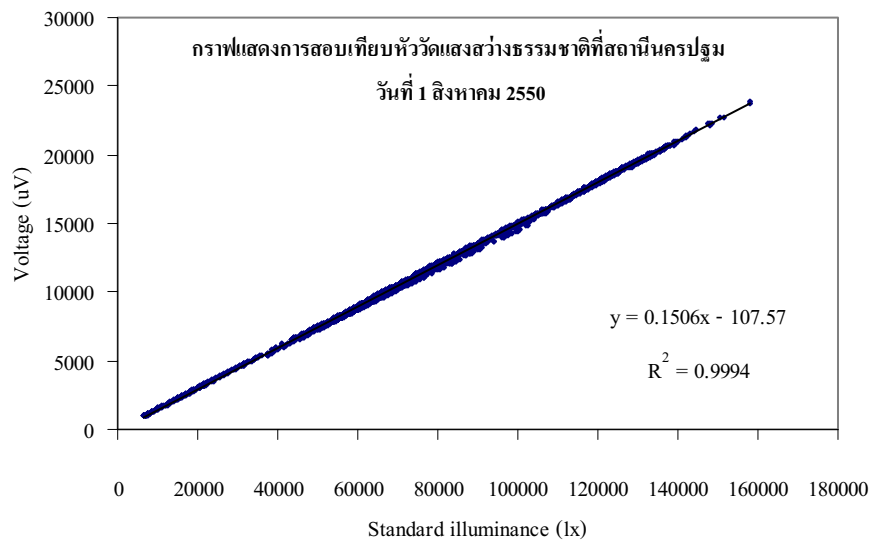
รูปที่ 3.22 แสดงภาพการสอบเทียบทีมศูนย์อุตุนิยมวิทยาภาคใต้ฝั่งตะวันออก จังหวัดสงขลา



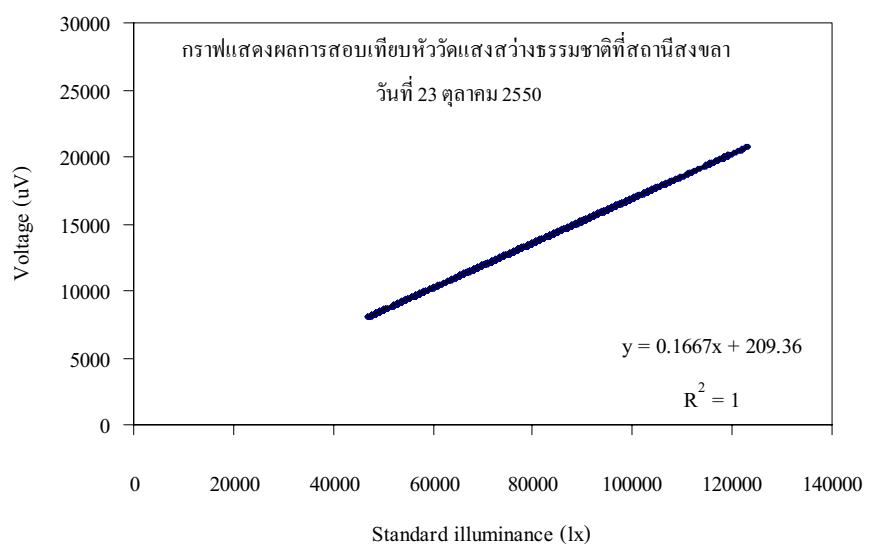
รูปที่ 3.23 กราฟแสดงความสัมพันธ์ระหว่างค่าศักย์ไฟฟ้ากับค่า illuminance ที่ศูนย์อุตุนิยมวิทยา  
ภาคเหนือจังหวัดเชียงใหม่



รูปที่ 3.24 กราฟแสดงความสัมพันธ์ระหว่างค่าศักย์ไฟฟ้ากับค่า illuminance ที่ศูนย์อุตุนิยมวิทยา  
ภาคตะวันออกเฉียงเหนือ จังหวัดอุบลราชธานี



รูปที่ 3.25 กราฟแสดงความสัมพันธ์ระหว่างค่าศักย์ไฟฟ้ากับค่า illuminance ที่มหาวิทยาลัยศิลปากร  
จังหวัดกรุงเทพมหานคร



รูปที่ 3.26 กราฟแสดงความสัมพันธ์ระหว่างค่าศักย์ไฟฟ้ากับค่า illuminance ที่ศูนย์อุตุนิยมวิทยา  
ภาคใต้ฝั่งตะวันออก จังหวัดสงขลา

### 3.3 การควบคุมคุณภาพข้อมูล

ข้อมูลแสดงสว่างธรรมชาติที่นำมาใช้ในงานวิจัยนี้ คือข้อมูล global และ diffuse illuminance บนพื้นราบ กับข้อมูล global illuminance บนระนาบแนวคี่ 4 ทิศ และบนพื้นอีียง 45 องศา ซึ่งถึงแม้ว่า เครื่องมือวัดจะมีการสอบเทียบอยู่เป็นประจำ แต่ข้อมูลที่จะนำมาใช้งานก็จะต้องผ่านการควบคุมคุณภาพของข้อมูลก่อน (Data quality control) เพื่อกำจัดข้อมูลที่ผิดปกติออกไป โดยผู้วิจัยได้ทำการควบคุมคุณภาพข้อมูลตามขั้นตอนดังต่อไปนี้

1) เลือกใช้ข้อมูลแสดงสว่างธรรมชาติในช่วงเวลาที่มุ่งเนยของดวงอาทิตย์มากกว่า 5 องศาขึ้นไป เพื่อหลีกเลี่ยงค่า error เนื่องจาก Cosine response ของหัววัด ซึ่งในที่นี่จะเลือกใช้ข้อมูลในช่วงเวลา ตั้งแต่ 8.30 – 16.30 น.

2) เปรียบเทียบระหว่างค่า global illuminance และ diffuse illuminance โดยค่า diffuse illuminance จะต้องมีค่าไม่เกินค่า global illuminance ดังสมการ

$$E_{dh} \leq E_{gh} \quad (3.1)$$

เมื่อ  $E_{gh}$  = global illuminance บนพื้นราบ (klux)

$E_{dh}$  = diffuse illuminance บนพื้นราบ (klux)

3) เปรียบเทียบระหว่างค่า global illuminance กับค่าความเข้มแสงสว่างนอกบรรยายกาศโลก (Extraterrestrial illuminance) โดยค่า global illuminance จะต้องมีค่าไม่เกิน Extraterrestrial illuminance

$$E_{gh} \leq E_{oh} \quad (3.2)$$

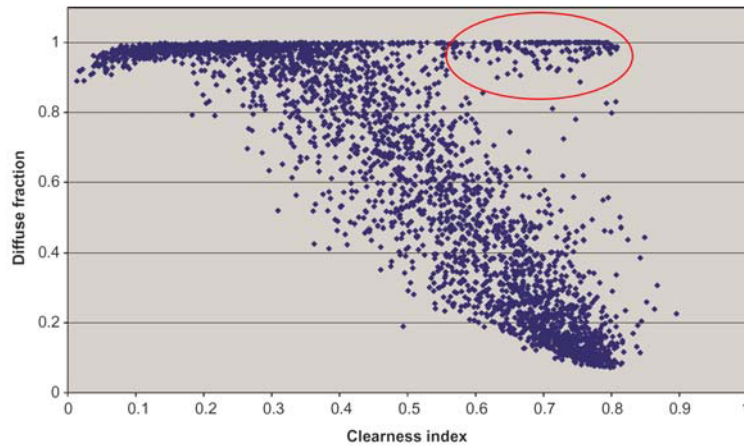
เมื่อ  $E_{oh}$  = ความเข้มแสงสว่างนอกบรรยายกาศโลก (klux)

$E_{gh}$  = global illuminance บนพื้นราบ (klux)

4) หลังจากผ่านการควบคุมคุณภาพทั้ง 3 ข้อแล้ว จะทำการตรวจสอบอีกครั้งโดย ทำการplot ความสัมพันธ์ระหว่างค่า Diffuse fraction กับค่า Clearness index เพื่อตรวจสอบค่าผิดปกติของรังสี กระจายกรณีที่วงแหวนไม่บังดวงอาทิตย์ โดยใช้สมการ

$$\text{Diffuse fraction} = \frac{E_{dh}}{E_{gh}} \quad (3.3)$$

$$\text{Clearness index} = \frac{E_{gh}}{E_{oh}} \quad (3.4)$$



รูปที่ 3.27 แสดงข้อมูลผิดปกติเนื่องจากว่าเหวนไม่บังดวงอาทิตย์

โดยปกติ เมื่อท้องฟ้ามีสภาพโปร่งใส ค่า Clearness index จะมีค่ามาก บริมาณรังสีกระเจาจะมีค่าน้อยซึ่งส่งผลให้ ค่า Diffuse fraction จะมีค่าน้อยตามกัน ดังนั้นข้อมูล diffuse illuminance ที่ขัดกับหลักความจริงดังกล่าว จะถือว่าเป็นข้อมูลที่เกิดจากการที่วงศ์เหวนไม่บังดวงอาทิตย์ ข้อมูลในวงกลมแสดงดังรูปที่ 3.27 จึงต้องกำจัดออก

### 3.4 การทดสอบสมรรถนะแบบจำลองสำหรับคำนวณ diffuse illuminance บนพื้นผิว

โดยทั่วไปข้อมูลปริมาณแสงสว่างธรรมชาติในรูป illuminance จะเป็นข้อมูลที่ได้จากการวัดบนพื้นราบ แต่ในการใช้งานจริงนั้น มีความต้องการข้อมูลบนพื้นผิวอุปกรณ์ที่ทำมุมต่างๆ กับแนวระดับ โดยเฉพาะที่มุมเอียง 90 องศาหรือระนาบในแนวตั้ง ซึ่งเป็นระนาบทองช่องหน้าต่างของอาคารทั่วไป ปริมาณ global illuminance บนระนาบแนวตั้งเป็นข้อมูลที่ใช้ในการคำนวณปริมาณแสงสว่างธรรมชาติที่ส่องผ่านหน้าต่างเข้าไปภายในอาคาร ซึ่งจะช่วยในการออกแบบอาคารประหยัดพลังงานที่อาศัยแสงสว่างธรรมชาติร่วมกับการใช้แสงสว่างจากไฟฟ้า

ปริมาณ global illuminance บนพื้นราบที่วัดได้ ( $E_{gh}$ ) จะเป็นผลรวมของ direct illuminance ( $E_{bh}$ ) และ diffuse illuminance ( $E_{dh}$ ) ใน การแปลง global illuminance บนพื้นราบที่ไปอยู่บนระนาบเอียงต่างๆ นั้น จะต้องทำการคิดแยกกันระหว่าง direct illuminance และ diffuse illuminance โดยการแปลงค่า direct illuminance บนพื้นราบที่เป็นค่าบนพื้นผิวอุปกรณ์ดังกล่าว สามารถทำได้โดยการคูณ direct illuminance ด้วยแฟคเตอร์การแปลง  $R_b$  (สมการ 2.8) ซึ่งเป็นฟังก์ชันของตำแหน่งดวงอาทิตย์ ตำแหน่ง และมุมเอียงของพื้นผิวอุปกรณ์ ล้วนการแปลงค่า diffuse illuminance บนพื้นราบที่ห้องฟ้ามีลักษณะไม่เหมือนกันทุกทิศทาง (anisotropic) ซึ่งเป็นผลมาจากการเมฆและการกระเจิงของฟุ่นละอองในอากาศ ดังนั้นการคำนวณปริมาณ diffuse illuminance บนพื้นผิวอุปกรณ์จะต้องคำนึงถึงจากข้อมูลบนพื้นราบนี้ จะต้องอาศัยแบบจำลองสำหรับคำนวณ diffuse illuminance บนพื้นผิวอุปกรณ์ มาช่วยในการแปลงค่า diffuse illuminance บนพื้นราบที่เป็นค่าบนพื้นผิวอุปกรณ์ดังกล่าว

ในช่วง 20 ปีที่ผ่านมา มีผู้เสนอแบบจำลองสำหรับคำนวณ diffuse illuminance บนพื้นผิวอุปกรณ์จากข้อมูลการวัดบนพื้นราบที่หลากหลายแบบจำลอง โดยแบบจำลองดังกล่าวส่วนมากพัฒนามาจากข้อมูลการวัดความเข้มรังสีดวงอาทิตย์ (irradiance) ซึ่งสามารถนำมาใช้ในคำนวณปริมาณแสงสว่าง diffuse illuminance บนพื้นผิวอุปกรณ์ได้ เช่นกัน แบบจำลองดังกล่าวมีทั้งที่เป็นแบบจำลองอย่างง่าย คือพิจารณาไว้รังสีกระจายจากห้องฟ้าเหมือนกันทุกทิศทาง (isotropic) Lui and Jordan (1960) และแบบจำลองที่เป็นแบบ anisotropic เช่น แบบจำลองของ Klucher (1997), Hay (1979), Reindl (1990) และ Perez et al. (1990) เป็นต้น ซึ่งแบบจำลองส่วนใหญ่จะพัฒนาขึ้นในแถบทวีปยุโรปและอเมริกา โดยมีงานวิจัยมากมายที่แสดงการทดสอบการใช้งานแบบจำลองเหล่านี้ ในหลายๆ สถานที่ ซึ่งส่วนใหญ่จะเป็นพื้นที่ทางยุโรปและอเมริกาและจะเป็นการทดสอบโดยการใช้ในการคำนวณรังสีดวงอาทิตย์

(irradiance) สำหรับแบบทวีปเอเชียนน์ ได้มีการแสดงการทดสอบแบบจำลองรังสีกระจายบนพื้นอุ่น เหล่านี้เล็กน้อย เช่นกัน โดยทำการทดสอบที่ประเทศไทย (Danny H.W. Li and Joseph C. Lam)

ในงานวิจัยนี้ ส่วนแรกผู้วิจัยจะดำเนินการทดสอบสมรรถนะของแบบจำลองรังสีกระจายบนพื้นอุ่นแบบต่างๆ ในหัวข้อ 2.5 สำหรับการนำมาคำนวณปริมาณแสงสว่างธรรมชาติในส่วนของ diffuse illuminance บนระนาบอุ่นแนวคิ่ง 90 องศา และระนาบอุ่น 45 องศาจากแนวระดับ โดยใช้ข้อมูลการวัดจาก 4 สถานที่ ตามภูมิภาคหลักของประเทศไทย คือ เชียงใหม่ อุบลราชธานี นครปฐม และสงขลา ซึ่งแบบจำลองดังกล่าวส่วนใหญ่พัฒนามาจากการวัดปริมาณรังสีดวงอาทิตย์ แต่สามารถนำมาใช้คำนวณปริมาณแสงสว่างธรรมชาติซึ่งเป็นส่วนหนึ่งของสภาพรังสีดวงอาทิตย์ได้ เช่นกัน ด้วยการแทนค่าปริมาณรังสีดวงอาทิตย์ (I) ในแบบจำลองด้วยปริมาณแสงสว่าง (E) โดยแบบจำลองที่เลือกนำมาทดสอบนี้ทั้งที่เป็นแบบ Isotropic และแบบ Anisotropic ดังนี้คือ

ตารางที่ 3.2 แสดงแบบจำลองแบบ Isotropic

แบบจำลองแบบ Isotropic	สมการ
Lui and Jordan (1960)	$E_{d\beta} = \frac{1}{2} E_{dh} (1 + \cos \beta)$
Koronakis (1986)	$E_{d\beta} = \frac{1}{3} E_{dh} (2 + \cos \beta)$
Tain (2001)	$E_{d\beta} = E_{dh} \left(1 - \frac{\beta}{180}\right)$
Badescu (2002)	$E_{d\beta} = E_{dh} \left(\frac{3 + \cos(2\beta)}{4}\right)$

ตารางที่ 3.3 แสดงแบบจำลองแบบ Anisotropic

แบบจำลองแบบ Anisotropic	สมการ
Bugler (1977)	$E_{d\beta} = [(E_{dh} - 0.05 \frac{E_{bt}}{\cos Z_s}) \frac{1 + \cos \beta}{2}] + 0.05 E_{bt} \cos \theta$
Temps and Coulson (1977)	$E_{d\beta} = \frac{1}{2} E_{dh} (1 + \cos \beta) \left[1 + \sin^3 \left(\frac{\beta}{2}\right)\right] (1 + \cos^2 \theta_i \sin^3 Z_s)$
Klucher (1979)	$E_{d\beta} = E_{dh} \{[(1 + \cos \beta)/2][1 - F' \sin^3 \beta/2][1 + F' (\cos^2 \theta_i)(\sin^3 Z_s)]\}, \quad F' = 1 - (E_{dh}/E_{gh})^2$
Hay (1979)	$E_{d\beta} = E_{dh} \{F'' (\cos(\theta_i)/\sin(\alpha_s)) + [(1 - F'')(1 + \cos(\beta))/2]\}, \quad F'' = I_{bh}/I_{oh}$
Wilmott (1982)	$E_{d\beta} = E_{dh} \left[ (E_{bn} \cos \theta_i) / (E_{sc} \cos Z_s) + C_\beta (1 - E_{bn}/E_{sc}) \right], \quad C_\beta = 1.0115 - 0.20293\beta - 0.080823\beta^2$

ตารางที่ 3.4 แสดงแบบจำลองแบบ Anisotropic (ต่อ)

Ma and Igbal (1983)	$E_{d\beta} = E_{dh} [M_T R_b + (1 - M_T) \cos^2(\beta/2)]$ , $M_T = E_{gh} / E_{oh}$
Skartveit and Olseth (1986)	$E_{d\beta} = E_{dh} [F'' R_b + Z \cos \beta + (1 - F'' - Z)(1 + \cos \beta)/2]$ , $C = \max[(0.3 - 2F''), 0]$
Gueymart (1987)	$E_{d\beta} = E_{dh} [(1 - N_G) R_{d0} + N_G R_{d1}]$ $R_{d0} = \exp(a_0 + a_1 \cos \theta_i + a_2 \cos^2 \theta_i + a_3 \cos^3 \theta_i) + F(\beta)G(\alpha)$ $R_{d1} = \frac{(1 + \cos \beta)}{2} - \left\{ \frac{(\beta \cos \beta - \sin \beta)}{\pi} + \frac{(1 - \cos \beta)}{2} \right\} \left( 1 + \frac{3}{2b} \right)$
Reindl (1990)	$E_{d\beta} = E_{dh} [(1 - F'') (1 + f \sin^2(\beta/2)) (1 + \cos(\beta)/2 + F''(\cos(\theta)/\sin(\alpha_s)))]$ , $f = I_{bh} / I_{gh}$
Perez et al. (1990)	$E_{d\beta} = E_{dh} [0.5(1 + \cos \beta)(1 - F_1) + F_1(a_1/a_2) + F_2 \sin \beta]$
Muneer (1990)	$E_{d\beta} = E_{dh} \left[ T_F (1 - F'') + F'' \left( \frac{\cos \theta}{\cos Z_s} \right) \right]$ $T_F = \cos^2(\beta/2) + \frac{2b}{\pi(3+2b)} (\sin \beta - \beta \cos \beta - \pi \sin^2(\beta/2))$
AIT0a (Chirarattananon et al.)	$E_{d\beta} = E_{dh} [0.5(1 + \cos \beta)(1 - F_1) + F_1(a_1/a_2) + F_2 \sin \beta]$
AIT0b (Chirarattananon et al.)	$E_{d\beta} = E_{dh} [0.5(1 + \cos \beta)(1 - F_1) + F_1(a_1/a_2) + F_2 \sin \beta]$

แบบจำลอง AIT0a และ AIT0b คือแบบจำลองที่ใช้สมการเดียวกับแบบจำลองของ Perez แต่จะต่างกันตรงที่ค่าสัมประสิทธิ์ชี้แบบจำลอง AIT0a และ AIT0b จะเป็นแบบจำลองที่ใช้ค่าสัมประสิทธิ์ชุดใหม่ที่พัฒนาขึ้นจากข้อมูลการวัดที่สถาบัน Asian Institute of Technology (AIT) โดย Chirarattananon และคณะ (2006) โดยสัมประสิทธิ์แบบ AIT0a จะเป็นสัมประสิทธิ์ที่ได้มาจากการ regression ข้อมูลการวัดทั้งหมด ส่วนสัมประสิทธิ์แบบ AIT0b เป็นสัมประสิทธิ์แบบแบ่งเป็นพื้นอุ่น กรารณ์ด้านที่เห็นและไม่เห็นดวงอาทิตย์ ซึ่งในงานวิจัยนี้ผู้วิจัยจะเรียกแบบจำลอง Perez ที่ใช้ร่วมกับสัมประสิทธิ์ชุดใหม่ทั้ง 2 แบบว่า แบบจำลอง AIT0a และแบบจำลอง AIT0b

### 3.4.1 การเตรียมข้อมูล

ข้อมูลปริมาณ diffuse illuminance บนระนาบเอียงกรณีต่างๆ จากทั้ง 4 สถานีวัด ที่นำมาใช้ในการทดสอบแบบจำลอง มีดังนี้คือ

- |  |              |
|--|--------------|
| 1. diffuse illuminance บนระนาบแนวดิ่งทิศเหนือ (North-90)     | ปี 2003-2008 |
| 2. diffuse illuminance บนระนาบแนวดิ่งทิศใต้ (South-90)       | ปี 2003-2008 |
| 3. diffuse illuminance บนระนาบแนวดิ่งทิศตะวันออก (East-90)   | ปี 2003-2008 |
| 4. diffuse illuminance บนระนาบแนวดิ่งทิศตะวันตก (West-90)    | ปี 2003-2008 |
| 5. diffuse illuminance บนระนาบเอียง 45 องศาทิศใต้ (South-45) | ปี 2007-2008 |

สำหรับที่สถานีนนทร์ปูน nok จากการทดสอบทั้ง 5 กรณีดังกล่าวแล้ว ผู้วิจัยได้แสดงการทดสอบในกรณีของระนาบเอียง 45 องศา ในทิศเหนือ (North-45) ทิศตะวันออก (East-45) และทิศตะวันตก (West-45) จากข้อมูลวัดในปี 2008 เพิ่มเติมด้วย

ข้อมูล diffuse illuminance บนพื้นเอียงกรณีต่างๆ ข้างต้นที่จะนำมาใช้ในการทดสอบแบบจำลอง สามารถคำนวณได้จากข้อมูลการวัดปริมาณแสงสว่างธรรมชาติของอุปกรณ์ตามหัวข้อ 3.1 ซึ่งข้อมูลที่วัดได้จากอุปกรณ์ดังกล่าวจะอยู่ในรูปความเข้มแสงสว่างรายชั่วโมง ประกอบด้วย ข้อมูล global illuminance บนพื้นราบ ( $E_{gh}$ ) และบนพื้นเอียง ( $E_{g\beta}$ ) ที่ระนาบแนวดิ่งและระนาบเอียง 45 องศา และข้อมูล diffuse illuminance บนพื้นราบ ( $E_{dh}$ ) จากข้อมูลดังกล่าวจะสามารถคำนวณค่า diffuse illuminance บนพื้นเอียง ( $E_{d\beta}$ ) ได้ตามขั้นตอนดังต่อไปนี้

1) คำนวณค่า direct illuminance บนพื้นราบจากผลต่างระหว่างค่า global illuminance และค่า diffuse illuminance บนพื้นราบ ดังสมการ

$$E_{bh} = E_{gh} - E_{dh} \quad (3.5)$$

เมื่อ  $E_{gh}$  = global illuminance บนพื้นราบ (klux)

$E_{dh}$  = diffuse illuminance บนพื้นราบ (klux)

$E_{bh}$  = direct illuminance บนพื้นราบ (klux)

2) คำนวณค่า direct illuminance บนพื้นผิวอิ่ม

$$E_{b\beta} = E_{bh} R_b \quad (3.6)$$

เมื่อ  $E_{b\beta}$  = direct illuminance บนพื้นผิวอิ่ม  $\beta$  (klux)

$R_b$  = แฟกเตอร์สำหรับคำนวณแสงตรงบนพื้นผิวอิ่ม (-)

โดยที่

$$R_b = \frac{\cos \theta_i}{\cos Z_s} \quad (3.7)$$

เมื่อ  $\theta_i$  = มุมตัดกราบทบทของแสงตรงบนพื้นผิวอิ่ม (องศา)

$Z_s$  = มุมเชนิชของดวงอาทิตย์ (องศา)

3) คำนวณ diffuse illuminance บนพื้นผิวอิ่มจากผลต่างระหว่างค่า global illuminance บนพื้นผิวอิ่มกับค่า direct illuminance บนพื้นผิวอิ่ม

$$E_{d\beta} = E_{g\beta} - E_{b\beta} \quad (3.8)$$

เมื่อ  $E_{d\beta}$  = diffuse illuminance บนพื้นผิวอิ่ม  $\beta$  (klux)

$E_{g\beta}$  = global illuminance บนพื้นผิวอิ่ม  $\beta$  (klux)

$E_{b\beta}$  = direct illuminance บนพื้นผิวอิ่ม  $\beta$  (klux)

### 3.4.2 ผลการทดสอบแบบจำลองสำหรับค่า diffuse illuminance บนพื้นที่อุ่น

ในการทดสอบสมรรถนะของแบบจำลองสำหรับค่า diffuse illuminance บนพื้นที่อุ่น ผู้วิจัยจะทำการเปรียบเทียบระหว่างค่า diffuse illuminance บนพื้นที่อุ่นที่คำนวณได้จากแบบจำลองต่างๆ กับค่าที่ทำการวัดจริง โดยการเปรียบเทียบจะอาศัยพารามิเตอร์ทางสถิติ 2 ตัว คือ Mean Bias Error (MBE) และ Root Mean Square Error (RMSE) ซึ่งสามารถหาได้จากการ

$$MBE = \frac{\frac{1}{N} \sum_{i=1}^N (E_{d,model,i} - E_{d,meas,i})}{\bar{E}_{d,meas}} \times 100\% \quad (3.9)$$

$$RMSE = \sqrt{\frac{\frac{1}{N} \sum_{i=1}^N (E_{d,model,i} - E_{d,meas,i})^2}{\bar{E}_{d,meas}}} \times 100\% \quad (3.10)$$

เมื่อ

- $E_{d,model,i}$  = ค่า diffuse illuminance บนพื้นที่อุ่นที่คำนวณจากแบบจำลอง (klux)
- $E_{d,meas,i}$  = ค่า diffuse illuminance บนพื้นที่อุ่นที่ได้จากการวัด (klux)
- $\bar{E}_{d,meas}$  = ค่าเฉลี่ยของ diffuse illuminance บนพื้นที่อุ่นที่ได้จากการวัด (klux)
- $N$  = จำนวนข้อมูล

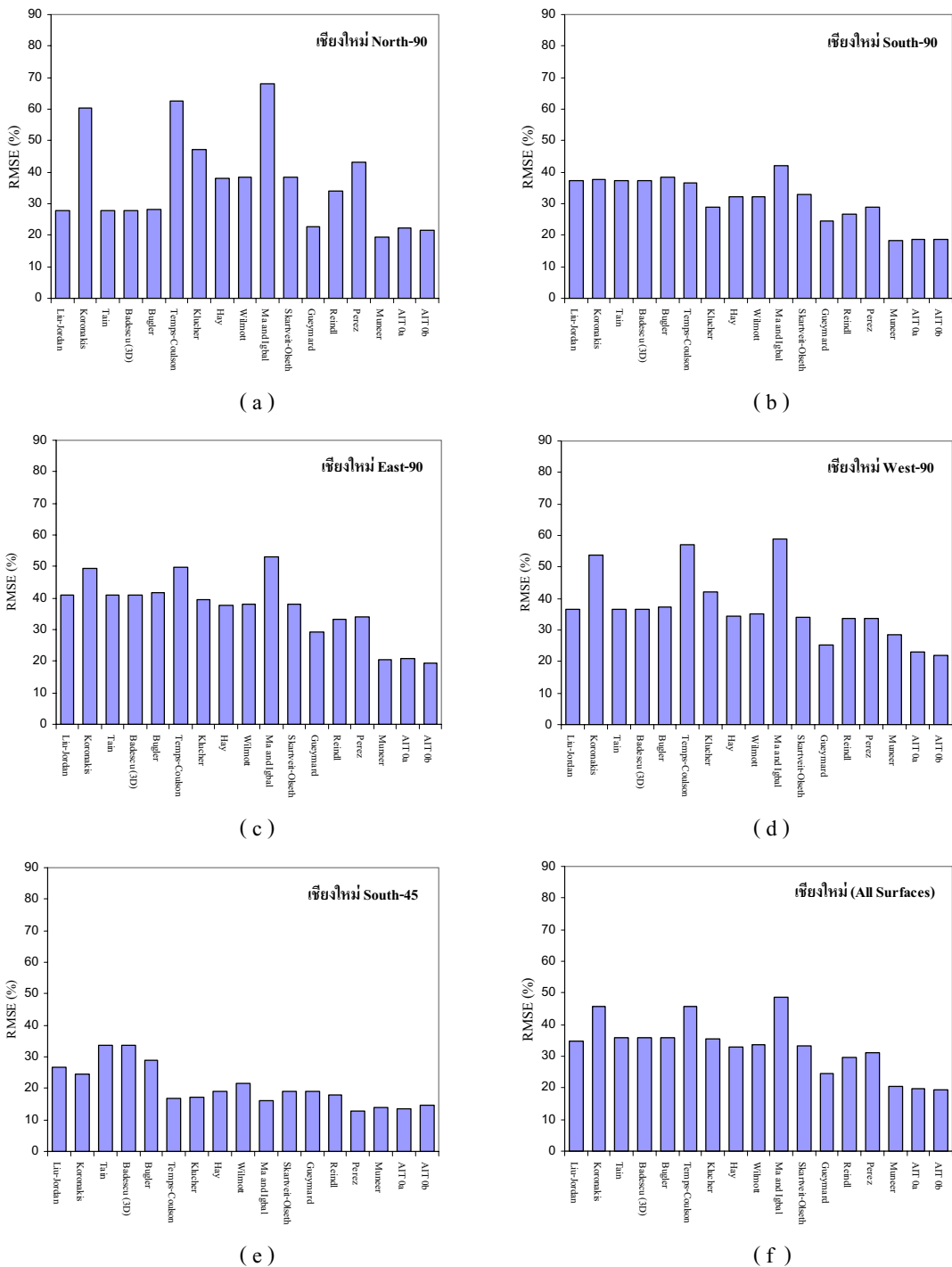
ค่า MBE จะมีทั้งค่าที่เป็นบวกและลบ ซึ่งเป็นพารามิเตอร์ที่แสดงว่าแบบจำลองนั้นให้ผลการทำนายที่สูงหรือต่ำกว่าค่าที่วัดจริง โดยค่า MBE ที่เป็นบวกจะแสดงว่าแบบจำลองให้ผลการทำนายที่เกินค่าวัดจริง ส่วนค่า RMSE จะมีค่าเป็นบวกเสมอ โดยเป็นค่าที่แสดงถึงการกระจายของค่าความคลาดเคลื่อนของแบบจำลองรอบๆ ค่าวัดจริง

ผลการทดสอบสมรรถนะของแบบจำลองสำหรับค่า diffuse illuminance บนพื้นที่อุ่น แบบต่างๆ จะแสดงในรูปแบบตาราง และกราฟแท่ง ซึ่งแสดงค่าเบอร์เซ็นต์ MBE และ RMSE ของแต่ละแบบจำลองในการคำนวณปริมาณ diffuse illuminance บนระนาบแนวตั้งและระนาบทแยง 45 องศา จากแนวระดับ ผลการทดสอบของแต่ละสถานีแสดงดังต่อไปนี้

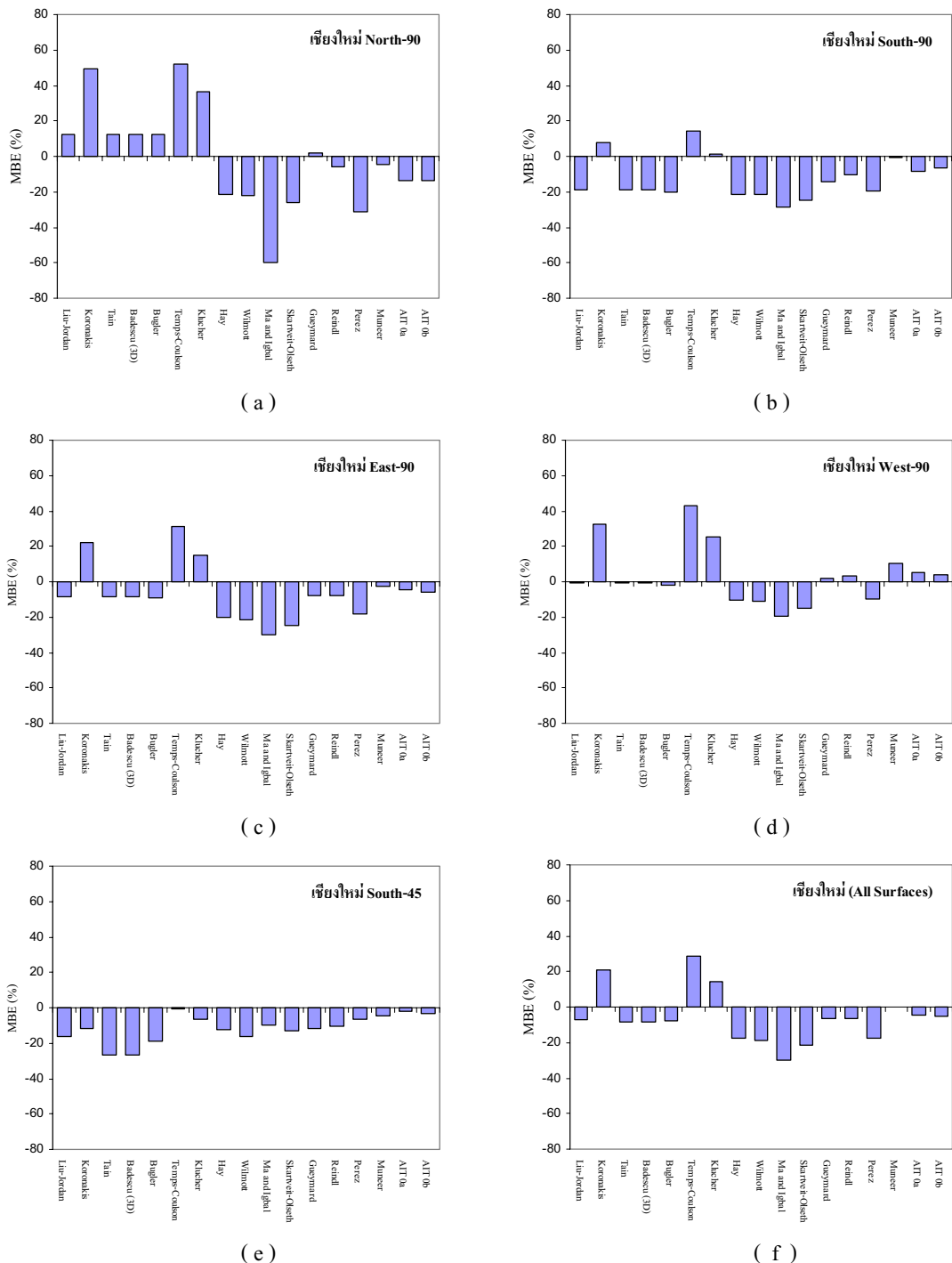
### 3.4.2.1 ผลการทดสอบที่สถานีเชียงใหม่

ตารางที่ 3.5 แสดงค่า RMSE (%) และ MBE (%) ของแต่ละแบบจำลองในการทดสอบ  
ที่สถานีเชียงใหม่

MODELS		North-90	South-90	East-90	West-90	South-45	All surfaces
Lui and Jordan	MBE (%)	12.20	-19.11	-8.47	-0.77	-16.35	-6.97
	RMSE (%)	27.97	37.39	40.80	36.55	26.81	34.74
Koronakis	MBE (%)	49.60	7.85	22.04	32.31	-11.57	20.69
	RMSE (%)	60.39	37.84	49.26	53.66	24.62	45.74
Tain	MBE (%)	12.20	-19.11	-8.47	-0.77	-26.50	-8.44
	RMSE (%)	27.97	37.39	40.80	36.55	33.67	35.73
Badescu (3D)	MBE (%)	12.20	-19.11	-8.47	-0.77	-26.50	-8.44
	RMSE (%)	27.97	37.39	40.80	36.55	33.67	35.73
Bugler	MBE (%)	12.04	-20.24	-9.09	-1.71	-18.61	-7.94
	RMSE (%)	28.11	38.48	41.61	37.44	28.87	35.69
Temps and Coulson	MBE (%)	52.07	14.52	31.30	43.15	-0.69	28.63
	RMSE (%)	62.73	36.70	49.88	57.02	16.74	45.56
Klucher	MBE (%)	36.29	1.47	14.69	25.09	-6.38	14.35
	RMSE (%)	47.02	28.87	39.44	42.25	17.08	35.50
Hay	MBE (%)	-21.14	-21.29	-20.37	-10.34	-12.21	-17.53
	RMSE (%)	37.98	32.30	37.57	34.44	18.92	32.99
Wilmott	MBE (%)	-22.35	-21.61	-21.21	-11.11	-16.48	-18.78
	RMSE (%)	38.23	32.33	37.95	35.05	21.69	33.65
Ma and Igbal	MBE (%)	-59.60	-28.30	-30.10	-19.43	-9.75	-29.89
	RMSE (%)	67.89	42.03	53.16	58.82	15.92	48.80
Skartveit and Olseth	MBE (%)	-26.31	-25.00	-24.55	-14.90	-12.93	-21.35
	RMSE (%)	38.31	32.78	37.99	34.10	18.98	33.20
Gueymard	MBE (%)	2.15	-14.31	-7.55	1.73	-11.66	-6.20
	RMSE (%)	22.55	24.47	29.44	25.38	18.89	24.60
Reindl	MBE (%)	-6.08	-10.42	-8.08	2.98	-10.40	-6.40
	RMSE (%)	34.00	26.75	33.25	33.75	17.79	29.62
Perez et al.	MBE (%)	-31.46	-19.60	-18.21	-9.47	-6.60	-17.51
	RMSE (%)	43.18	29.04	33.98	33.53	12.65	31.23
Muneer	MBE (%)	-4.72	-0.73	-2.35	10.22	-4.28	-0.10
	RMSE (%)	19.25	18.31	20.53	28.64	13.78	20.41
AIT0a (Chirattananon et al.)	MBE (%)	-13.51	-8.58	-4.38	5.04	-2.09	-4.85
	RMSE (%)	22.19	18.56	20.70	22.95	13.40	19.83
AIT0b (Chirattananon et al.)	MBE (%)	-13.43	-6.33	-5.95	4.00	-3.39	-5.01
	RMSE (%)	21.46	18.83	19.50	21.83	14.79	19.48
Number of data		15824	15821	15682	15633	5733	68693



រូបថត 3.28 រាងແສດງការ RMSE (%) ទូទៅនៃប្រព័ន្ធដំឡើងនៃការគាំនុញ diffuse illuminance បន្ទានៗ នៅទីរាបៀវង់ (a) ទីក្រុង (b) ទីក្រចំរាប់ខ្លួន (c) ទីក្រចំរាប់ខ្លួន (d) រាបៀវង់ 45 ឯក (e) និង (f) ទីក្រចំរាប់ខ្លួន

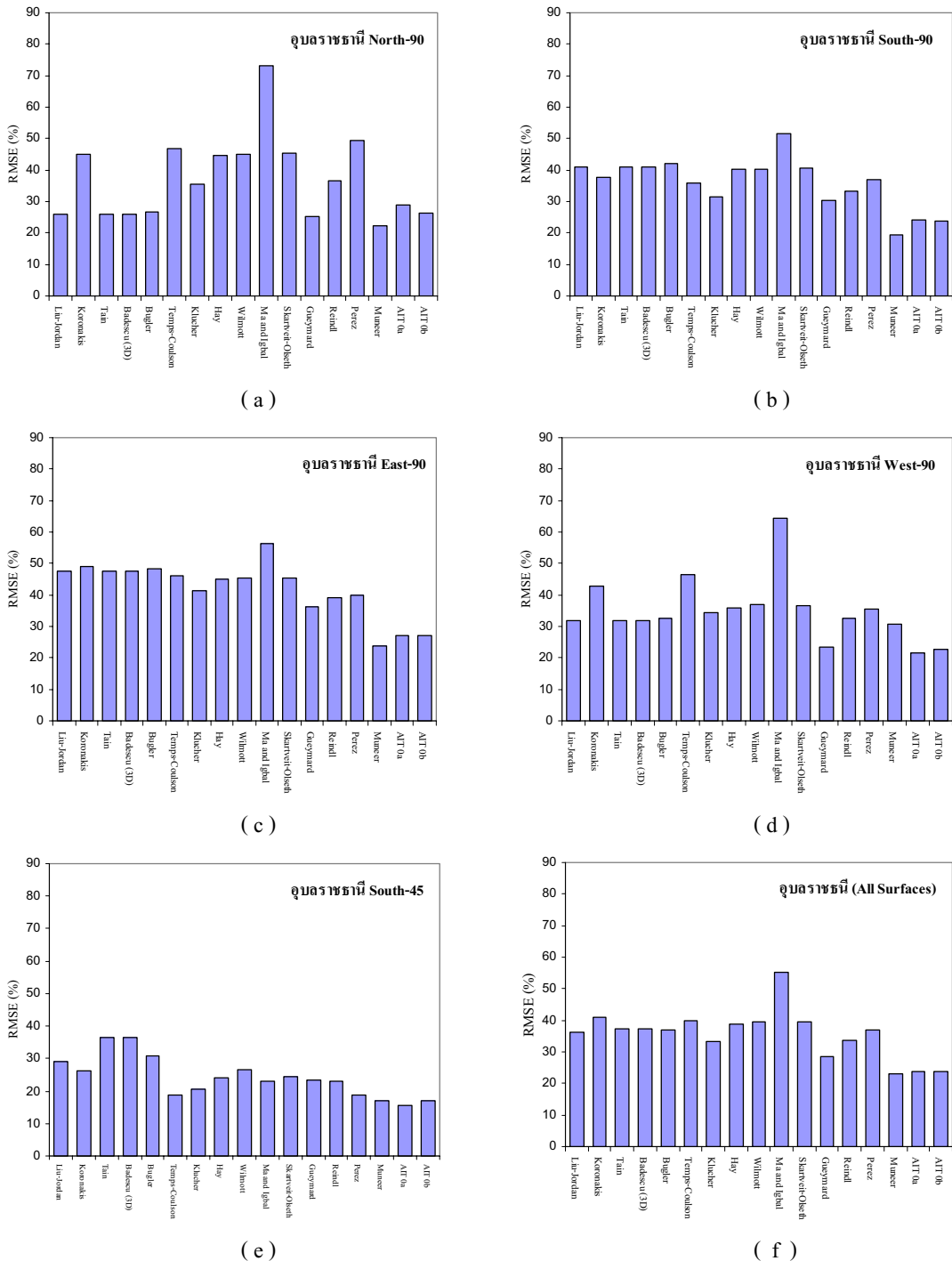


រូបថត 3.29 ក្រឡប់នូវការសេចក្តីជាការបង្ហាញ diffuse illuminance នៃរំលែក នៅក្នុង ទីក្រុង (a) ទីក្រឹម (b) ទីក្រុងគោរក (c) ទីក្រុងគោរក (d) រំលែក 45 ឯក (e) និង រំលែក ឯក (f) ទីក្រុងគោរក នូវការបង្ហាញ diffuse illuminance នៃរំលែក នៅក្នុង ទីក្រុង និង ទីក្រុងគោរក។

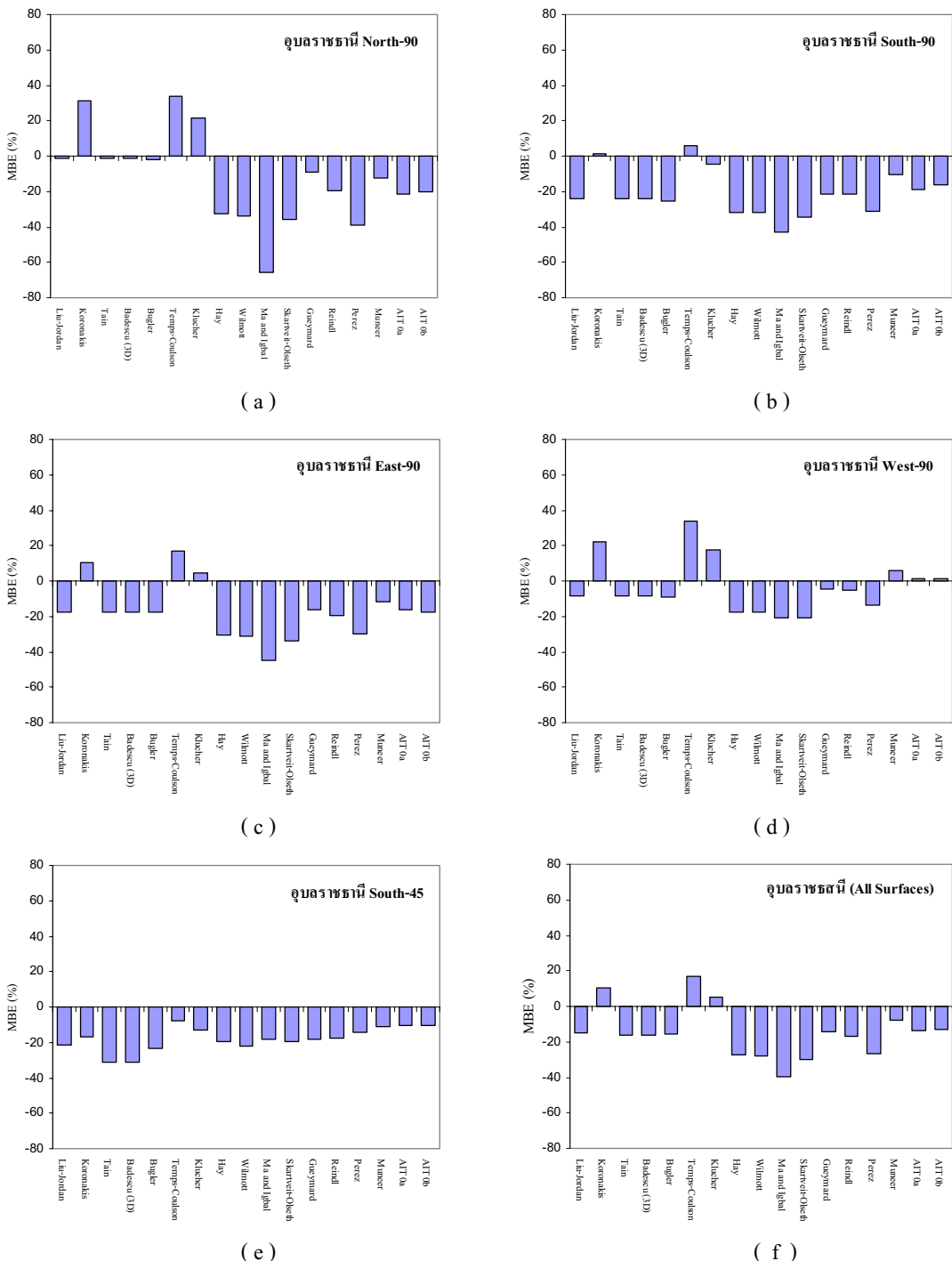
### 3.4.2.2 ผลการทดสอบที่สถานีอุบลราชธานี

ตารางที่ 3.6 แสดงค่า RMSE (%) และ MBE (%) ของแต่ละแบบจำลองในการทดสอบที่  
สถานีอุบลราชธานี

MODELS		North-90	South-90	East-90	West-90	South-45	All surfaces
Lui and Jordan	MBE (%)	-1.37	-24.24	-17.28	-8.46	-21.41	-14.80
	RMSE (%)	26.16	40.99	47.66	31.93	29.04	36.18
Koronakis	MBE (%)	31.50	1.01	10.30	22.05	-16.91	10.53
	RMSE (%)	44.93	37.60	48.96	42.69	26.20	40.94
Tain	MBE (%)	-1.37	-24.24	-17.28	-8.46	-30.94	-16.15
	RMSE (%)	26.16	40.99	47.66	31.93	36.47	37.23
Badescu (3D)	MBE (%)	-1.37	-24.24	-17.28	-8.46	-30.94	-16.15
	RMSE (%)	26.16	40.99	47.66	31.93	36.47	37.23
Bugler	MBE (%)	-1.65	-25.11	-17.77	-9.23	-23.22	-15.59
	RMSE (%)	26.53	41.94	48.43	32.54	30.65	37.01
Temps and Coulson	MBE (%)	33.80	5.89	16.68	33.78	-7.96	17.22
	RMSE (%)	46.75	35.84	46.27	46.51	18.71	39.95
Klucher	MBE (%)	21.25	-4.74	4.25	17.27	-12.76	5.46
	RMSE (%)	35.54	31.29	41.17	34.50	20.55	33.43
Hay	MBE (%)	-32.65	-31.58	-30.80	-17.56	-19.26	-27.03
	RMSE (%)	44.50	40.23	45.01	35.88	24.20	38.96
Wilmott	MBE (%)	-33.66	-31.84	-31.49	-17.88	-22.27	-27.93
	RMSE (%)	44.93	40.29	45.40	36.90	26.42	39.66
Ma and Igbal	MBE (%)	-65.40	-42.61	-44.56	-20.78	-18.33	-39.48
	RMSE (%)	73.25	51.53	56.31	64.31	23.02	55.22
Skartveit and Olseth	MBE (%)	-36.03	-34.17	-33.63	-20.68	-19.78	-29.64
	RMSE (%)	45.23	40.78	45.39	36.53	24.40	39.47
Gueymard	MBE (%)	-9.17	-21.41	-16.56	-4.48	-18.11	-14.14
	RMSE (%)	25.32	30.39	36.22	23.55	23.28	28.36
Reindl	MBE (%)	-19.53	-21.50	-19.79	-5.37	-17.56	-16.93
	RMSE (%)	36.71	33.47	39.02	32.46	22.88	33.62
Perez et al.	MBE (%)	-39.33	-31.05	-30.01	-13.66	-14.53	-26.53
	RMSE (%)	49.36	36.85	39.94	35.59	18.61	37.06
Munee	MBE (%)	-12.63	-10.23	-11.57	6.00	-11.18	-7.84
	RMSE (%)	22.25	19.36	23.78	30.88	17.16	22.91
AIT0a (Chirattananon et al.)	MBE (%)	-21.31	-19.13	-16.35	1.14	-10.17	-13.56
	RMSE (%)	28.85	24.12	27.15	21.52	15.51	23.95
AIT0b (Chirattananon et al.)	MBE (%)	-19.91	-16.50	-17.62	1.55	-10.65	-12.92
	RMSE (%)	26.31	23.90	27.10	22.50	17.17	23.83
Number of data		15189	15212	15216	15093	5289	65999



รูปที่ 3.30 กราฟแสดงค่า RMSE (%) ของแต่ละแบบจำลองในการคำนวณ diffuse illuminance บนระนาบแนวตั้ง ทิศเหนือ (a) ทิศใต้ (b) ทิศตะวันออก (c) ทิศตะวันตก (d) ระนาบเอียง 45 องศาทิศใต้ (e) และ ระนาบเอียงทั้งหมด (f) ที่ศูนย์อุตุนิยมวิทยาภาคตะวันออกเฉียงเหนือ จังหวัดอุบลราชธานี

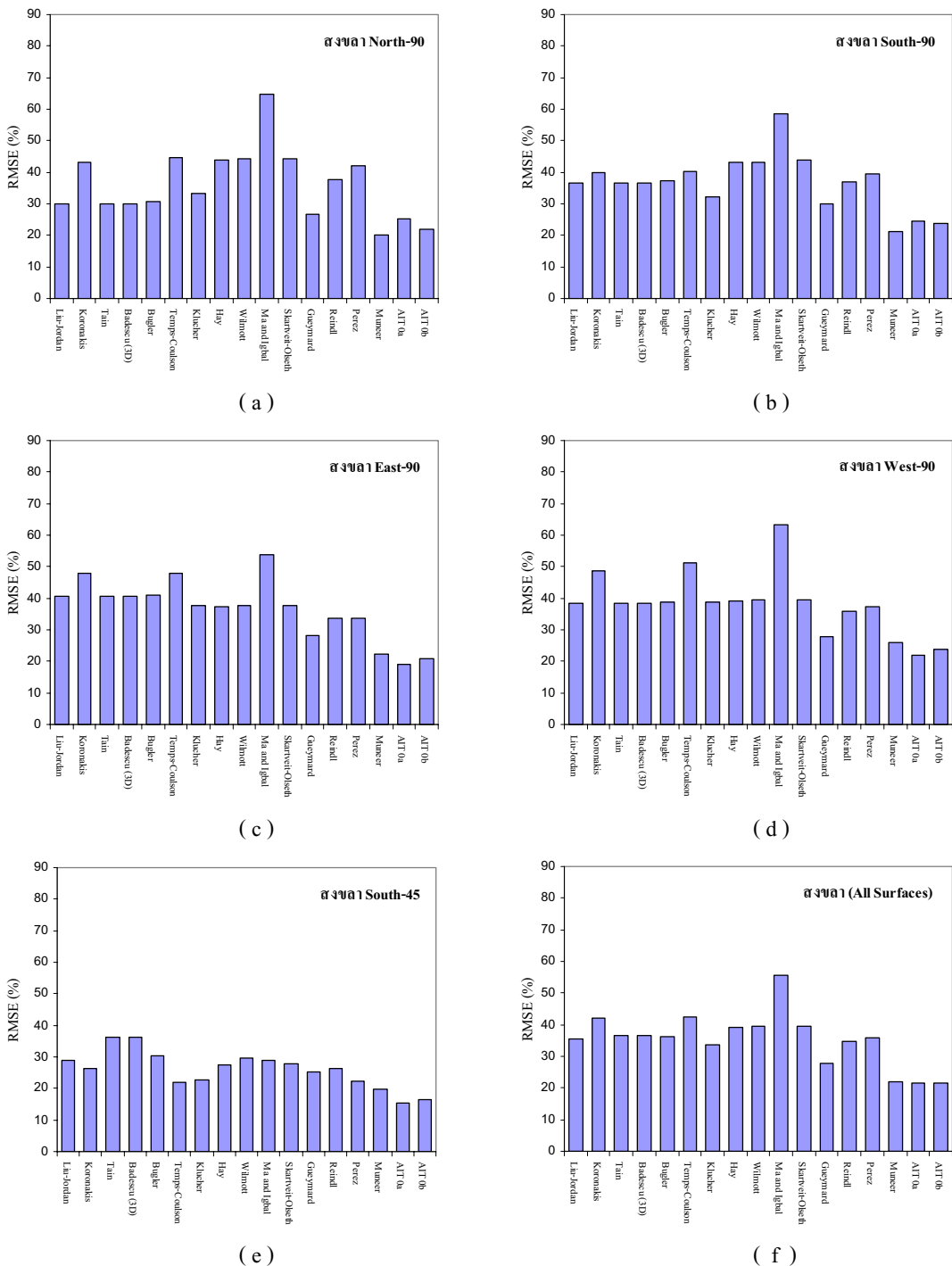


รูปที่ 3.31 กราฟแสดงค่า MBE (%) ของแต่ละแบบจำลองในการคำนวณ diffuse illuminance บนระนาบแนวตั้ง ทิศเหนือ (a) ทิศใต้ (b) ทิศตะวันออก (c) ทิศตะวันตก (d) ระนาบเอียง 45 องศาทิศใต้ (e) และ ระนาบเอียงทั้งหมด (f) ที่ศูนย์อุตุนิยมวิทยาภาคตะวันออกเฉียงเหนือ จังหวัดอุบลราชธานี

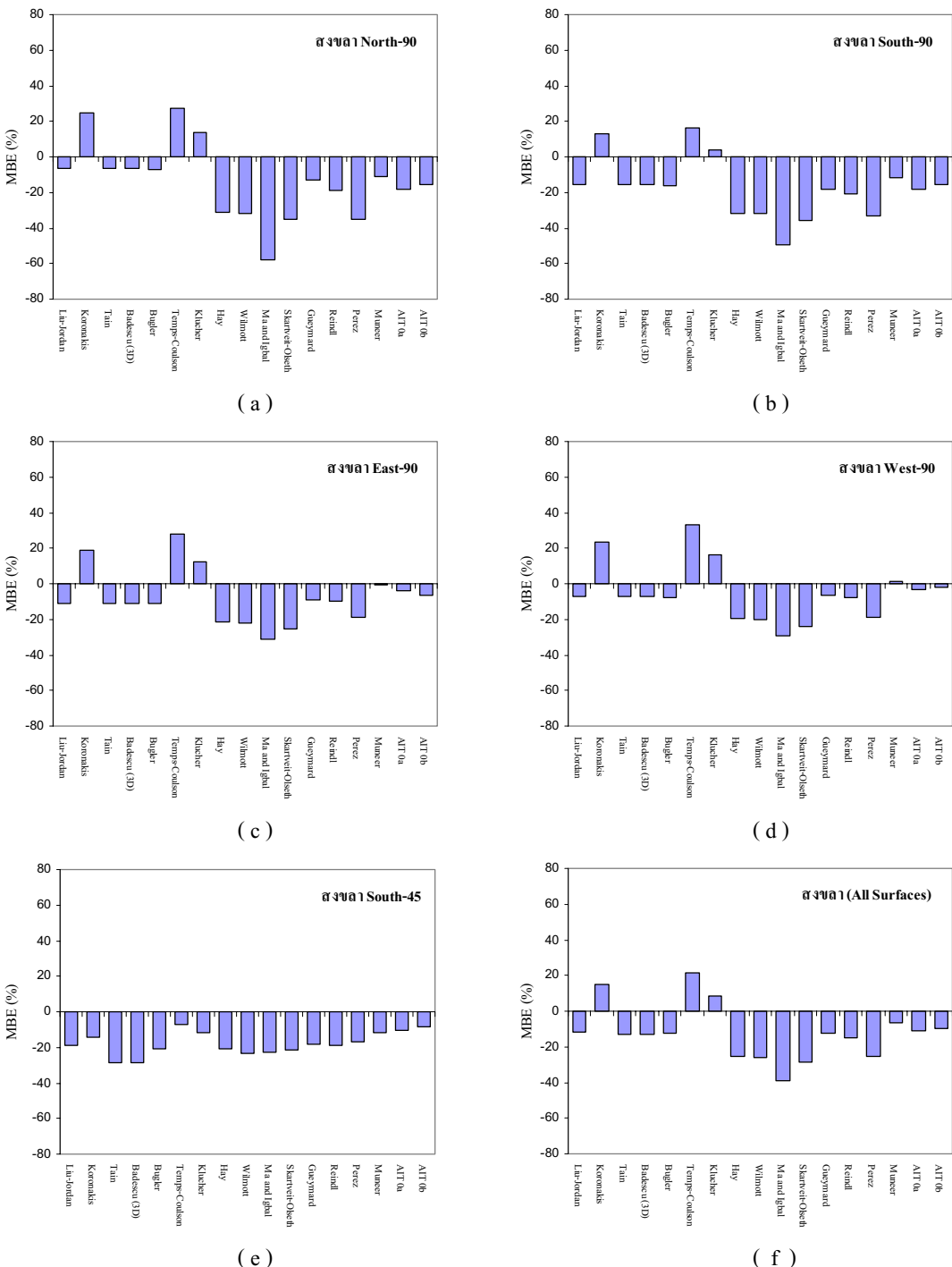
### 3.4.2.3 ผลการทดสอบที่สถานีสังขลา

ตารางที่ 3.7 แสดงค่า RMSE (%) และ MBE (%) ของแต่ละแบบจำลองในการทดสอบ  
ที่สถานีสังขลา

MODELS		North-90	South-90	East-90	West-90	South-45	All surfaces
Lui and Jordan	MBE (%)	-6.61	-15.44	-10.80	-7.40	-18.67	-11.40
	RMSE (%)	30.09	36.54	40.62	38.27	28.96	35.37
Koronakis	MBE (%)	24.52	12.75	18.94	23.47	-14.02	14.94
	RMSE (%)	43.04	39.85	47.75	48.80	26.33	42.15
Tain	MBE (%)	-6.61	-15.44	-10.80	-7.40	-28.54	-12.81
	RMSE (%)	30.09	36.54	40.62	38.27	36.23	36.41
Badescu (3D)	MBE (%)	-6.61	-15.44	-10.80	-7.40	-28.54	-12.81
	RMSE (%)	30.09	36.54	40.62	38.27	36.23	36.41
Bugler	MBE (%)	-7.11	-16.12	-11.24	-7.95	-20.54	-12.14
	RMSE (%)	30.83	37.42	41.15	38.90	30.35	36.17
Temps and Coulson	MBE (%)	27.15	16.54	27.82	33.25	-6.93	21.30
	RMSE (%)	44.57	40.25	47.80	51.11	21.93	42.42
Klucher	MBE (%)	13.89	3.95	12.32	16.54	-11.79	8.19
	RMSE (%)	33.26	32.11	37.66	38.79	22.83	33.61
Hay	MBE (%)	-31.06	-31.73	-21.23	-19.68	-20.53	-25.23
	RMSE (%)	43.74	43.14	37.48	39.05	27.54	38.98
Wilmott	MBE (%)	-32.02	-32.12	-21.98	-20.35	-23.62	-26.26
	RMSE (%)	44.10	43.27	37.76	39.44	29.59	39.52
Ma and Igbal	MBE (%)	-57.74	-49.72	-31.25	-29.59	-22.45	-39.33
	RMSE (%)	64.91	58.37	53.87	63.12	28.74	55.53
Skartveit and Olseth	MBE (%)	-35.31	-35.52	-25.18	-23.80	-21.22	-28.78
	RMSE (%)	44.26	43.87	37.74	39.48	27.71	39.42
Gueymard	MBE (%)	-12.86	-17.91	-8.87	-6.53	-18.21	-12.59
	RMSE (%)	26.84	29.84	28.20	27.79	25.22	27.79
Reindl	MBE (%)	-19.17	-20.96	-9.85	-7.88	-18.88	-15.18
	RMSE (%)	37.57	37.01	33.49	35.70	26.31	34.57
Perez et al.	MBE (%)	-35.23	-33.19	-19.13	-19.18	-17.12	-25.38
	RMSE (%)	42.18	39.63	33.66	37.23	22.38	35.92
Munee	MBE (%)	-10.73	-11.89	-0.97	1.56	-11.94	-6.51
	RMSE (%)	19.95	21.25	22.22	26.00	19.72	21.96
AIT0a (Chirarattananon et al.)	MBE (%)	-18.29	-18.32	-4.07	-3.02	-10.54	-10.96
	RMSE (%)	25.25	24.39	18.98	22.03	15.42	21.64
AIT0b (Chirarattananon et al.)	MBE (%)	-15.44	-15.45	-6.75	-2.09	-8.78	-9.85
	RMSE (%)	21.84	23.62	20.72	23.74	16.32	21.61
Number of data		13545	13563	13533	13510	4999	59150



รูปที่ 3.32 กราฟแสดงค่า RMSE (%) ของแต่ละแบบจำลองในการคำนวณ diffuse illuminance บนระนาบแนวตั้ง ทิศเหนือ (a) ทิศใต้ (b) ทิศตะวันออก (c) ทิศตะวันตก (d) ระนาบเอียง 45 องศาทิศใต้ (e) และ ระนาบเอียงทั้งหมด (f) ที่สูญเสียตุนิยมวิทยาภาคใต้ผ่านตัววันออก จังหวัดสงขลา

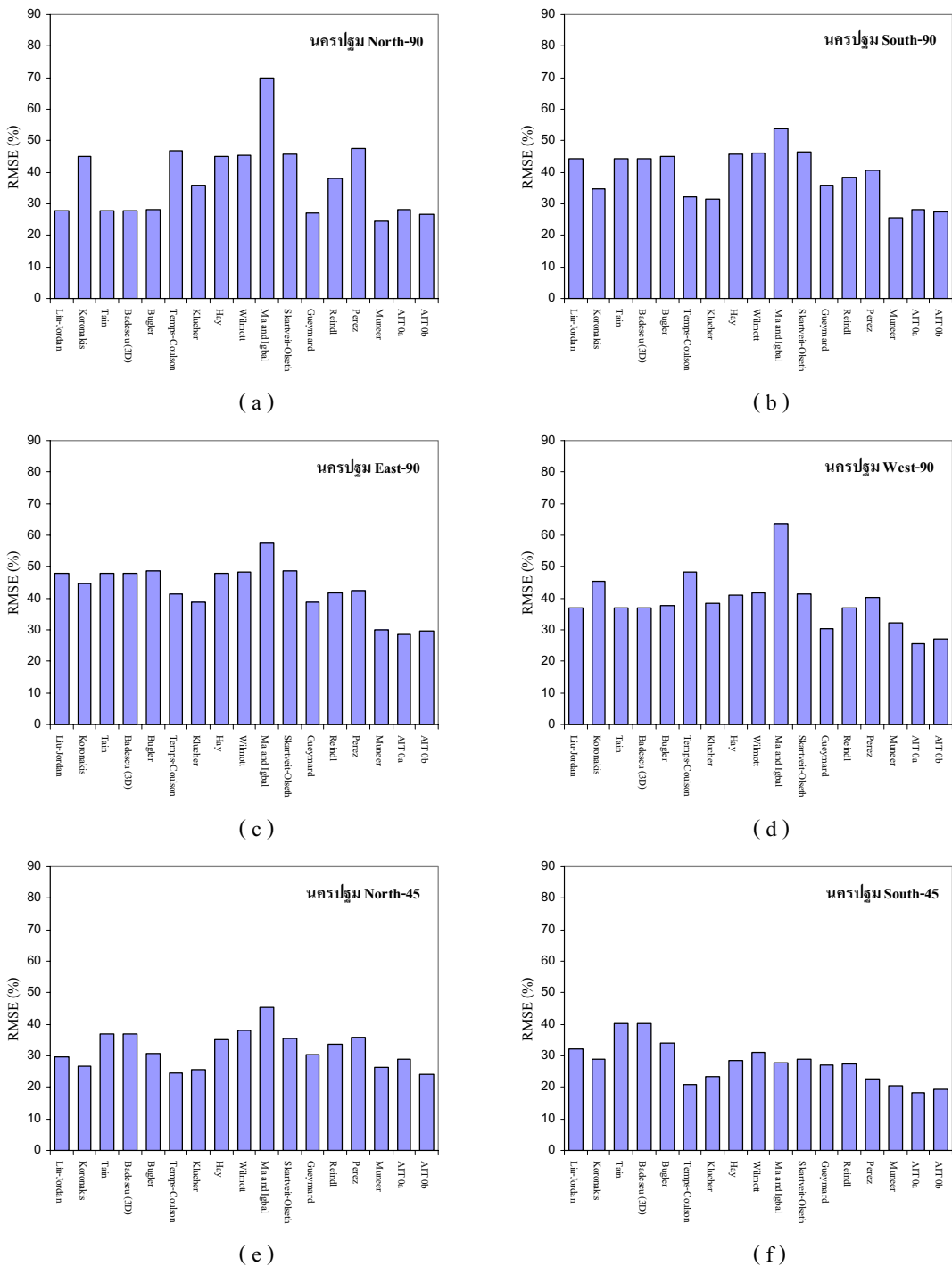


รูปที่ 3.33 กราฟแสดงค่า MBE (%) ของแต่ละแบบจำลองในการคำนวณ diffuse illuminance บนระนาบแนวตั้ง ทิศเหนือ (a) ทิศใต้ (b) ทิศตะวันออก (c) ทิศตะวันตก (d) ระนาบเอียง 45 องศาทิศใต้ (e) และ ระนาบเอียงทั้งหมด (f) ที่ศูนย์อุตุนิยมวิทยาภาคใต้ ฝั่งตะวันออก จังหวัดสงขลา

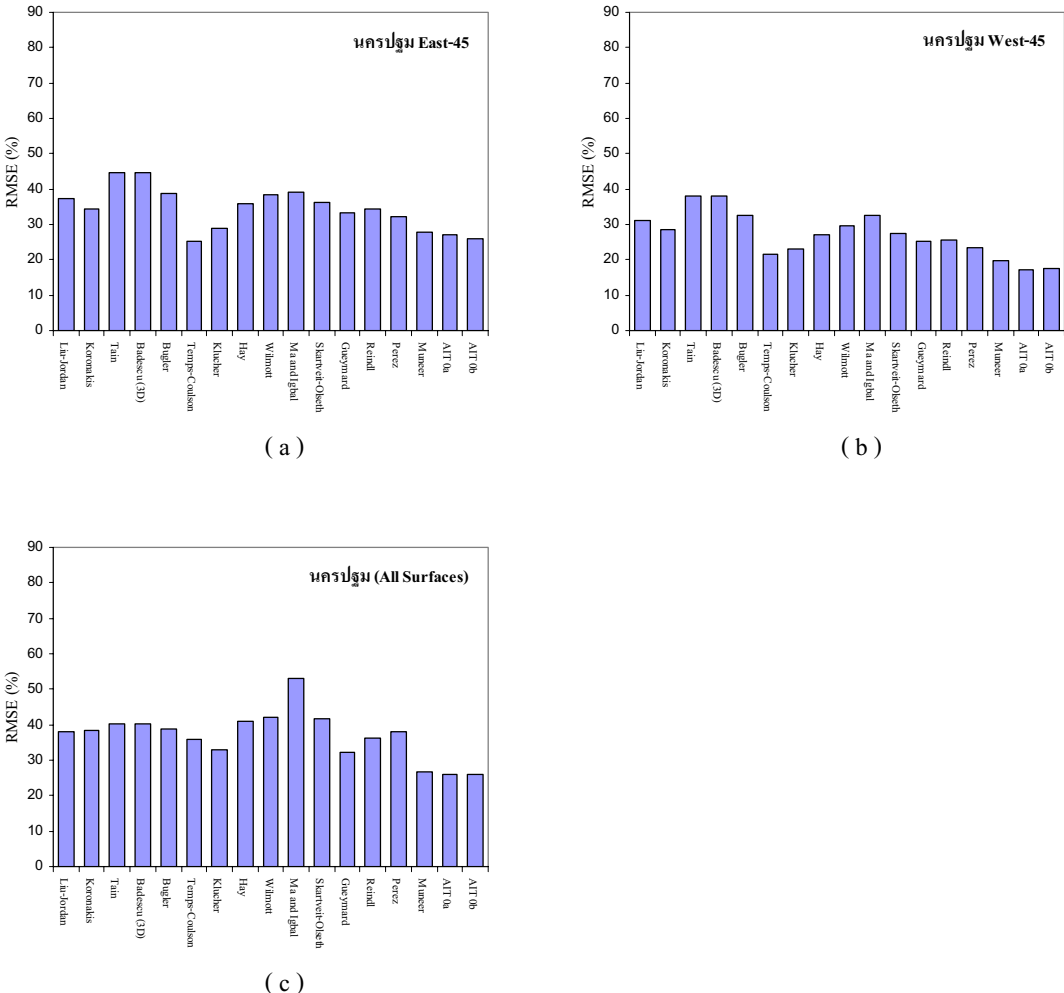
### 3.4.2.4 ผลการทดสอบที่สถานีน้ำริบลุ่ม

ตารางที่ 3.8 แสดงค่า RMSE (%) และ MBE (%) ของแต่ละแบบจำลองในการทดสอบที่สถานีน้ำริบลุ่ม

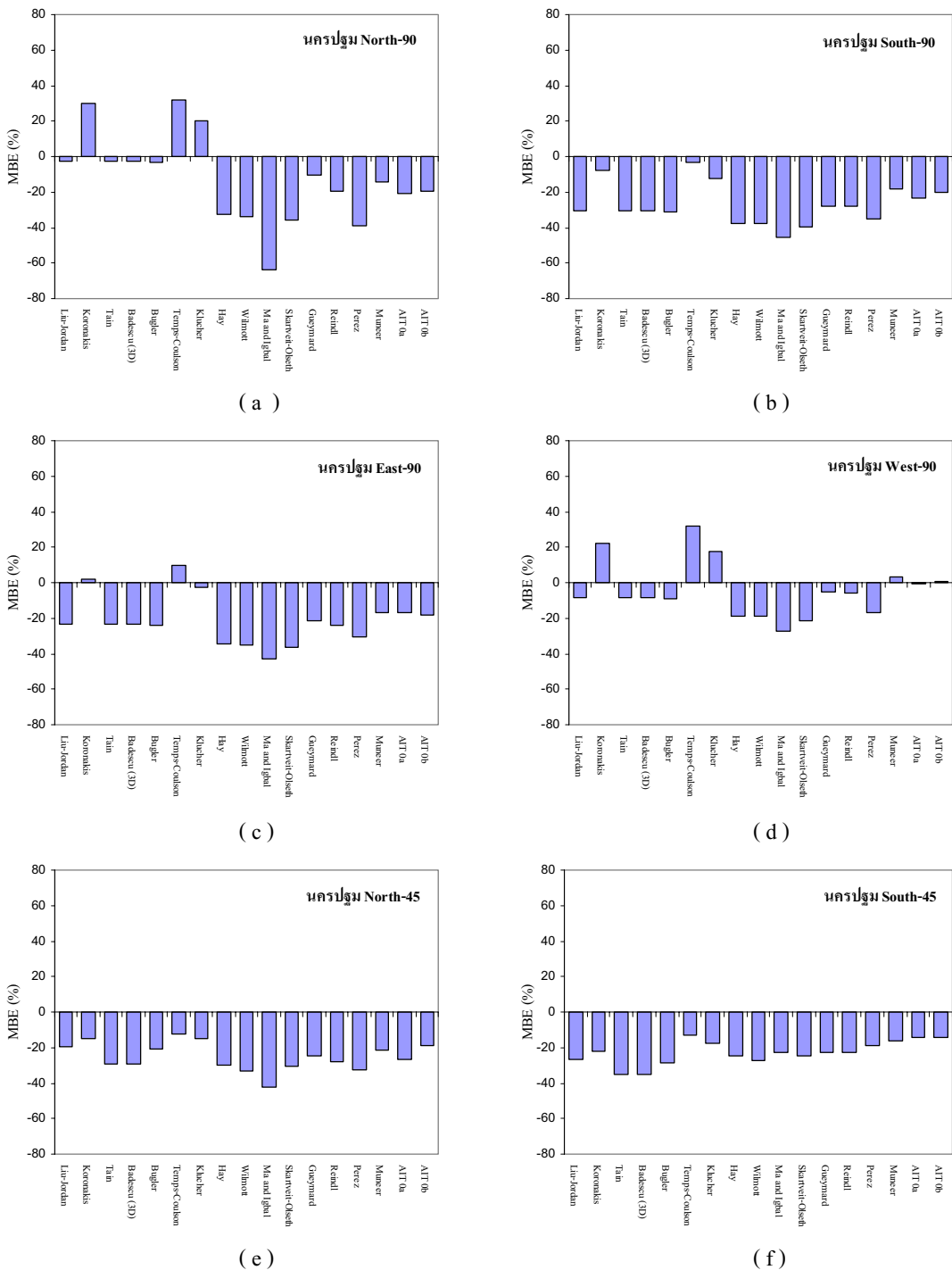
MODELS		North-90	South-90	East-90	West-90	North-45	East-45	West-45	South-45	All surfaces
Lui and Jordan	MBE (%)	-2.70	-30.74	-23.40	-8.19	-19.59	-27.27	-18.15	-26.41	-19.48
	RMSE (%)	27.91	44.27	47.99	37.07	29.50	37.43	31.09	32.21	37.99
Koronakis	MBE (%)	29.73	-7.65	2.13	22.42	-14.99	-23.11	-13.47	-22.20	1.25
	RMSE (%)	44.97	34.85	44.78	45.36	26.71	34.50	28.60	28.81	38.40
Tain	MBE (%)	-2.70	-30.74	-23.40	-8.19	-29.34	-36.10	-28.08	-35.34	-22.17
	RMSE (%)	27.91	44.27	47.99	37.07	36.89	44.47	38.04	40.12	40.14
Badescu (3D)	MBE (%)	-2.70	-30.74	-23.40	-8.19	-29.34	-36.10	-28.08	-35.34	-22.17
	RMSE (%)	27.91	44.27	47.99	37.07	36.89	44.47	38.04	40.12	40.14
Bugler	MBE (%)	-3.00	-31.52	-23.85	-8.83	-20.87	-28.39	-19.73	-28.34	-20.33
	RMSE (%)	28.33	45.11	48.57	37.58	30.79	38.72	32.59	33.93	38.85
Temps and Coulson	MBE (%)	32.00	-3.00	9.45	31.96	-12.10	-14.84	-2.99	-13.28	7.76
	RMSE (%)	46.65	32.13	41.49	48.43	24.41	25.39	21.55	20.87	35.95
Klucher	MBE (%)	20.05	-12.49	-2.41	17.34	-15.03	-19.88	-9.15	-17.73	-1.95
	RMSE (%)	35.98	31.48	38.89	38.34	25.62	28.91	23.09	23.31	32.77
Hay	MBE (%)	-32.81	-37.74	-34.34	-18.83	-29.87	-31.09	-20.40	-24.57	-30.02
	RMSE (%)	45.08	45.63	47.99	40.88	35.27	35.87	27.10	28.72	41.09
Wilmott	MBE (%)	-33.90	-38.04	-35.04	-19.10	-33.39	-34.09	-23.75	-27.21	-31.30
	RMSE (%)	45.50	46.00	48.42	41.55	38.02	38.37	29.65	30.95	42.13
Ma and Iqbal	MBE (%)	-63.58	-45.68	-43.09	-27.37	-42.38	-35.03	-22.84	-22.56	-40.24
	RMSE (%)	69.89	53.71	57.36	63.62	45.49	39.27	32.72	27.75	52.94
Skartveit and Olseth	MBE (%)	-35.81	-39.83	-36.72	-21.67	-30.40	-31.57	-20.93	-24.93	-31.94
	RMSE (%)	45.78	46.32	48.56	41.51	35.49	36.09	27.35	28.89	41.61
Gueymard	MBE (%)	-10.12	-27.88	-21.25	-5.14	-24.52	-27.66	-17.69	-23.00	-19.01
	RMSE (%)	26.89	35.99	38.65	30.43	30.30	33.40	25.16	26.97	32.13
Reindl	MBE (%)	-19.34	-28.14	-23.75	-6.13	-28.10	-29.49	-18.60	-22.94	-21.45
	RMSE (%)	38.03	38.31	41.57	37.10	33.78	34.45	25.69	27.31	36.25
Perez et al.	MBE (%)	-39.10	-34.90	-30.74	-16.96	-32.46	-29.20	-18.67	-19.14	-28.72
	RMSE (%)	47.49	40.60	42.27	40.41	35.91	32.28	23.42	22.84	38.18
Muneer	MBE (%)	-14.19	-18.40	-16.75	3.15	-21.41	-22.45	-11.23	-16.35	-13.83
	RMSE (%)	24.35	25.50	30.07	32.33	26.51	27.97	19.85	20.47	26.62
AIT0a (Chirattananon et al.)	MBE (%)	-20.67	-23.14	-16.62	-0.91	-26.55	-24.40	-13.58	-14.60	-16.79
	RMSE (%)	28.11	28.05	28.48	25.54	28.86	27.03	17.20	18.35	26.03
AIT0b (Chirattananon et al.)	MBE (%)	-19.30	-20.18	-18.25	0.54	-18.74	-21.23	-10.20	-14.47	-15.17
	RMSE (%)	26.64	27.32	29.63	27.24	24.05	25.94	17.69	19.29	25.93
Number of data		14339	14428	14244	14283	2603	2603	4667	69770	



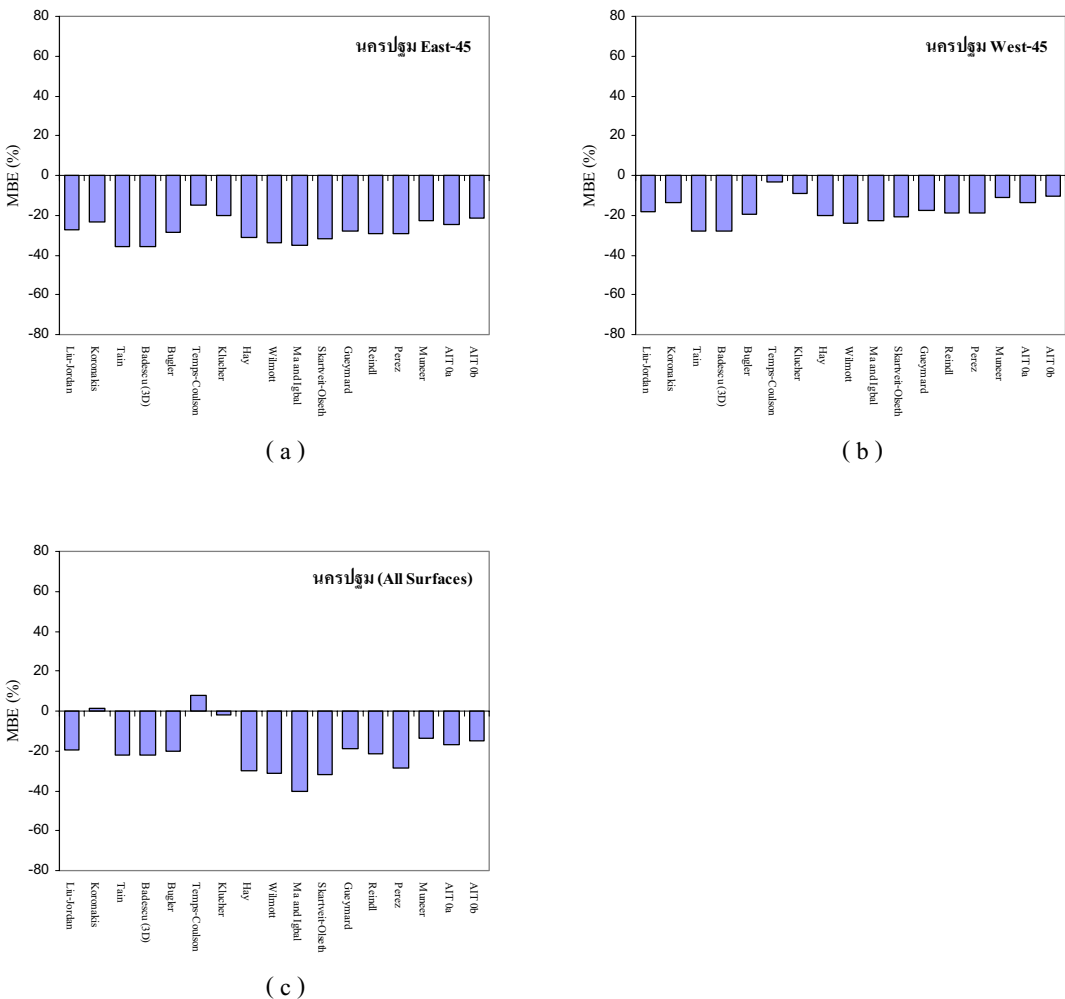
รูปที่ 3.34 กราฟแสดงค่า RMSE (%) ของแต่ละแบบจำลองในการคำนวณ diffuse illuminance บนระนาบแนวตั้ง ทิศเหนือ (a) ทิศใต้ (b) ทิศตะวันออก (c) ทิศตะวันตก (d) และระนาบเอียง 45 องศา ทิศเหนือ (e) ทิศใต้ (f) ที่สถานีนครปฐม



รูปที่ 3.35 กราฟแสดงค่า RMSE (%) ของแต่ละแบบจำลองในการคำนวณ diffuse illuminance บน  
ระนาบเอียง 45 องศา ทิศตะวันออก (a) ทิศตะวันตก (b) และระนาบเอียงทั้งหมด (c) ที่สถานีนครปฐม



รูปที่ 3.36 กราฟแสดงค่า MBE (%) ของแต่ละแบบจำลองในการคำนวณ diffuse illuminance บนระนาบแนวตั้ง ทิศเหนือ (a) ทิศใต้ (b) ทิศตะวันออก (c) ทิศตะวันตก (d) และระนาบเอียง 45 องศา ทิศเหนือ (e) ทิศใต้ (f) ที่สถานีนครปฐม



รูปที่ 3.37 กราฟแสดงค่า MBE (%) ของแต่ละแบบจำลองในการคำนวณ diffuse illuminance บน  
ระนาบเอียง 45 องศา ทิศตะวันออก (a) ทิศตะวันตก (b) และระนาบเอียงทั้งหมด (c) ที่สถานีนครปฐม

ผลการทดสอบแบบจำลองต่างๆ สำหรับคำนวณปริมาณ diffuse illuminance บนระนาบแนวดิ่งและระนาบเอียง 45 องศา จากข้อมูลวัดทั้ง 4 สถานี สรุปได้ดังนี้

### 1) สถานีเชียงใหม่

ผลการเปรียบเทียบค่า diffuse illuminance ที่คำนวณจากแบบจำลองแต่ละแบบกับข้อมูลการวัดบนระนาบแนวดิ่ง 4 ทิศ และระนาบเอียง 45 องศาทิศใต้ ที่สถานีเชียงใหม่ พบร่วมกันว่า ในการผู้ใช้งานการคำนวณ diffuse illuminance บนระนาบแนวดิ่งในทิศเหนือและทิศใต้ แบบจำลอง Munee จะให้ผลการคำนวณที่แม่นยำที่สุด (ทิศเหนือ RMSE = 19.25%, MBE = -4.72 ทิศใต้ RMSE = 18.31%, MBE = -0.73) ส่วนกรณีระนาบแนวดิ่งในทิศตะวันออกและทิศตะวันตก แบบจำลองที่ให้ผลการคำนวณแม่นยำที่สุดคือ แบบจำลอง AIT0b ที่ใช้ค่าสัมประสิทธิ์ที่พัฒนาขึ้นใหม่จากข้อมูลวัดในประเทศไทยที่สถาบันAIT (ทิศตะวันออก RMSE = 19.50%, MBE = -5.95 ทิศตะวันตก RMSE = 21.83%, MBE = 4.00) ส่วนกรณีระนาบเอียง 45 องศาทิศใต้นั้น พบร่วมกันว่า แบบจำลอง Perez ที่ใช้สัมประสิทธิ์แบบดั้งเดิมจะให้ผลการคำนวณสอดคล้องกับค่าจากการวัดมากที่สุด (RMSE = 12.65%, MBE = -6.60%) ทั้งนี้แบบจำลองส่วนใหญ่จะให้ผลการคำนวณที่มีค่าความคลาดเคลื่อนน้อยกว่าการคำนวณในกรณีระนาบแนวดิ่ง โดยผลการคำนวณ diffuse illuminance บนระนาบเอียง 45 องศา ของแต่ละแบบจำลองจะมีค่า RMSE น้อยกว่า 30% (ยกเว้นแบบจำลอง Tain และ Badescu) นอกจากนี้พบว่า ผลการคำนวณของแบบจำลองทุกแบบ จะมีค่าต่ำกว่าค่าที่วัดได้จริง เมื่อพิจารณาที่ค่า MBE ของการคำนวณบนระนาบแนวดิ่งพบว่า แบบจำลอง Koronakis, Temps and Coulson และ Klucher จะแสดงผลการคำนวณที่สูงกว่าค่าที่วัดได้จริง นอกจากนี้พบว่า แบบจำลองที่เป็นแบบ isotropic ประกอบด้วย แบบจำลอง Lui and Jordan, Tain และ Badescu จะแสดงผลการคำนวณที่ดีในกรณีระนาบแนวดิ่งทิศเหนือ โดยมีค่า RMSE ต่ำกว่า 30% ทั้งนี้เนื่องจากในประเทศไทยดวงอาทิตย์จะอยู่ทางทิศใต้เป็นส่วนใหญ่ในรอบปี ซึ่งจะมีสภาพช่วงเดือนพฤษภาคม-กรกฎาคมเท่านั้น ที่ดวงอาทิตย์อยู่ทางทิศเหนือ ทำให้พื้นที่ในทิศเหนือไม่ได้รับอิทธิพลของแสงจากบริเวณรอบๆ ดวงอาทิตย์ (circumsolar) สมมติฐานแบบ isotropic จึงค่อนข้างเป็นจริงสำหรับการคำนวณบนระนาบแนวดิ่งทิศเหนือ

เมื่อพิจารณาจากผลการทดสอบโดยรวมของการคำนวณ diffuse illuminance บนพื้นที่เอียงทั้งหมด (All surfaces) พบร่วมกันว่า แบบจำลองที่ให้ผลการคำนวณที่ค่อนข้างสอดคล้องกับค่าจากการวัดมากกว่าแบบจำลองอื่นๆ คือ แบบจำลอง Munee, AIT0a และ AIT0b โดยมีความคลาดเคลื่อนของการคำนวณโดยรวมในรูป RMSE อยู่ในช่วง 19.48-20.41% โดยแบบจำลอง AIT0b จะให้ผลที่แม่นยำที่สุด

ส่วนแบบจำลองอื่นที่ให้ผลการคำนวณที่ดีรองลงมาคือ แบบจำลอง Gueymard มีค่า RMSE โดยรวมอยู่ที่ 24.60% สำหรับแบบจำลองแบบ isotropic ประกอบด้วย Lui and Jordan, Tain และ Badescu กับแบบจำลองแบบ anisotropic คือ แบบจำลอง Bugler และ Klucher จะแสดงผลการคำนวณที่มีความคลาดเคลื่อนอยู่ในระดับเดียวกัน มีค่า RMSE อยู่ในช่วง 34-35% ส่วนแบบจำลองที่ให้ผลการคำนวณที่ไม่สอดคล้องกับค่าจากการวัด คือ แบบจำลอง Koronakis, Temps and Coulson และ Ma and Igbal

## 2) สถานีอุบลราชธานี

ผลการทดสอบแบบจำลองสำหรับคำนวณ diffuse illuminance บนระนาบแนวตั้งและระนาบเอียง 45 องศา จากข้อมูลการวัดที่จังหวัดอุบลราชธานี พบว่า แบบจำลองที่ให้ผลการคำนวณ diffuse illuminance ที่สอดคล้องกับค่าจากการวัดมากที่สุด กรณีระนาบแนวตั้งทิศเหนือ ทิศใต้ และทิศตะวันออก คือ แบบจำลอง Muneer โดยมีค่าความคลาดเคลื่อนในรูป RMSE ในช่วง 19-23% โดยผลที่สอดคล้องมากที่สุดที่ได้จากแบบจำลองนี้จะอยู่ที่ระนาบแนวตั้งทิศใต้ อย่างไรก็ตามแบบจำลองดังกล่าวจะให้ผลการคำนวณที่ต่ำกว่าค่าที่วัดได้จริง โดยค่า MBE อยู่ในช่วง -10.23% ถึง -12.63% ส่วนกรณีการคำนวณบนระนาบแนวตั้งทิศตะวันตกและระนาบเอียง 45 องศาทิศใต้นั้น แบบจำลองที่แสดงผลการคำนวณแม่นยำที่สุด คือ แบบจำลอง AIT0a โดยผลการคำนวณที่ระนาบแนวตั้งทิศตะวันตก จะมีค่า RMSE = 21.52%, MBE = 1.14% และการคำนวณที่ระนาบเอียง 45 องศาทิศใต้นั้น จะมี RMSE = 15.51%, MBE = -10.17% ส่วนแบบจำลอง AIT0b จะให้ผลการคำนวณที่ดีในระดับใกล้เคียงกันกับ แบบจำลอง AIT0a สำหรับกรณีของการคำนวณที่ระนาบเอียง 45 องศาทิศใต้นั้น พบว่าผลการคำนวณของทุกแบบจำลองจะให้ผลที่ต่ำกว่าค่าที่วัดได้จริงทั้งหมด แต่ค่าความคลาดเคลื่อนของแบบจำลองส่วนใหญ่เมื่อเทียบกับการคำนวณบนระนาบแนวตั้งจะมีค่าลดลง โดยผลการคำนวณของแบบจำลองทั้งหมด (ยกเว้นแบบจำลอง Tain, Badescu ,Bugler) จะมีค่า RMSE ต่ำกว่า 30% สำหรับแบบจำลองแบบ isotropic ได้แก่ แบบจำลอง Lui and Jordan, Tain และ Badescu จะให้ผลการคำนวณที่ดี ในการกรณีของระนาบแนวตั้งทิศเหนือนี้อย่างมาก

สำหรับผลการทดสอบโดยรวมของการคำนวณ diffuse illuminance บนพื้นที่เอียงทั้งหมด (All surfaces) พบว่า แบบจำลอง Muneer, AIT0a และ AIT0b ยังคงแสดงผลการคำนวณที่ดีกว่าแบบจำลองอื่นๆ ซึ่งแบบจำลองดังกล่าวจะมีค่า RMSE ของการคำนวณโดยรวมอยู่ในช่วง 22.91-23.95% โดยแบบจำลองที่ให้ผลแม่นยำที่สุดคือ แบบจำลอง Muneer สำหรับแบบจำลองอื่นที่ให้ผลการคำนวณที่ดีรองลงมาคือ แบบจำลอง Gueymard, Reindl และ Klucher ตามลำดับ โดยมีค่า RMSE ในช่วง 28-33%

ส่วนแบบจำลองอื่นๆ ประกอบด้วย แบบจำลอง Lui and Jordan, Tain, Badescu, Bugler, Temps and Coulson, Hay, wilmott, Skartveit and Olseth และ Perez จะมีค่า RMSE ของการคำนวณโดยรวมอยู่ในช่วง 36-40% สำหรับแบบจำลองที่ให้ผลการคำนวณที่ไม่สอดคล้องกับค่าจากการวัดมากที่สุดคือแบบจำลอง Ma and Igbal โดยมีความคลาดเคลื่อนในรูป RMSE สูงถึง 55.22%

### 3) สถานีสังขลา

ผลการทดสอบแบบจำลองสำหรับการคำนวณ diffuse illuminance บนพื้นอีียง จากข้อมูลการวัดในภาคใต้ ที่จังหวัดสงขลา พบว่า แบบจำลองของ Muneer มีผลการคำนวณที่สอดคล้องกับข้อมูลการวัดมากที่สุด ทั้งในกรณีระนาบแนวตั้งทิศเหนือและทิศใต้ โดยที่ RMSE = 19.95%, MBE = -10.73% และ RMSE = 21.25%, MBE = -11.89% ส่วนผลการคำนวณบนระนาบแนวตั้งในทิศตะวันออกกับทิศตะวันตก และกรณีระนาบอีียง 45 องศาทิศใต้ แบบจำลองที่ให้ผลแม่นยำที่สุดคือ แบบจำลอง AIT0a (ทิศตะวันออก RMSE = 18.98%, MBE = -4.07% ทิศตะวันตก RMSE = 22.03%, MBE = -3.02% และระนาบอีียง 45 องศาทิศใต้ RMSE = 15.42%, MBE = -10.54%) โดยพบว่าแบบจำลอง AIT0b จะให้ผลที่ใกล้เคียงกับแบบ AIT0a สำหรับแบบจำลองแบบ isotropic ยังคงให้ผลการคำนวณที่ดีในกรณีของระนาบแนวตั้งทิศเหนือเช่นเดียวกับผลการทดสอบของสถานีเชียงใหม่ และอุบลราชธานี แต่จะแสดงค่า RMSE ที่สูงกว่าเล็กน้อย เนื่องจากค่า diffuse illuminance บนระนาบแนวตั้งทิศเหนือที่จังหวัดสงขลา มีค่าสูงกว่าที่สถานีทั้งสองดังกล่าว

เมื่อพิจารณาผลการทดสอบโดยรวมของการคำนวณ diffuse illuminance บนพื้นอีียงทั้งหมด (All surfaces) พบว่า แบบจำลอง Muneer, AIT0a และ AIT0b ยังคงให้ผลการคำนวณที่แม่นยำกว่าแบบจำลองอื่นๆ โดยแบบจำลองดังกล่าวจะให้การคำนวณที่ดีในระดับเดียวกัน ซึ่งจะมีค่าความคลาดเคลื่อนโดยรวมในรูป RMSE อยู่ที่ประมาณ 21% ส่วนแบบจำลองอื่นที่ให้ผลการคำนวณที่ดีรองลงมาคือ แบบจำลอง Gueymard, Klucher และ Reindl ตามลำดับ โดยมีค่า RMSE อยู่ในช่วง 27-34% สำหรับแบบจำลองแบบ isotropic ประกอบด้วย แบบจำลอง Lui and Jordan, Tain และ Badescu กับแบบจำลองแบบ anisotropic คือ Bugler และ Perez จะแสดงผลการคำนวณที่มีความคลาดเคลื่อนอยู่ในระดับเดียวกัน โดยมีค่า RMSE อยู่ในช่วง 35-36%

#### 4) สถานีนกรปุรี

ผลการทดสอบแบบจำลองสำหรับคำนวณ diffuse illuminance บนพื้นอิฐจากข้อมูลการวัดที่สถานีนกรปุรี ประกอบด้วย การทดสอบกรณีระนาบแนวตั้ง 4 ทิศทาง และกรณีระนาบเอียง 45 องศา 4 ทิศทาง เช่นกัน โดยผลการทดสอบที่ได้สามารถสรุปตามกรณีได้ดังนี้

##### ก) กรณีระนาบแนวตั้ง

จากผลการทดสอบแบบจำลองสำหรับคำนวณ diffuse illuminance บนระนาบแนวตั้งกับข้อมูลการวัดที่จังหวัดนกรปุรี พบร้า กรณีของการคำนวณ diffuse illuminance บนระนาบแนวตั้งทิศเหนือและทิศใต้นี้ แบบจำลองที่ให้ผลการคำนวณที่ดีที่สุด ยังคงเป็นแบบจำลอง Munee เชนเดียวกับผลการทดสอบของสถานีเชียงใหม่ อุบลราชธานี และสงขลา (ทิศเหนือ RMSE=24.35%, MBE=-14.19% ทิศใต้ RMSE=25.50%, MBE= -18.40%) ส่วนกรณีทิศตะวันออกและทิศตะวันตก แบบจำลอง AIT0a ให้ผลการคำนวณแม่นยำที่สุด โดยในทิศตะวันออกจะมีค่า RMSE เท่ากับ 28.48% และ MBE เท่ากับ -16.62% สำหรับทิศตะวันตกจะมีค่า RMSE เท่ากับ 25.54% และ MBE เท่ากับ -0.91%

##### ข) กรณีระนาบเอียง 45 องศา

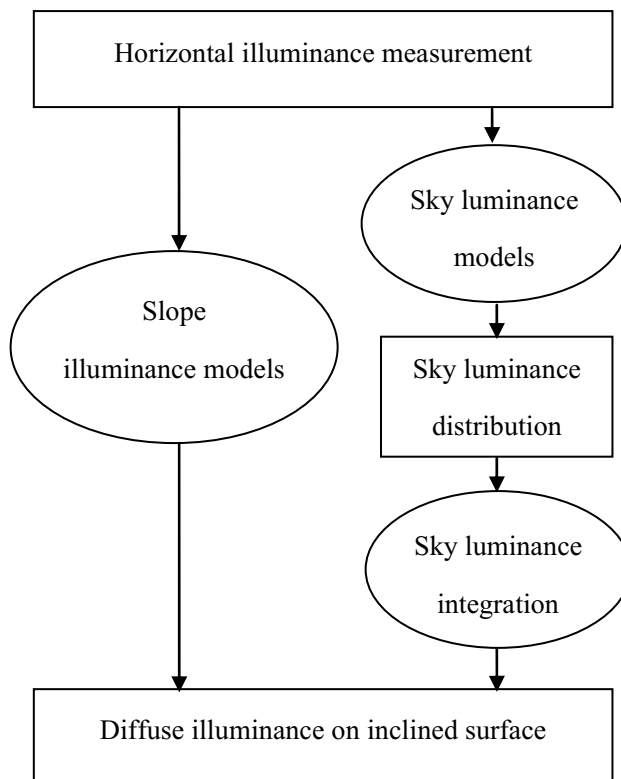
ผลการทดสอบแบบจำลองสำหรับคำนวณ diffuse illuminance บนระนาบเอียง 45 องศา พบร้า กรณีทิศเหนือ แบบจำลอง AIT0b จะให้ผลการคำนวณที่แม่นยำสุด โดยมี RMSE เท่ากับ 24.05% และ MBE เท่ากับ -18.74% ส่วนกรณีระนาบเอียงในทิศตะวันออก แบบจำลอง Temps and Coulson จะให้ผลการคำนวณที่แม่นยำกว่าแบบจำลองอื่น โดยมี RMSE เท่ากับ 25.39% และ MBE เท่ากับ -14.84% สำหรับกรณีระนาบเอียงในทิศตะวันตกและทิศใต้ แบบจำลองที่ให้ผลการคำนวณแม่นยำที่สุดสุดคือแบบจำลอง AIT0a โดยผลที่ได้ในทิศตะวันตกจะมีค่า RMSE เท่ากับ 17.20% และ MBE เท่ากับ -13.58% และผลการเปรียบเทียบในทิศใต้จะมี RMSE เท่ากับ 18.35% และ MBE เท่ากับ -14.60% ทั้งนี้ แบบจำลองส่วนใหญ่จะมีค่าความคลาดเคลื่อนลดลงเมื่อเทียบกับการคำนวณในกรณีระนาบแนวตั้งในทิศเดียวกัน เมื่อพิจารณาผลแต่ละทิศพบว่า ผลการคำนวณของแต่ละแบบจำลองในกรณีระนาบเอียงทิศใต้และทิศตะวันตก จะมีค่าความคลาดเคลื่อนที่ต่ำกว่าเมื่อเทียบกับการคำนวณในทิศเหนือและทิศตะวันออก โดยในกรณีพื้นอิฐ 45 องศา แบบจำลองทั้งหมดจะให้ผลการคำนวณที่ต่ำกว่าค่าที่วัดได้จริง

เมื่อพิจารณาที่ผลการทดสอบโดยรวมของแต่ละแบบจำลองในการคำนวณ diffuse illuminance บนพื้นอิฐทั้งหมด (All surfaces) ทั้งกรณีระนาบแนวตั้งและระนาบเอียง 45 องศา พบร้า แบบจำลองที่ให้ผลการคำนวณที่สอดคล้องกับค่าจากการวัดมากกว่าแบบจำลองอื่นๆ ยังคงเป็นแบบจำลอง Munee, AIT0a และ AIT0b เช่นเดียวกับผลการทดสอบที่สถานีเชียงใหม่ อุบลราชธานี

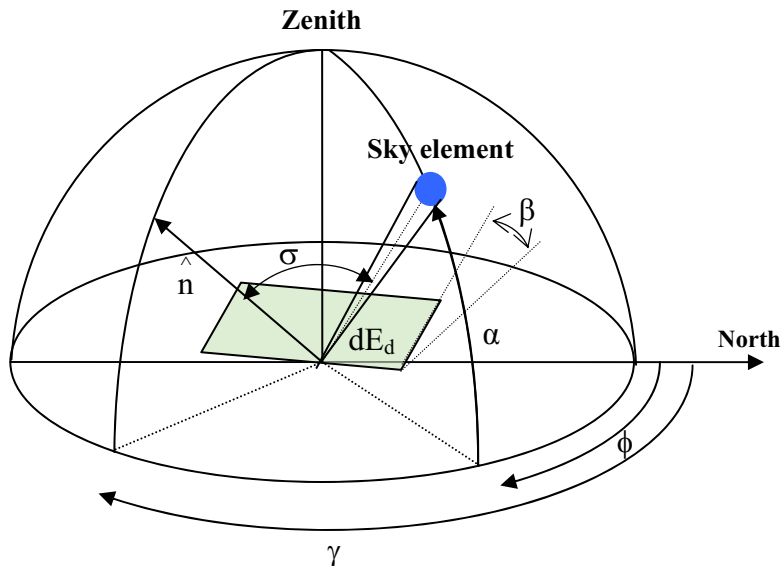
และสงขลา โดยมีค่า RMSE ของการคำนวณโดยรวมอยู่ในช่วง 25.93-26.62% ซึ่งแบบจำลอง AIT0b จะให้ผลการคำนวณโดยรวมดีที่สุด ส่วนแบบจำลองอื่นที่ให้ผลการคำนวณที่ดีรองลงมาคือ แบบจำลอง Gueymard และ Klucher โดยจะให้ผลการคำนวณที่ดีในระดับเดียวกัน มีค่า RMSE อยู่ที่ประมาณ 32% สำหรับแบบจำลองที่ให้ผลการคำนวณที่ไม่สอดคล้องกับค่าจากการวัดมากที่สุด ยังคงเป็นแบบจำลอง Ma and Igbal โดยมีค่า RMSE ของการคำนวณอยู่ที่ 52.94%

### 3.5 การคำนวณ Diffuse illuminance บนพื้นอุ่นโดยวิธีการอินทิเกรต Sky luminance distribution

การคำนวณปริมาณ diffuse illuminance บนพื้นอุ่น นอกจากจะอาศัยแบบจำลองรังสีกระจายบนพื้นอุ่น เพื่อแปลงค่า diffuse illuminance บนพื้นราบ ไปเป็น diffuse illuminance บนระนาบอุ่นที่มุมต่างๆ แล้ว ยังสามารถคำนวณได้โดย ใช้วิธีการอินทิเกรตปริมาณแสงสว่างธรรมชาติจากส่วนต่างๆ ของท้องฟ้า (sky luminance) เหนือทรงกลมท้องฟ้าทั้งหมดที่มองเห็นจากพื้นอุ่น โดยที่ปริมาณ sky luminance ที่ส่วนต่างๆ ของท้องฟ้านี้สามารถหาได้จากการวัดโดยตรงด้วยเครื่อง Sky scanner ซึ่งเป็นเครื่องมือที่มีราคาแพง ทำให้มีข้อมูลการวัดน้อยมาก หรือสามารถคำนวณได้จากแบบจำลองแสงสว่างธรรมชาติจากส่วนต่างๆ ของท้องฟ้า (sky luminance model) ซึ่งโดยทั่วไปแบบจำลอง sky luminance model ต่างๆ จะอาศัยข้อมูลการวัด illuminance บนพื้นราบเพื่อช่วยในการจำแนกสภาพท้องฟ้า การหาปริมาณแสงสว่างธรรมชาติบนพื้นอุ่นจากข้อมูลการวัดบนพื้นราบ ทั้ง 2 วิธี แสดงดังแผนภาพ



รูปที่ 3.38 แสดงแผนภาพวิธีการหา diffuse illuminance บนพื้นอุ่น



รูปที่ 3.39 แสดงคำนวณของ sky element เทียบกับคำนวณของพื้นอิ่ม

การคำนวณปริมาณแสงสว่าง diffuse illuminance ( $dE_d$ ) ที่มาจากการส่วนย่อยๆ ของท้องฟ้า (sky element) บนระนาบใดๆ สามารถคำนวณได้จากปริมาณ luminance ( $L(\alpha, \phi)$ ) ของ sky element ดังกล่าว ตามสมการ

$$dE_d = L(\alpha, \phi) \cos \sigma d\Omega \quad (3.11)$$

เมื่อ	$L(\alpha, \phi)$ = ค่า luminance ของ sky element (candela/m <sup>2</sup> )
$\alpha$	= มุมเงยของ sky element (องศา)
$\phi$	= มุมอะซิมูตของ sky element (องศา)
$\sigma$	= มุมตკกระทบของ sky element บนพื้นอิ่ม (องศา)
$\Omega$	= มุมตันที่รับพื้นที่ของ sky element (สเตอรีเดียน)

โดยที่ มุมตკกระทบ ( $\sigma$ ) และมุมตัน ของ sky element สามารถคำนวณได้ดังสมการ

$$\cos \sigma = \cos \beta \sin \alpha + \sin \beta \cos \alpha \cos |\phi - \gamma| \quad (3.12)$$

และ

$$d\Omega = \cos \alpha d\alpha d\phi \quad (3.13)$$

$$\begin{aligned} \text{เมื่อ } \beta &= \text{มุมอุปทานของพื้นผิวน้ำ (องศา)} \\ \gamma &= \text{มุม Azimuth ของพื้นผิวน้ำ (องศา)} \end{aligned}$$

ดังนั้นจากสมการ (3.11)-(3.13) ปริมาณ diffuse illuminance บนพื้นผิวน้ำ  $\beta$  สามารถคำนวณได้จาก การอินทิเกรต  $dE_{d\beta}$  เทียบกับมุมเงย ( $\alpha$ ) และมุมอะซิมูต ( $\phi$ ) ของ sky element ตลอดทั้งทรงกลมท้องฟ้าดังสมการ

$$E_{d\beta} = \iint_{\alpha\phi} L(\alpha, \phi) (\cos \beta \sin \alpha + \sin \beta \cos \alpha \cos |\phi - \gamma|) \cos \alpha d\alpha d\phi \quad (3.14)$$

$$\text{เมื่อ } E_{d\beta} = \text{ปริมาณ diffuse illuminance บนพื้นผิวน้ำ (klux)}$$

โดยกรณีพื้นราบ ( $\beta = 0$ ) สมการ (3.14) จะลดรูปเป็น

$$E_{dh} = \iint_{\alpha\phi} L(\alpha, \phi) \sin \alpha \cos \alpha d\alpha d\phi \quad (3.15)$$

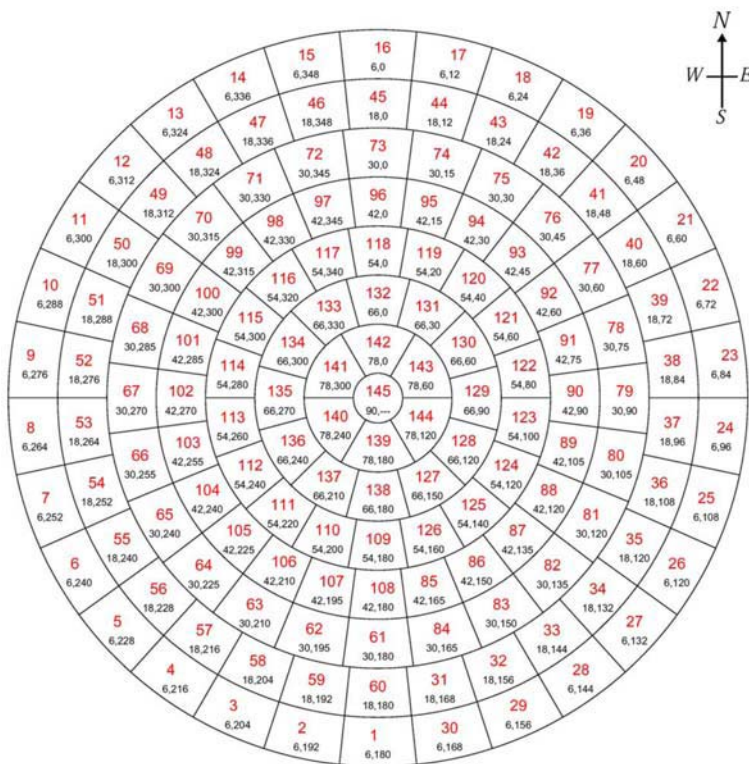
$$\text{เมื่อ } E_{dh} = \text{ปริมาณ diffuse illuminance บนพื้นราบ (klux)}$$

อย่างไรก็ตามการจะอินทิเกรตสมการข้างต้นแบบเชิงวิเคราะห์ (analytical) นั้นค่อนข้างยุ่งยากเนื่องจากฟังก์ชันของ sky luminance distribution ( $L(\alpha, \phi)$ ) ส่วนใหญ่เป็นฟังก์ชันที่ค่อนข้างซับซ้อนดังนั้นการอินทิเกรตสมการดังกล่าวจึงต้องใช้การคำนวณแบบเชิงตัวเลข (numerical method) โดยแปลงสมการ (3.14) ให้อยู่ในรูปของสมการ summation ดังนี้

$$E_{d\beta} = \sum_i L_i \cos \sigma_i \Omega_i \quad (3.16)$$

$$\begin{aligned} \text{เมื่อ } E_{d\beta} &= \text{ปริมาณ diffuse illuminance บนพื้นผิวน้ำ (klux)} \\ L_i &= ค่า luminance ของ sky element ที่ i (candela/m<sup>2</sup>) \\ \sigma_i &= \text{มุมตัดกราบทบของบนพื้นผิวน้ำ sky element ที่ i (องศา)} \\ \Omega_i &= \text{มุมตันที่ร่องรับพื้นที่ของ sky element ที่ i (สเตอรเดียน)} \end{aligned}$$

จากสมการ (3.16) ปริมาณ diffuse illuminance บนพื้นอุ่น สามารถหาได้จากผลรวมของผลคูณระหว่าง  $L_i \cos \sigma_i$  และ  $\Omega_i$  ของแต่ละ sky element ในงานวิจัยนี้ ผู้วิจัยจะใช้การแบ่งทรงกลมท้องฟ้าออกเป็น 145 เซลล์ (145 sky element) ตามรูปแบบการวัดของเครื่อง sky scanner จากนั้นจะทำการคำนวณค่า luminance บุนเดสกราฟฟ์ และบุนเดสตันของแต่ละ sky element เพื่อใช้คำนวณหาปริมาณ diffuse illuminance โดยลักษณะการแบ่งท้องฟ้าดังกล่าวแสดงดังรูปที่ 3.40



รูปที่ 3.40 แสดงการแบ่งท้องฟ้าออก 145 เซลล์พื้นที่เท่าๆ กัน  
ตามรูปแบบการวัดของ เครื่อง Sky scanner

จากลักษณะการแบ่งท้องฟ้าออกเป็น 145 เซลล์ดังกล่าว จะเห็นว่ามุมเงย ( $\alpha$ ) ที่กึ่งกลางของ เซลล์จะเริ่มที่ 6 องศาและเพิ่มขึ้นตามมุมเงยระดับละ 12 องศา จนถึงจุดกึ่งกลางท้องฟ้า คือ 6, 18, 30, 42, 54, 66, 78 และ 90 องศา ตามลำดับ ส่วนมุมอะซิมูต ( $\phi$ ) ที่กึ่งกลางเซลล์จะเริ่มนับจากทางทิศเหนือ และลักษณะการเพิ่มของมุมอะซิมูตในแต่ละค่าของมุมเงยนั้นจะไม่เท่ากัน คือที่มุมเงย 6 และ 18 องศา มุมอะซิมูตจะเพิ่มครั้งละ 12 องศา ที่มุมเงย 30 และ 42 องศา มุมอะซิมูตจะเพิ่มครั้งละ 15 องศา ที่มุมเงย

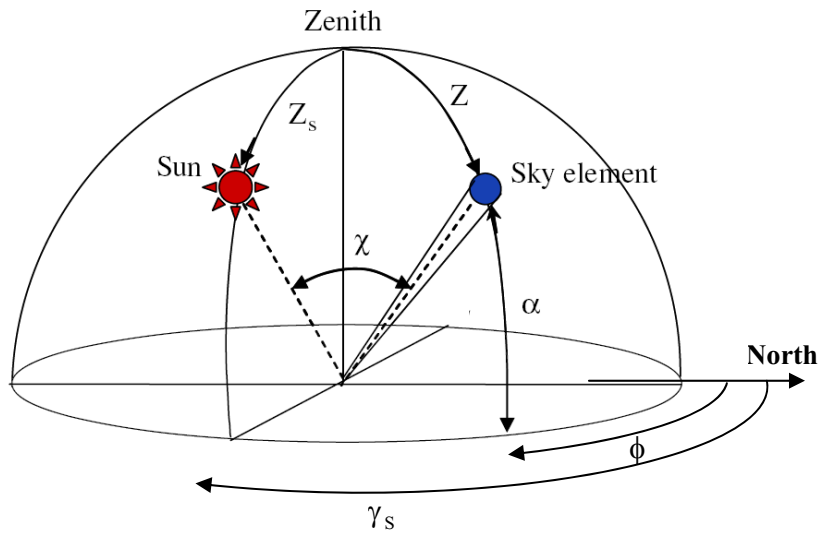
54 องศา มุมอุปัต्तิจะเพิ่มครั้งละ 20 องศา ที่มุมเงย 66 องศา มุมอุปัต्तิจะเพิ่มครั้งละ 30 องศา ที่มุมเงย 78 องศา มุมอุปัต्तิจะเพิ่มครั้งละ 60 องศาและที่มุมเงย 90 องศา มุมอุปัต्तิจะมีค่าเป็น 360 องศา คือมีหนึ่งเซลล์ที่กึ่งกลางห้องฟ้า โดยจำนวนเซลล์ ค่าการเพิ่มของมุมอุปัต्तิ และมุมตัน ของแต่ละเซลล์หรือ sky element ที่แตกต่างกันตามดังกล่าว แสดงดังตารางที่ 3.9

ตารางที่ 3.9 แสดงค่าจำนวน sky element ค่าอุปัต्तิที่เพิ่มขึ้น และค่ามุมตันของ sky element ที่แตกต่างกันตาม

Altitude of band centre ( $^{\circ}$ )	Number of zones in band	Azimuth increment ( $^{\circ}$ )	Solid angle (Sr)
6	30	12	0.0435
18	30	12	0.0416
30	24	15	0.0474
42	24	15	0.0407
54	18	20	0.0429
66	12	30	0.0445
78	6	60	0.0455
90	1	360	0.0344

### 3.5.1 แบบจำลองแสงสว่างธรรมชาติจากส่วนต่างๆ ของห้องฟ้า (Sky luminance model)

ในงานวิจัยนี้ ผู้วิจัยทำการคำนวณปริมาณแสงสว่างธรรมชาติในรูป diffuse illuminance บนพื้นอุปัต्तิ โดยอาศัยการอินทิเกรตค่า sky luminance ซึ่งปริมาณ sky luminance ดังกล่าว สามารถหาได้จากแบบจำลองแสงสว่างธรรมชาติจากส่วนต่างๆ ของห้องฟ้า (sky luminance model) ในส่วนนี้ ผู้วิจัยจะเลือกเอาแบบจำลองแสงสว่างธรรมชาติจากส่วนต่างๆ ของห้องฟ้าที่พัฒนาโดย Janjai และคณะ (2007) จากห้องปฏิบัติการฟิสิกส์บรรยายกาศ ภาควิชาฟิสิกส์ คณะวิทยาศาสตร์ มหาวิทยาลัยศิลปากร แบบจำลองดังกล่าวเป็นแบบจำลองเชิงสถิติ ซึ่งอาศัยภาพถ่ายดาวเทียมในการจำแนกสภาพห้องฟ้า โดยมีสมมติฐานที่ว่า ในสภาพห้องฟ้าแบบหนึ่ง ปริมาณแสงสว่างธรรมชาติของจุดๆ หนึ่งบนห้องฟ้า จะขึ้นอยู่กับมุม zenith ( $Z$ ) ของจุดที่พิจารณา มุม zenith ของดวงอาทิตย์ ( $Z_s$ ) และระยะห่างเชิงมุมระหว่างจุดที่พิจารณา กับดวงอาทิตย์ ( $\chi$ ) ซึ่งแสดงดังรูปที่ 3.41



รูปที่ 3.41 แสดงตำแหน่งดวงอาทิตย์ และตำแหน่งบนท้องฟ้า (P) ที่จะหาปริมาณแสงสว่าง โดย  $Z$  เป็นมุมเชนิชของจุดที่พิจารณา  $Z_s$  เป็นมุมเชนิชของดวงอาทิตย์  $\chi$  เป็นมุมระหว่างจุดบนท้องฟ้าที่พิจารณา กับตำแหน่งดวงอาทิตย์  $\phi$  เป็นมุมอาซิมูตของจุดที่พิจารณา  $\gamma_s$  เป็นมุมอาซิมูตของดวงอาทิตย์

สมการของแบบจำลองดังกล่าว จะแสดงอยู่ในรูปปริมาณแสงสว่างจากส่วนต่างๆ ของท้องฟ้าสัมพัทธ์ (relative luminance,  $l_v = L / L_Z$ ) กล่าวคือ การกระจายของแสงสว่างธรรมชาติที่ส่วนต่างๆ ของท้องฟ้า เมื่อเทียบกับแสงสว่างที่กลางท้องฟ้า (zenith luminance) จะเป็นผลคูณของ 2 ฟังก์ชันคือ ฟังก์ชันแรกจะแสดงอิทธิพลของมุมเชนิชของจุดที่พิจารณา และฟังก์ชันที่สองจะแสดงอิทธิพลของระยะเชิงมุมของตำแหน่งดวงอาทิตย์กับจุดที่พิจารณา ซึ่งแบบจำลองแสงสว่างธรรมชาติจากส่วนต่างๆ ของท้องฟ้าดังกล่าว เกี่ยวนเป็นสมการได้ดังนี้

$$l_v = \frac{L}{L_Z} = \frac{F_1(Z)}{F_1(0)} \cdot \frac{F_2(\chi)}{F_2(Z_s)} \quad (3.17)$$

โดย

$$\begin{aligned} \frac{F_1(Z)}{F_1(0)} &= a_0 + a_1 Z + a_2 Z_s + a_3 Z^2 + a_4 Z_s^2 + a_5 Z^3 + a_6 Z_s^3 + a_7 Z Z_s \\ &+ a_8 Z^2 Z_s + a_9 Z Z_s^2 + a_{10} Z^2 Z_s^2 + a_{11} Z^3 Z_s^3 + a_{12} Z^4 Z_s^2 + a_{13} Z^2 Z_s^4 \\ &+ a_{14} Z^6 Z_s^3 + a_{15} Z^3 Z_s^6 \end{aligned} \quad (3.18)$$

และ

$$\frac{F_2(\chi)}{F_2(Z_s)} = \frac{b_0 + b_1\chi + b_2\chi^2 + b_3\chi^3}{b_0 + b_1Z_s + b_2Z_s^2 + b_3Z_s^3} \quad (3.19)$$

- เมื่อ  $L$  = ปริมาณแสงสว่างจากส่วนต่างๆ ของท้องฟ้า (sky element) ( $\text{KCd}/\text{m}^2$ )  
 $L_z$  = ปริมาณแสงสว่างธรรมชาติที่ตำแหน่งกลางท้องฟ้า (zenith luminance) ( $\text{KCd}/\text{m}^2$ )  
 $F_1$  = พงก์ชันซึ่งแสดงอิทธิพลของตำแหน่งของจุดบนท้องฟ้าที่จะหาความเข้มแสงสว่าง  
 $F_2$  = พงก์ชันซึ่งแสดงอิทธิพลของระยะเชิงมุมระหว่างตำแหน่งของจุดบนท้องฟ้า  
 ที่พิจารณา กับตำแหน่งดวงอาทิตย์  
 $Z$  = มุมเซนิธของตำแหน่งบนท้องฟ้า (sky element) (เรเดียน)  
 $Z_s$  = มุมเซนิธของตำแหน่งดวงอาทิตย์ (เรเดียน)  
 $\chi$  = ระยะเชิงมุมระหว่างตำแหน่งบนท้องฟ้า กับตำแหน่งดวงอาทิตย์ (เรเดียน)

ค่าสัมประสิทธิ์  $a, b$  ในแบบจำลองจะเปรียบสภาพท้องฟ้า โดยสามารถหาได้จากค่าสัมประสิทธิ์การสะท้อนของบรรยากาศและพื้นผิวโลก (Earth-atmospheric reflectivity,  $\rho'_{EA}$ ) ซึ่งคำนวณได้จากภาพถ่ายดาวเทียม ในการจำแนกสภาพท้องฟ้า โดยค่าสัมประสิทธิ์  $a_0, \dots, a_{15}$  และ  $b_0, b_1, b_2, b_3$  ตามค่า  $\rho'_{EA}$  ต่างๆ แสดงดังตารางที่ 3.10-3.12

ตารางที่ 3.10 และค่าสัมประสิทธิ์  $a_0, \dots, a_7$

$\rho'_{EA}$	$a_0$	$a_1$	$a_2$	$a_3$	$a_4$	$a_5$	$a_6$	$a_7$
$0.05 \leq \rho'_{EA} < 0.15$	1.00	0.15	0.06	-0.66	-0.09	0.29	0.03	-0.73
$0.15 \leq \rho'_{EA} < 0.25$	1.00	-0.07	0.40	-0.22	-1.11	0.06	0.65	-0.55
$0.25 \leq \rho'_{EA} < 0.35$	1.00	-0.46	0.06	-0.24	-0.22	0.28	0.13	0.90
$0.35 \leq \rho'_{EA}$	1.00	-1.91	0.40	1.47	-1.20	-0.44	0.71	4.86

ตารางที่ 3.11 แสดงค่าสัมประสิทธิ์  $a_8, \dots, a_{15}$

$\rho'_{EA}$	$a_8$	$a_9$	$a_{10}$	$a_{11}$	$a_{12}$	$a_{13}$	$a_{14}$	$a_{15}$
$0.05 \leq \rho'_{EA} < 0.15$	1.48	-0.59	2.54	1.24	-1.89	-1.44	0.26	0.07
$0.15 \leq \rho'_{EA} < 0.25$	1.06	-0.03	2.30	0.13	-0.97	-1.28	0.16	0.21
$0.25 \leq \rho'_{EA} < 0.35$	0.00	-0.54	1.43	1.70	-1.65	-0.69	0.21	-0.23
$0.35 \leq \rho'_{EA}$	-3.87	-3.43	5.25	-3.61	1.43	-0.02	-0.10	0.55

ตารางที่ 3.12 แสดงค่าสัมประสิทธิ์  $b_0, b_1, b_2, b_3$

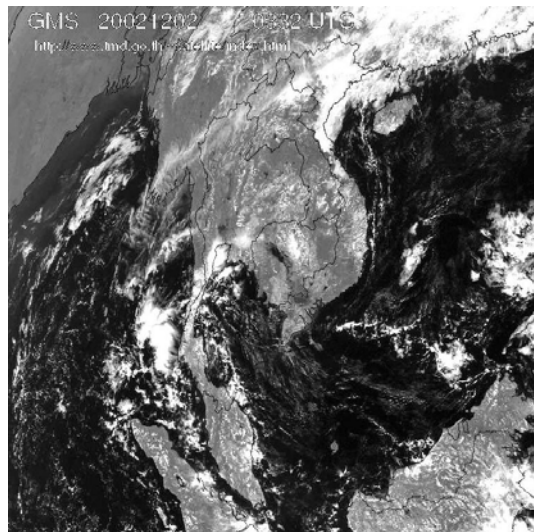
$\rho'_{EA}$	$b_0$	$b_1$	$b_2$	$b_3$
$0.05 \leq \rho'_{EA} < 0.15$	3.13	-3.09	1.15	-0.14
$0.15 \leq \rho'_{EA} < 0.25$	3.12	-2.98	1.01	-0.11
$0.25 \leq \rho'_{EA} < 0.35$	2.48	-1.95	0.54	-0.04
$0.35 \leq \rho'_{EA}$	2.36	-1.80	0.54	-0.05

ในงานวิจัยนี้ ผู้วิจัยจะทำการคำนวณปริมาณ diffuse illuminance บนพื้นเรียงด้วยวิธีการอินทิเกรตค่า sky luminance ที่ได้จากแบบจำลอง sky luminance model ดังกล่าว ในแบบค่ารายชั่วโมง เคลี่ยต่อเดือน ซึ่งเป็นค่าเฉลี่ยรายเดือนของแต่ละชั่วโมง ที่ช่วงเวลาระหว่าง 9.30 – 15.30 น.

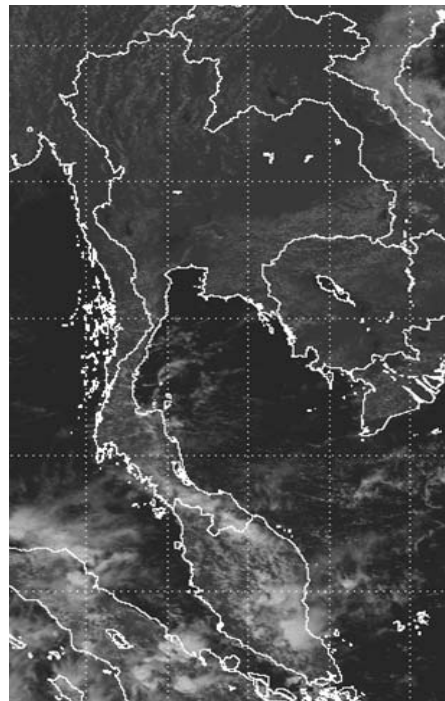
### 3.5.2 การหาสัมประสิทธิ์การสะท้อนของบรรยากาศและพื้นผิวโลกจากข้อมูลภาพถ่ายดาวเทียม

แบบจำลองแสงสว่างจากส่วนต่างๆ ของท้องฟ้า (sky luminance model) ที่เลือกมาใช้ในงานวิจัยนี้ ใช้ค่าสัมประสิทธิ์การสะท้อนของบรรยากาศและพื้นผิวโลก ( $\rho'_{EA}$ ) มาเป็นตัวแปรในการจำแนกสภาพท้องฟ้า โดย input ของแบบจำลอง จะประกอบด้วย ค่า  $\rho'_{EA}$  นุ่มนิ่มนิธิของดวงอาทิตย์ ( $Z_s$ ) นุ่มนิ่มนิธิของตำแหน่งบนท้องฟ้าที่พิจารณา ( $Z$ ) และระยะห่างระหว่างดวงอาทิตย์กับตำแหน่งที่พิจารณา ( $\chi$ ) ซึ่งค่าสัมประสิทธิ์การสะท้อนของบรรยากาศและพื้นผิวโลก สามารถคำนวณได้จากภาพถ่ายดาวเทียม ตามรายละเอียดดังต่อไปนี้

ผู้วิจัยได้นำข้อมูลจากดาวเทียมอุตุนิยมวิทยา มาใช้ในการคำนวณค่าสัมประสิทธิ์การสะท้อนของบรรยากาศและพื้นผิวโลก ข้อมูลดังกล่าวเป็นข้อมูลดิจิตอล 8 บิต จากช่องสัญญาณแสงสว่าง (0.55-0.90  $\mu\text{m}$ ) ของดาวเทียม ที่มีความละเอียดเชิงพื้นที่ ณ ตำแหน่งประเทศไทยประมาณ  $3 \times 3$  ตารางกิโลเมตร โดยข้อมูลที่สถานีรับสัญญาณรับได้จะอยู่ในรูปของ satellite projection กล่าวก็อ เมื่อแปลงเป็นสัญญาณภาพจะเห็นเป็นส่วนต่างๆ ของโลกดังตัวอย่างในรูปที่ 3.1 ดังนั้นจะต้องทำการแปลงให้อยู่ใน cylindrical projection ซึ่งระบบภาพจะแบร์โค้ดตรงกับระบบพื้นดิน จานวนจะทำการพิกัดของตำแหน่งบนภาพโดยการนำแผนที่มาซ่อนทับ โดยภาพที่ทำการ process แล้วจะมีลักษณะดังตัวอย่างในรูปที่ 3.42-3.43

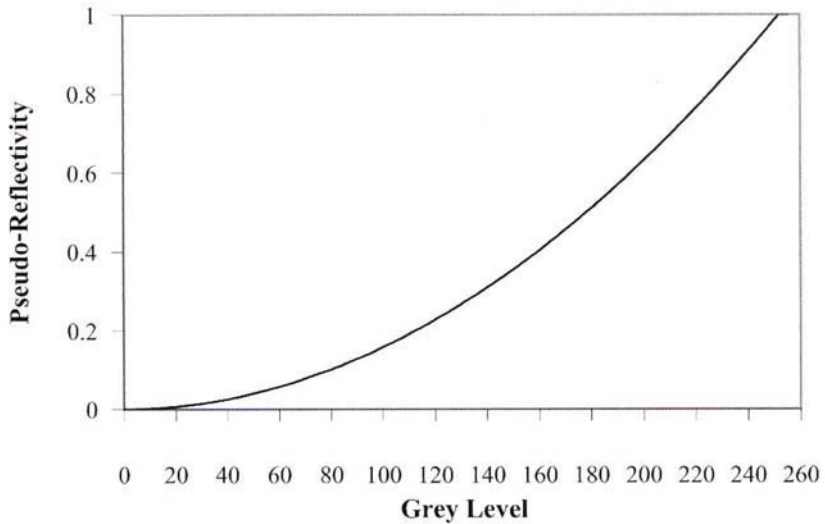


รูปที่ 3.42 ตัวอย่างภาพถ่ายดาวเทียมใน satellite projection



รูปที่ 3.43 ตัวอย่างภาพถ่ายดาวเทียมใน cylindrical projection ซึ่งหาพิกัดแล้ว

ข้อมูลของแต่ละ pixel ที่ประกอบเป็นภาพถ่ายดาวเทียมที่อยู่ในรูปของดิจิตอล 8 บิต ดังกล่าว จะแทนด้วยค่า grey level ซึ่งแปรค่าอยู่ระหว่าง 0 ถึง 255 ในการแปลงค่า grey level ให้เป็นค่า สัมประสิทธิ์การสะท้อนรังสีดวงอาทิตย์ กรณีดวงอาทิตย์ตกกระทบตั้งฉากกับหัววัด (Pseudo-reflectivity , $\rho'_{\text{pseu}}$ ) จะอาศัยตารางสอนเทียนของผู้ผลิตดาวเทียม (Marshall, 1993) โดยค่าสอนเทียน ดังกล่าวสามารถเปลี่ยนเป็นกราฟ ได้ดังรูปที่ 3.44



รูปที่ 3.44 แสดงความสัมพันธ์ระหว่างค่า grey level และ Pseudo-reflectivity ของข้อมูลภาพถ่ายดาวเทียม

เนื่องจากค่า  $\rho'_{\text{pseu}}$  เป็นสัมประสิทธิ์การสะท้อนรังสีดวงอาทิตย์ ที่คำนวณในกรณีรังสีดวงอาทิตย์ตกกระทบตั้งฉากกับพื้นผิวโลก แต่ในสภาพทั่วไปรังสีดวงอาทิตย์ตกกระทบพื้นผิวโลกด้วยมุมค่าต่างๆ ขึ้นกับตำแหน่งและเวลา ดังนั้นจึงต้องทำการแปลงค่า Pseudo-reflectivity ให้เป็นค่าสัมประสิทธิ์การสะท้อนรังสีดวงอาทิตย์  $\rho'_{\text{EA}}$  โดยการหารด้วย cosine ของมุมเชนิชของดวงอาทิตย์ ดังสมการ

$$\rho'_{\text{EA}} = \frac{\rho'_{\text{pseu}}}{\cos Z_s} \quad (3.20)$$

เมื่อ  $\rho'_{\text{EA}}$  = สัมประสิทธิ์การสะท้อนของบรรยากาศและพื้นผิวโลกในช่วงความยาวคลื่นของดาวเทียม ( $0.55-0.90 \mu\text{m}$ ) (-)

$\rho'_{\text{pseu}}$  = Pseudo-reflectivity (-)

$Z_s$  = มุมเชนิชของดวงอาทิตย์ (องศา)

ผู้วิจัยจะคำนวณค่า  $\rho'_{\text{EA}}$  ในแต่ละชั่วโมงครอบคลุมช่วงเวลา 9.30-15.30 น. จากนั้นจะนำค่าที่ได้มาทำการเฉลี่ยเป็นค่ารายชั่วโมงเฉลี่ยต่อเดือน แล้วจึงนำค่าที่ได้ไปใช้เลือกค่าสัมประสิทธิ์ตาม

แบบจำลอง sky luminance model เพื่อคำนวณปริมาณ luminance จากนั้นจึงทำการอินทิเกรตค่า luminance ตลอดทั่วทั้งทรงกลมท้องฟ้า เพื่อคำนวณหาค่า diffuse illuminance บนพื้นราบและบนพื้นเอียงต่อไป

### 3.5.3 Normalization Ratio (NR)

เนื่องจากแบบจำลองแสงสว่างธรรมชาติจากส่วนต่างๆ ของท้องฟ้า (sky luminance model) ที่นำมาใช้คำนวณปริมาณ diffuse illuminance บนพื้นเอียงนั้นอยู่ในรูปสัมพัทธ์ (relative luminance) ระหว่างค่าแสงสว่างที่ส่วนต่างๆ ของท้องฟ้าและค่าแสงสว่างที่กึ่งกลางท้องฟ้า ( $L / L_z$ ) ปริมาณ diffuse illuminance ที่คำนวณได้จากการอินทิเกรตค่า sky luminance จึงอยู่ในรูปสัมพัทธ์ เช่นกัน ดังนั้นค่า diffuse illuminance ที่คำนวณได้จึงต้องปรับแก้ให้เป็นค่าที่ถูกต้อง โดยการคูณด้วยเทอม normalization ratio (NR) ซึ่งเป็นอัตราส่วนระหว่างค่า diffuse illuminance บนพื้นราบทันค่าการอินทิเกรตข้อมูลที่ได้จากแบบจำลอง sky luminance ในกรณีพื้นราบ ( $\beta = 0$ ) ซึ่งแสดงได้ดังสมการ

$$NR = \frac{E_{dh}}{\iint_{\alpha\phi} l_v(\alpha, \phi) \sin \alpha \cos \alpha d\alpha d\phi} \quad (3.21)$$

เมื่อ  $E_{dh}$  = ค่าวัด diffuse illuminance บนพื้นราบ (klux)

$l_v(\alpha, \phi)$  = relative sky luminance model

ดังนั้นการจะหาปริมาณ diffuse illuminance บนพื้นเอียงด้วยวิธีการอินทิเกรตค่า sky luminance ที่ได้จากแบบจำลอง sky luminance model ดังกล่าว จึงต้องอาศัยค่าวัด diffuse illuminance บนพื้นราบ โดยค่า diffuse illuminance บนราบใดๆ สามารถคำนวณได้ดังสมการ

$$E_d = NR \times \sum_i l_{v,i} \cos \sigma_i \Omega_i \quad (3.22)$$

เมื่อ  $l_{v,i}$  = ค่า relative luminance ( $L / L_z$ ) ของ sky element ที่  $i$

$\sigma_i$  = มุมตกกระทบของบนพื้นเอียง sky element ที่  $i$

$\Omega_i$  = มุมตันที่รองรับพื้นที่ของ sky element ที่  $i$

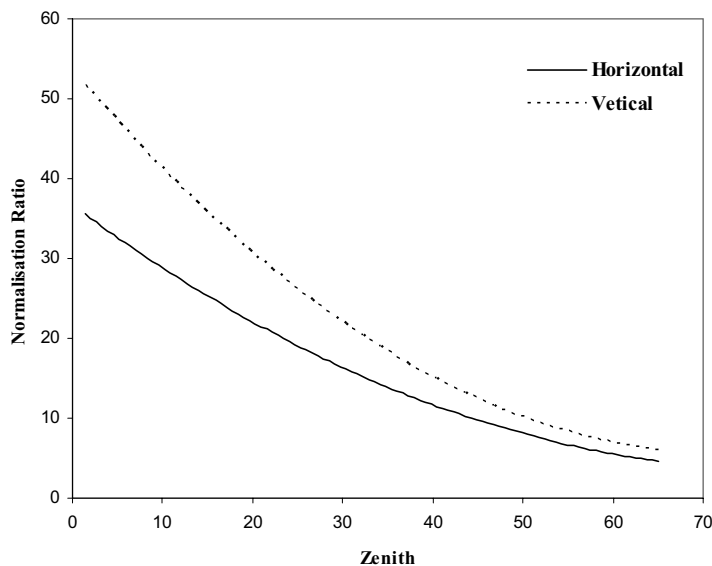
NR = normalization ratio

อย่างไรก็ตาม ผู้วิจัยจะไม่อาศัยข้อมูลวัดภาคพื้นดินในการคำนวณปริมาณ diffuse illuminance บนพื้นอุปกรณ์ กล่าวคือ จะคำนวณค่า diffuse illuminance บนพื้นอุปกรณ์ โดยใช้แบบจำลอง sky luminance model และใช้ข้อมูลดาวเทียมในการเลือกสัมประสิทธิ์ของแบบจำลอง จากนั้นจะนำค่า luminance ที่ได้จากแบบจำลอง มาทำการอินทิเกรตเพื่อหาค่า diffuse illuminance บนพื้นอุปกรณ์ โดยจากการคำนวณพบว่าเทอม NR จะขึ้นกับมุมเชนิชของดวงอาทิตย์ ( $Z_s$ ) และสภาพท้องฟ้า

### 3.5.4 การคำนวณค่า Normalization Ratio (NR)

ในการหาสมการเทอม normalization ratio (NR) ผู้วิจัยจะใช้ข้อมูลการวัด diffuse illuminance ปี 2005 ของ 4 สถานี คือ เชียงใหม่ อุบลราชธานี นครปฐมและสงขลา ร่วมกับข้อมูล diffuse illuminance ของสถานีนครปฐม ปี 2007 มาทำการวิเคราะห์ เพื่อหาสมการของ NR ดังกล่าว

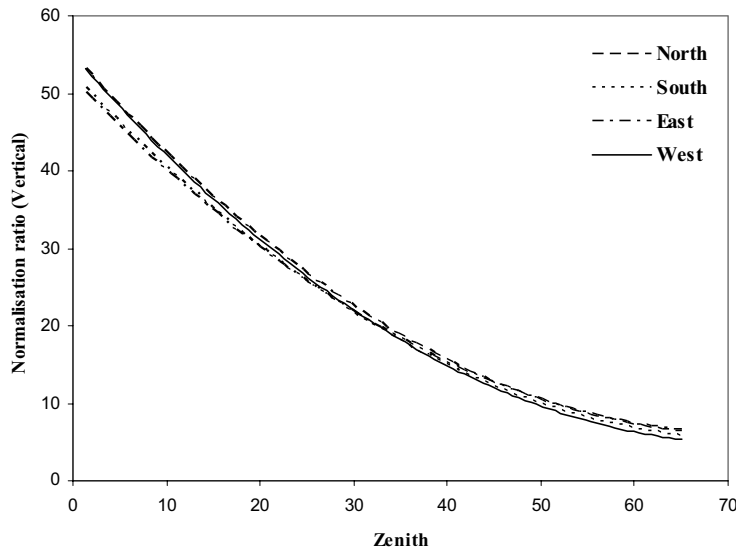
ในขั้นแรก ผู้วิจัยจะนำข้อมูล diffuse illuminance ปี 2005 ซึ่งประกอบด้วย ข้อมูล diffuse illuminance บนพื้นราบและบนระนาบแนวคิ่ง 4 ทิศ (เหนือ ใต้ ตะวันออก ตะวันตก) มาทำการเฉลี่ย เป็นค่ารายชั่วโมงเฉลี่ยต่อเดือน ครอบคลุมช่วงเวลา 9.30-15.30 น. จากนั้นจะนำค่าวดที่ได้ไปคำนวณหาค่า NR ที่แต่ละชั่วโมงนั้น ตามสมการ (3.21) ซึ่งค่า NR ที่คำนวณได้จะเป็นค่ารายชั่วโมงเฉลี่ยต่อเดือน เช่นกัน ผู้วิจัยได้แยกการคำนวณเทอม NR ออกเป็นกรณีพื้นราบ ( $NR_H$ ) และกรณีระนาบแนวคิ่ง ( $NR_V$ ) จากนั้นจะนำค่า NR ที่คำนวณได้ไปพลอตกราฟเทียบกับมุมเชนิช ( $Z_s$ ) ของดวงอาทิตย์ที่ชั่วโมงเดียวกัน โดยจะใช้ค่าเซนิชในวันที่ 15 เป็นตัวแทนของแต่ละเดือน ในการพลอต กราฟจะทำแยกกันระหว่างกรณีพื้นราบทับกรณีระนาบแนวคิ่ง สำหรับค่า NR กรณีระนาบแนวคิ่งนั้นจะนำทั้ง 4 ทิศมาพลอตรวมกัน จากนั้นจึงทำการหาความสัมพันธ์ของกราฟด้วยสมการ โพลิโนเมียลกำลังสองของ  $Z_s$  ผลการแปรค่าค่า NR กรณีพื้นราบและระนาบแนวคิ่ง เทียบกับ  $Z_s$  สามารถแสดงได้ดังรูปที่ 3.45



รูปที่ 3.45 แสดงการ fit กราฟค่า NR เทียบกับมุมเชนิชของดวงอาทิตย์ ในกรณีพื้นราบและระนาบแนวดิ่ง 90 องศา

ผลการ fit กราฟค่า NR ของกรณีพื้นราบและกรณีระนาบแนวดิ่ง พบร่วมค่า NR ของทั้ง 2 กรณี มีค่าไม่เท่ากัน โดยที่ค่ามุมเชนิชเดียวกัน ค่า NR ของกรณีระนาบเอียงแนวดิ่งจะมีค่ามากกว่าของกรณีพื้นราบ จากผลที่ได้แสดงว่า เทอม NR มีลักษณะขึ้นกับมุมเอียงของระนาบที่พิจารณาด้วยเช่นกัน

จากนั้นผู้วิจัย จะทำการวิเคราะห์เทอม NR กรณีระนาบแนวดิ่ง โดยแบ่งการศึกษาออกตามทิศทั้ง 4 ด้าน คือ ทิศเหนือ ทิศใต้ ทิศตะวันออกและทิศตะวันตก โดยทำการพลอตกราฟค่า NR ของระนาบแนวดิ่งแต่ละทิศเทียบกับค่ามุมเชนิช ( $Z_s$ ) และทำการฟิตกราฟ ผลการฟิตกราฟของค่า NR กรณีระนาบแนวดิ่งแต่ละทิศแสดงดังรูปที่ 3.46



รูปที่ 3.46 แสดงการ fit กราฟค่า NR กรณีระนาบแนวดิ่ง ทิศเหนือ ทิศใต้ ทิศตะวันออก และทิศตะวันตก เทียบกับกับมุมเชนิชดวงอาทิตย์

จากการ fit กราฟจะเห็นว่า ค่า NR ของกรณีระนาบแนวดิ่งในทิศต่างๆ มีลักษณะการแปรค่าที่คล้ายคลึงกัน แสดงว่าค่า NR จะไม่ขึ้นกับทิศของระนาบเอียง แต่จะขึ้นกับมุมเอียงของพื้นเอียง ดังนั้นสมการเทอม NR ที่ได้จะเป็นพงกชันของมุมเชนิชดวงอาทิตย์ ( $Z_s$ ) และมุมเอียงของระนาบที่พิจารณา ผู้วิจัยจะดำเนินการหาสมการเทอม NR โดยเริ่มจากการหาสมการของเทอม NR ในกรณีพื้นราบก่อน โดยใช้ข้อมูลวัด diffuse illuminance บนพื้นราบ ปี 2005 ของทั้ง 4 สถานี จากนั้นผู้วิจัยจะใช้ข้อมูลของสถานีนครปฐม ปี 2007 ซึ่งประกอบด้วยข้อมูล diffuse illuminance บนพื้นราบ บนระนาบแนวดิ่งและบนระนาบเอียง 45 องศา มาหาความสัมพันธ์ระหว่างค่า NR ของกรณีพื้นราบกับของกรณีพื้นเอียงที่มุ่งต่างๆ

การหาเทอม NR ของการคำนวณกรณีพื้นราบ จากข้อมูล ปี 2005 นั้นจะเริ่มจาก นำค่า NR ที่คำนวณได้ในแต่ละชั่วโมง มาแบ่งเป็นกลุ่ม ตามค่าสัมประสิทธิ์การสะท้อนของบรรยากาศและพื้นผิวโลก ( $\rho'_{EA}$ ) รายชั่วโมงแล้วต่อเดือน ตามการแบ่งกลุ่มลักษณะเดียวกับในแบบจำลอง sky luminance model โดยแบ่งเป็น 4 กลุ่ม ดังนี้คือ  $0.05 \leq \rho'_{EA} < 0.15$ ,  $0.15 \leq \rho'_{EA} < 0.25$ ,  $0.25 \leq \rho'_{EA} < 0.35$  และ  $0.35 \leq \rho'_{EA}$  จากนั้นจะนำค่า NR ในแต่ละกลุ่มมาหาความสัมพันธ์กับค่ามุมเชนิชของดวงอาทิตย์ ( $Z_s$ ) ด้วยการ regression โดยได้ความสัมพันธ์ดังนี้

$$NR_H = c_1 + c_2 Z_s + c_3 Z_s^2 \quad (3.23)$$

โดย  $c_1, c_2, c_3$  จะเป็นสัมประสิทธิ์ที่ขึ้นกับค่า  $\rho'_{EA}$

จากนั้นผู้วิจัยจะใช้ข้อมูล diffuse illuminance บนพื้นราบ บนระนาบแนวตั้ง และบนระนาบเอียง 45 องศา ของสถานีกรปฐม ปี 2007 มาทำการหาความสัมพันธ์ของค่า NR ระหว่างกรณีพื้นราบกับกรณีพื้นเอียง โดยเริ่มจากคำนวณค่า NR จากข้อมูลบนพื้นราบ บนระนาบแนวตั้ง และบนระนาบเอียง 45 องศา ตามลำดับ จากนั้นจึงนำค่า NR ที่คำนวณได้กรณีพื้นเอียง 45 องศาและระนาบแนวตั้งดังกล่าว มาทำการหาความสัมพันธ์กับ NR กรณีพื้นราบ โดยวิธีการ regression ความสัมพันธ์ระหว่าง NR กรณีพื้นราบกับกรณีพื้นเอียง สามารถแสดงได้ดังสมการ

$$NR_\beta = NR_H (0.586\beta - 0.154\beta^2 - 0.265\beta Z_s + 1) \quad (3.24)$$

เทอมในวงเล็บทางขวาของสมการ (3.24) จะเป็นเทอมแก้ของการคำนวณในกรณีระนาบเอียงต่างๆ โดยกรณี  $\beta = 0$  สมการ (3.24) จะลดรูปเป็น

$$NR_\beta = NR_H \quad (3.25)$$

ดังนั้นจากสมการ (3.23) และ (3.24) สมการสำหรับเทอม normalization ratio (NR) สามารถเขียนได้ดังนี้

$$NR = (c_1 + c_2 Z_s + c_3 Z_s^2) \times (0.586\beta - 0.154\beta^2 - 0.265\beta Z_s + 1) \quad (3.26)$$

โดยค่าสัมประสิทธิ์  $c_1, c_2, c_3$  ที่แบ่งตามกลุ่มของค่า  $\rho'_{EA}$  แสดงดังตารางที่ 3.13

ตารางที่ 3.13 แสดงค่าสัมประสิทธิ์  $c_1, c_2, c_3$  ของสมการเทอม NR ตามกลุ่มของค่า  $\rho'_{EA}$

$\rho'_{EA}$	$c_1$	$c_2$	$c_3$	$R^2$
$0.05 \leq \rho'_{EA} > 0.15$	39.12	-67.81	34.95	0.99
$0.15 \leq \rho'_{EA} > 0.25$	30.25	-37.91	12.71	0.96
$0.25 \leq \rho'_{EA} > 0.35$	35.49	-43.64	13.74	0.95
$0.35 \leq \rho'_{EA}$	52.03	-93.68	52.00	0.97

### 3.5.5 การคำนวณ diffuse illuminance บนพื้นເອີ້ນໂດຍວິທີກາຣອິນທິເກຣຕໍ ສະຫຼຸບຜົນລັບສະຫຼຸບຜົນ

จากสมการ (3.22) และเทอม NR ที่พัฒนาขึ้น (สมการ 3.26) ปริมาณ diffuse illuminance บนระนาบใดๆ สามารถคำนวณได้ โดยการอินทิเกรตค่า sky luminance ที่ได้จากแบบจำลอง sky luminance model ดังสมการ

$$E_{d\beta} = \left[ \sum_i l_{v,i} \cos \sigma_i \Omega_i \right] \times [(c_1 Z^2 + c_2 Z + c_3) \times (0.586\beta - 0.154\beta^2 - 0.265\beta Z + 1)] \quad (3.27)$$

สำหรับการทดสอบผลจากการคำนวณ diffuse illuminance ตามสมการ (3.27) ผู้วิจัยจะใช้ ข้อมูลการวัด diffuse illuminance รายชั่วโมงเฉลี่ยต่อเดือนที่วัดได้ในปี 2007 ของ 3 สถานี คือ เชียงใหม่ อุบลราชธานี และสงขลา มาใช้ทำการเปรียบเทียบกับผลการคำนวณดังกล่าว โดยจะทำการทดสอบผลการคำนวณ diffuse illuminance ในกรณีพื้นราบ และกรณีพื้นເອີ້ນ ซึ่งประกอบด้วยระนาบເອີ້ນแนวตั้ง 4 ทิศกึ่ง เหนือ ใต้ ตะวันออก ตะวันตก และระนาบເອີ້ນ 45 องศาทิศใต้ ผลที่ได้จะแสดงอยู่ในรูปเปอร์เซ็นของค่า MBE และ RMSE ดังต่อไปนี้

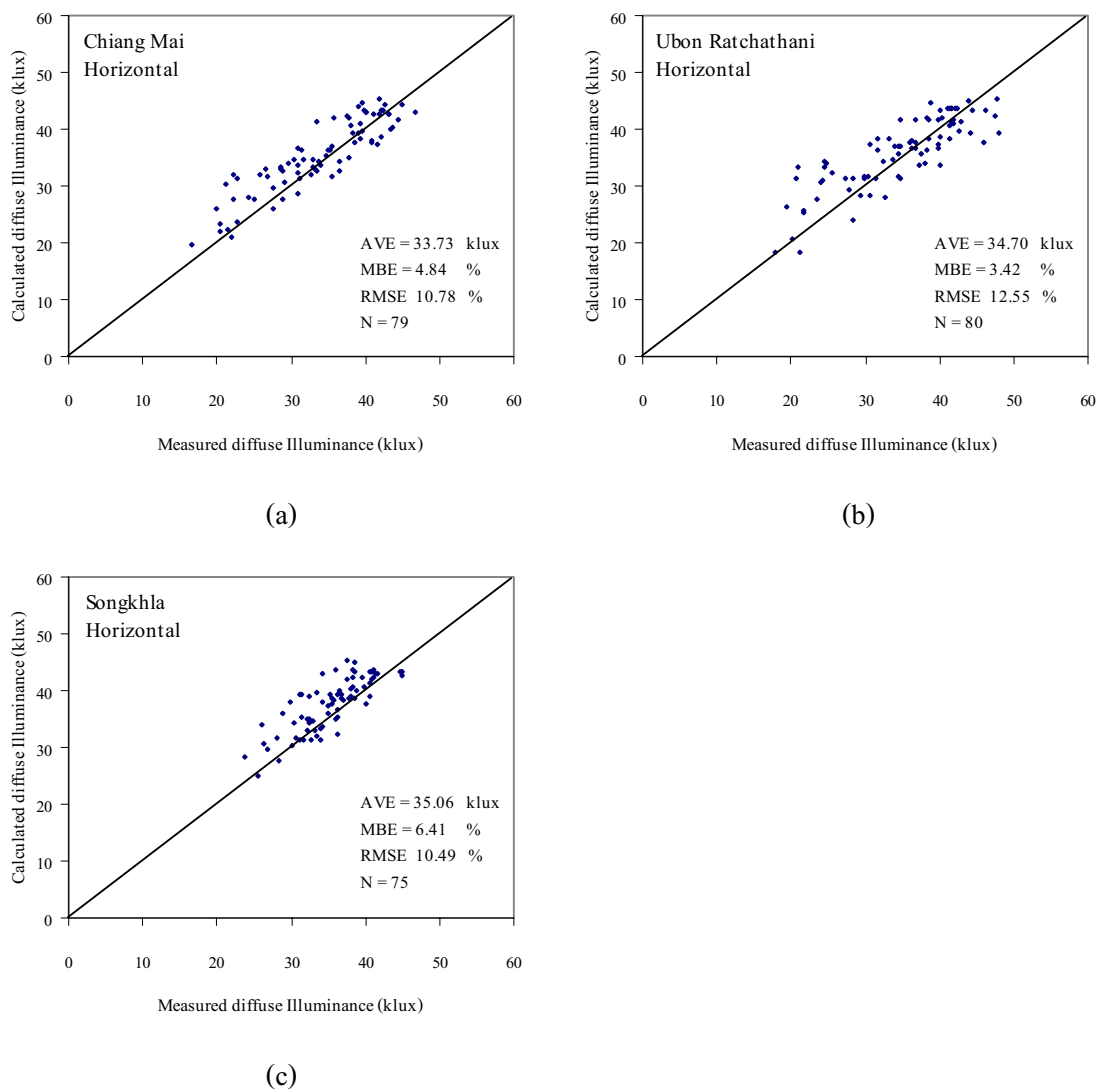
#### ก) การคำนวณกรณีพื้นราบ (horizontal)

ผลการเปรียบเทียบระหว่างค่า diffuse illuminance บนพื้นราบที่ได้จากการคำนวณกับค่าจากการวัดปี 2007 ของทั้ง 3 สถานีแสดงดังตารางที่ 3.14

ตารางที่ 3.14 แสดงค่าความแตกต่างระหว่างค่า diffuse illuminance บนพื้นราบจากการคำนวณกับค่าจากการวัด ของทั้ง 4 สถานี

สถานี	MBE (%)	RMSE (%)	AVE (klux)	N
เชียงใหม่	4.84	10.78	33.73	80
อุบลราชธานี	3.42	12.55	34.70	81
สงขลา	6.41	10.49	35.28	75

ผลการเปรียบเทียบค่า diffuse illuminance บนพื้นราบ ระหว่างค่าที่ได้จากการคำนวณด้วยวิธีการอินทิเกรตกับค่าที่ได้จากการวัด ในปี 2007 ของสถานีเชียงใหม่ อุบลราชธานี และสงขลา พบว่าผลที่ได้มีความสอดคล้องกันดี มีค่าความคลาดเคลื่อนในรูป RMSE อยู่ในช่วง 10-12% โดยผลการคำนวณที่สถานีสงขลาจะมีค่า RMSE ต่ำสุด และเมื่อพิจารณาค่า MBE พบว่าค่า diffuse illuminance จากการคำนวณจะมีค่าสูงกว่าค่าที่วัด ได้จริงในทุกสถานี กราฟผลการเปรียบเทียบของทั้ง 3 สถานี แสดงดังรูปที่ 3.47



รูปที่ 3.47 แสดงกราฟเปรียบเทียบค่า diffuse illuminance บนพื้นราบจากการคำนวณโดยการอินทิเกรตกับค่าวัดจริงของสถานี (a) เชียงใหม่, (b) อุบลราชธานี และ (c) สงขลา

### ข) การคำนวณกรณีพื้นเอียง (inclined surface)

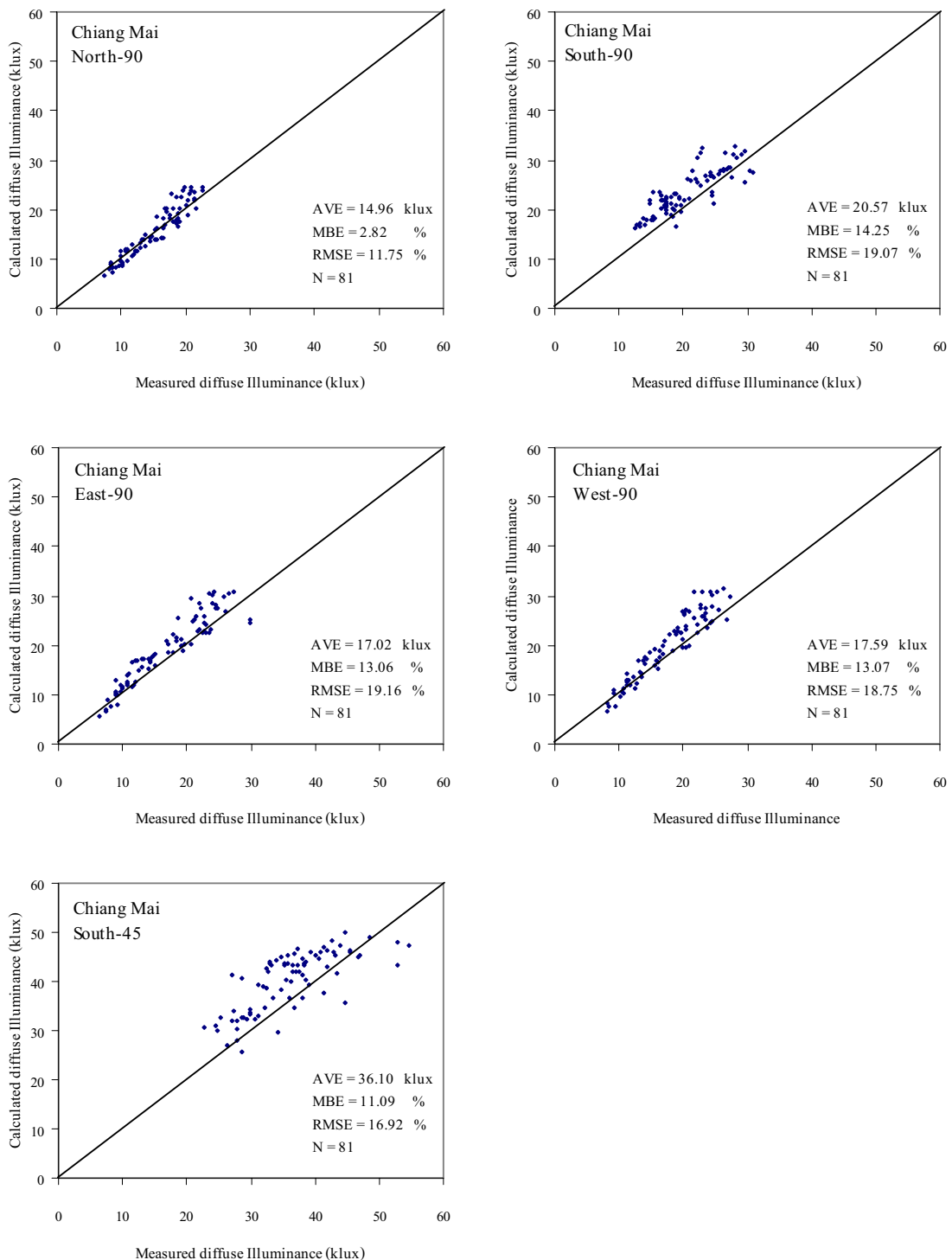
#### 1) สถานีเชียงใหม่

ผลการเปรียบเทียบระหว่างค่า diffuse illuminance บนพื้นเอียงที่ได้จากการวัดกับค่าจาก การคำนวณ โดยวิธีอินทิเกรต luminance ของสถานีเชียงใหม่ ปี 2007 และดังตารางที่ 3.15

ตารางที่ 3.15 และค่าความแตกต่างระหว่างค่า diffuse illuminance บนพื้นเอียงจากการคำนวณกับค่า การวัดของสถานีเชียงใหม่ ปี 2007

เชียงใหม่	MBE (%)	RMSE (%)	AVE (klux)	N
North-90	2.82	11.75	14.96	81
South-90	14.25	19.07	20.57	81
East-90	13.06	19.16	17.02	81
West-90	13.07	18.75	17.59	81
South-45	11.09	16.92	36.10	81

จากผลการเปรียบเทียบค่า diffuse illuminance บนพื้นเอียง ที่ได้จากการคำนวณด้วย วิธีการอินทิเกรตกับค่าที่วัดจริง ในปี 2007 ที่สถานีเชียงใหม่ พบว่าผลที่ได้มีความสอดคล้องกันดี โดยมี ค่า RMSE อยู่ในช่วง 11-19% โดยผลการคำนวณในกรณีระนาบแนวตั้งทิศเหนือจะมีค่าความ คลาดเคลื่อนต่ำสุด เมื่อพิจารณาจากค่า MBE พบว่า ผลการคำนวณทั้งหมดจะมีลักษณะที่สูงกว่าค่าวัด จริง กราฟผลการเปรียบเทียบระหว่างค่าจากการวัดกับค่าจากการคำนวณบนระนาบเอียงกรณีต่างๆ และดังรูปที่ 3.48



รูปที่ 3.48 แสดงกราฟเปรียบเทียบค่า diffuse illuminance บนพื้นที่อย่างจากการคำนวณกับค่าจากการวัด

ของสถานีเชียงใหม่

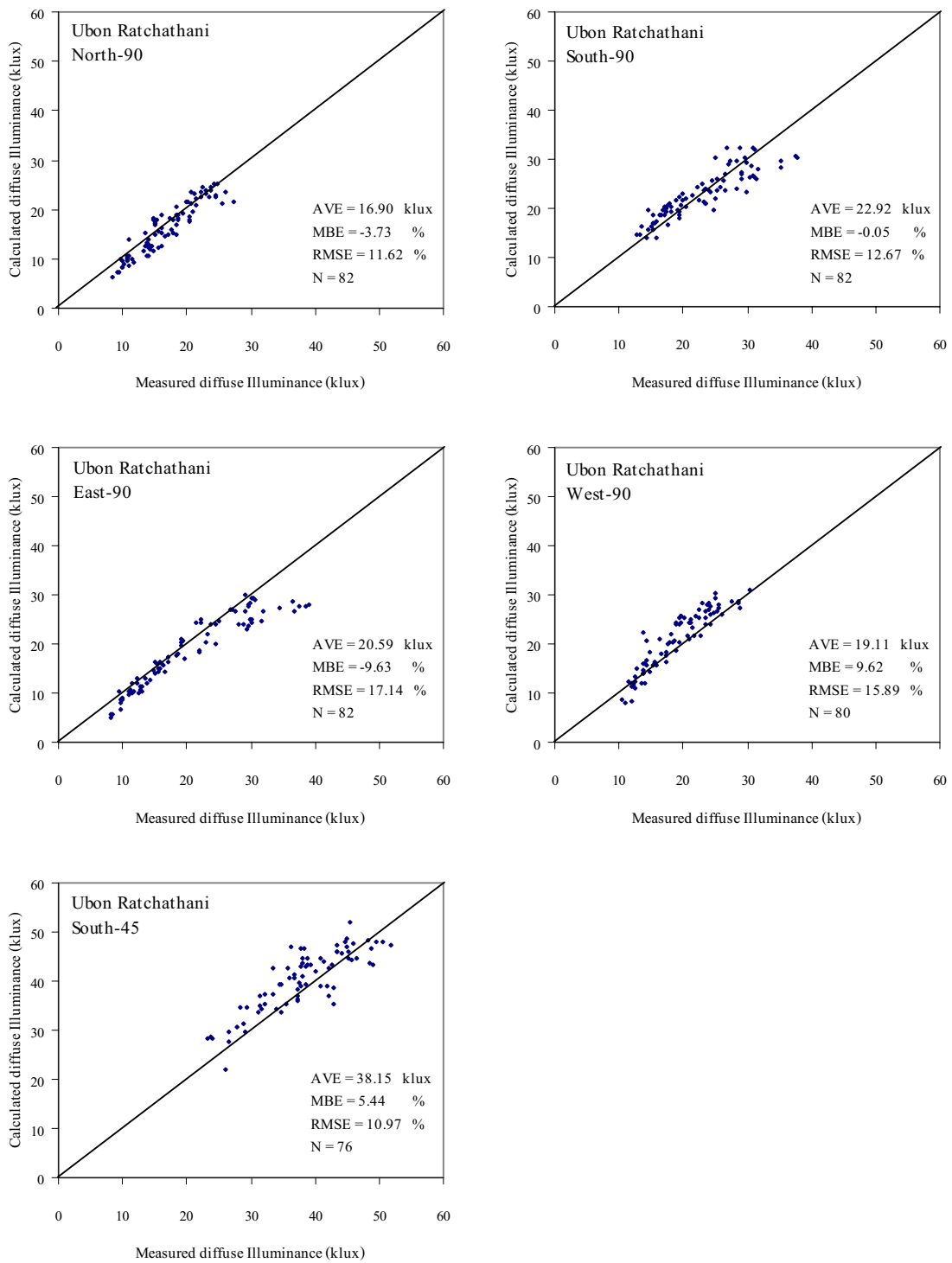
## 2) สถานีอุบลราชธานี

ผลการเปรียบเทียบระหว่างค่า diffuse illuminance บนพื้นอิฐกับค่าที่ได้จากการคำนวณด้วยวิธีอินทิเกรตกับค่าจากการวัดของสถานีอุบลราชธานี ปี 2007 แสดงดังตารางที่ 3.16

ตารางที่ 3.16 แสดงค่าความแตกต่างระหว่างค่า diffuse illuminance บนพื้นอิฐกับค่าจากการวัดของสถานีอุบลราชธานี ปี 2007

อุบลราชธานี	MBE (%)	RMSE (%)	AVE (klux)	N
North-90	-3.73	11.62	16.90	82
South-90	-0.05	12.67	22.92	82
East-90	-9.63	17.14	20.59	82
West-90	9.62	15.89	19.11	80
South-45	5.44	10.97	38.15	76

จากผลการเปรียบเทียบพบว่า ความแตกต่างระหว่างค่า diffuse illuminance ที่ได้จากการคำนวณกับค่าวัดจริง ที่สถานีอุบลราชธานี ปี 2007 จะมีค่า RMSE อยู่ในช่วง 10-17% โดยผลการคำนวณที่ดีที่สุดพบในกรณีระนาบเอียง 45 องศาทิศใต้ มีค่า RMSE เท่ากับ 10.97% เมื่อพิจารณาที่ค่า MBE พบร่วงการณ์ของการคำนวณที่ระนาบแนวดิ่งทิศเหนือ ทิศใต้และทิศตะวันออก ค่า diffuse illuminance จากการคำนวณจะมีค่าต่ำกว่าค่าที่วัดได้จริง ส่วนในกรณีระนาบแนวดิ่งทิศตะวันตกและระนาบเอียง 45 องศาทิศใต้ พบร่วงผลการคำนวณจะมีค่าสูงกว่าค่าที่วัดได้จริง กราฟแสดงการเปรียบเทียบระหว่างค่า diffuse illuminance จากการวัดกับค่าที่ได้จากการคำนวณ บนระนาบเอียงกรณีต่างๆ แสดงดังรูปที่ 3.49



รูปที่ 3.49 แสดงกราฟเปรียบเทียบค่า diffuse illuminance บนพื้นที่อย่างจากการคำนวณกับค่าจากการวัดของสถานีอุบราชธานี

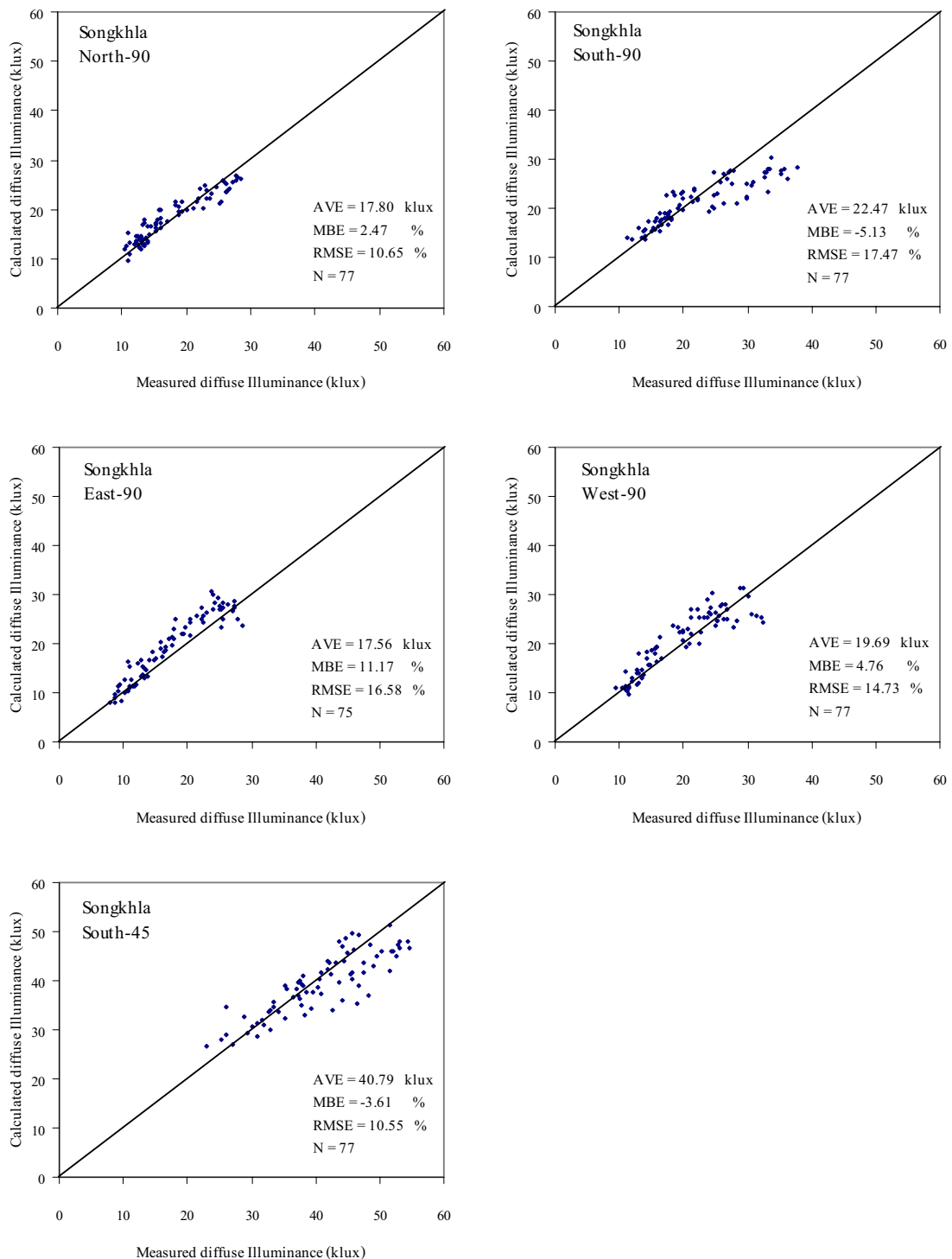
### 3) สถานีสังขลา

ผลการเปรียบเทียบระหว่างค่า diffuse illuminance บนพื้นอิฐที่ได้จากการคำนวณกับค่าจากการวัดของสถานีสังขลา ปี 2007 แสดงดังตารางที่ 3.17

ตารางที่ 3.17 แสดงค่าความแตกต่างระหว่างค่า diffuse illuminance บนพื้นอิฐจากการคำนวณกับค่าจากการวัดของสถานีสังขลา ปี 2007

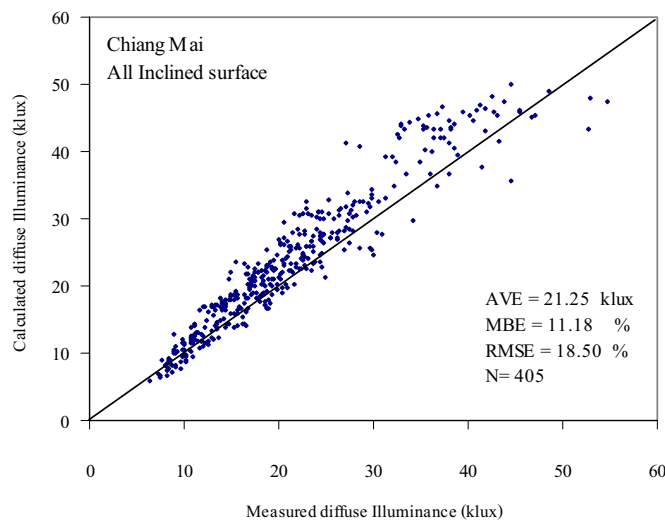
สังขลา	MBE (%)	RMSE (%)	AVE (klux)	N
North-90	2.47	10.65	17.80	77
South-90	-5.13	17.47	22.47	77
East-90	11.17	16.58	17.56	75
West-90	4.76	14.73	19.69	77
South-45	-3.61	10.55	40.79	77

ผลการคำนวณ diffuse illuminance บนพื้นอิฐโดยวิธีการอินทิเกรต sky luminance เมื่อเปรียบเทียบกับข้อมูลการวัด ที่สถานีสังขลา พบว่ามีค่าความคลาดเคลื่อนอยู่ในช่วง 10-17% โดยผลการคำนวณกรณีระนาบเอียง 45 องศา จะมีค่า RMSE ต่ำที่สุด เมื่อพิจารณาค่า MBE พบว่าผลการคำนวณในกรณีระนาบแนวตั้งทิศใต้และระนาบเอียง 45 องศาทิศใต้ จะมีค่าต่ำกว่าค่าวัดจริง ส่วนกรณีระนาบแนวตั้งทิศเหนือ ตะวันออกและตะวันตก ผลการคำนวณจะสูงกว่าค่าวัดจริง กราฟแสดงการเปรียบเทียบความแตกต่างระหว่างค่าที่วัดกับค่าการคำนวณบนระนาบเอียงกรณีต่างๆ แสดงดังรูปที่ 3.50

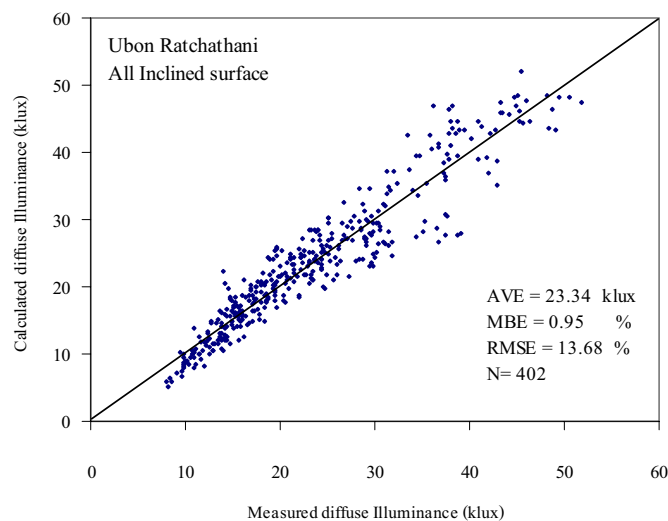


รูปที่ 3.50 แสดงกราฟเปรียบเทียบค่า diffuse illuminance บนพื้นที่อย่างจากการคำนวณกับค่าจากการวัดที่สถานีสงขลา

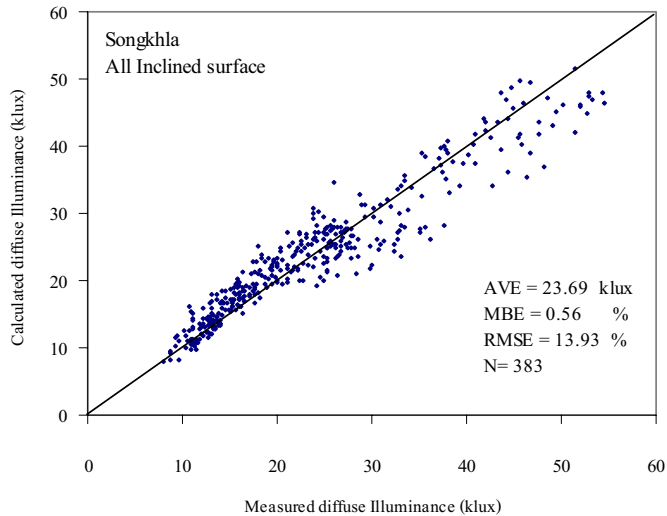
ผลการเปรียบเทียบโดยรวมของการคำนวณ diffuse illuminance บนพื้นที่อุบลราชธานีต่างๆ  
ของแต่ละสถานี แสดงดังรูปที่ 3.51-3.53



รูปที่ 3.51 กราฟแสดงการเปรียบเทียบค่า diffuse illuminance บนพื้นที่อุบลราชธานี  
จากการคำนวณกับค่าจากการวัด ที่สถานีเชียงใหม่

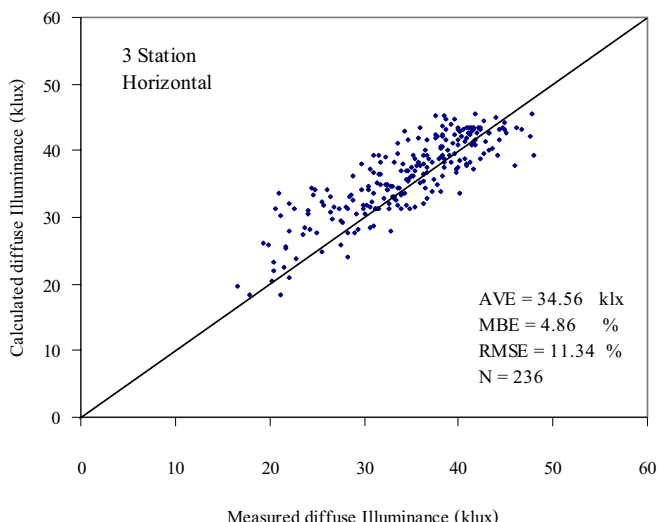


รูปที่ 3.52 กราฟแสดงการเปรียบเทียบค่า diffuse illuminance บนพื้นที่อุบลราชธานี  
จากการคำนวณกับค่าจากการวัด ที่สถานีอุบลราชธานี

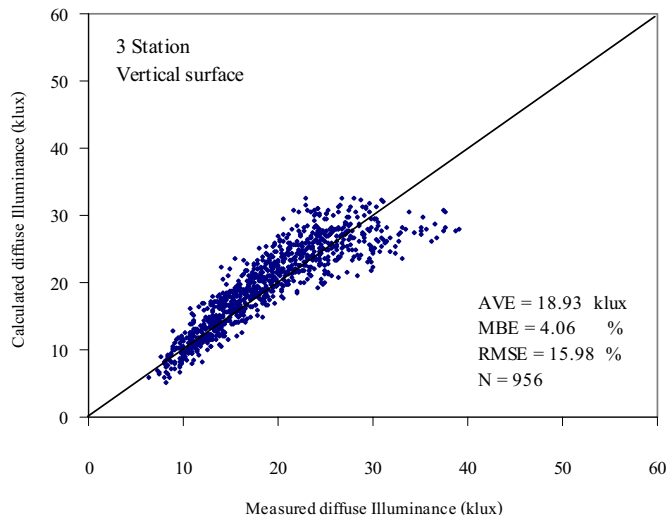


รูปที่ 3.53 กราฟแสดงการเปรียบเทียบค่า diffuse illuminance บนพื้นผิวเอียงทั้งหมด  
จากการคำนวณกับค่าจากการวัด ที่สถานีสงขลา

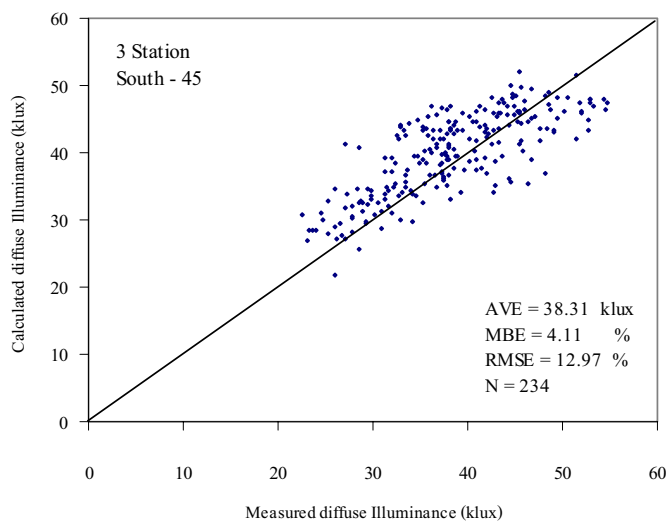
สำหรับผลการเปรียบเทียบโดยรวม จากข้อมูลการวัดทั้ง 3 สถานี ในการคำนวณ diffuse illuminance กรณีบนพื้นราบ ระนาบแนวตั้ง และระนาบเอียง 45 องศา แสดงดังรูปที่ 3.54-3.56



รูปที่ 3.54 กราฟแสดงการเปรียบเทียบค่า diffuse illuminance บนพื้นราบจากการคำนวณ  
กับค่าจากการวัดของทั้ง 3 สถานี



รูปที่ 3.55 กราฟแสดงการเปรียบเทียบค่า diffuse illuminance บนระนาบแนวตั้ง จากการคำนวณกับค่าจากการวัดของทั้ง 3 สถานี



รูปที่ 3.56 กราฟแสดงการเปรียบเทียบค่า diffuse illuminance บนระนาบเอียง 45 องศาทิศใต้ จากการคำนวณกับค่าจากการวัดของทั้ง 3 สถานี

### 3.6 ลักษณะทางสังคมของแสงสว่างธรรมชาติในภูมิภาคต่างๆ ในประเทศไทย

เนื่องจากปริมาณแสงสว่างธรรมชาติมีแหล่งกำเนิดมาจากดวงอาทิตย์เมื่อผ่านบรรยากาศลงมาบ้างพื้นผิวโลกจะถูกลดทอนโดยองค์ประกอบของบรรยากาศที่สำคัญคือ อิทธิพลของเมฆ ซึ่งมีการเปลี่ยนแปลงในรอบวันและตามฤดูกาล ซึ่งไม่สามารถทำนายได้อย่างเที่ยงตรง อย่างไรก็ตามการศึกษาโดยใช้ข้อมูลข้อนหลังจำนวนมากๆ สามารถนำมาใช้เป็นตัวแทนในการทำนายแนวโน้มในเชิงสถิติได้ยกตัวอย่างกรณีในช่วงฤดูฝน จะมีโอกาสที่ห้องฟ้าปกคลุมด้วยเมฆมากกว่าในช่วงฤดูแล้งเป็นต้น ดังนั้น การนำข้อมูลปริมาณแสงสว่างธรรมชาติซึ่งขึ้นกับสภาพห้องฟ้าและภูมิอากาศมาใช้งาน จึงไม่สามารถเลือกเอาวันใดวันหนึ่งมาใช้งานได้ โดยทั่วไปจำเป็นต้องรู้การเปลี่ยนแปลงความเข้มแสงสว่างธรรมชาติ ตามเวลาในรอบวันและการเปลี่ยนแปลงตามฤดูกาลในรอบปีระยะยาว

ผู้วิจัยได้นำข้อมูลความเข้มแสงสว่างธรรมชาติที่วัดได้จากสถานีเชียงใหม่ อุบลราชธานี นครปฐม และสงขลา มาทำการวิเคราะห์ตามรายละเอียดดังนี้

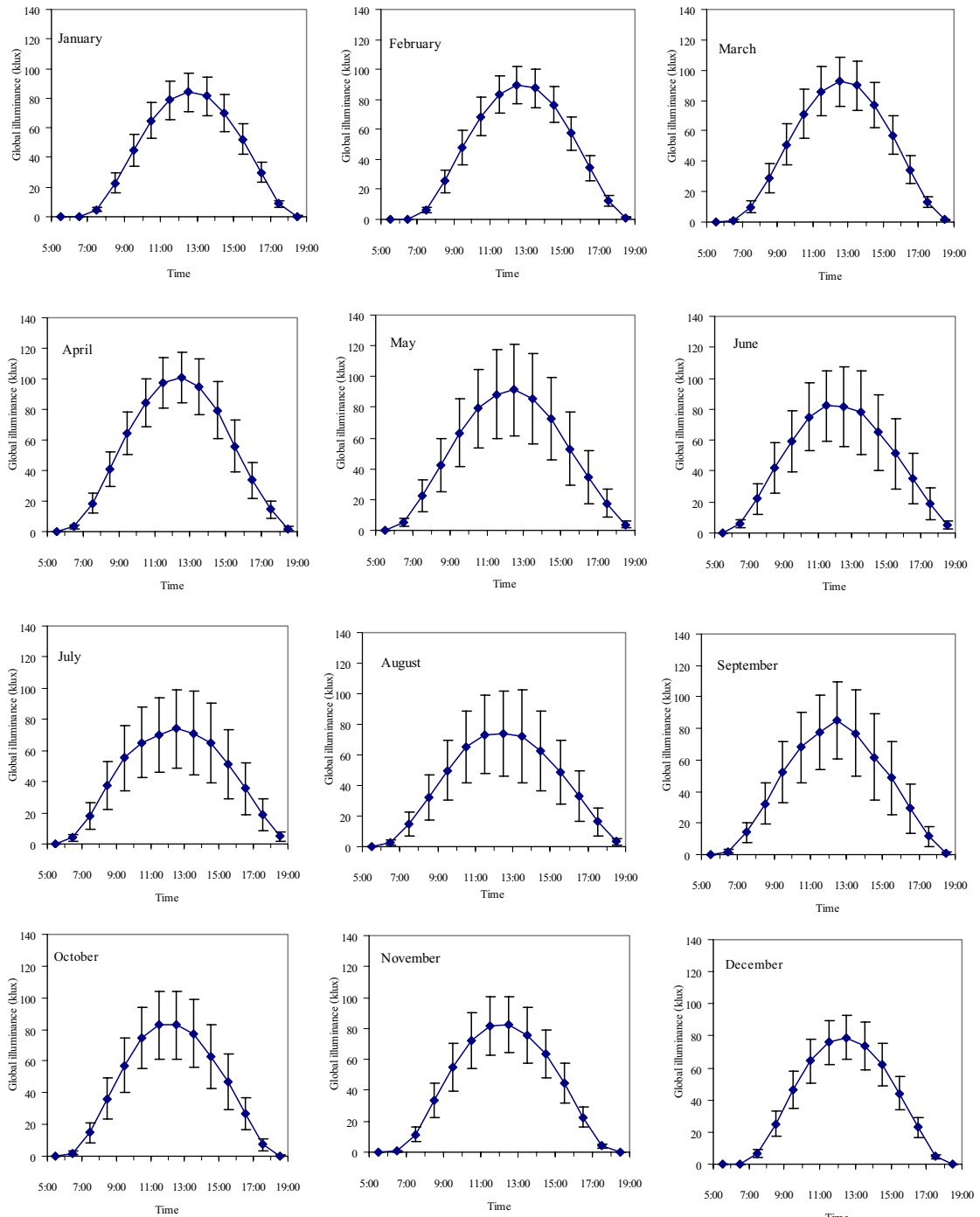
#### 3.6.1 การเปลี่ยนแปลงความเข้มแสงสว่างธรรมชาติตามเวลาในรอบวัน

##### 3.6.1.1 การแปรค่าตามเวลาในรอบวันของ global illuminance

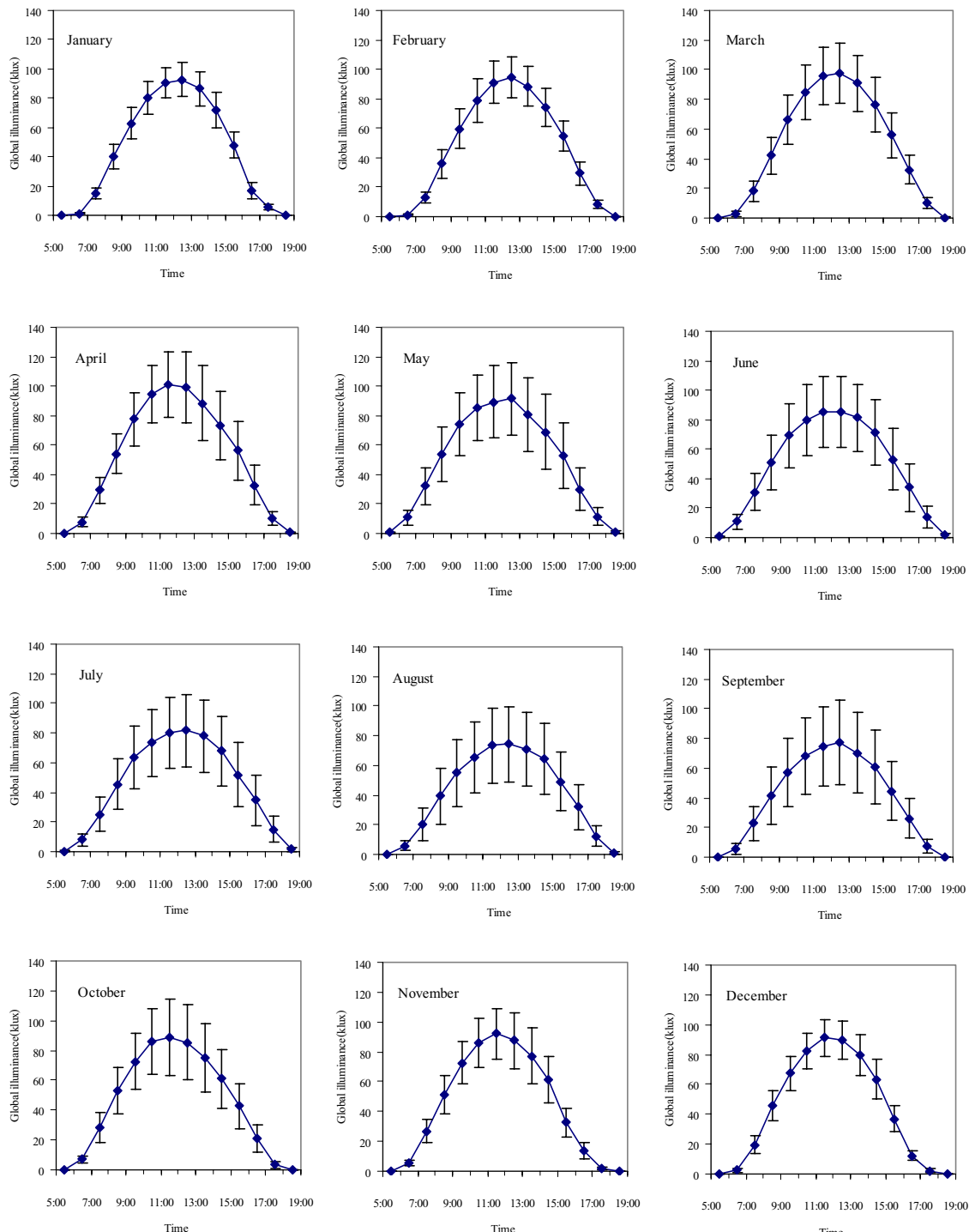
เนื่องจากข้อมูล global illuminance ของชั่วโมงที่กำหนด เช่น ที่เวลา 10.00 น. ของวันหนึ่ง โดยทั่วไปจะไม่เท่ากับ global illuminance ที่ชั่วโมงเดียวกันของวันถัดไป ทั้งนี้ เพราะสภาพอากาศของแต่ละวัน ไม่เหมือนกัน ในการใช้งานข้อมูล global illuminance ที่แต่ละเวลา ผู้ใช้มักต้องการค่าเฉลี่ยตลอดทั้งเดือนของชั่วโมงนั้นๆ ดังนั้นผู้วิจัยจึงได้ดำเนินการคำนวณหาค่าเฉลี่ยดังกล่าวแล้วนำมาเขียนกราฟกับเวลาในรอบวัน ผลที่ได้แสดงไว้ในรูปที่ 3.57-3.60 โดยจากราฟของสถานีเชียงใหม่จะเห็นว่าค่า global illuminance จะเพิ่มขึ้นจากช่วงเช้าจนถึงค่ำสูงสุดในตอนเที่ยงวันและจะค่อยๆ ลดลงจนถึงเย็น โดยมีลักษณะการแปรค่าในช่วงเช้าและช่วงบ่ายค่อนข้างสมมาตร เมื่อพิจารณาค่าความเข้มแสงสว่างของแต่ละเดือนพบว่าค่าสูงสุดจะแตกต่างกันตามเดือนต่างๆ ในรอบปี โดยเดือนกุมภาพันธ์จะถึงเดือนพฤษภาคมซึ่งเป็นช่วงฤดูแล้งในประเทศไทยจะมีค่าตอบเที่ยงวันอยู่ที่ระดับสูง สำหรับเดือนอื่นๆ จะมีค่าที่ต่ำกว่า ซึ่งค่าสูงสุดในแต่ละเดือนจะแปรค่าอยู่ในช่วง 75-105 klux

สำหรับสถานีอุบลราชธานีจะมีการแปรค่า global illuminance ที่คล้ายกับค่าที่วัดได้จากสถานีเชียงใหม่ กล่าวคือค่าสูงสุดจะแตกต่างไปตามเดือนต่างๆ ในรอบปี และเดือนกรกฎาคมถึงเดือนพฤษภาคมจะมีค่าตอบเที่ยงวันสูงสุด แปรค่าอยู่ในช่วง 80-105 klux สำหรับสถานีนครปฐมค่า global illuminance ที่วัดได้จะแปรค่าอยู่ระหว่าง 70-105 klux และของสถานีสงขลาจะแปรค่าอยู่ในช่วง

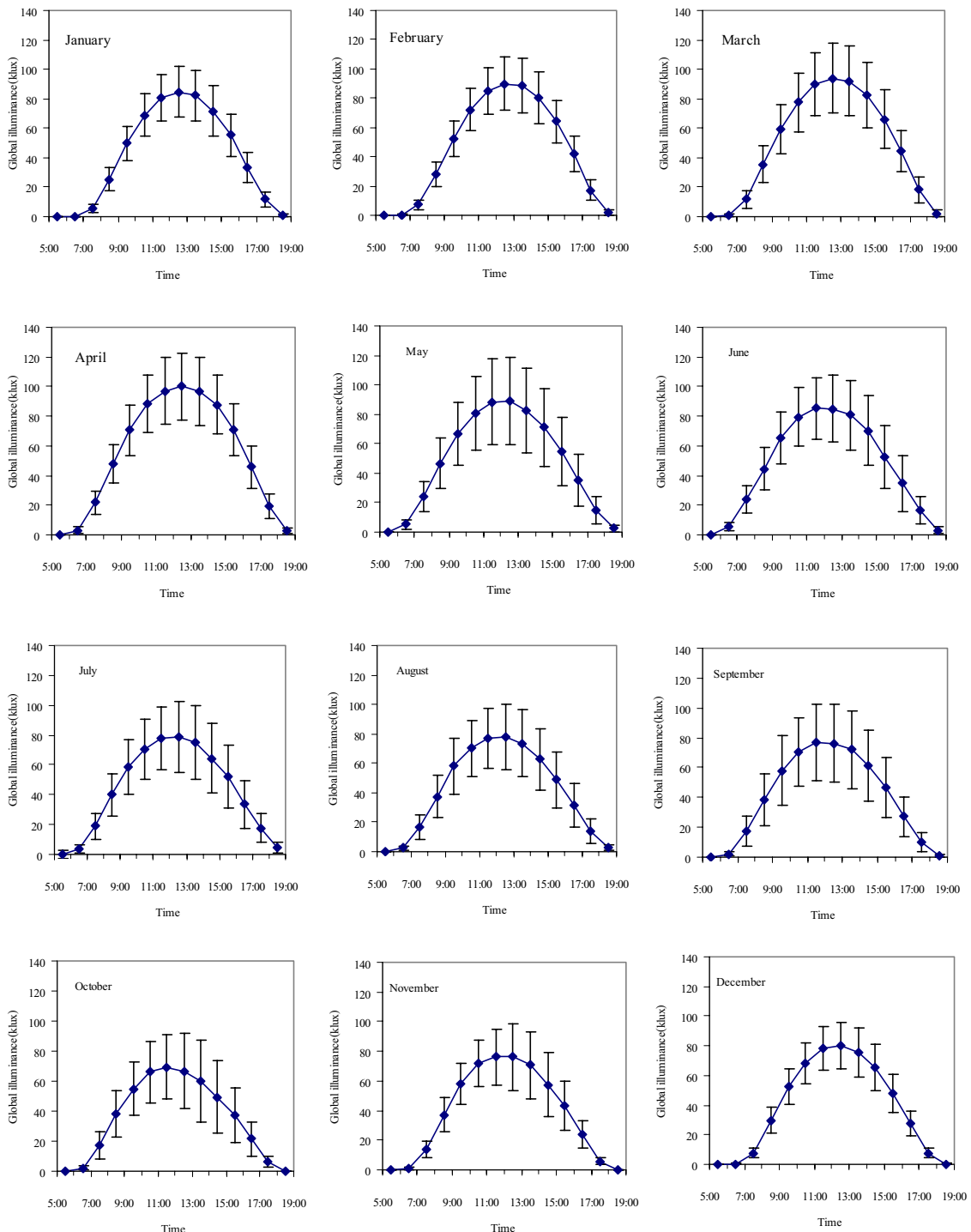
80-120 klux จากผลดั้งกล่าวแสดงว่าปริมาณ global illuminance ในช่วงเที่ยงวันของประเทศไทยจะมีค่าค่อนข้างสูงตลอดทั้งปี ซึ่งลักษณะดังกล่าวนี้ นับเป็นผลดีต่อการนำแสงสว่างธรรมชาตามาใช้ประโยชน์ในอาคาร



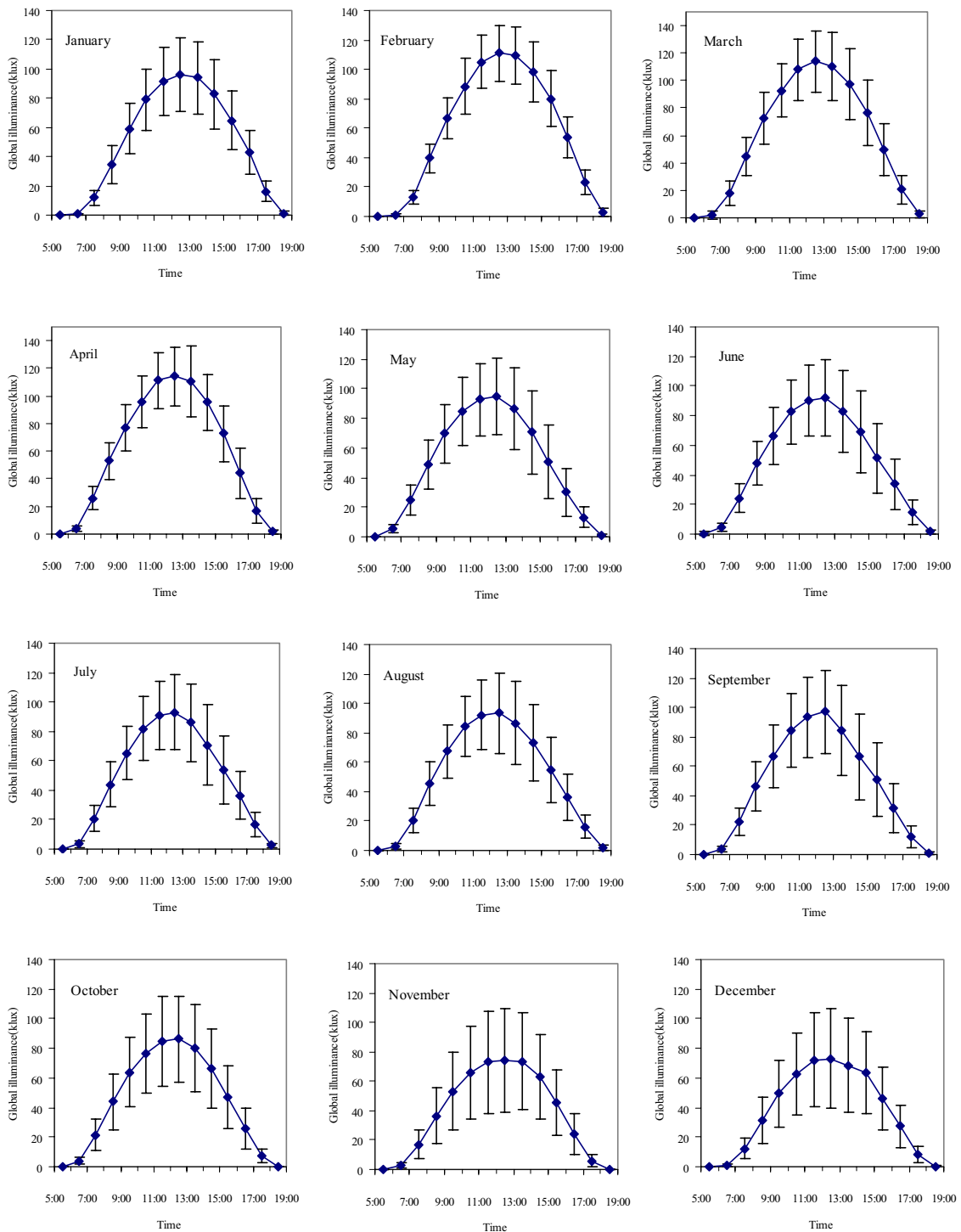
รูปที่ 3.57 กราฟแสดง global illuminance รายชั่วโมงเฉลี่ยต่อเดือนของสถานีเชียงใหม่



รูปที่ 3.58 กราฟแสดง global illuminance รายชั่วโมงเฉลี่ยต่อเดือนของสถานีอุบลราชธานี



รูปที่ 3.59 กราฟแสดง global illuminance รายชั่วโมงเฉลี่ยต่อเดือนของสถานีน้ำกรุงรัตน์

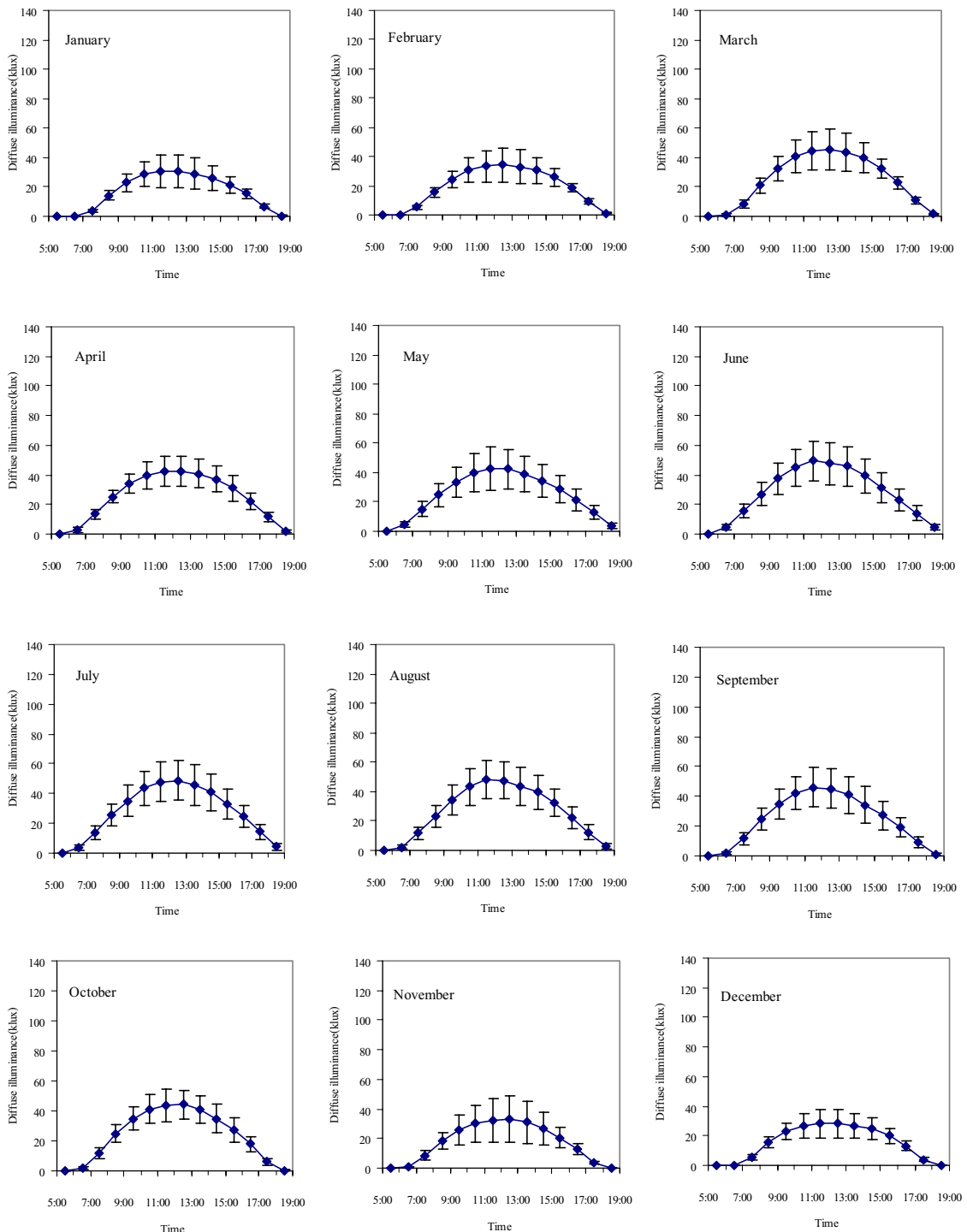


รูปที่ 3.60 กราฟแสดง global illuminance รายชั่วโมงเฉลี่ยต่อเดือนของสถานีสังขยา

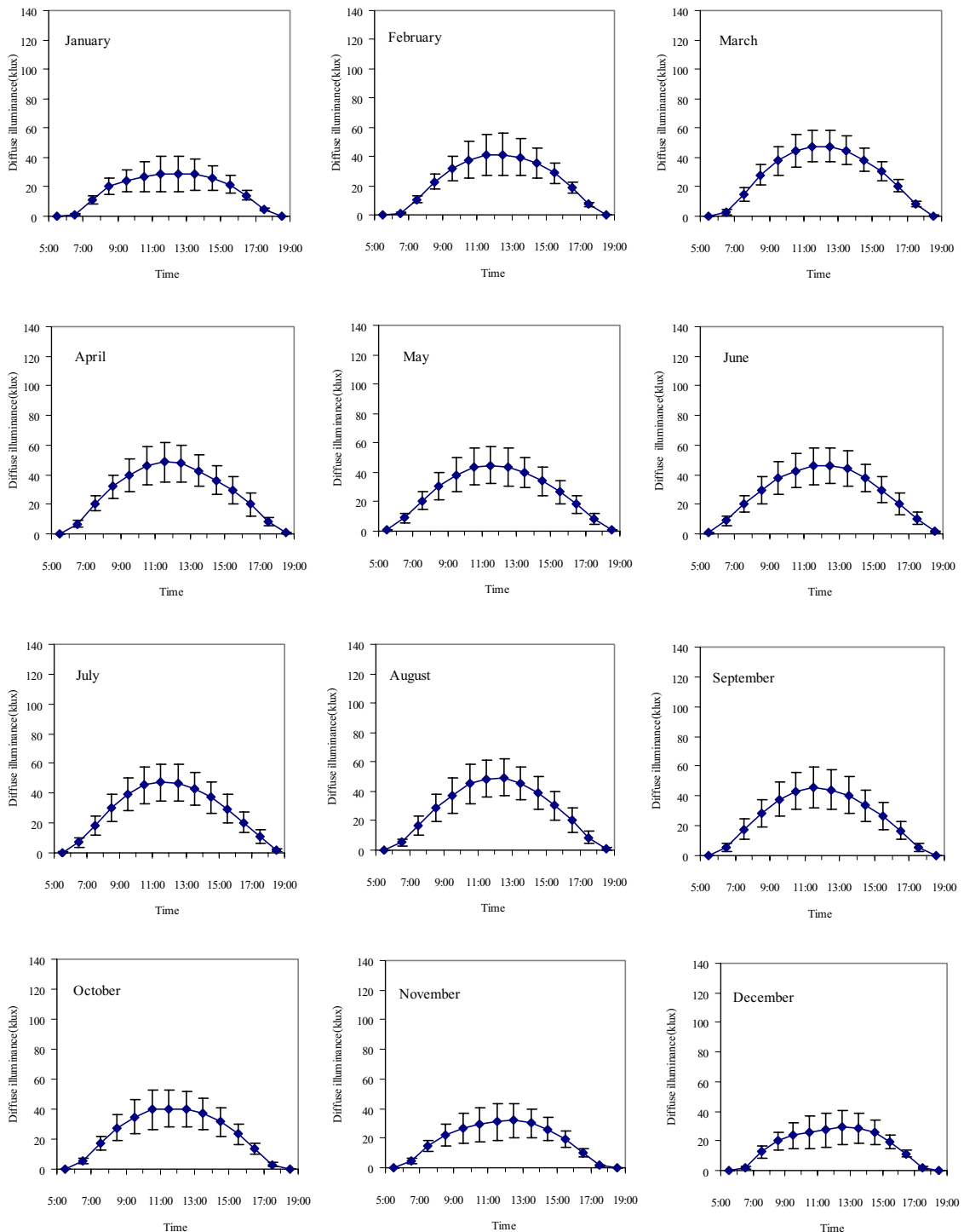
### 3.6.1.2 การแปรค่าตามเวลาในรอบวันของ diffuse illuminance

ในทำนองเดียวกันจะทำการศึกษาการแปรค่าตามเวลาในรอบวันของข้อมูล diffuse illuminance โดยในการศึกษาการแปรค่าดังกล่าวจะนำค่า diffuse illuminance ที่ได้มาเขียนกราฟตามเวลาในรอบวัน ผลที่ได้แสดงดังรูปที่ 3.61-3.64 จากกราฟจะเห็นว่าค่า diffuse illuminance จะมีลักษณะค่อยๆ เพิ่มขึ้นอย่างต่อเนื่องจนถึงค่าสูงสุดที่เวลาเที่ยงวัน หลังจากนั้นจะค่อยๆ ลดลงจนถึงช่วงเย็นทั้งนี้เป็นผลมาจากการแปรค่าของมวลอากาศที่รังสีเคลื่อนที่ผ่าน โดยค่าสูงสุดของแต่ละวันจะเปลี่ยนแปลงไปตามเวลาในรอบปี

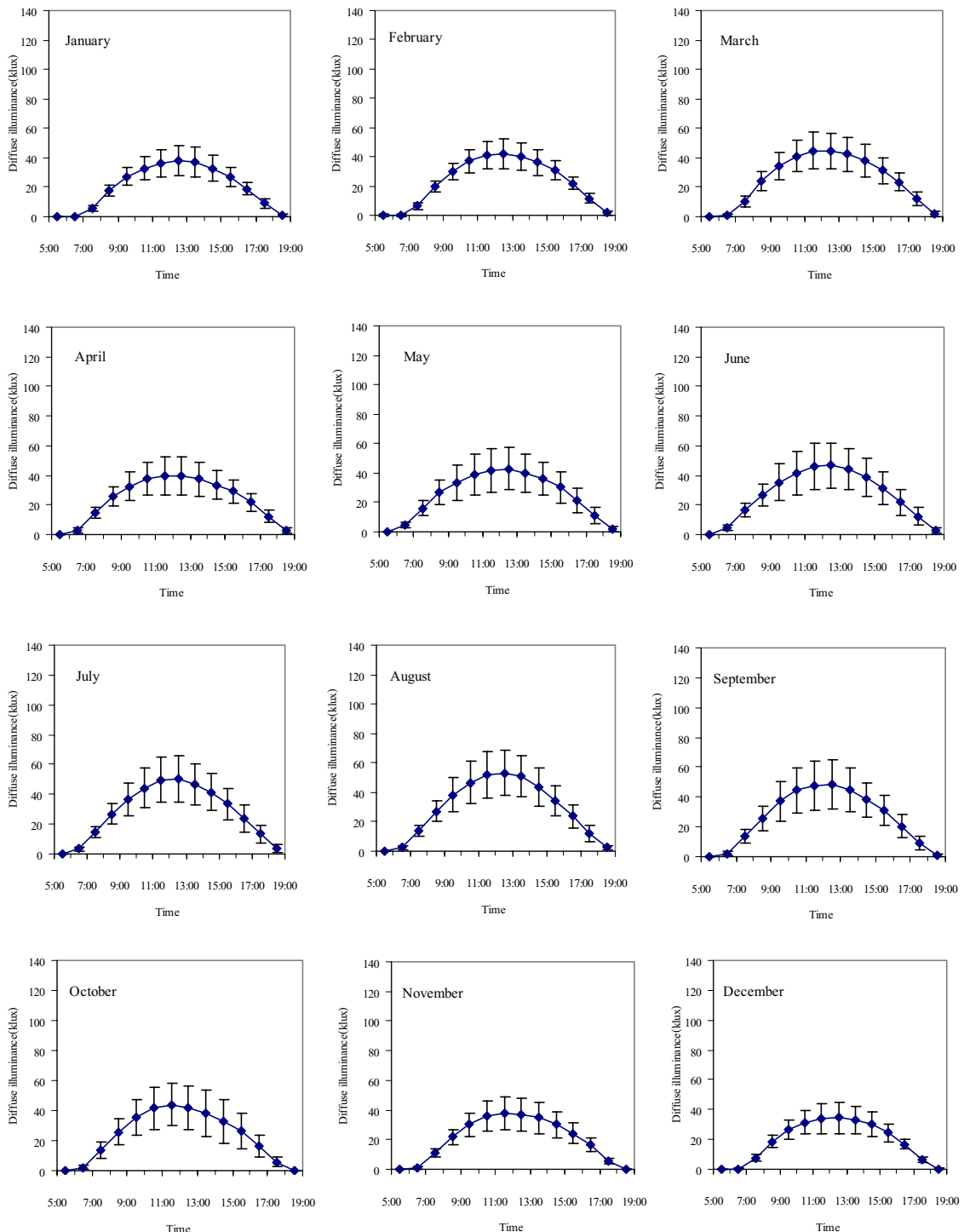
จากการของสถานีเชียงใหม่ อุบลราชธานีและนครปฐม จะเห็นว่าค่า diffuse illuminance จะเพิ่มขึ้นจากช่วงเช้าจนถึงค่าสูงสุดตอนเที่ยงวัน จากนั้นจะค่อยๆ ลดลงจนถึงตอนเย็น โดยในแต่ละเดือนจะมีค่าสูงสุดแตกต่างกันไปในรอบปี โดยเดือนมิถุนายนจะถึงเดือนกันยายนจะมีค่าตอนเที่ยงวันสูงสุด ส่วนเดือนอื่นๆ จะมีค่าตอนเที่ยงวันอยู่ในระดับที่ต่ำ สำหรับสถานีสองสถานี ในแต่ละเดือนจะมีค่าสูงสุดอยู่ในระดับที่ใกล้เคียงกัน



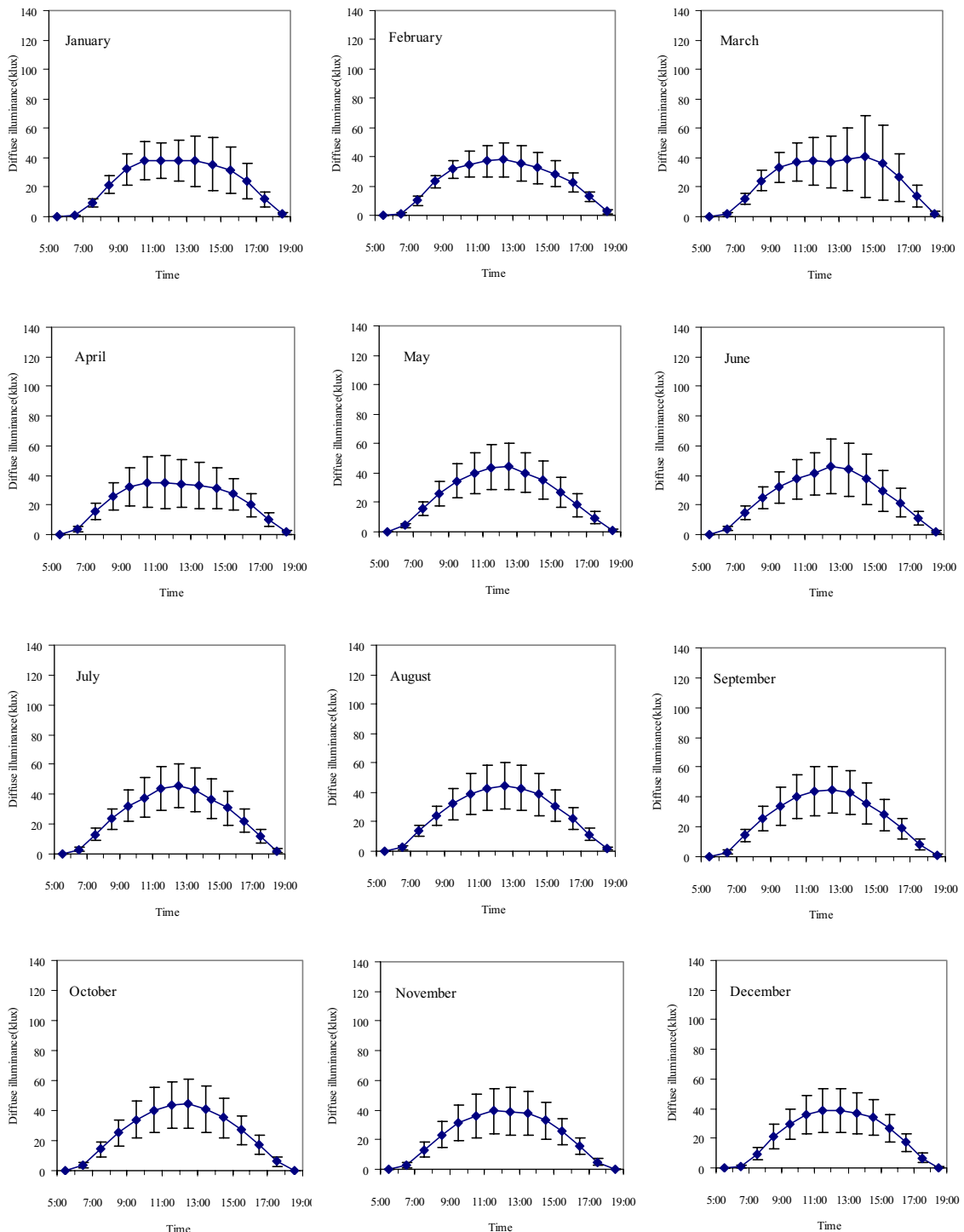
รูปที่ 3.61 กราฟแสดง diffuse illuminance รายชั่วโมงเฉลี่ยต่อเดือนของสถานีเชียงใหม่



รูปที่ 3.62 กราฟแสดง diffuse illuminance รายชั่วโมงเฉลี่ยต่อเดือนของสถานีอุบราชธานี



รูปที่ 3.63 กราฟแสดง diffuse illuminance รายชั่วโมงเฉลี่ยต่อเดือนของสถานีนครปฐม



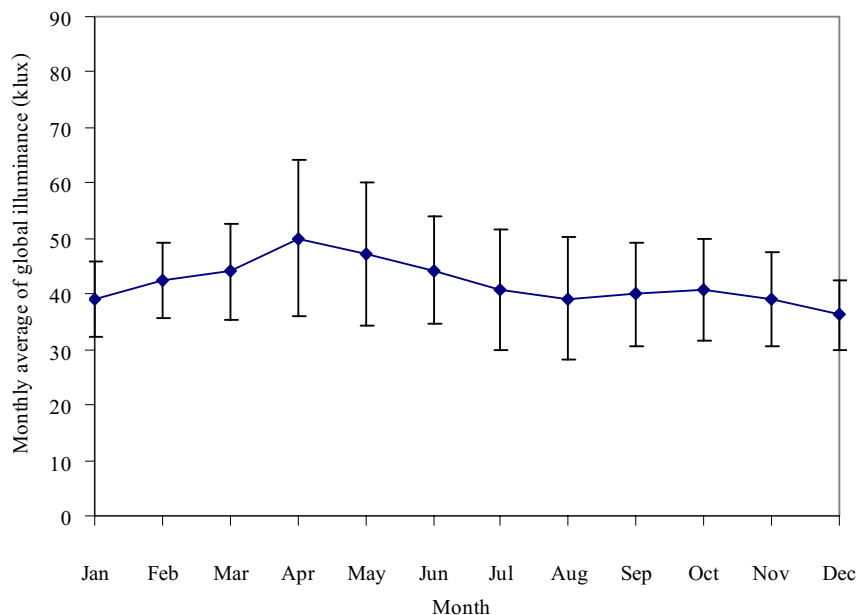
รูปที่ 3.64 กราฟแสดง diffuse illuminance รายชั่วโมงเฉลี่ยต่อเดือนของสถานีสงขลา

### 3.6.2 การเปลี่ยนแปลงความเข้มแสงสว่างธรรมชาติตามเวลาในรอบปี

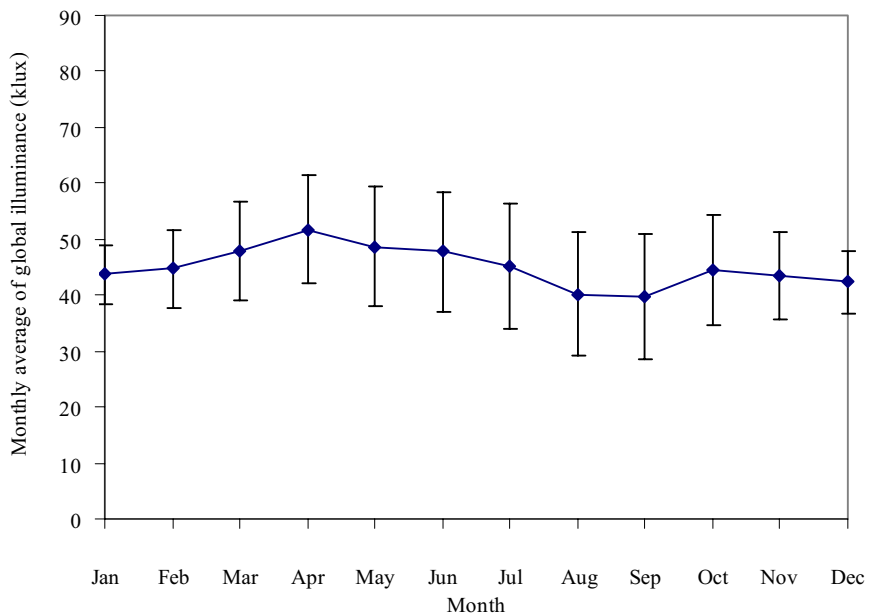
#### 3.6.2.1 การเปลี่ยนแปลงตามฤดูกาลของ global illuminance

ในงานวิจัยนี้ผู้วิจัยได้นำข้อมูล global illuminance ที่วัดจากสถานีเชียงใหม่ อุบลราชธานี นครปฐม และสงขลา มาทำการหาค่าเฉลี่ยของค่า global illuminance รายวันและรายเดือน และนำมาเขียนกราฟเพื่อแสดงการเปลี่ยนแปลงในรอบปี ผลที่ได้แสดงดังรูปที่ 3.65-3.68

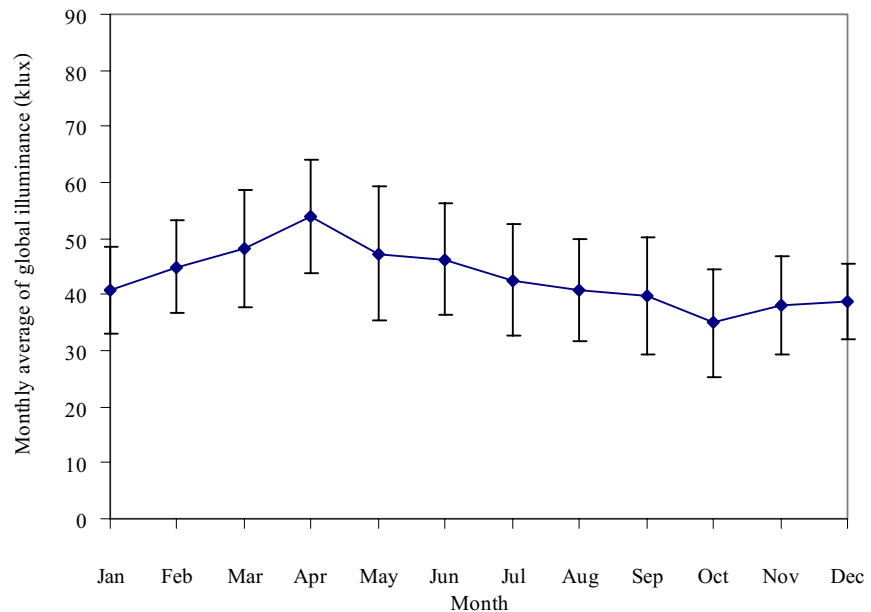
จากราฟจะเห็นว่าค่า global illuminance ของทั้ง 4 สถานี มีลักษณะการเปลี่ยนแปลง ในรอบปีคล้ายกัน กล่าวคือ ค่า global illuminance จะค่อยๆ เพิ่มขึ้นจากเดือนกรกฎาคมถึงค่าสูงสุดที่ เดือนเมษายนของสถานีเชียงใหม่ อุบลราชธานีและนครปฐม จากนั้นจะค่อยๆ ลดลงในช่วงฤดูฝน (พฤษภาคม-ตุลาคม) และจะมีการเปลี่ยนแปลงขึ้นลงเล็กน้อยในช่วงฤดูหนาว ส่วนที่สถานีสงขลา ค่าสูงสุดจะอยู่ในช่วงเดือนกุมภาพันธ์ถึงเมษายน จากนั้นจะลดลงและมีการเปลี่ยนแปลงขึ้นลงเล็กน้อย ในช่วงเดือนพฤษภาคมถึงกันยายน และจะมีค่าค่อยๆ ลดลงจนถึงเดือนธันวาคม



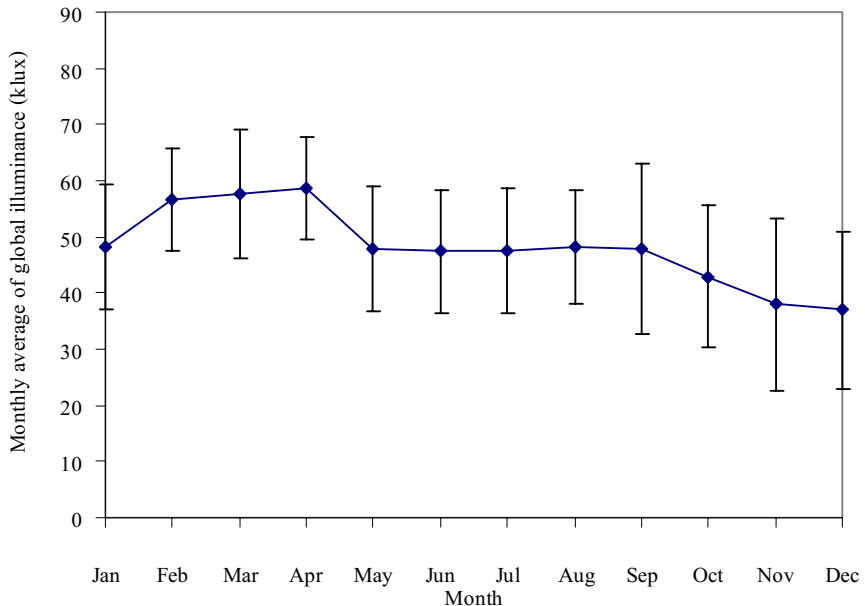
รูปที่ 3.65 แสดงการเปลี่ยนแปลงของค่า global illuminance ตามฤดูกาลในรอบปีของสถานีเชียงใหม่



รูปที่ 3.66 แสดงการเปลี่ยนแปลงของค่า global illuminance ตามฤดูกาลในรอบปีของสถานีอุบลราชธานี



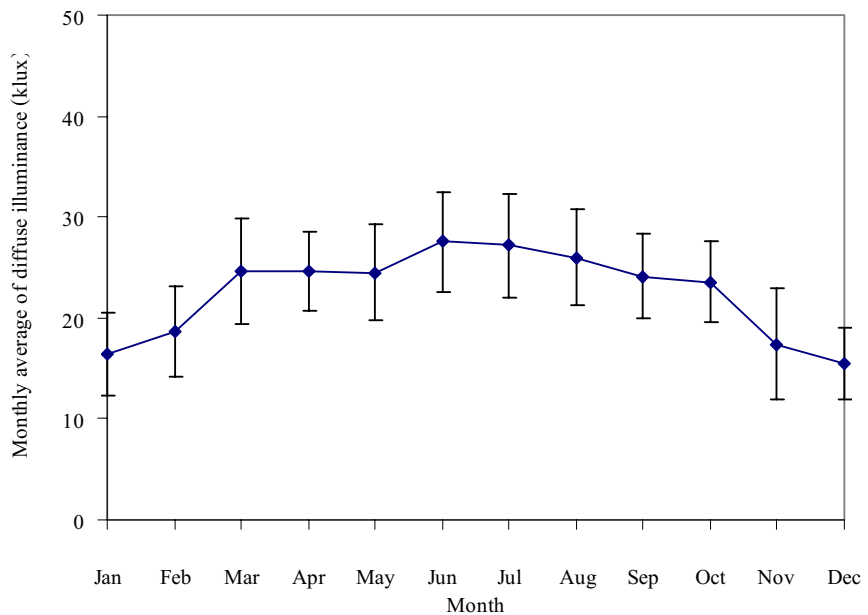
รูปที่ 3.67 แสดงการเปลี่ยนแปลงของค่า global illuminance ตามฤดูกาลในรอบปีของสถานีนครปฐม



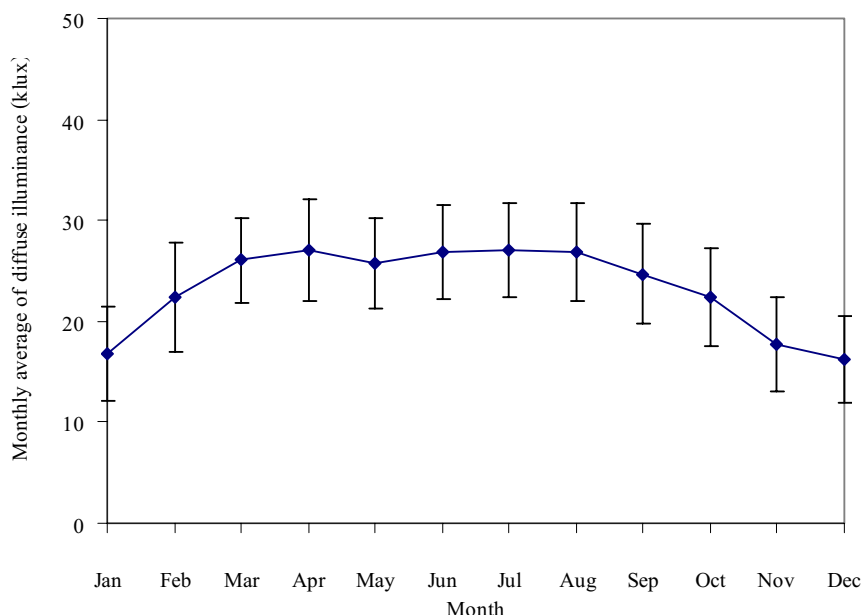
รูปที่ 3.68 แสดงการเปลี่ยนแปลงของค่า global illuminance ตามฤดูกาลในรอบปีของสถานีสงขลา

### 3.6.2.2 การแปรค่าตามฤดูกาลของ diffuse illuminance

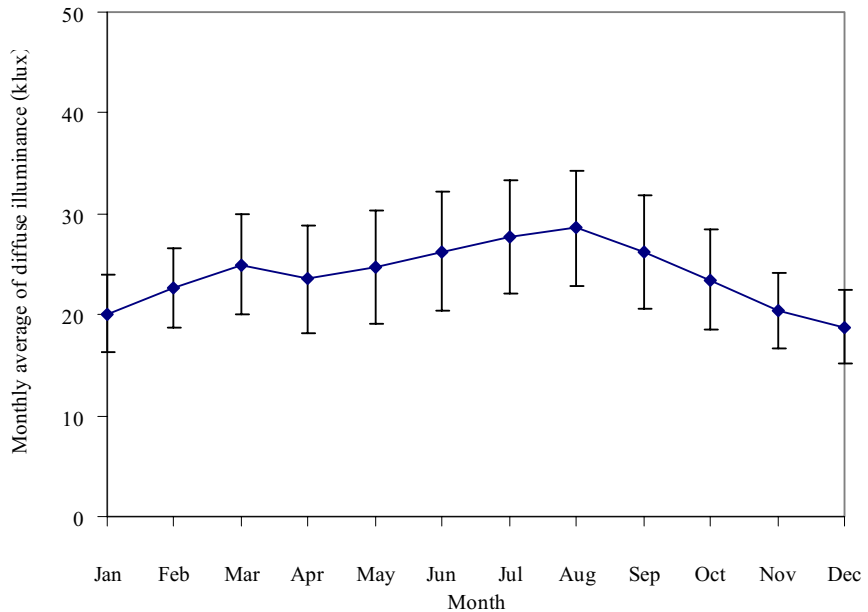
ผู้วิจัยได้ทำการหาค่าเฉลี่ยของค่า diffuse illuminance รายวันและรายเดือน แล้วนำมาเขียนกราฟเพื่อแสดงการเปลี่ยนแปลงในรอบปี ผลที่ได้แสดงดังรูปที่ 3.69-3.72 จากกราฟจะเห็นว่าค่า diffuse illuminance ของสถานีเชียงใหม่ อุบลราชธานีและนครปฐม มีลักษณะการเปลี่ยนแปลงในรอบปีคล้ายกัน คือจะค่อยๆ เพิ่มขึ้นจากเดือนกรกฎาคมถึงเดือนมิถุนายนหรือเดือนสิงหาคม โดยค่า diffuse illuminance ที่วัดได้จากสถานีเชียงใหม่จะมีค่าสูงสุดในเดือนมิถุนายน สถานีอุบลราชธานีจะมีค่าสูงสุดในเดือนกรกฎาคม สถานีนครปฐมจะมีค่าสูงสุดในเดือนสิงหาคม จำนวนจะค่อยๆ ลดลงจนถึงเดือนธันวาคม ส่วนสถานีสงขลานั้นจะไม่ค่อยมีการเปลี่ยนแปลงตลอดทั้งปี โดยในแต่ละเดือนจะมีค่าใกล้เคียงกัน นอกจากนี้ยังพบว่า diffuse illuminance จะมีค่าสูงในช่วงฤดูฝนและต่ำในช่วงฤดูร้อน



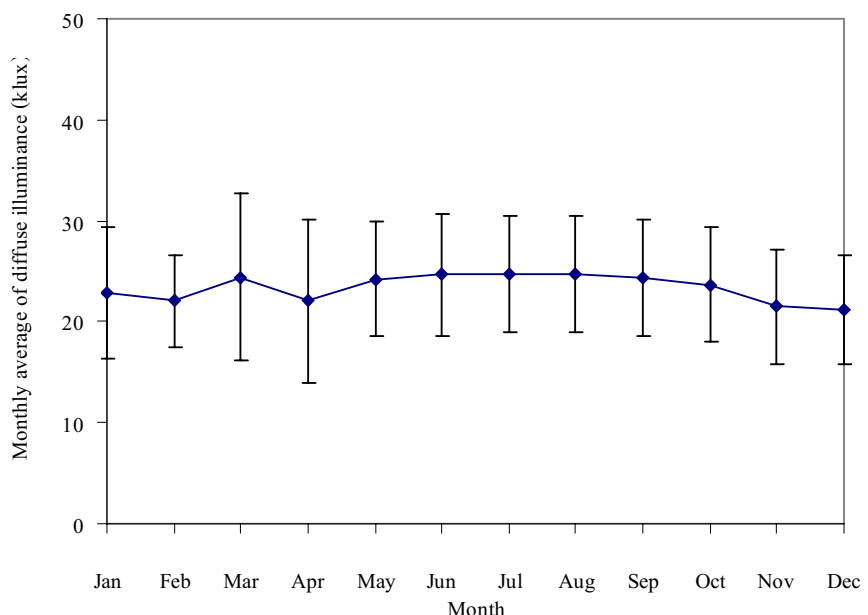
รูปที่ 3.69 แสดงการเปลี่ยนแปลงของค่า diffuse illuminance ตามฤดูกาลในรอบปีของสถานีเชียงใหม่



รูปที่ 3.70 แสดงการเปลี่ยนแปลงของค่า diffuse illuminance ตามฤดูกาลในรอบปีของสถานีอุบลราชธานี



รูปที่ 3.71 แสดงการเปลี่ยนแปลงของค่า diffuse illuminance ตามฤดูกาลในรอบปีของสถานีนครปฐม



รูปที่ 3.72 แสดงการเปลี่ยนแปลงของค่า diffuse illuminance ตามฤดูกาลในรอบปีของสถานีสงขลา

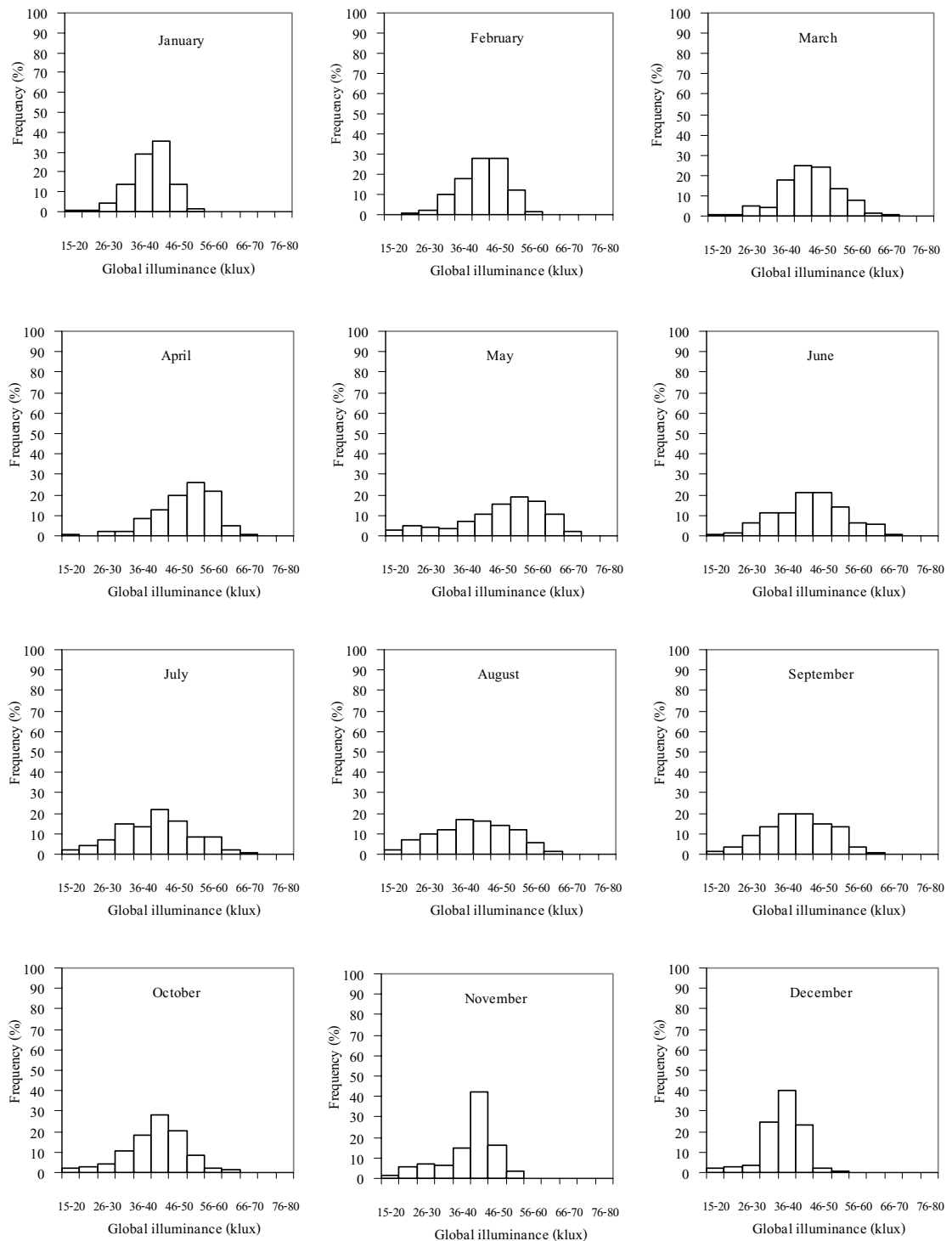
### 3.6.3 การแจกแจงความเข้มแสงสว่างธรรมชาติในรอบวัน

#### 3.6.3.1 การแจกแจงของ global illuminance

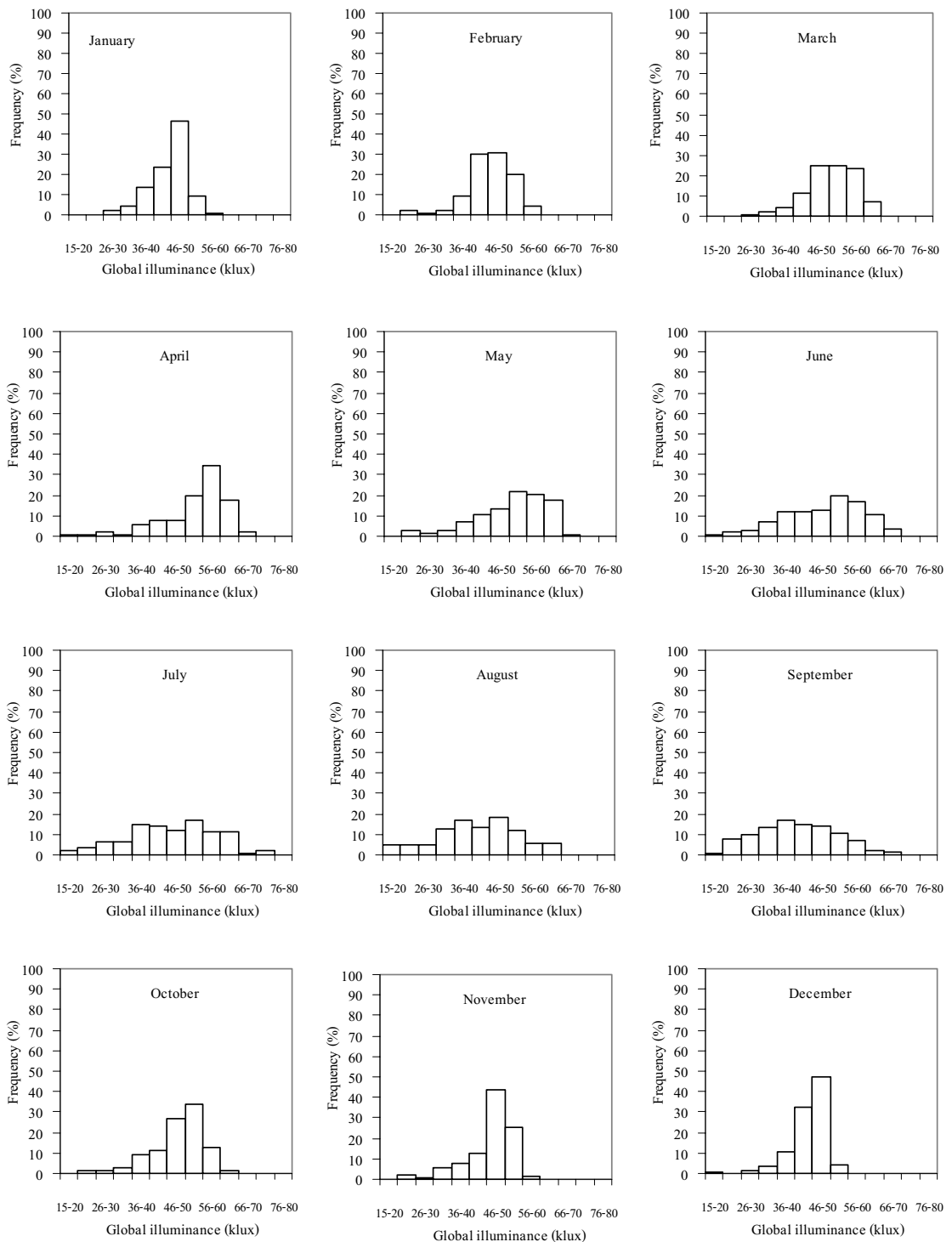
ผู้วิจัยได้ทำการศึกษาการแจกแจงค่า global illuminance ของแต่ละสถานีในแต่ละเดือน ซึ่งจะทำให้ทราบค่าความน่าจะเป็นของ global illuminance ตลอดทั้งวันของเดือนต่างๆ ในรอบปี โดยจะนำข้อมูล global illuminance รายวันทั้งหมดมาทำการแจกแจงความถี่ในรูปเปอร์เซ็นต์ของจำนวนวันที่มีค่า global illuminance ในระดับต่างๆ โดยแบ่งช่วงข้อมูล global illuminance ออกเป็น 7 ช่วงๆ ละ 5 klux ผลที่ได้แสดงดังรูปที่ 3.73-3.76

จากราฟพบว่าการแจกแจงรายเดือนของค่า global illuminance รายวันของสถานีเชียงใหม่ อุบลราชธานีและนครปฐม จะมีลักษณะคล้ายกันกล่าวคือ มีลักษณะการกระจายที่ค่อนข้างสมมาตร (symmetric) ยกเว้นเดือนพฤษภาคมและธันวาคม ที่จะมีลักษณะการกระจายค่อนข้างน้อย โดยมีค่าส่วนใหญ่อยู่ในช่วง 46-50 klux ส่วนของสถานีสงขลากรุงเทพจะเบี้ยไปทางค่ามาก โดยค่าส่วนใหญ่จะมีการแจกแจงอยู่ในช่วง 50-65 klux

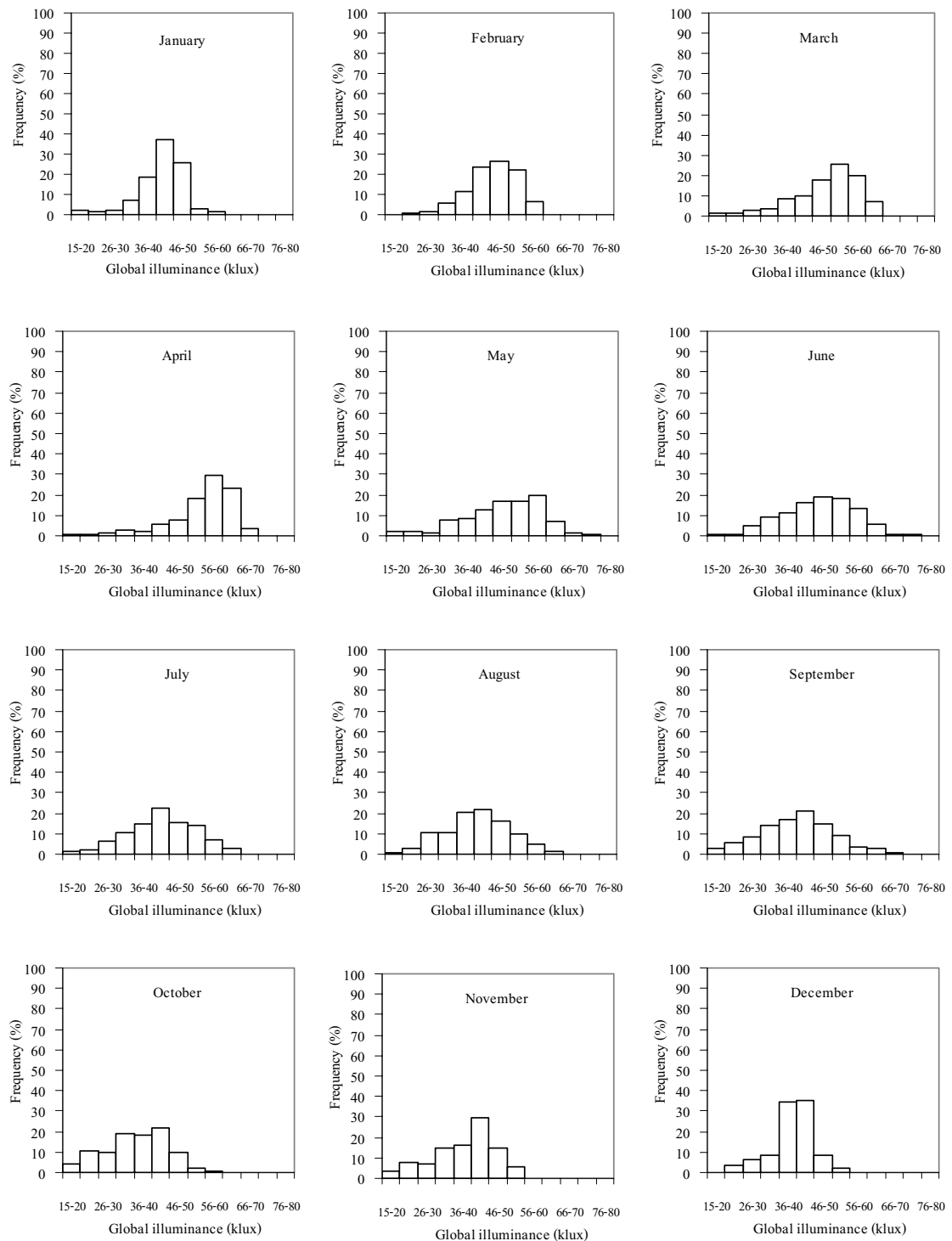
ส่วนกรณีการแจกแจงค่า global illuminance ตลอดทั้งปี (รูปที่ 3.77-3.80) กราฟของสถานีเชียงใหม่ อุบลราชธานีและนครปฐม มีลักษณะคล้ายกันคือ ลักษณะการกระจายจะสมมาตร คล้ายกับการแจกแจงปกติ (normal distribution) แต่ของสถานีสงขลากรุงเทพจะเบี้ยไปทางค่ามาก แสดงว่าค่า global illuminance ที่สถานีสงขลามีค่าเฉลี่ยสูงกว่าสถานีอื่นๆ



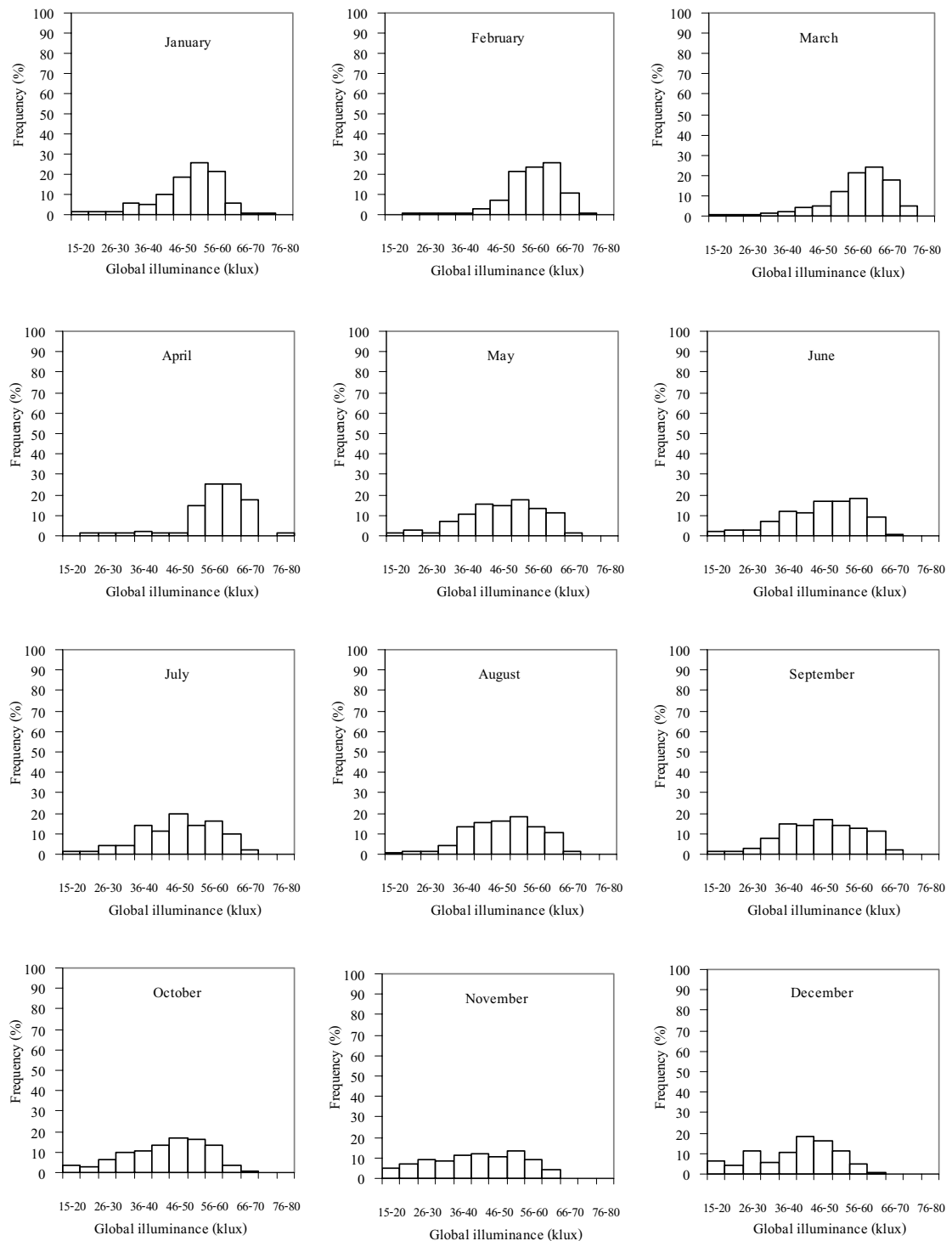
รูปที่ 3.73 กราฟแสดงการแจกแจงของค่า global illuminance รายวันของเดือนต่างๆ ของสถานีเชียงใหม่



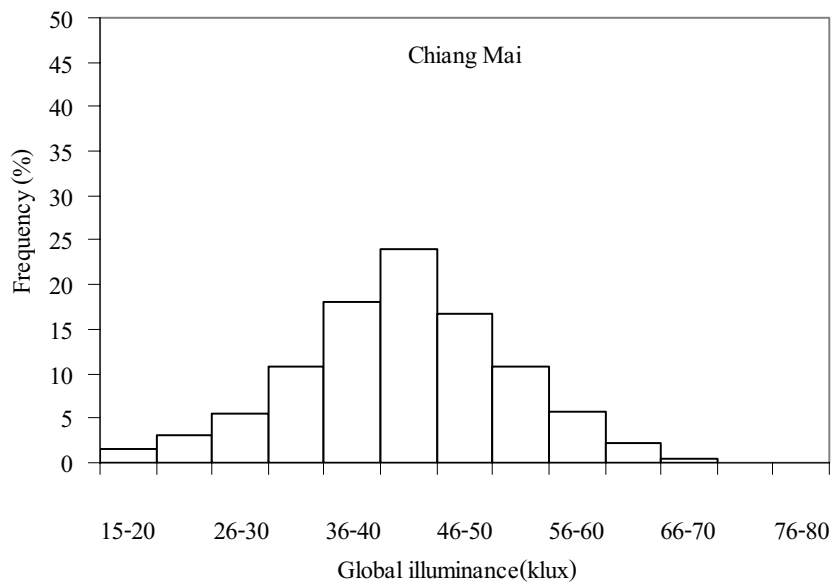
รูปที่ 3.74 กราฟแสดงการแจกแจงของค่า global illuminance รายวันของเดือนต่างๆ ของสถานีอุบลราชธานี



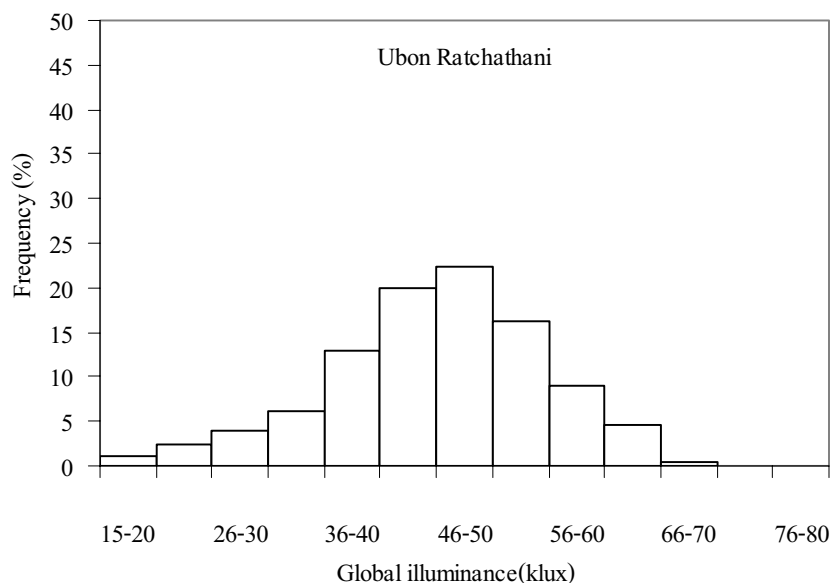
รูปที่ 3.75 กราฟแสดงการแจกแจงของค่า global illuminance รายวันของเดือนต่างๆ ของสถานีนครปฐม



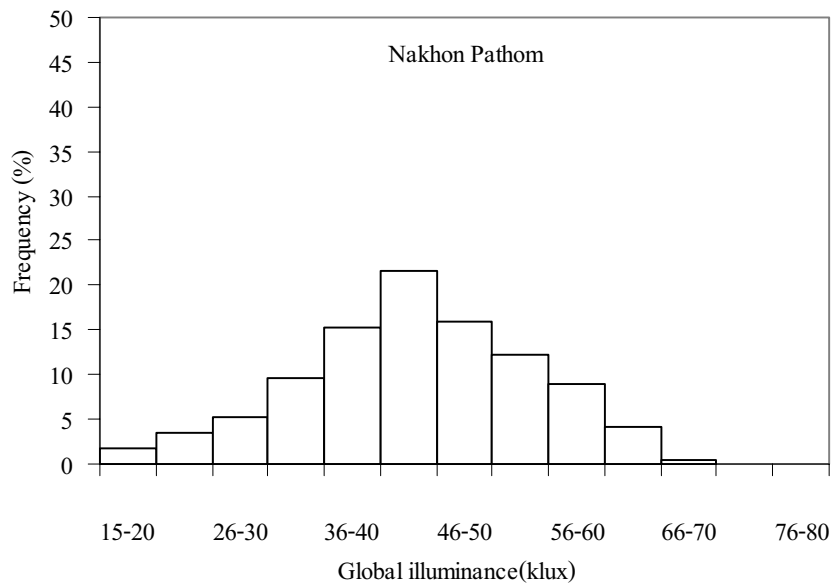
รูปที่ 3.76 กราฟแสดงการแจกแจงของค่า global illuminance รายวันของเดือนต่างๆ ของสถานีสังขลา



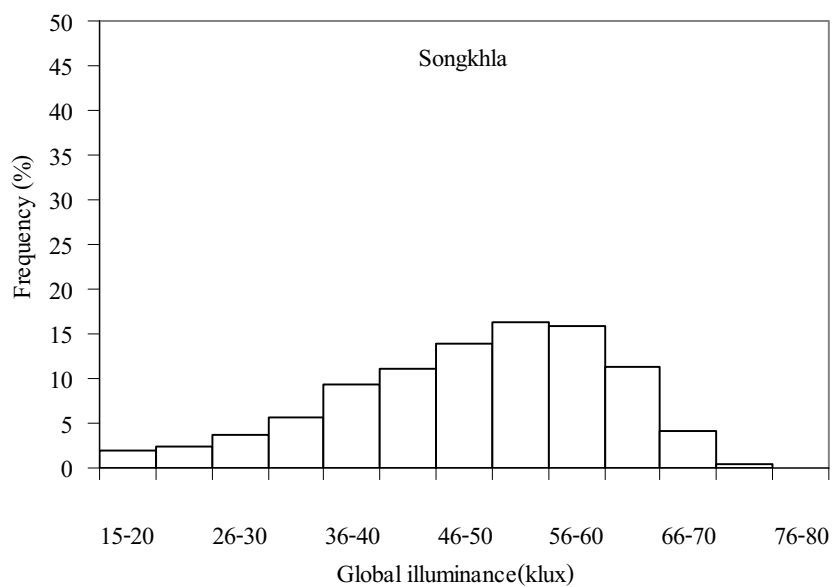
รูปที่ 3.77 กราฟแสดงการแจกแจงของค่า global illuminance ตลอดทั้งปี จากข้อมูลสถานีเชียงใหม่  
ในช่วงปี 2001-2008



รูปที่ 3.78 กราฟแสดงการแจกแจงของค่า global illuminance ตลอดทั้งปี จากข้อมูลสถานีอุบลราชธานี  
ในช่วงปี 2001-2008



รูปที่ 3.79 กราฟแสดงการแจกแจงของค่า global illuminance ตลอดทั้งปี จากข้อมูลสถานีนครปฐม ในช่วงปี 2001-2008

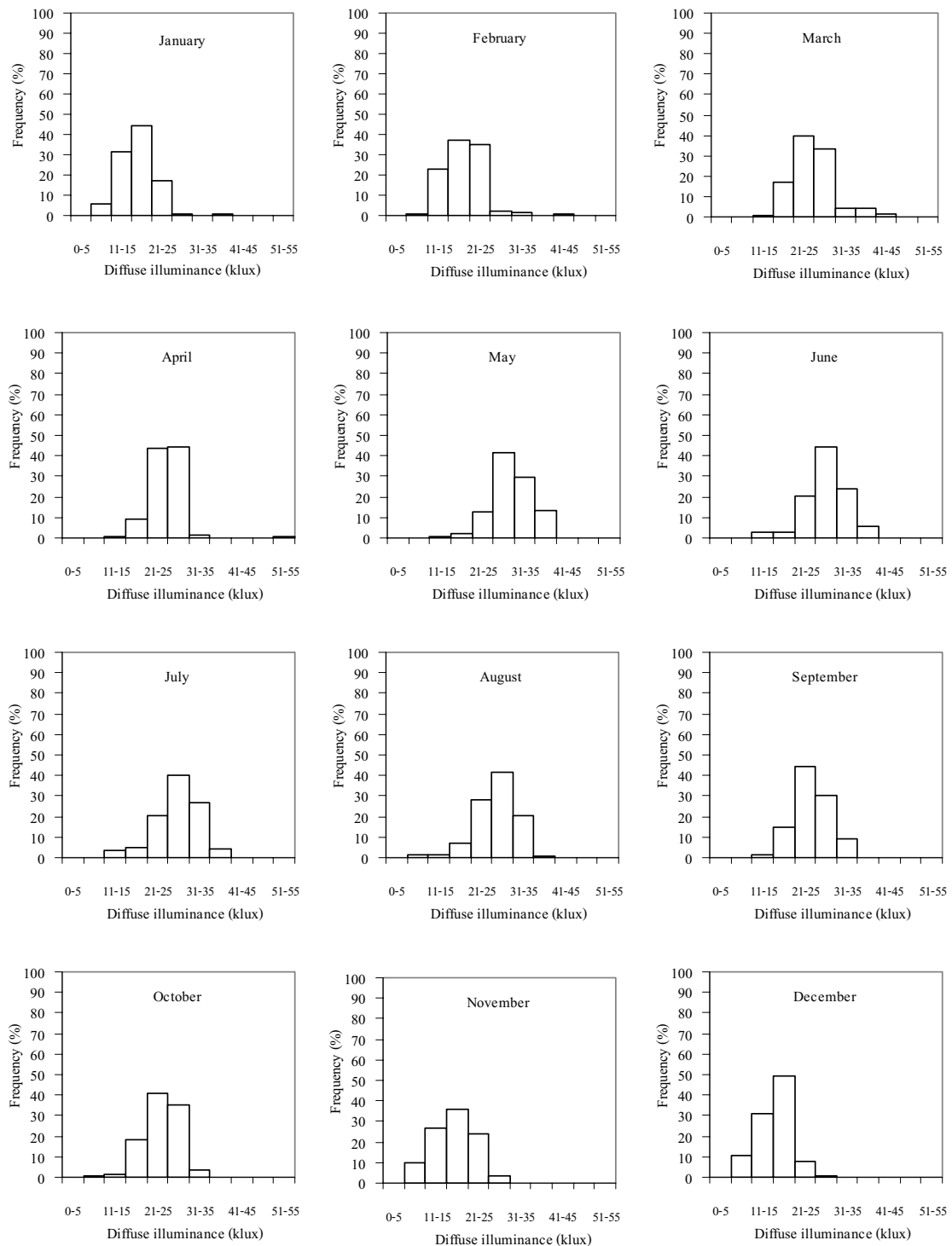


รูปที่ 3.80 กราฟแสดงการแจกแจงของค่า global illuminance ตลอดทั้งปี จากข้อมูลสถานีสงขลา ในช่วงปี 2001-2008

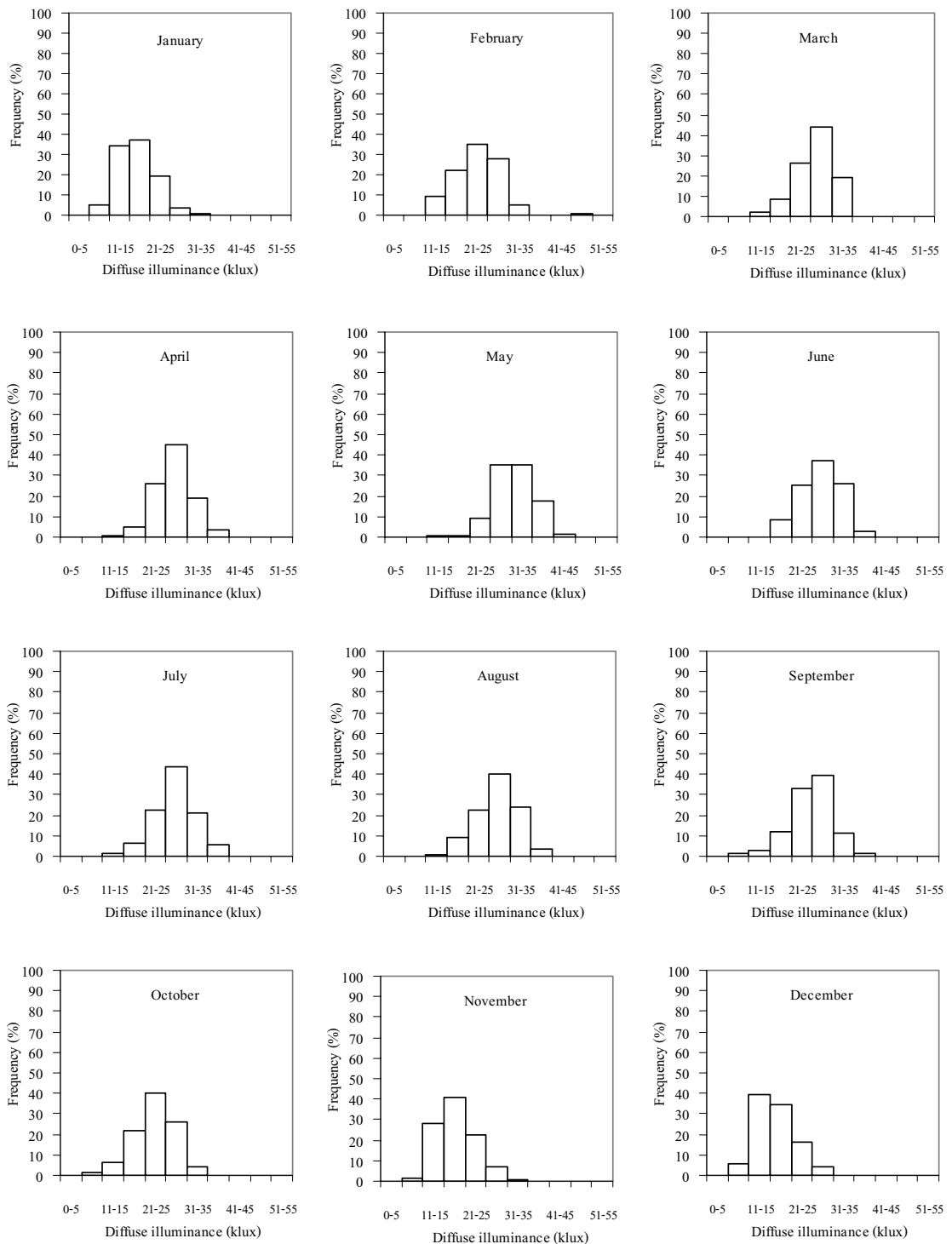
### 3.6.3.2 การแยกแจงของ diffuse illuminance

ในทำนองเดียวกับค่า global illuminance การทราบข้อมูลค่าเฉลี่ยเพียงอย่างเดียว บางครั้งไม่เพียงพอต่อการใช้งาน ดังนั้นเราจำเป็นจะต้องรู้การแยกแจงค่า diffuse illuminance ในเดือนนั้นๆ ด้วย โดยในการวิจัยนี้จะทำการแยกแจงข้อมูล diffuse illuminance ของสถานีเชียงใหม่ อุบลราชธานี นครปฐมและสงขลา โดยแบ่งช่วงข้อมูล diffuse illuminance ออกเป็นช่วงละ 5 klux โดยจะนำค่า diffuse illuminance รายวันทั้งหมดมาทำการแยกแจงเป็นเบอร์เซ็นต์เทียบกับข้อมูลทั้งหมด แล้วนำค่าที่ได้ไปเขียนกราฟแยกแจงความถี่ ผลที่ได้แสดงดังรูปที่ 3.81-3.84

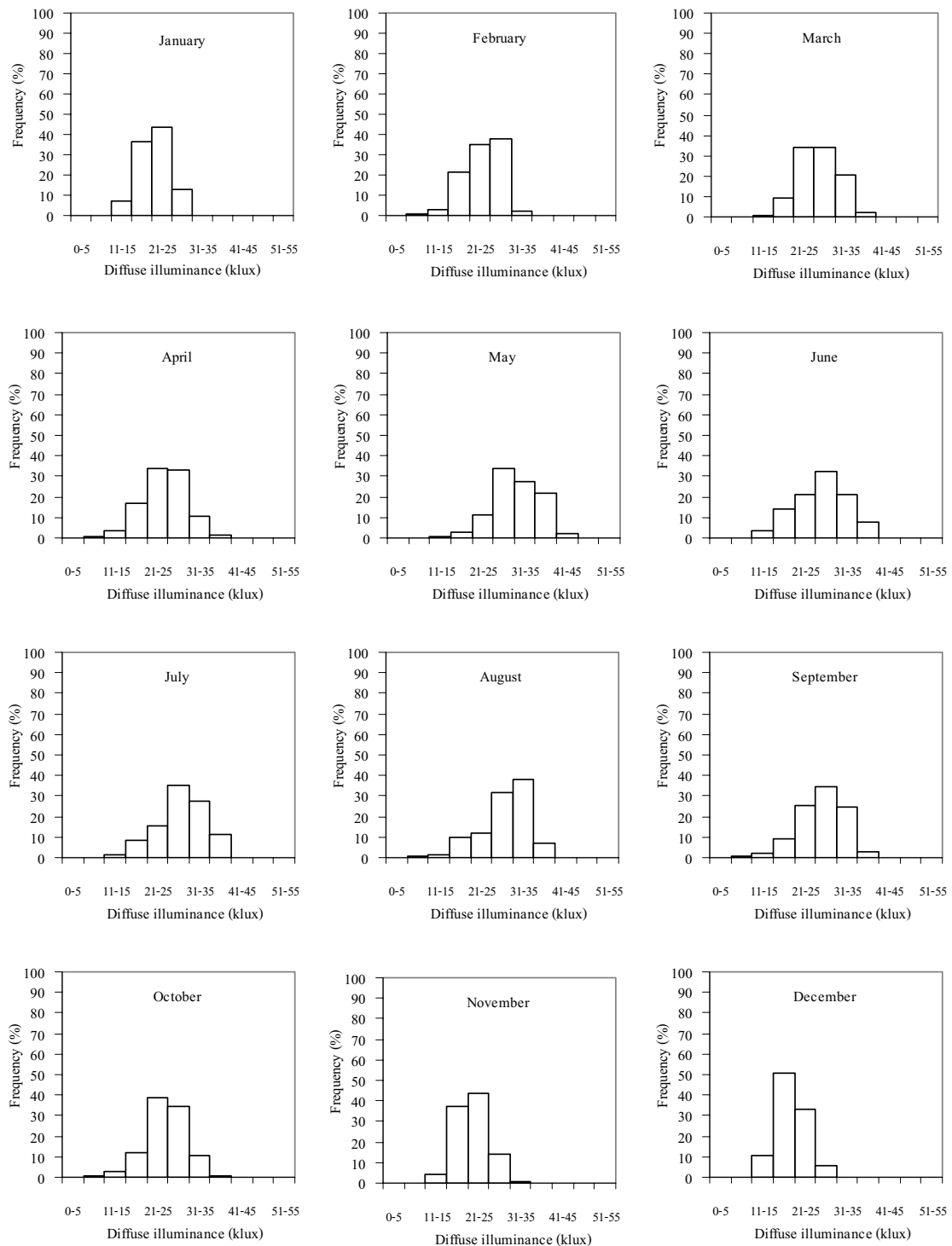
จากราฟพบว่าลักษณะการแยกแจงรายเดือนของค่า diffuse illuminance รายวันของ สถานีเชียงใหม่ อุบลราชธานี นครปฐมและสงขลา มีลักษณะคล้ายกัน กล่าวคือค่าส่วนใหญ่จะอยู่ ในช่วง 16-25 klux สำหรับการแยกแจงค่า diffuse illuminance ตลอดทั้งปี (รูปที่ 3.85-3.88) ของสถานี เชียงใหม่ และอุบลราชธานี กราฟจะมีลักษณะการกระจายอยู่ในด้านความเข้มน้อย ส่วนของสถานี นครปฐมและสงขลา กราฟจะค่อนข้างสมมาตร โดยมีค่าส่วนใหญ่อยู่ในช่วง 16-30 klux



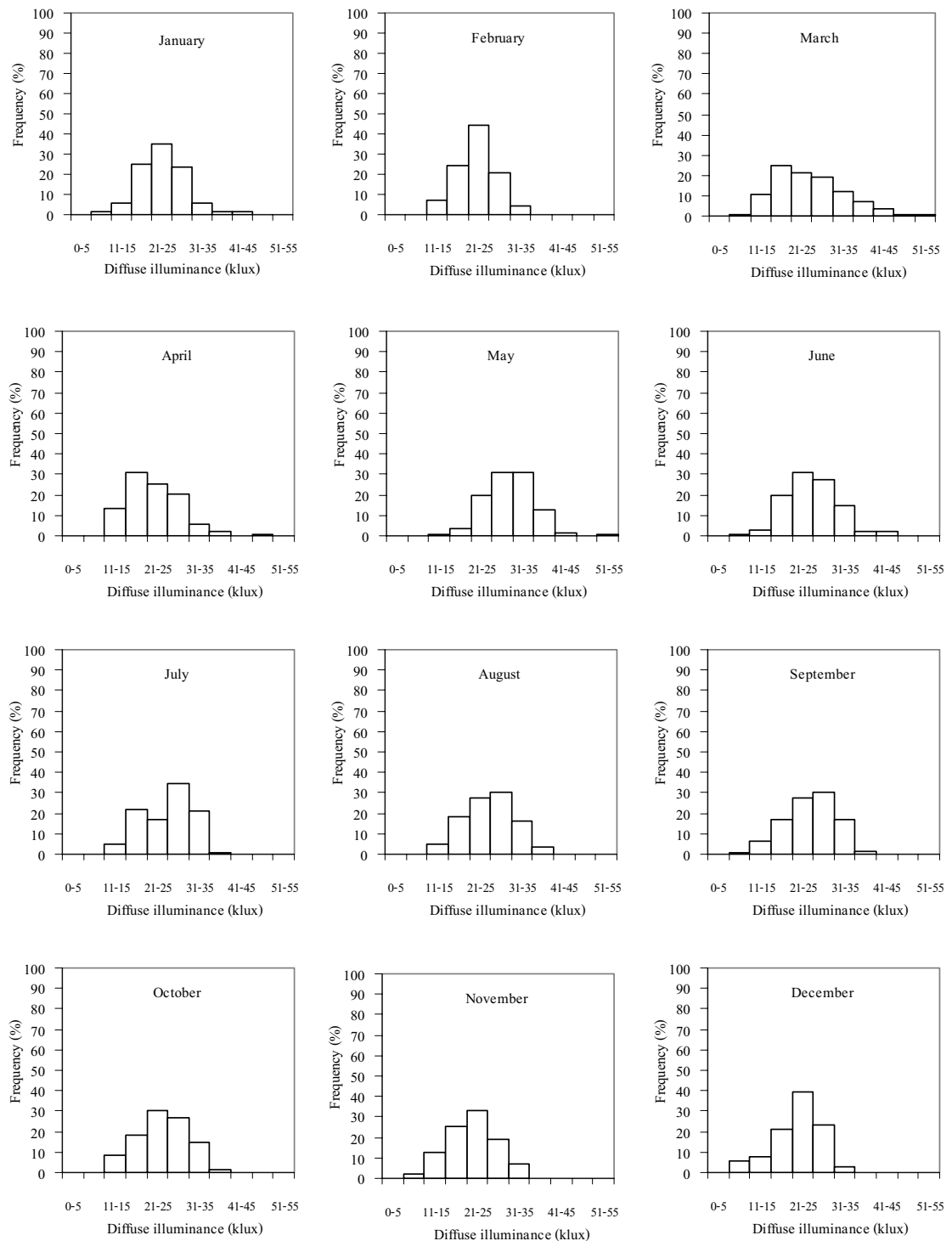
รูปที่ 3.81 กราฟแสดงการแจกแจงของค่า diffusel illuminance รายวันของเดือนต่างๆ ของสถานีเชียงใหม่



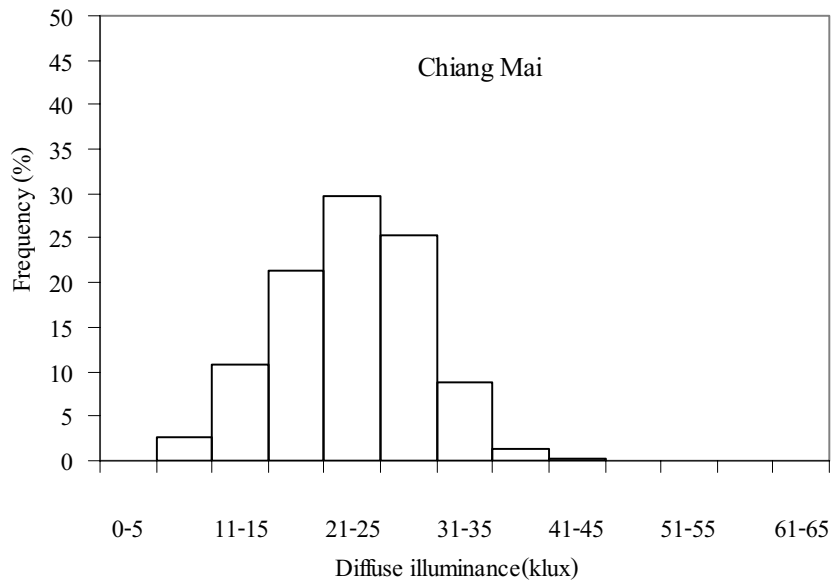
รูปที่ 3.82 กราฟแสดงการแจกแจงของค่า diffusel illuminance รายวันของเดือนต่างๆ ของสถานีอุบลราชธานี



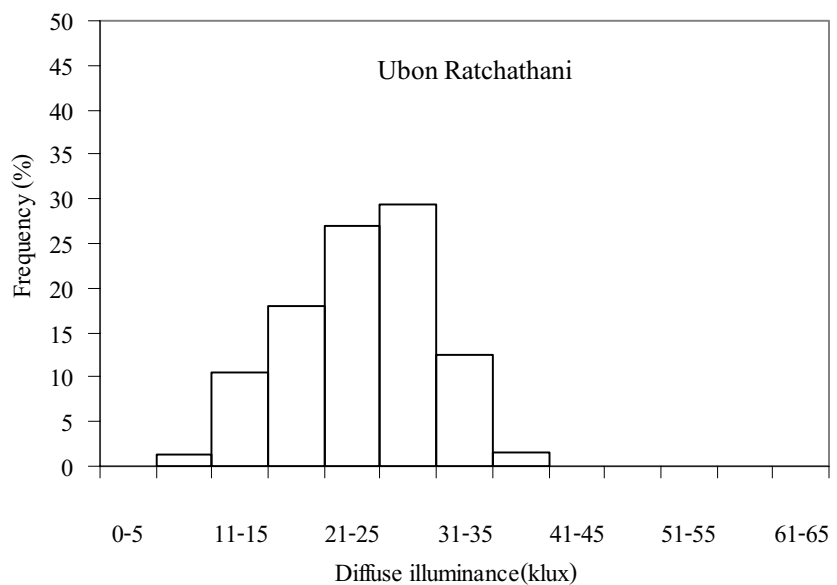
รูปที่ 3.83 กราฟแสดงการแจกแจงของค่า diffusel illuminance รายวันของเดือนต่างๆ ของสถานีนครปฐม



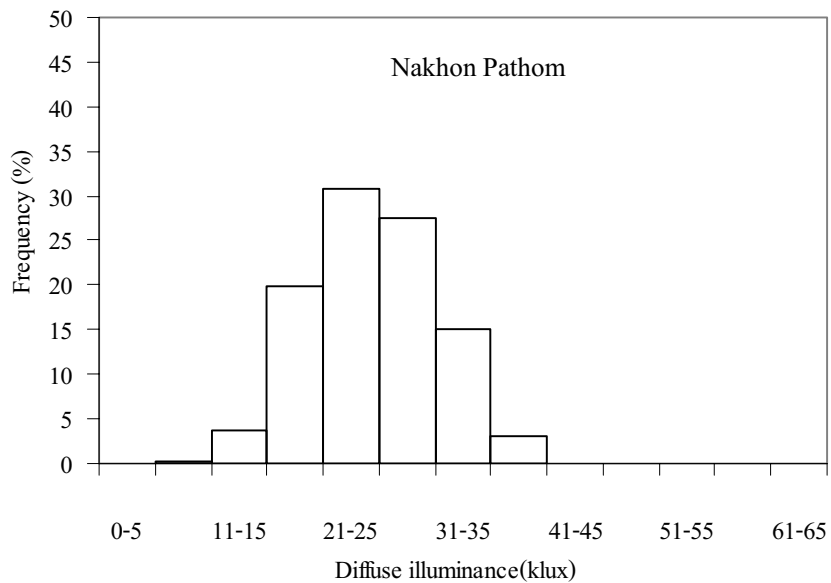
รูปที่ 3.84 กราฟแสดงการแจกแจงของค่า diffusel illuminance รายวันของเดือนต่างๆ ของสถานีส่งข่าว



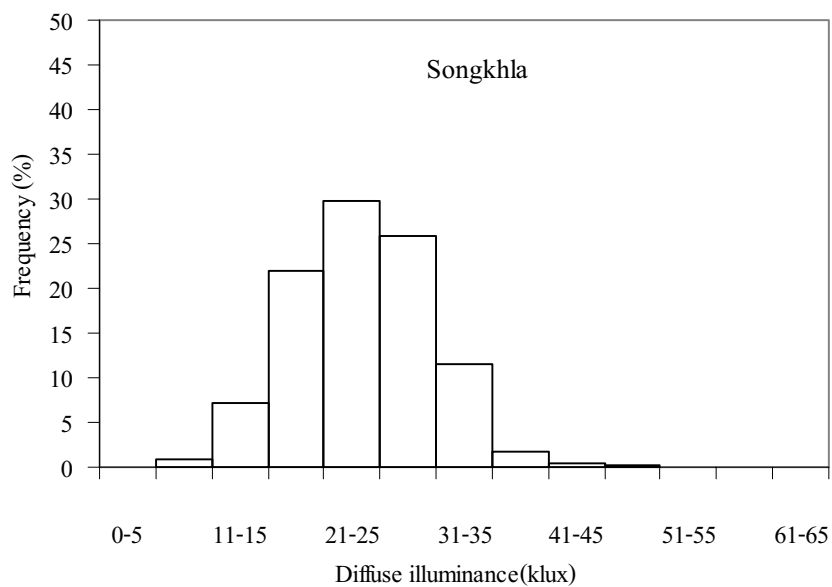
รูปที่ 3.85 กราฟแสดงการแจกแจงของค่า diffusel illuminance ตลอดทั้งปี จากข้อมูลสถานีเชียงใหม่ ในช่วงปี 2001-2008



รูปที่ 3.86 กราฟแสดงการแจกแจงของค่า diffusel illuminance ตลอดทั้งปี จากข้อมูลสถานีอุบลราชธานี ในช่วงปี 2001-2008



รูปที่ 3.87 กราฟแสดงการแจกแจงของค่า diffusel illuminance ตลอดทั้งปี จากข้อมูลสถานีกรุงสุน  
ในช่วงปี 2001-2008



รูปที่ 3.88 กราฟแสดงการแจกแจงของค่า diffusel illuminance ตลอดทั้งปี จากข้อมูลสถานีสงขลา  
ในช่วงปี 2001-2008

## บทที่ 4

### สรุป

ในงานวิจัยนี้ ผู้วิจัยได้ทำการทดสอบสมรรถนะของแบบจำลองสำหรับคำนวณ diffuse illuminance บนพื้นอ้างจากข้อมูลการวัดบนพื้นราบ จำนวน 17 แบบจำลอง ซึ่งประกอบด้วย แบบจำลองที่เป็นแบบ isotropic จำนวน 4 แบบจำลอง และแบบ anisotropic จำนวน 13 แบบจำลอง โดยในการทดสอบได้ทำการเปรียบเทียบกับข้อมูลการวัด diffuse illuminance บนระนาบแนวคิ่ง 90 องศา และระนาบเอียง 45 องศา ปี 2003-2008 จากสถานีวัดซึ่งตั้งอยู่ตามภูมิภาคหลักของประเทศไทย 4 แห่งคือ เชียงใหม่ อุบลราชธานี นครปฐม และสงขลา ผลการทดสอบที่ได้พบว่า แบบจำลอง Muneer , AIT0a และ AIT0b แสดงผลการคำนวณที่แม่นยำกว่าแบบจำลองอื่นๆ โดยมีค่าความคลาดเคลื่อนในรูป RMSE อยู่ในช่วง 15% ถึง 28% ส่วนแบบจำลองที่ให้ผลการคำนวณที่ดีรองลงมาคือ แบบจำลอง Gueymard สำหรับแบบจำลองอื่นๆ ได้แก่แบบจำลอง Bugler, Temps and Coulson, Klucher, Hay, Wilmott, Ma and Igbal, Skartveit and Olseth, Reindl และ Perez จะมีความคลาดเคลื่อนในการคำนวณ ก่อนข้างสูง โดยจะมีค่า RMSE มากกว่า 30% สำหรับการคำนวณที่ระนาบแนวคิ่งทิศเหนือ พนว่า แบบจำลองที่เป็นแบบ isotropic ประกอบด้วย Lui and Jordan, Tain และ Badescu จะให้ผลการคำนวณ ที่ค่อนข้างสอดคล้องกับค่าจากการวัด ส่วนผลการคำนวณ diffuse illuminance บนระนาบเอียง 45 องศา พนว่าแบบจำลองส่วนใหญ่จะให้ผลการคำนวณที่ดีกว่าการคำนวณที่ระนาบแนวคิ่ง แต่ที่ระนาบเอียง 45 องศา แบบจำลองที่นำมาทดสอบทั้งหมด จะให้ค่าการคำนวณ diffuse illuminance ที่ต่างกว่าค่าที่วัดได้จริง

ในส่วนของการคำนวณปริมาณ diffuse illuminance บนพื้นอ้างด้วยวิธีการอินทิเกรตค่า sky luminance ที่ได้จากแบบจำลอง sky luminance ซึ่งใช้ภาพถ่ายดาวเทียมในการจำแนกสภาพท้องฟ้า ผู้วิจัยได้ใช้ข้อมูลการวัด diffuse illuminance บนพื้นราบ ปี 2005 ของ 4 สถานี คือ เชียงใหม่ อุบลราชธานี นครปฐมและสงขลา ร่วมกับข้อมูล diffuse illuminance บนพื้นราบ ระนาบแนวคิ่งและ ระนาบเอียง 45 องศา ของสถานีนั้นกรปฐมที่วัดในปี 2007 มาทำการวิเคราะห์หาสมการของ normalization ratio (NR) จากนั้นผู้วิจัยได้นำข้อมูลการวัด diffuse illuminance ปี 2007 ของสถานี เชียงใหม่ อุบลราชธานี และสงขลา มาใช้ในการตรวจสอบความถูกต้องของการคำนวณ โดยผลการ เปรียบเทียบแบบค่ารายชั่วโมงเฉลี่ยต่อเดือนระหว่างค่าจากการคำนวณด้วยวิธีอินทิเกรตกับค่าที่วัดได้ จริง พนว่าสำหรับผลการคำนวณ diffuse illuminance บนพื้นราบ ค่าที่ได้มีความสอดคล้องกับค่าจากการวัดของทั้ง 3 สถานี โดยมีค่า RMSE อยู่ในช่วง 10-12% ส่วนผลการคำนวณ diffuse illuminance บน

ธนาบแนวดิ่งทั้ง 4 ทิศ และบนระนาบเอียง 45 องศาทิศใต้ พบว่าค่าที่คำนวณได้ด้วยวิธีอินทิเกรตจะมีความคลาดเคลื่อนในรูป RMSE ที่ต่ำกว่า 20% ข้อดีของวิธีการนี้คือ สามารถใช้คำนวณ diffuse illuminance โดยอาศัยข้อมูลดาวเทียมเป็นหลัก ซึ่งสามารถทำได้ทุกพื้นที่โดยที่ไม่ต้องอาศัยข้อมูล illuminance จากการวัดช่วย

นอกจากนี้ ผู้วิจัยได้ทำการวิเคราะห์ลักษณะทางสถิติของ global illuminance และ diffuse illuminance ที่วัดจากสถานีวัดทั้ง 4 แห่ง โดยจากการวิเคราะห์การแจกแจงตามเวลาในรอบวันของ global illuminance และ diffuse illuminance พบว่าโดยรวมค่า global illuminance จะเพิ่มขึ้นจากช่วงเช้า จนถึงค่าสูงสุดในตอนเที่ยงวัน และค่อยๆ ลดลงในช่วงบ่ายจนถึงช่วงเย็น โดยมีการแปรค่าในช่วงเช้า ช่วงเย็นในรูปแบบที่ค่อนข้างสมมาตร ส่วนปริมาณ diffuse illuminance จะมีการแปรค่าในรอบวันที่คล้ายกับปริมาณ global illuminance แต่จะมีค่าอยู่ในระดับที่ต่ำกว่า สำหรับการแปรค่าตามฤดูกาลของค่า global illuminance และ diffuse illuminance ผลการวิเคราะห์พบว่า ค่า global illuminance ของทั้ง 4 สถานี มีลักษณะการเปลี่ยนแปลงในรอบปี โดยจะค่อยๆ เพิ่มขึ้นจากเดือนกรกฎาคมถึงค่าสูงสุด ในช่วงฤดูร้อนที่เดือนเมษายน จากนั้นจะค่อยๆ ลดลงในช่วงฤดูฝน และจะมีการเปลี่ยนแปลงขึ้นลง เล็กน้อยในช่วงฤดูหนาว ส่วนค่า diffuse illuminance จะมีค่าค่อยๆ เพิ่มขึ้นจากเดือนกรกฎาคมถึงเดือนมิถุนายนหรือเดือนกรกฎาคมซึ่งเป็นช่วงฤดูฝน แล้วจะลดลงเรื่อยๆ จนถึงเดือนธันวาคม ส่วนสถานีสังขละการแปรค่าของ diffuse illuminance จะมีการเปลี่ยนแปลงในรอบปีเพียงเล็กน้อย สำหรับการแจกแจงของค่า global illuminance ที่วัดได้ตลอดทั้งปี ของสถานีเชียงใหม่ อุบลราชธานี และนครปฐม จะมีลักษณะการแจกแจงแบบปกติ (normal distribution) ที่คล้ายกัน โดยมีค่าส่วนใหญ่อยู่ในช่วง 41-50 klux แต่ของสถานีสังขละการจะเบี่ยงไปทางค่ามาก โดยมีค่าอยู่ในช่วง 51-60 klux ส่วนการแจกแจงค่า diffuse illuminance ตลอดทั้งปีของสถานีเชียงใหม่และอุบลราชธานี กราฟมีลักษณะการกระจายเบี่ยงไปทางด้านค่าความเบี่ยนบ้อย แต่ของสถานีนครปฐมและสถานีสังขละ กราฟจะมีลักษณะสมมาตร จาผลการวิเคราะห์ลักษณะทางสถิติของ global และ diffuse illuminance ทั้ง 4 สถานี แสดงให้เห็นว่าประเทศไทยมีศักยภาพแสงสว่างธรรมชาติค่อนข้างสูง

เนื่องจาก diffuse illuminance บนพื้นเอียง ขึ้นกับสภาพท้องฟ้า และตัวแปรทางเรขาคณิตหลายตัว ควรใช้แบบจำลองทางสถิติเพื่อคำนวณให้ได้ผลแม่นยำจึงทำได้ยาก ดังนั้นผู้วิจัยจึงเสนอแนะว่า ในงานวิจัยต่อไปควรทำการพัฒนาแบบจำลองเชิงฟิสิกส์ (physical model) เพื่อคำนวณ diffuse illuminance บนพื้นเอียง และควรขยายเครือข่ายการวัด illuminance ทั้งบนพื้นราบและพื้นเอียง ให้กว้างขวางยิ่งขึ้น

## បររលាយករណ

Badescu, V. “3D isotropic approximation for solar diffuse irradiance on tilted surfaces.” **Renewable Energy** **26**, 221–233, 2002.

Bugler, J.W. “The determination of hourly insolation on an inclined plane using a diffuse irradiance model based on hourly measured global horizontal insolation.” **Solar Energy** **19(6)**, 477-491, 1977

Behr, H.D. “Solar radiation on tilted south oriented surface: validation of transfer-models.” **Solar Energy** **61**, 399-413, 2007.

Chirarattananon, S., Rukkwansuk, P., Chaiwiwatworakul, P., Pakdeopol, P. “Evaluation of vertical illuminance and irradiance models against data from north Bangkok.” **Building and Environment** **42**, 3894-3904, 2007.

Diez-Mediavilla, M., de Miguel, A., Bilbao, J. “Measurement and comparison of diffuse solar Irradiance models on inclined surfaces in Valladolid (Spain).” **Energy Conversion and Management** **46**, 2075–2092, 2005.

Gueymard, C. “An anisotropic solar irradiance model for tilted surface and its comparison with selected engineering algorithms.” **Solar Energy** **38(5)**, 367-386, 1987.

Hay, J.E. “Calculation of monthly mean solar radiation for horizontal and inclined surface.” **Solar Energy** **23**, 301-307, 1979

Iqbal M. “An introduction to solar radiation.” Canada: Academic Press; 1983, ISBN 0-12-373752-4.

Janjai, S., Tohsing, K., Nunez, M., Laksanaboonsong, J. "A technique for mapping global illuminance from satellite data." **Solar Energy** **82**, 543–555, 2007.

Janjaia, S., Masiria, I., Nunezb, M., Laksanaboonsong, J. "Modeling sky luminance using satellite data to classify sky conditions." **Building and Environment** **43**, 2059–2073, 2008.

Klucher, T.M. "Evaluation of models to predict insolation on tilted surfaces." **Solar Energy** **23(2)**, 111-114, 1979.

Li, D.H.W. and Lam, J.C. "Evaluation of slope irradiance and illuminance models against measured Hong Kong Data." **Building and Environment** **35(6)**, 501–509, 2000.

Li, D.H.W., Lau, C.C.S., Lam, J.C. "Predicting daylight illuminance on inclined surfaces using sky luminance data." **Energy** **30**, 1649–1665, 2005.

Liu, B.Y.H. and Jordan, R.C. "Daily insolation on surfaces tilted towards the equator." **Trans ASHRAE**, 526–541, 1962.

Ma, C.C.Y. and Iqbal, M. "Statistical comparison of models for estimating solar radiation on inclined surfaces." **Solar Energy** **31(3)**, 313–317, 1983.

Muneer, T. "Solar radiation and daylight models for the energy efficient design of buildings." Oxford: Architectural Press; 1997.

Murdoch, J.B. "illumination Engineering-Form Edison's Lamp to the Laser." London: Macmillan Publishing Company, 1985.

Noorian, A.M., Moradi, I., Kamali, G.A. "Evaluation of 12 models to estimate hourly diffuse irradiation on inclined surfaces." **Renewable Energy** **33**, 1406–1412, 2008.

Notton, G., Cristofari, C., Poggi, P. "Performance evaluation of various hourly slope irradiation models using Mediterranean experimental data of Ajaccio." **Energy Conversion and Management** **47**, 147–173, 2006.

Perez, R., Seals, R., Ineichen, P., Stewart, R., Menicucci, D. "A new simplified version of the Perez diffuse irradiance model for tilted surfaces." **Solar Energy** **39**(3), 221–231, 1987.

Reindl, D.T., Beckman, W.A., Duffie, J.A. "Evaluation of hourly tilted surface radiation models." **Solar Energy** **45**(1), 9–17, 1990.

Robledo, L., Soler, A., "Modelling irradiance on inclined planes with an anisotropic model." **Energy**, **23**(3), 193–201, 1998.

Skartveit, A. and Olseth, J.A. "Modeling slope irradiance at high latitudes." **Solar Energy** **36**(4), 333–344, 1986.

Temps, R.C. and Coulson, K.L. "Solar radiation incident upon slopes of different orientation." **Solar Energy** **19**(2), 179–184, 1977.

Tian, Y.Q., Davies-Colley, R.J., Gong, P., Thorrold, B.W. "Estimating solar radiation on slopes of arbitrary aspect." **Agricultural and Forest Meteorology** **109**, 67–74, 2001.

Vartiainen, E. "A new approach to estimating the diffuse irradiance on inclined surfaces." **Renewable Energy** **20**(1), 45–64, 2000.

### ประวัติผู้วิจัย

ชื่อ-สกุล	นายเจษฎา ประทุมสิทธิ์
ที่อยู่	46/1 หมู่ 5 ตำบลนิลเพชร อำเภอบางเลน จังหวัดนครปฐม 73130
ประวัติการศึกษา	
พ.ศ. 2544	สำเร็จการศึกษามัธยมศึกษาปีที่ 6 โรงเรียนบรรหารเจ่นไสววิทยา 5 จังหวัดสุพรรณบุรี
พ.ศ. 2548	สำเร็จการศึกษาวิทยาศาสตรบัณฑิต สาขาวิชาฟิสิกส์ คณะวิทยาศาสตร์ มหาวิทยาลัยศิลปากร จังหวัดนครปฐม
พ.ศ. 2549	ศึกษาต่อระดับปริญญาวิทยาศาสตรมหาบัณฑิต สาขาวิชาฟิสิกส์ บัณฑิตวิทยาลัย มหาวิทยาลัยศิลปากร จังหวัดนครปฐม